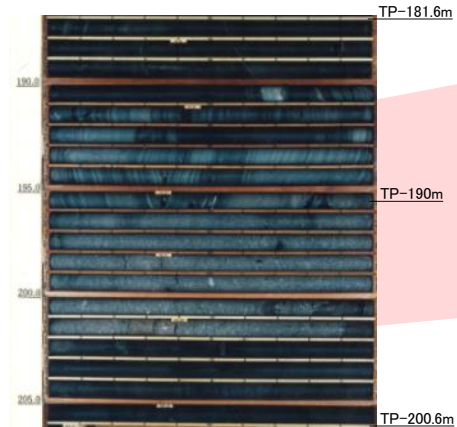
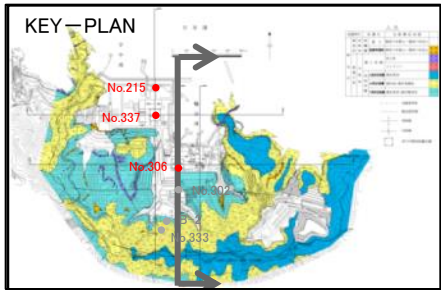
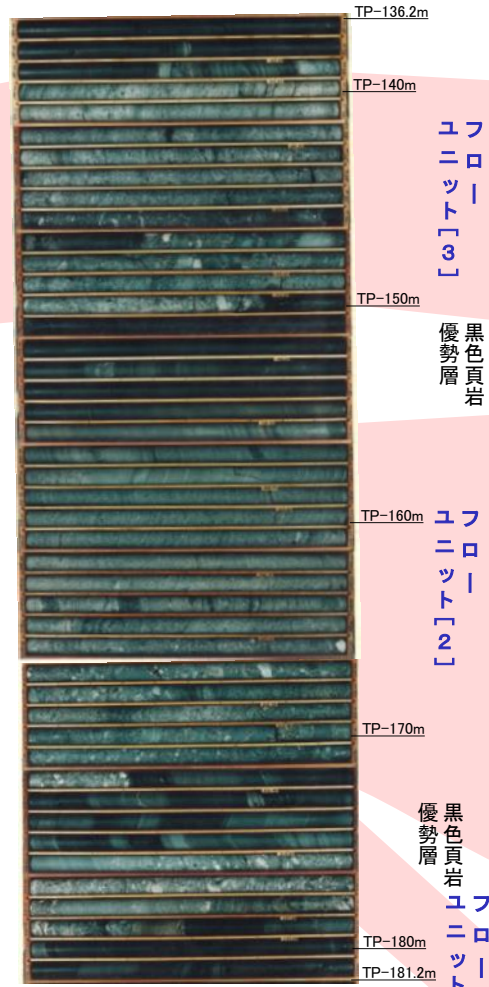


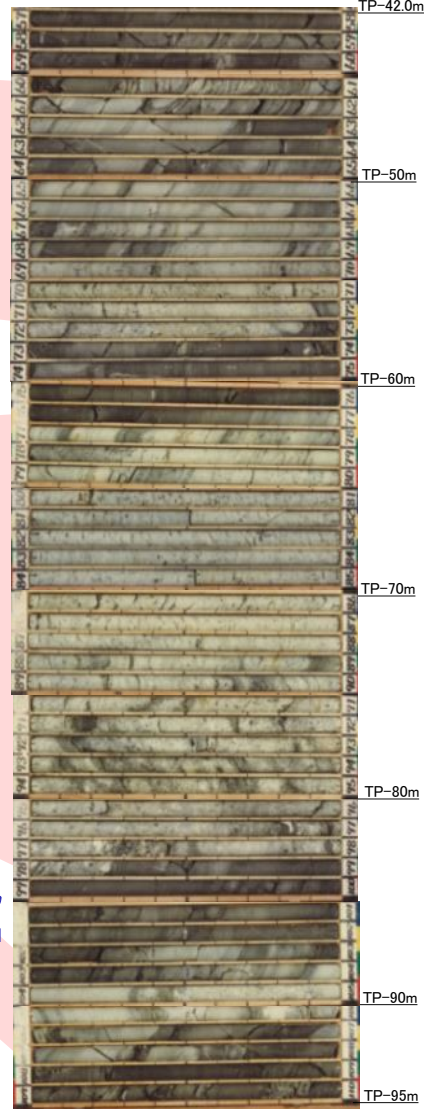
敷地に分布する鍵層①



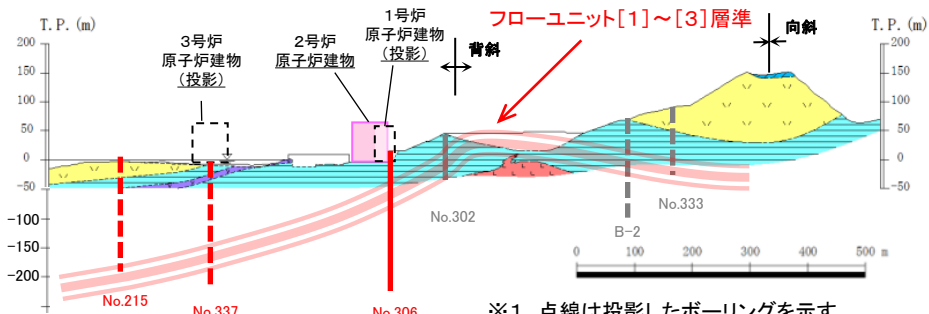
No.215コア写真



No.337コア写真



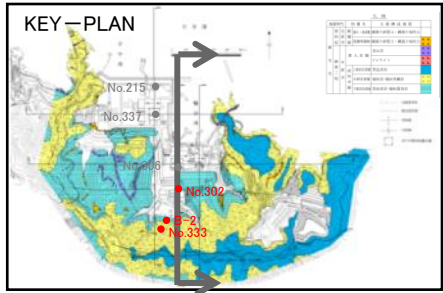
No.306コア写真



※1 点線は投影したボーリングを示す。
 ※2 フローユニット分布検討時の旧地形の平面図及び断面図を示す。

- ・2号及び3号炉原子炉建物設置位置付近におけるボーリング調査の結果、下部頁岩部層中において、連続性が高い堆積層が確認された。
- ・当該堆積層は、凝灰角礫岩主体で黒色頁岩優勢層を挟在し、級化層理を示す等の特徴を有することから、水中火砕流により堆積したものと考えており、フローユニットと呼称している。
- ・当該フローユニットは、地層の対比がし易いため、敷地の地質構造把握において鍵層となる。

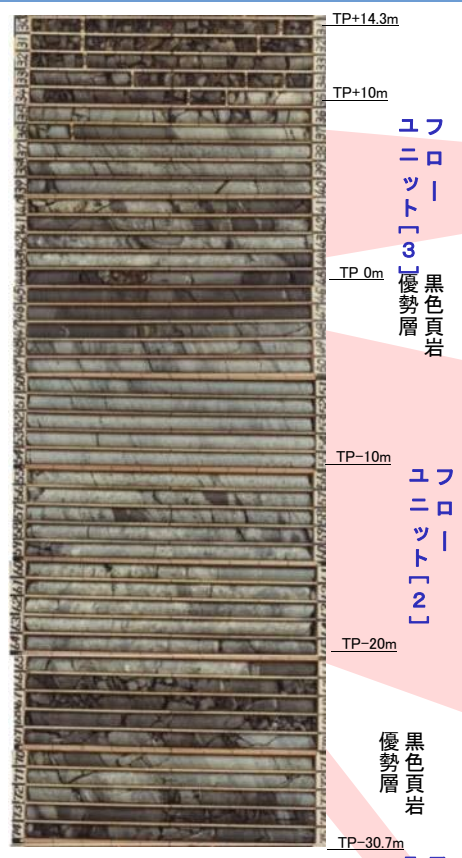
敷地に分布する鍵層②



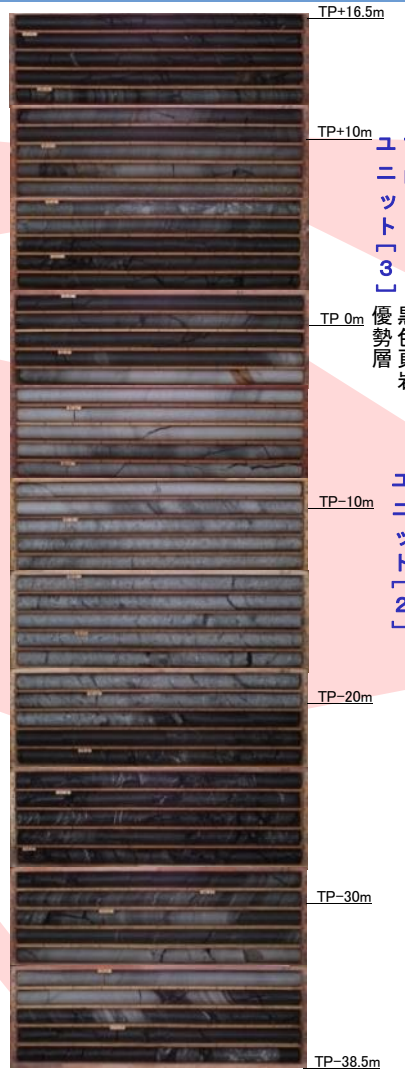
凡例

地質時代	地層名	主要構成地質		
第四紀	表層	礫混り砂質土・礫混り粘性土	△△△	
	崖線堆積物	礫混り砂質土・礫混り粘性土	△△△	
新生代	貫入岩類	安山岩	▽▽▽	
		ドレライト	▽▽▽	
	成相層	上部頁岩部層	黒色頁岩	■
		火砕岩部層	凝灰岩・凝灰角礫岩	▽▽
	下部頁岩部層	黒色頁岩・凝灰質頁岩	■	

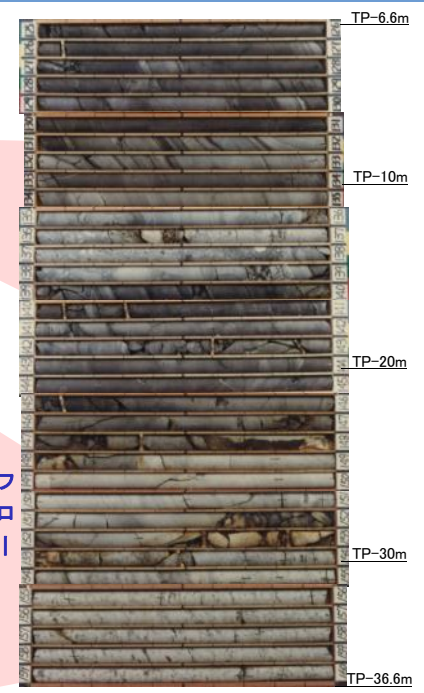
----- 地質境界線



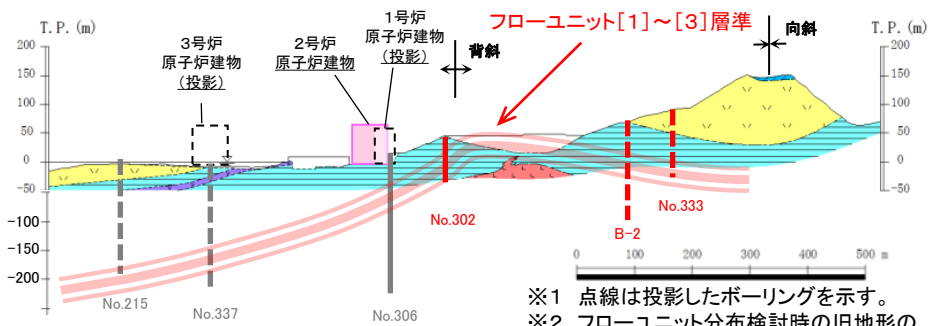
No.302コア写真



B-2コア写真

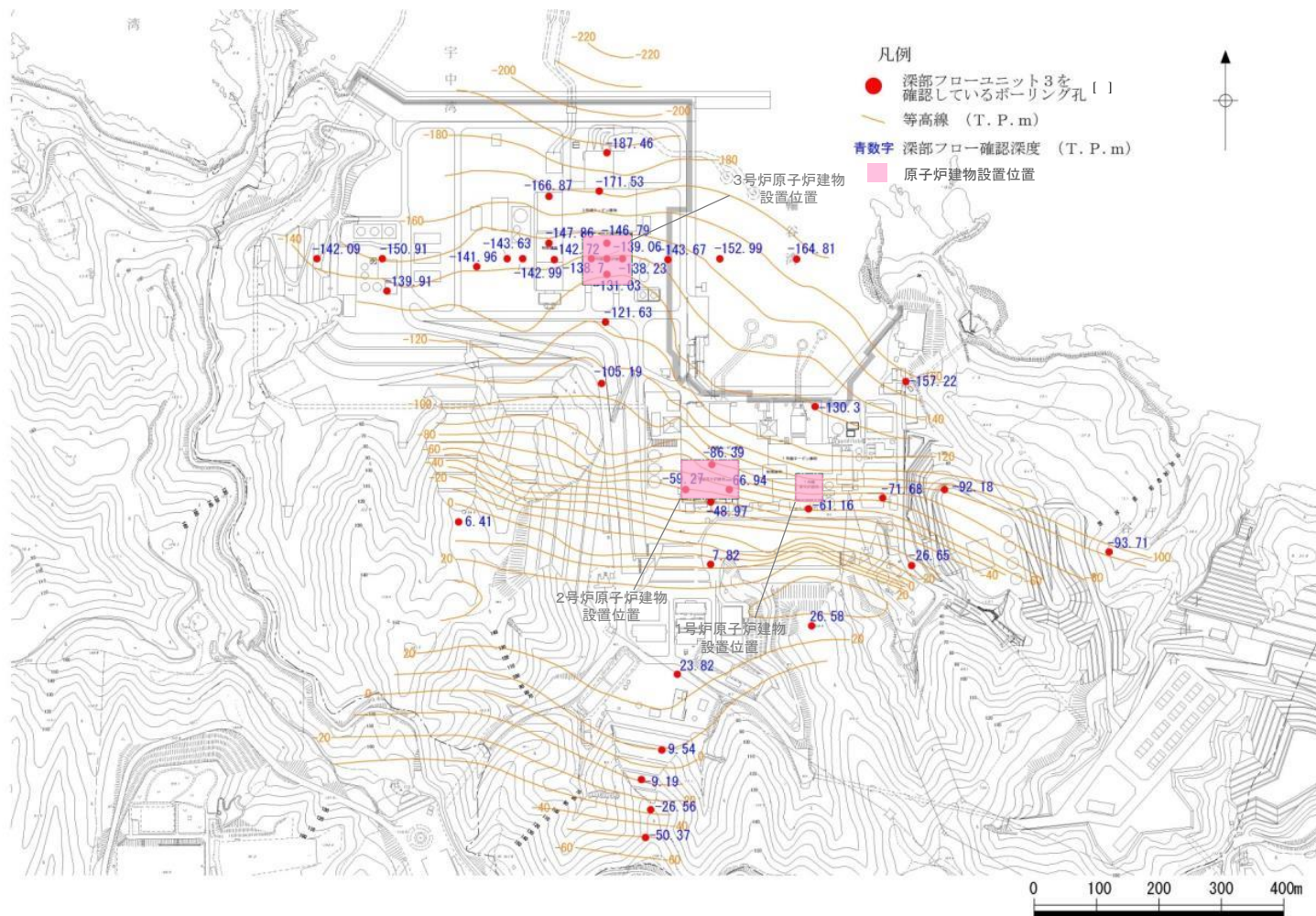


No.333コア写真



※1 点線は投影したボーリングを示す。
 ※2 フローユニット分布検討時の旧地形の平面図及び断面図を示す。

鍵層の連続性

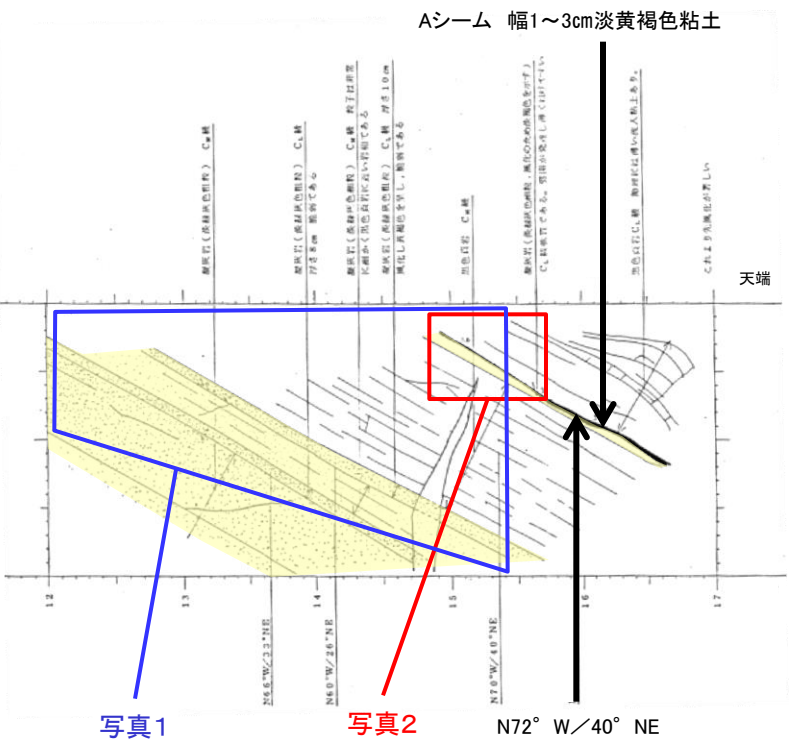


ボーリング調査によるフローユニット[3]上面の等高線図 ※フローユニット分布検討時の旧地形の平面図を示す。

- ・フローユニットの分布等に基づき敷地の地質構造を検討した結果、下部頁岩部層中の同一層準は、2号及び3号炉原子炉建物設置位置付近に連続的に分布すると評価する。
- ・上記の検討結果に基づき、2号及び3号炉原子炉建物設置位置付近のシームについて、分布及び性状の比較を行う。

余白

2号炉原子炉建物基礎底面に分布するシームの性状



Aシーム付近のスケッチ(試掘坑H坑西壁)

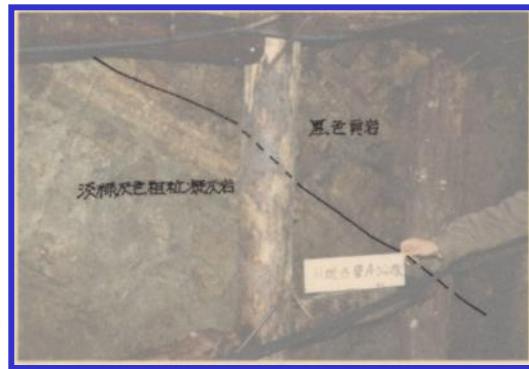
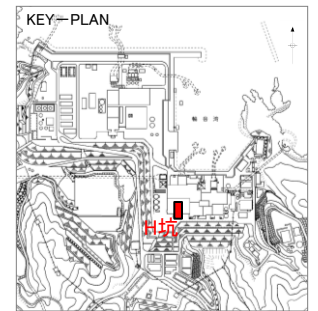


写真1 淡緑灰色粗粒凝灰岩

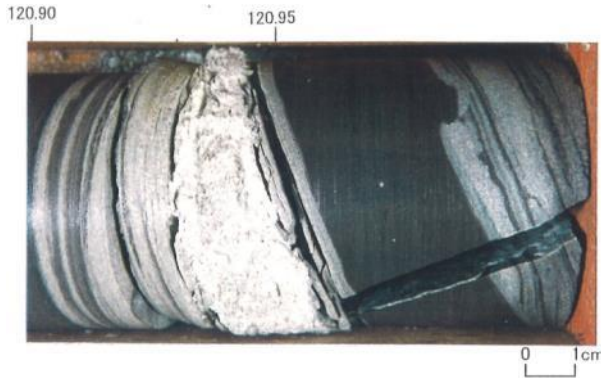


写真2 Aシーム

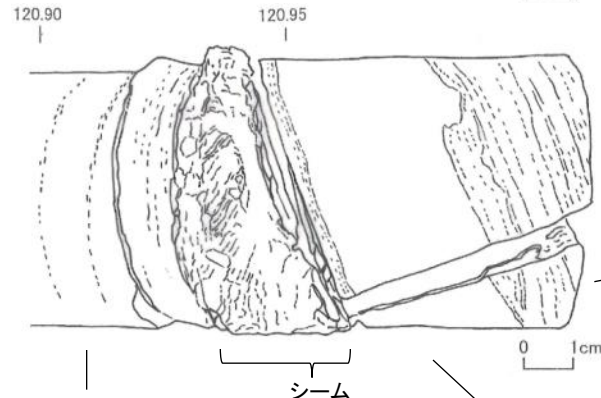
・2号炉原子炉建物基礎底面には、連続性を有するシーム(最大層厚約5cm程度)が分布しており、2号炉調査当時では「Aシーム」と呼称していた。
 ・Aシームは、淡緑灰色粗粒凝灰岩層の上位に分布する。



3号炉原子炉建物基礎地盤に分布するB8シームの性状



B8シーム近接写真



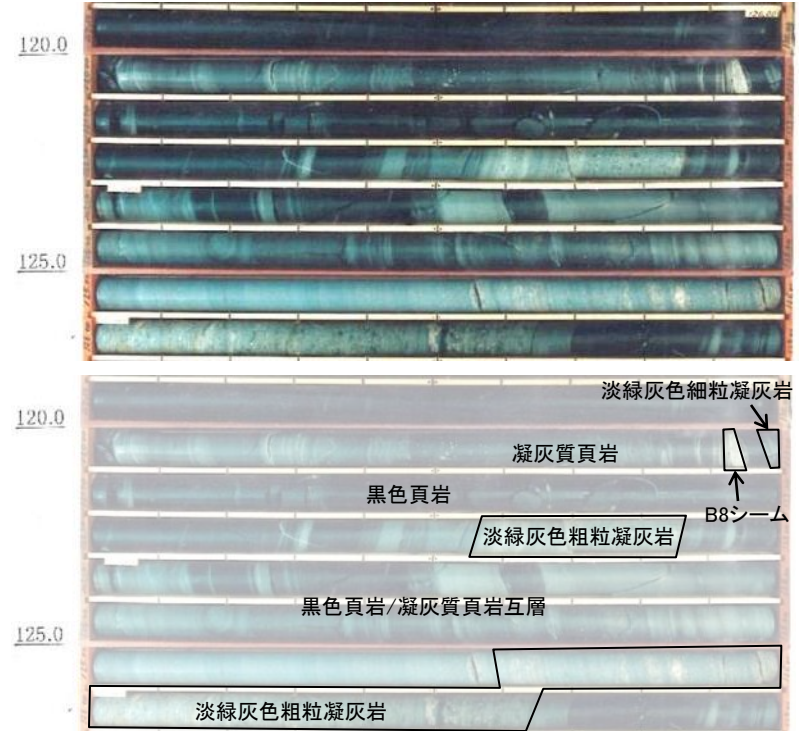
B8シームスケッチ

凝灰岩
葉理の明瞭な
細粒凝灰岩。

シーム
N79E 22N
(孔壁画像観察による)

黑色頁岩
高角の割れ目が見られる。
シームより上位の連続性は不明。

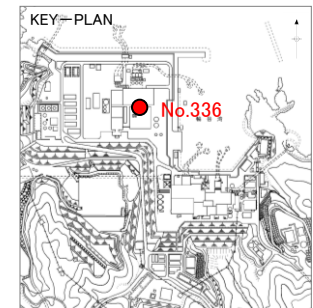
凝灰質頁岩
ほぼ水平な葉理を有し、
葉理に平行な割れ目が
発達する。



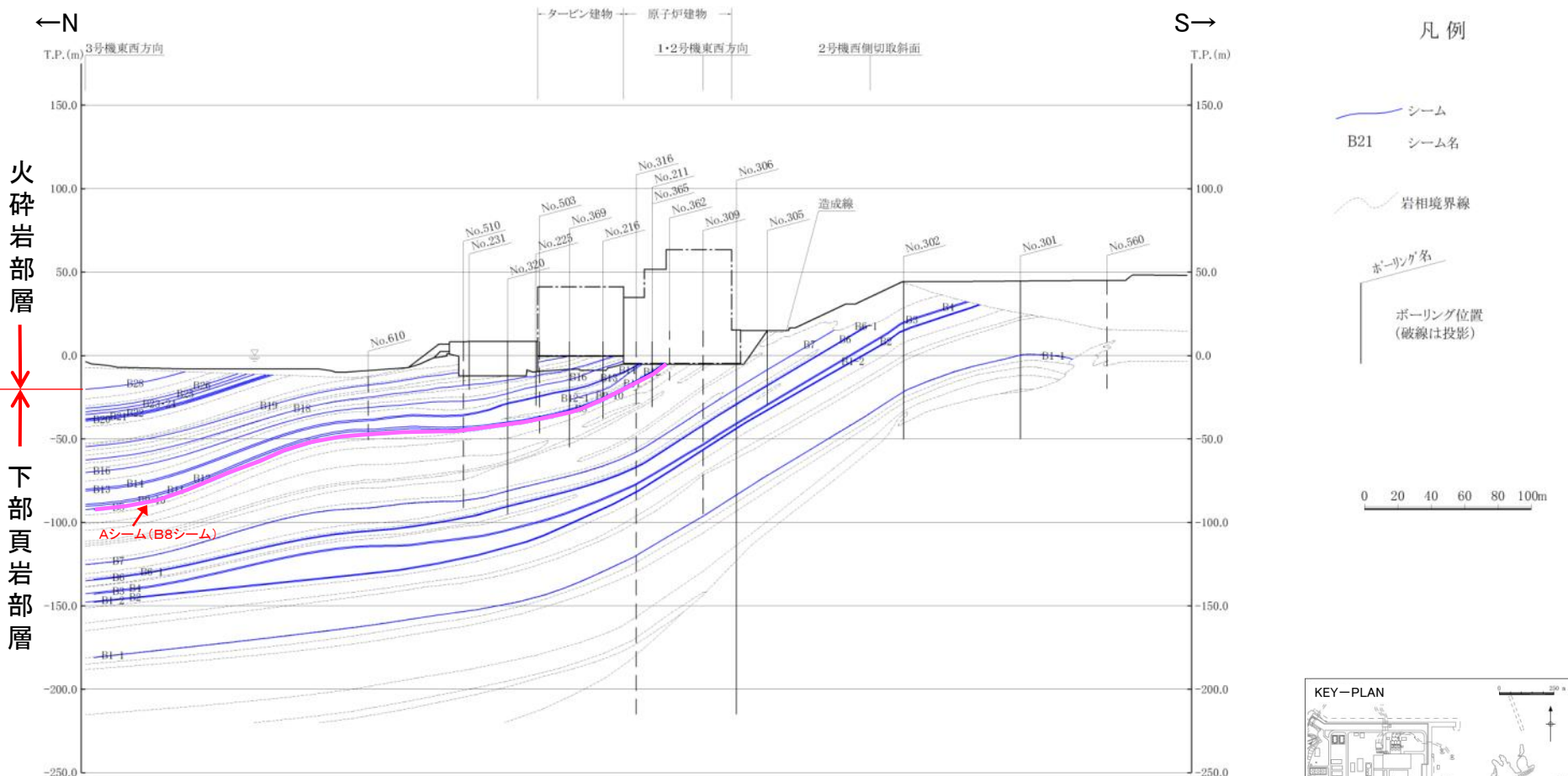
3号炉No.336コア写真

・3号炉原子炉建物基礎地盤において認められるB8シーム(最大層厚約6cm程度)は、淡緑灰色粗粒凝灰岩から成る火砕流堆積層の上位に位置すること等から、2号炉原子炉建物基礎底面で認められたAシームと同一のシームと**同定した**。

・2号及び3号炉原子炉建物設置位置付近において、下部頁岩部層の同一層準が連続すること、及びシームが地層を切ることなく層理と調和的に分布することから、シームの活動性評価に当たり、3号炉原子炉建物設置位置付近の地質データに基づく検討を行う。



シーム分布鉛直断面図(2号炉原子炉建物基礎地盤(南北))



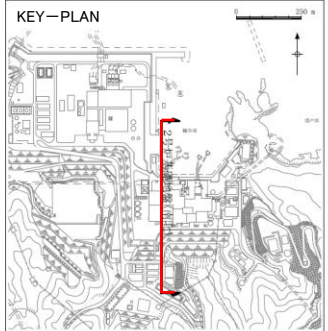
火砕岩部層
↓
↑
下部頁岩部層

凡例

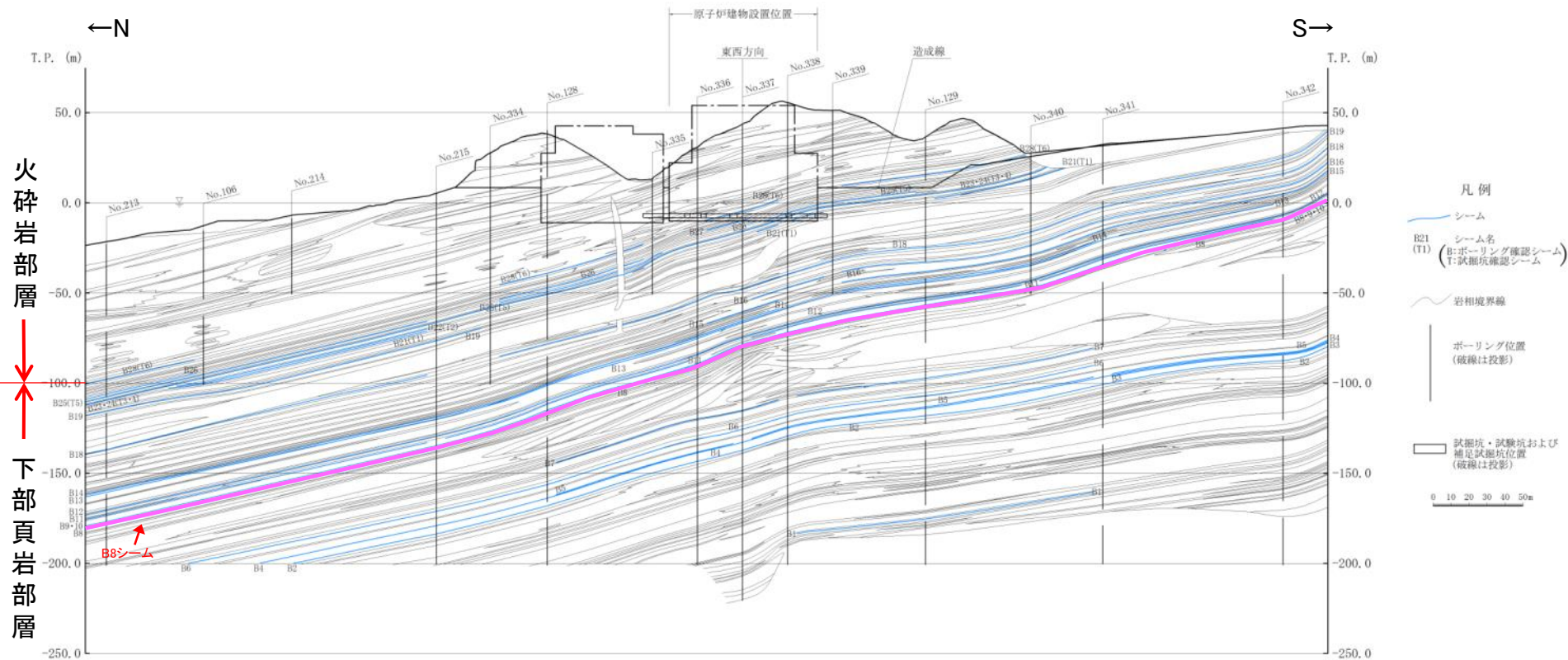
- シーム
- B21 シーム名
- 岩相境界線
- ボーリング名
- ボーリング位置 (破線は投影)

0 20 40 60 80 100m

・シームは、地層の走向・傾斜と同一で、緩やかな北傾斜を示す。

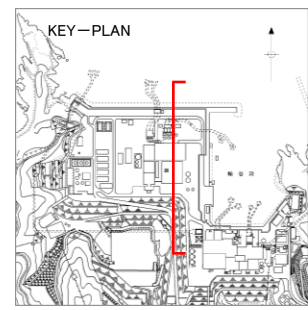


シーム分布鉛直断面図(3号炉原子炉建物基礎地盤(南北))

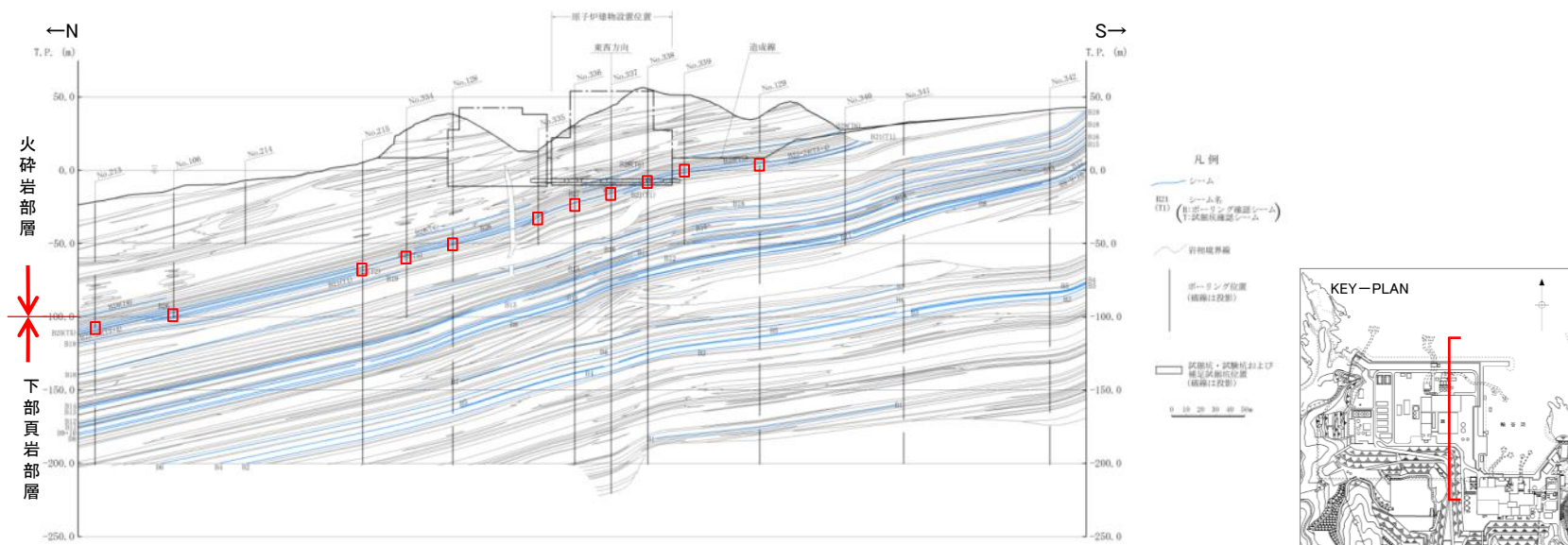


火砕岩部層
↓
↑
下部頁岩部層

・シームは、地層の走向・傾斜と同一で、緩やかな北傾斜を示す。



3. シームの活動性 (2)せん断面と鉱物脈との接触関係に着目した活動性評価 ②B23シームの類似性
B23シームの類似性(ボーリングコアの観察, 南北方向)

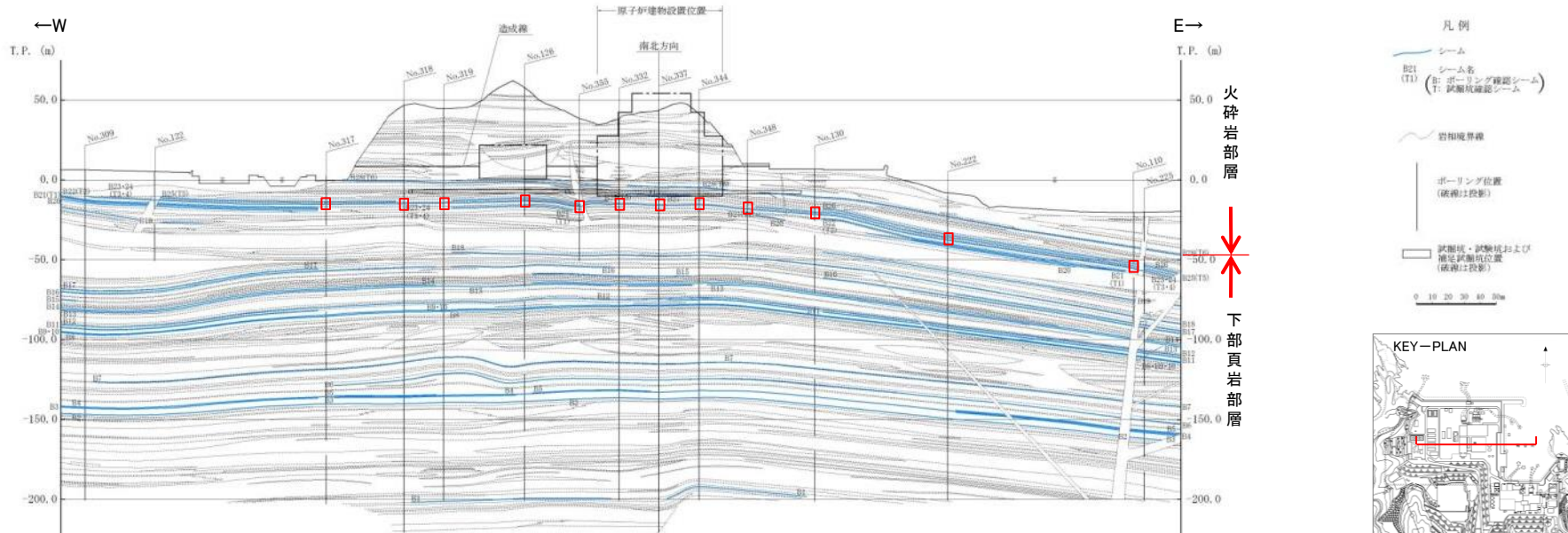


北から順に→

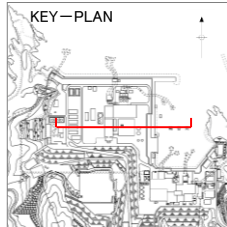
No. 213		No. 106		No. 215		No. 334		No. 128		No. 335	
代表写真	模式図	代表写真	模式図	代表写真	模式図	代表写真	模式図	代表写真	模式図	代表写真	模式図
	凝灰質頁岩 層厚 → 1.0cm 凝灰質頁岩		凝灰質頁岩 層厚 → 3.0cm 黑色頁岩		凝灰質頁岩 層厚 → 3.2cm 黑色頁岩		凝灰質頁岩 層厚 → 3.0cm 黑色頁岩		凝灰質頁岩 層厚 → 2.0cm 凝灰質頁岩 黑色頁岩		凝灰質頁岩 層厚 → 2.0cm 黑色頁岩
N21° W55° E				N78° W14° N		N84° E16° N		N42° E16° NW		N86° E27° N	
No. 336		No. 337		No. 338		No. 339		No. 129			
	凝灰質頁岩 層厚 → 1.0cm 黑色頁岩		凝灰質頁岩 層厚 → 3.0cm 黑色頁岩		凝灰質頁岩 層厚 → 0.1cm 黑色頁岩		凝灰質頁岩 層厚 → 2.0cm 黑色頁岩		凝灰質頁岩 層厚 → 2.2cm 黑色頁岩		
N80° W26° N		N84° W24° N		N67° W20° N		N49° W22° NE		N49° W9° NE			

※No.129の下位は割れ目を中心に風化の影響と思われる酸化汚染を受けている。

3. シームの活動性 (2)せん断面と鉱物脈との接触関係に着目した活動性評価 ②B23シームの類似性
B23シームの類似性(ボーリングコアの観察, 東西方向)



凡例
 シーム
 B21 シーム名
 (T1: ボーリング確認シーム
 T: 試験坑確認シーム)
 岩相境界線
 ボーリング位置
 (破線は投影)
 試験坑・試験坑および
 掘削位置
 (破線は投影)
 0 10 20 30 40 50m



西から順に→

※走向傾斜はBTV解析による。

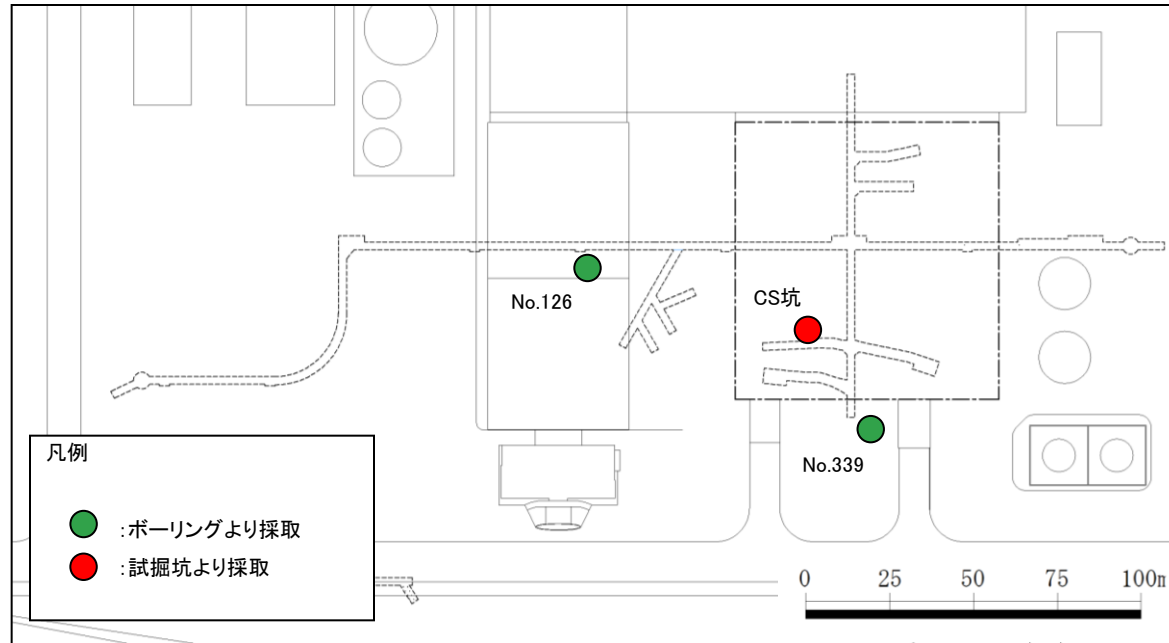
<p>No. 317</p> <p>代表写真</p> <p>模式図</p> <p>凝灰質頁岩 層厚 →0.9cm</p> <p>凝灰質頁岩</p> <p>黒色頁岩</p> <p>N79° W11° N</p>	<p>No. 318</p> <p>代表写真</p> <p>模式図</p> <p>凝灰質頁岩 層厚 →5.6cm</p> <p>凝灰質頁岩</p> <p>黒色頁岩</p> <p>N86° E19° N</p>	<p>No. 319</p> <p>代表写真</p> <p>模式図</p> <p>凝灰質頁岩 層厚 →1.5cm</p> <p>凝灰質頁岩</p> <p>黒色頁岩</p> <p>N79° E29° N</p>	<p>No. 126</p> <p>代表写真</p> <p>模式図</p> <p>凝灰質頁岩 層厚 →3.0cm</p> <p>凝灰質頁岩</p> <p>黒色頁岩</p> <p>EW23° N</p>	<p>No. 355</p> <p>代表写真</p> <p>模式図</p> <p>凝灰質頁岩 層厚 →3.0cm</p> <p>凝灰質頁岩</p> <p>黒色頁岩</p> <p>N74° E22° N</p>	<p>No. 332</p> <p>代表写真</p> <p>模式図</p> <p>凝灰質頁岩 層厚 →1.6cm</p> <p>凝灰質頁岩</p> <p>黒色頁岩</p> <p>N74° W17° N</p>	<p>No. 337</p> <p>代表写真</p> <p>模式図</p> <p>凝灰質頁岩 層厚 →3.0cm</p> <p>凝灰質頁岩</p> <p>黒色頁岩</p> <p>N84° W24° N</p>
--	--	--	--	--	--	--

<p>No. 344</p> <p>代表写真</p> <p>模式図</p> <p>凝灰質頁岩 層厚 →2.5cm</p> <p>凝灰質頁岩</p> <p>黒色頁岩</p> <p>N78° W20° N</p>	<p>No. 348</p> <p>代表写真</p> <p>模式図</p> <p>凝灰質頁岩 層厚 →3.8cm</p> <p>凝灰質頁岩</p> <p>黒色頁岩</p> <p>EW14° N</p>	<p>No. 130</p> <p>代表写真</p> <p>模式図</p> <p>凝灰質頁岩 層厚 →1.0cm</p> <p>凝灰質頁岩</p> <p>凝灰質頁岩</p> <p>黒色頁岩</p> <p>N64° W22° N</p>	<p>No. 222</p> <p>代表写真</p> <p>模式図</p> <p>凝灰質頁岩 層厚 →4.4cm</p> <p>凝灰質頁岩</p> <p>黒色頁岩</p> <p>N30° W13° NE</p>	<p>No. 110</p> <p>代表写真</p> <p>模式図</p> <p>凝灰質頁岩 層厚 →0.1cm</p> <p>凝灰質頁岩</p> <p>黒色頁岩</p>
--	--	---	---	---

※No.222の下位は割れ目を中心に風化の影響と思われる酸化汚染を受けている。

・最も連続性が高いB23シームは、主に凝灰岩もしくは凝灰質頁岩を上盤とし、黒色頁岩を下盤とするシームである。
 ・褶曲軸からの距離とシーム厚さの間に関連性は見られない。

B23シームのX線回折分析のチャート(実績総括表)



B23シーム及び周辺母岩のX線回折分析の試料採取位置図

X線回折分析 実績総括表

試料番号	試料採取位置	分析対象	X線回折分析 分析方法
CS14-X	CS坑(試掘坑)	B23シーム	<ul style="list-style-type: none"> 不定方位 定方位(無処理) 定方位(塩酸処理) 定方位(エチレンジリコール処理)
No.126-B23-u	ボーリングコアNo.126	B23シーム上盤母岩	
No.126-B23-s		B23シーム	
No.126-B23-l		B23シーム下盤母岩	
No.339-B23-u	ボーリングコアNo.339	B23シーム上盤母岩	
No.339-B23-s		B23シーム	
No.339-B23-l		B23シーム下盤母岩	

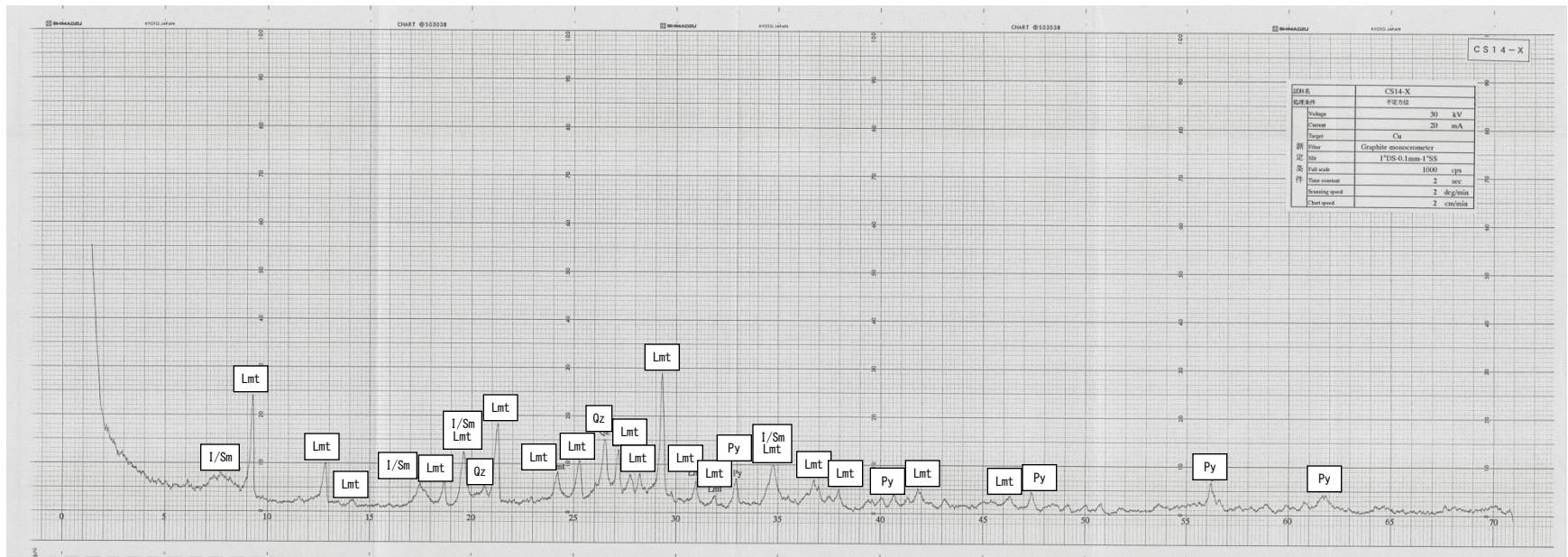
3. シームの活動性 (2)せん断面と鉱物脈との接触関係に着目した活動性評価 ②B23シームの類似性 X線回折分析のチャート(B23シーム, 不定方位)

凡例

[主要造岩鉱物類]	[沸石類]	[粘土鉱物]	[硫化鉱物]
Qz : 石英	Lmt : ローモンタイト	I/Sm : イライト/スメクタイト混合層鉱物	Py : 黄鉄鉱

試料名: CS14-X

Intensity (cps)



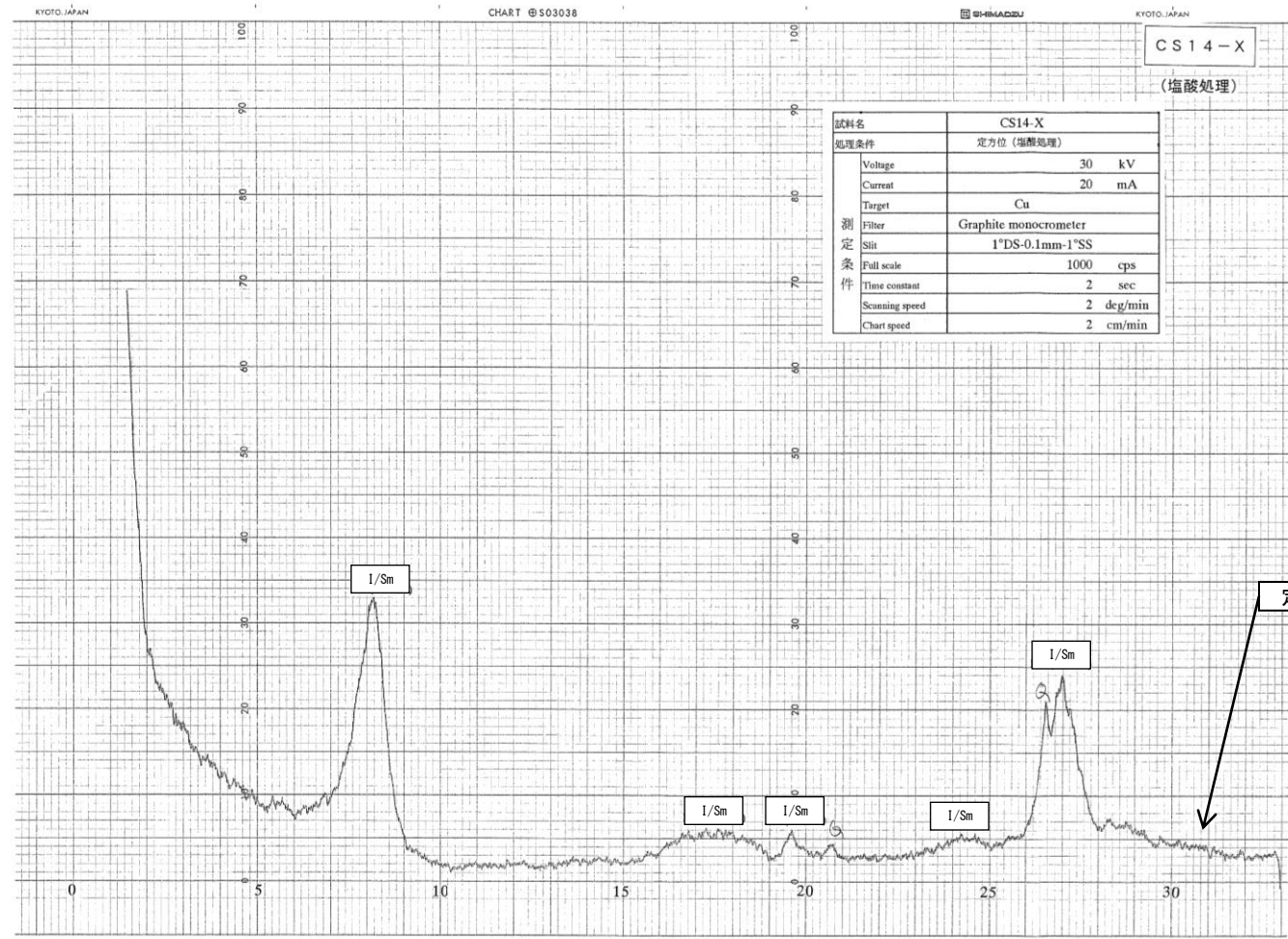
20/0 (°)

X線回折分析のチャート(B23シーム, 定方位)

凡例
[粘土鉱物]
I/Sm : イライト/スメクタイト混合層鉱物

試料名: CS14-X

Intensity (cps)



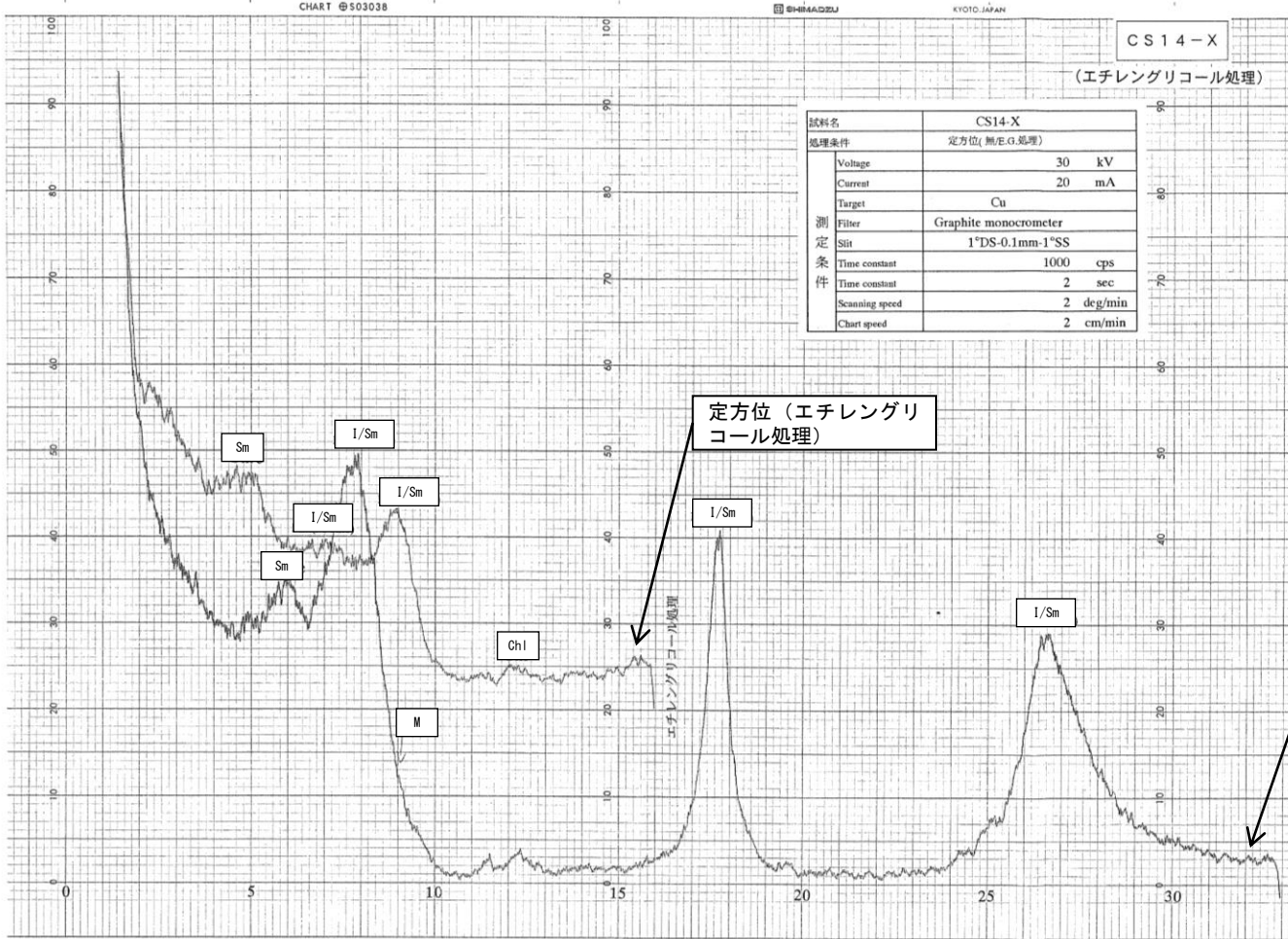
定方位 (塩酸処理)

3. シームの活動性 (2)せん断面と鉱物脈との接触関係に着目した活動性評価 ②B23シームの類似性
X線回折分析のチャート(B23シーム, 定方位)

- 凡例
- [粘土鉱物]
 - Sm : スメクタイト
 - I/Sm : イライト/スメクタイト混合層鉱物
 - M : 雲母類
 - Chl : 緑泥石

試料名: CS14-X

Intensity (cps)

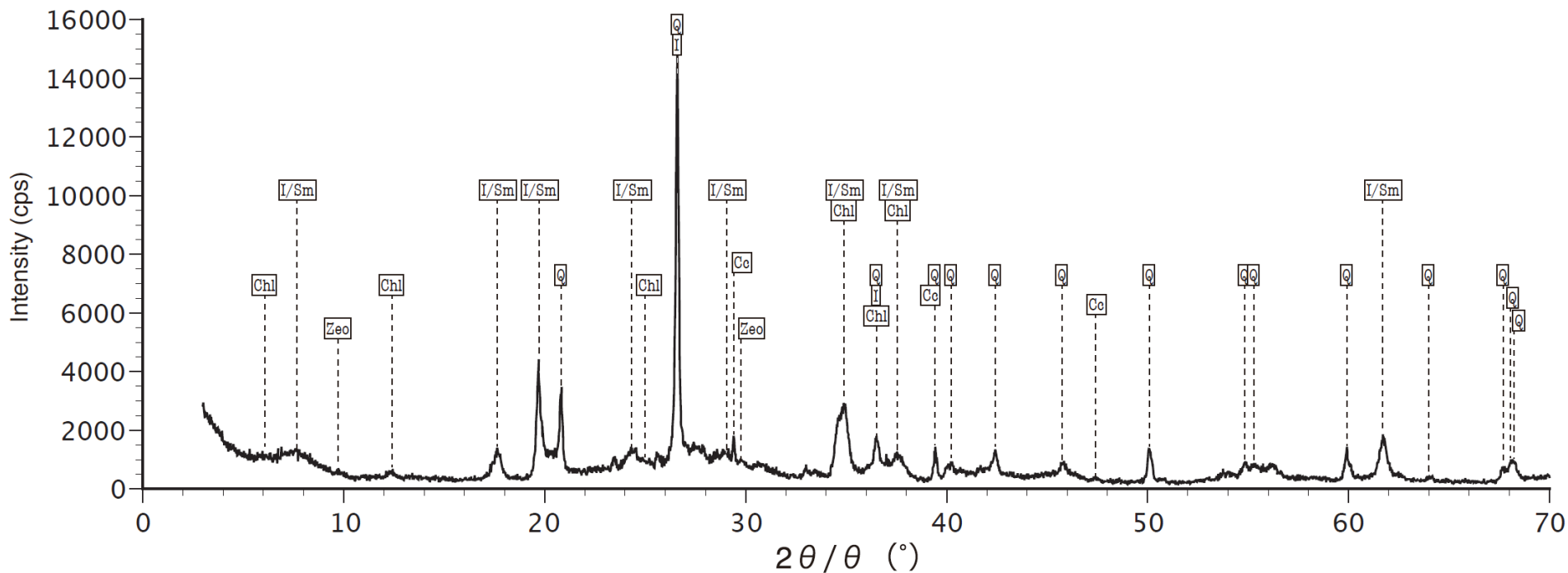


3. シームの活動性 (2)せん断面と鉱物脈との接触関係に着目した活動性評価 ②B23シームの類似性
X線回折分析のチャート(B23シーム上盤母岩, 不定方位)

第223回審査会合
資料2-2 p.23 再掲

131

試料名: No.126-B23-u

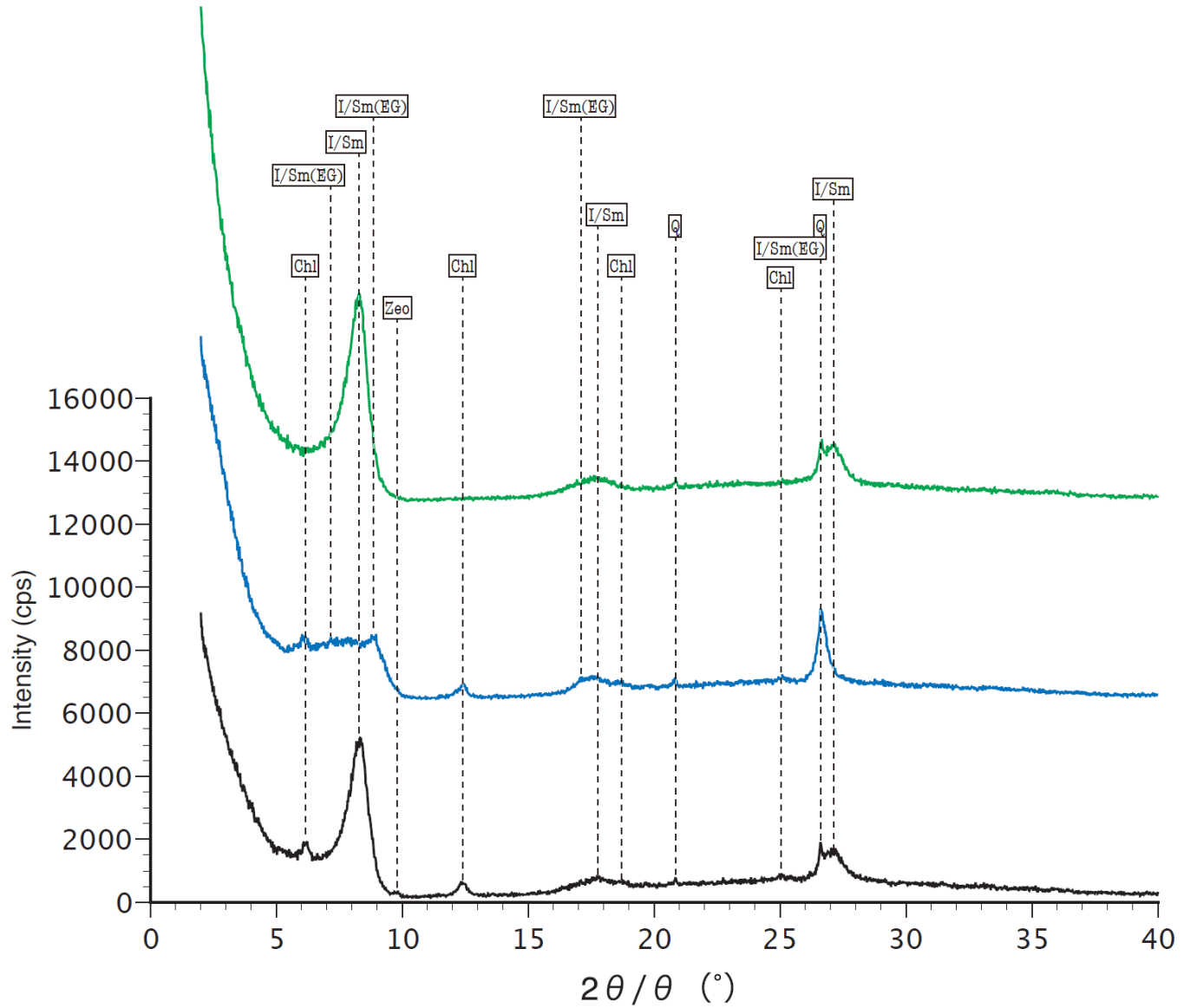


凡例	[主要造岩鉱物類]	[粘土鉱物]	[炭酸塩鉱物]	[沸石類]
— : 不定方位 (無処理)	Q : 石英	I : イライト	Cc : 方解石	Zeo : 沸石
		I/Sm : イライト/スメクタイト混合層鉱物		
		Chl : 緑泥石		

3. シームの活動性 (2)せん断面と鉱物脈との接触関係に着目した活動性評価 ②B23シームの類似性
 X線回折分析のチャート(B23シーム上盤母岩, 定方位)

試料名: No.126-B23-u

- 凡例
- : 定方位 (無処理)
 - : 定方位 (エフレンジーリコール処理)
 - : 定方位 (塩酸処理)
- [主要造岩鉱物類]
- Q : 石英
- [粘土鉱物]
- I/Sm : イライト/スメクタイト混合層鉱物
 - I/Sm(EG) : イライト/スメクタイト混合層鉱物 (エフレンジーリコール処理後)
 - Chl : 緑泥石
- [沸石類]
- Zeo : 沸石

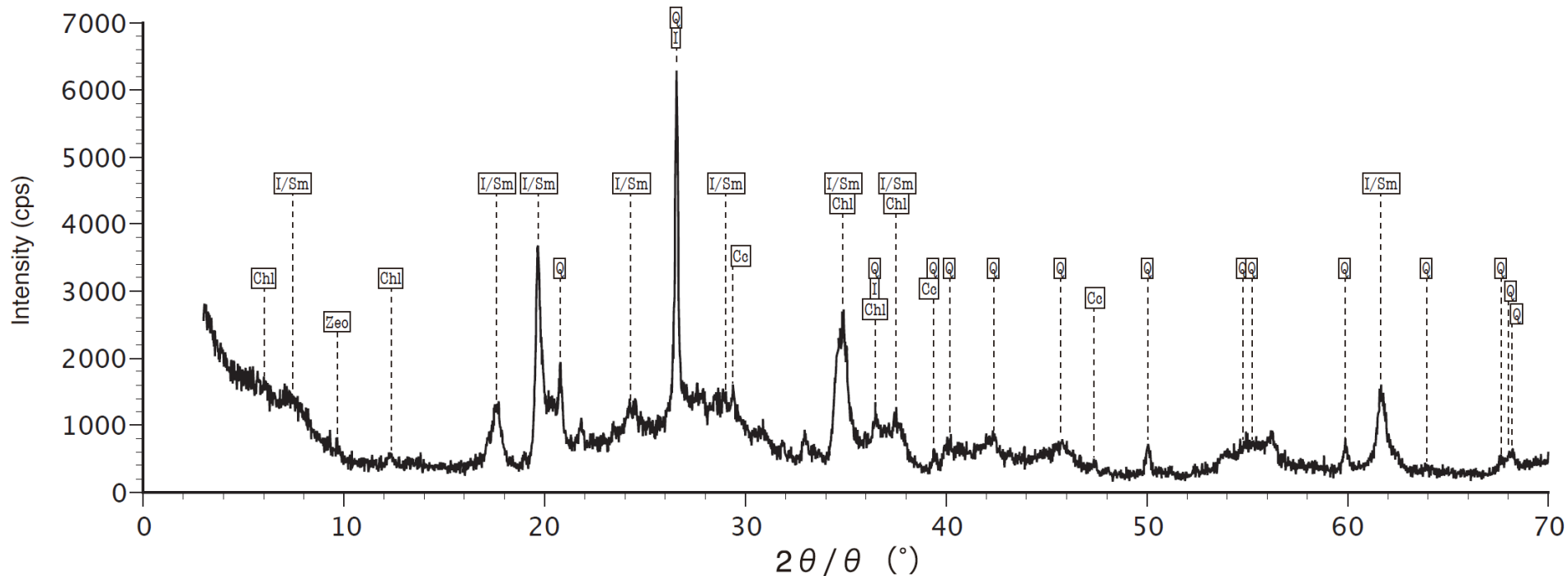


3. シームの活動性 (2)せん断面と鉱物脈との接触関係に着目した活動性評価 ②B23シームの類似性
X線回折分析のチャート(B23シーム, 不定方位)

第223回審査会合
資料2-2 p.25 再掲

133

試料名: No.126-B23-s



凡例	[主要造岩鉱物類]	[粘土鉱物]	[炭酸塩鉱物]	[沸石類]
— : 不定方位 (無処理)	Q : 石英	I : イライト I/Sm : イライト/スメクタイト混合層鉱物 Chl : 緑泥石	Cc : 方解石	Zeo : 沸石

X線回折分析のチャート(B23シーム, 定方位)

試料名: No.126-B23-s

凡例

- : 定方位 (無処理)
- : 定方位 (エフレング リコール処理)
- : 定方位 (塩酸処理)

[主要造岩鉱物類]

Q : 石英

[粘土鉱物]

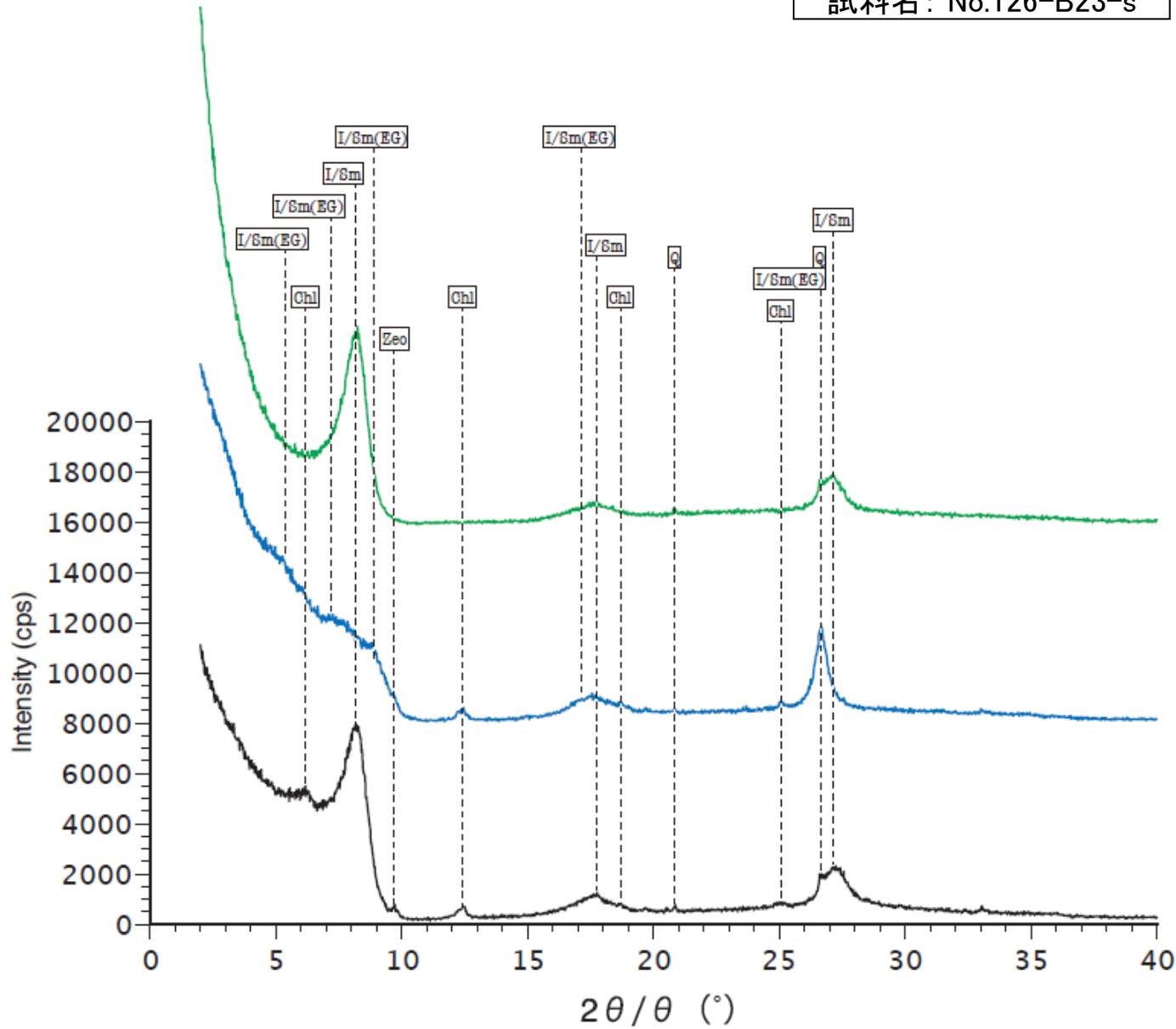
I/Sm : イライト/スメクタイト混合層鉱物

I/Sm(EG) : イライト/スメクタイト混合層鉱物 (エフレング リコール処理後)

Chl : 緑泥石

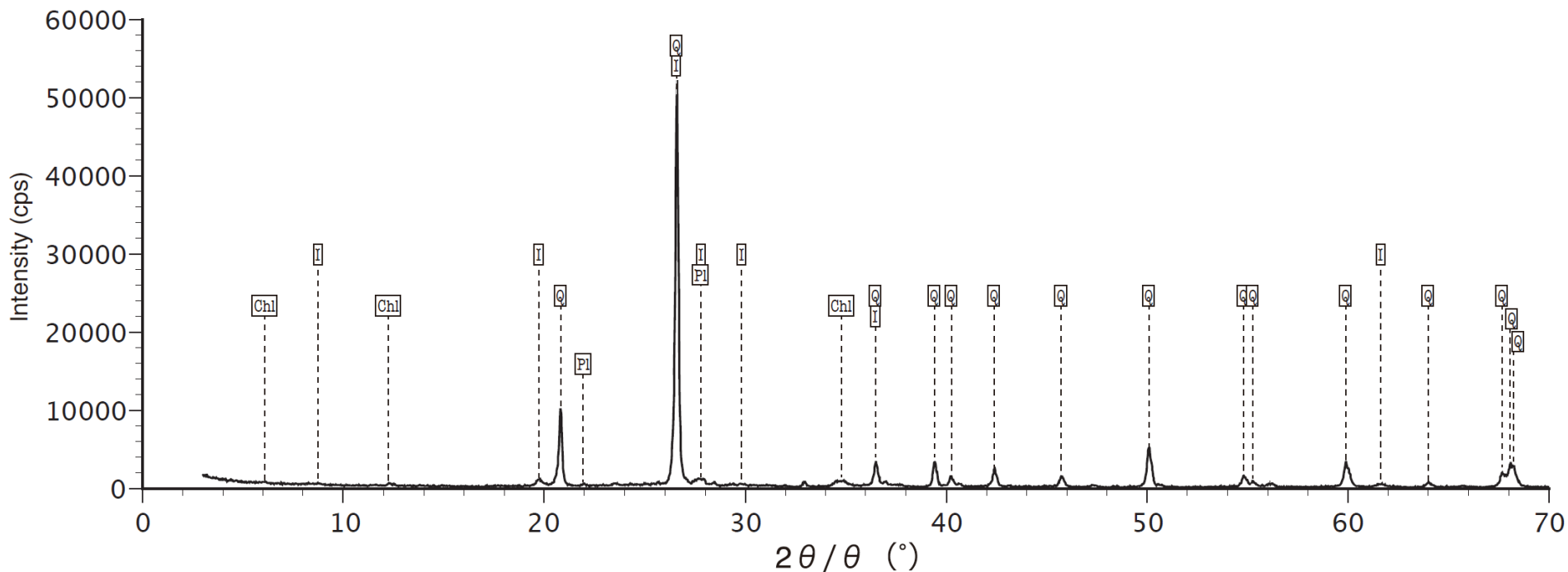
[沸石類]

Zeo : 沸石



3. シームの活動性 (2)せん断面と鉱物脈との接触関係に着目した活動性評価 ②B23シームの類似性
X線回折分析のチャート(B23シーム下盤母岩, 不定方位)

試料名: No.126-B23-I



凡例

— : 不定方位 (無処理)

[主要造岩鉱物類]

Q : 石英
Pl : 斜長石

[粘土鉱物]

I : イライト
Chl : 緑泥石

3. シームの活動性 (2)せん断面と鉱物脈との接触関係に着目した活動性評価 ②B23シームの類似性
 X線回折分析のチャート(B23シーム下盤母岩, 定方位)

試料名: No.126-B23-I

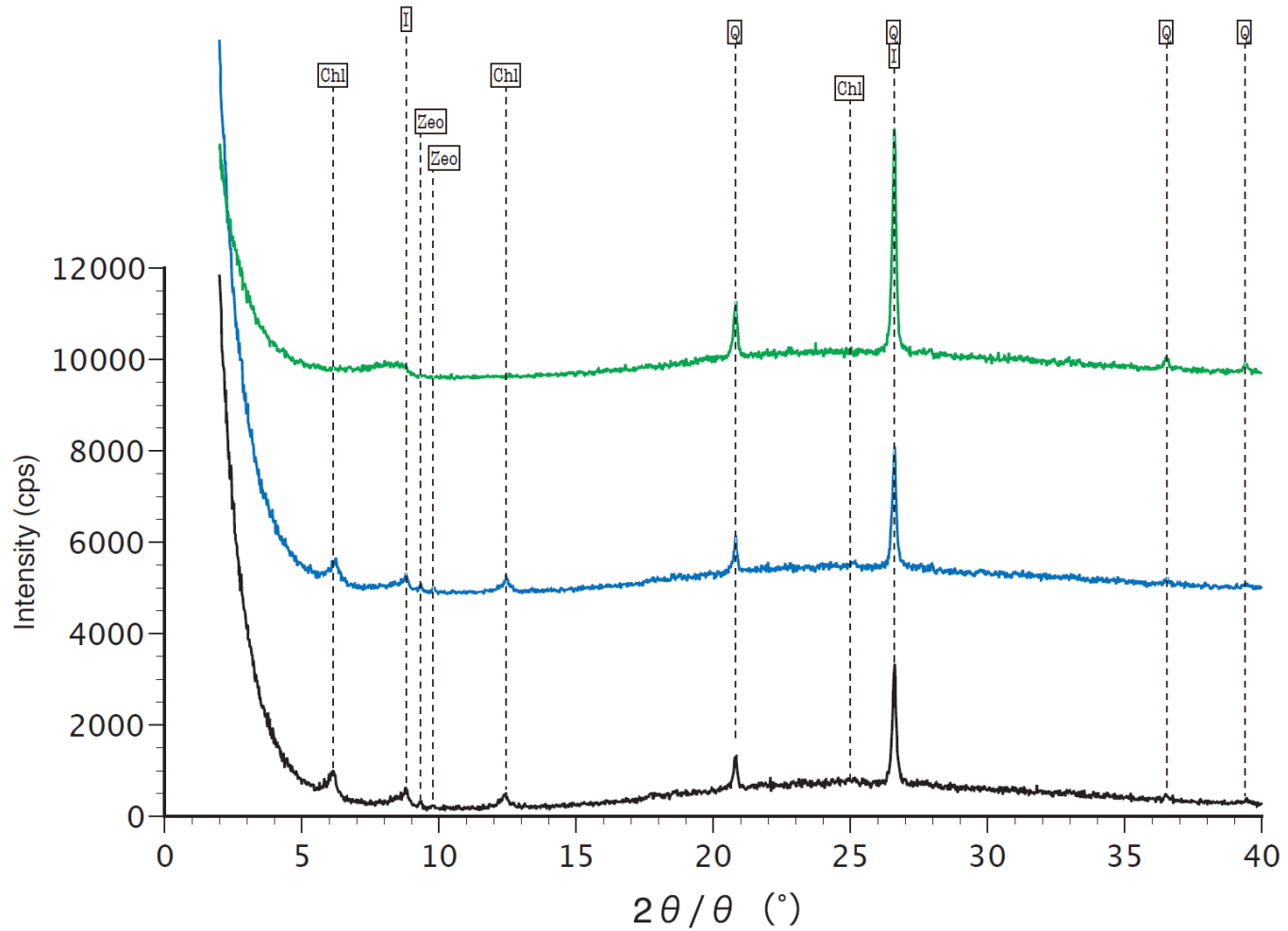
凡例

- : 定方位 (無処理)
- : 定方位 (エフレンゲリコール処理)
- : 定方位 (塩酸処理)

[主要造岩鉱物類]
 Q : 石英

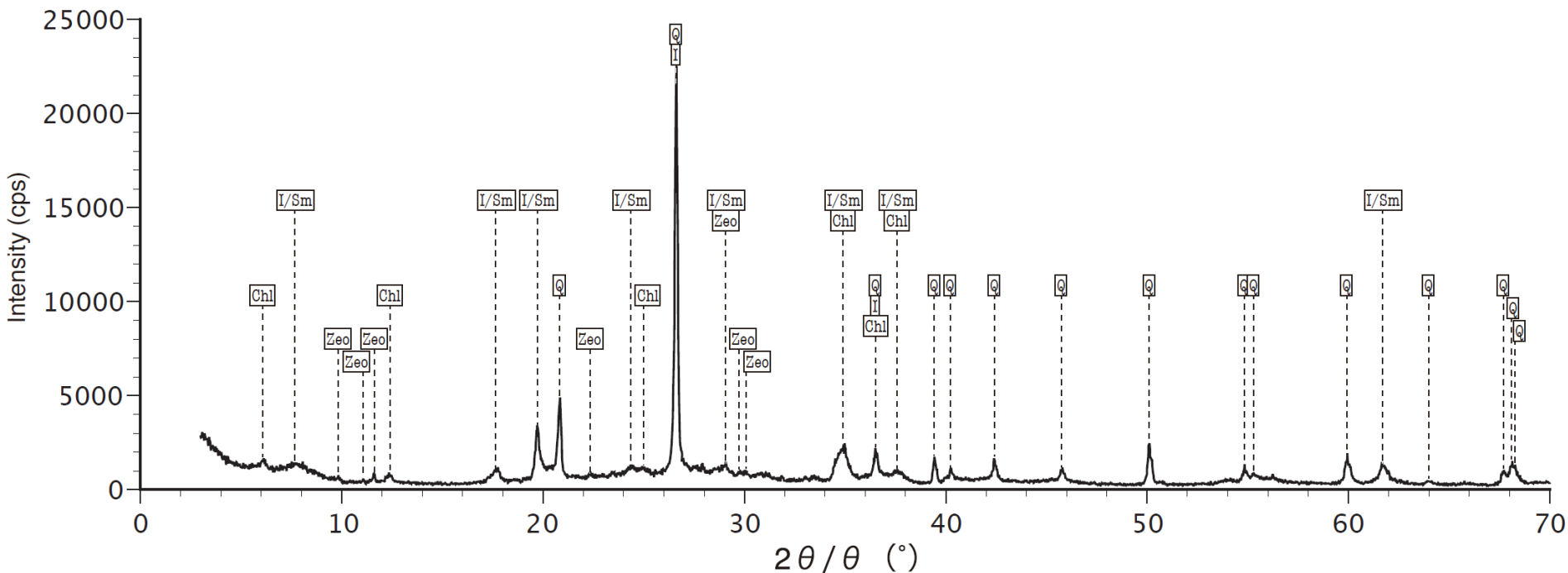
[粘土鉱物]
 I : イライト
 Chl : 緑泥石

[沸石類]
 Zeo : 沸石



3. シームの活動性 (2)せん断面と鉱物脈との接触関係に着目した活動性評価 ②B23シームの類似性
X線回折分析のチャート(B23シーム上盤母岩, 不定方位)

試料名: No.339-B23-u

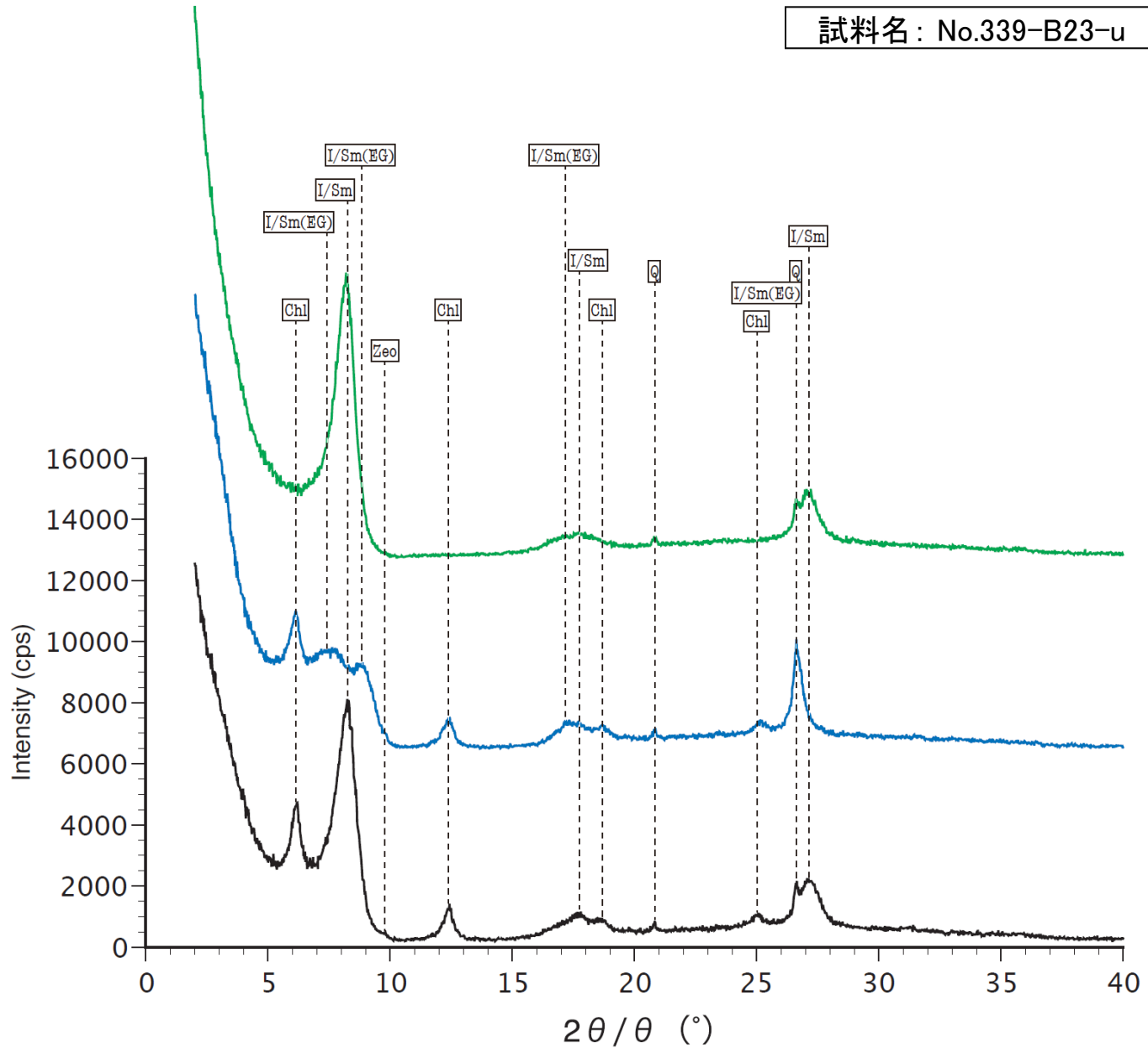


凡例	[主要造岩鉱物類]	[粘土鉱物]	[沸石類]
— : 不定方位 (無処理)	Q : 石英	I : イライト	Zeo : 沸石
		I/Sm : イライト/スメクタイト混合層鉱物	
		Chl : 緑泥石	

3. シームの活動性 (2)せん断面と鉱物脈との接触関係に着目した活動性評価 ②B23シームの類似性
 X線回折分析のチャート(B23シーム上盤母岩, 定方位)

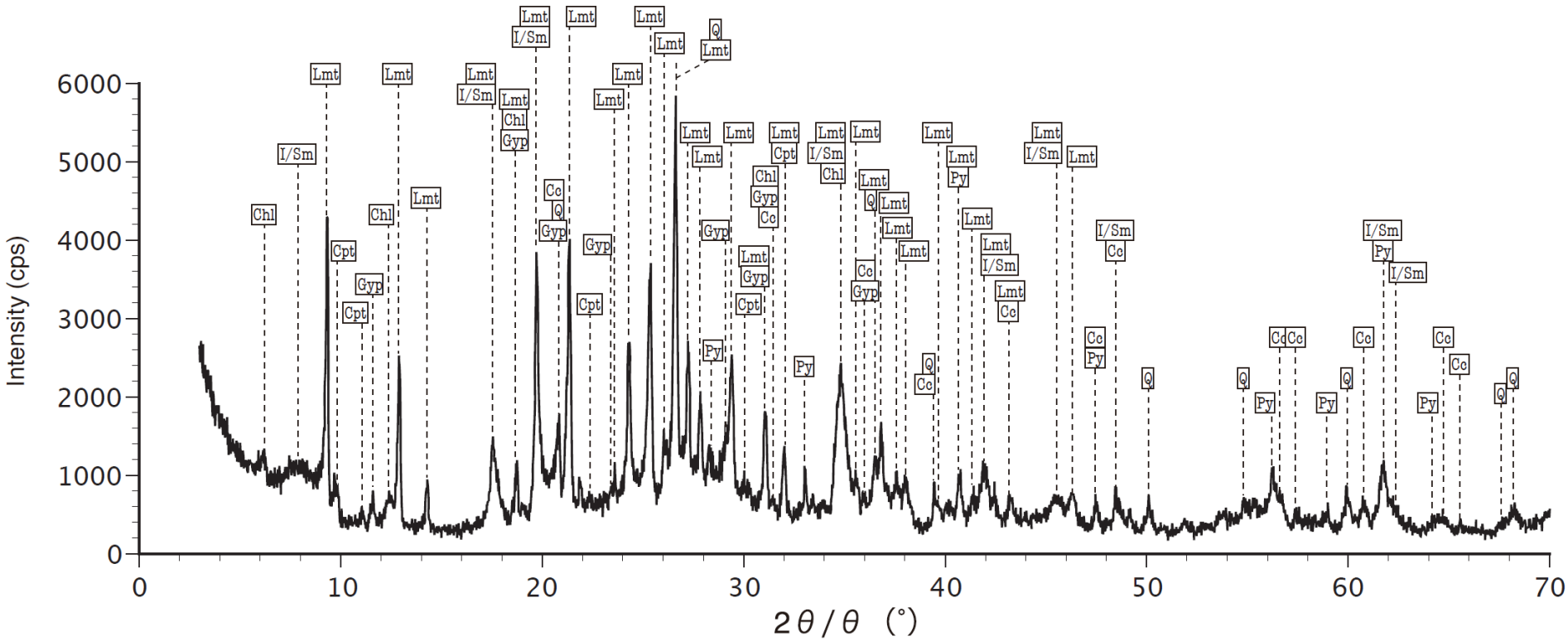
試料名: No.339-B23-u

- 凡例
- : 定方位 (無処理)
 - : 定方位 (エフレンジーリコール処理)
 - : 定方位 (塩酸処理)
- [主要造岩鉱物類]
- Q : 石英
- [粘土鉱物]
- I/Sm : イライト/スメクタイト混合層鉱物
 - I/Sm(EG) : イライト/スメクタイト混合層鉱物 (エフレンジーリコール処理後)
 - Chl : 緑泥石
- [沸石類]
- Zeo : 沸石



3. シームの活動性 (2)せん断面と鉱物脈との接触関係に着目した活動性評価 ②B23シームの類似性
X線回折分析のチャート(B23シーム, 不定方位)

試料名: No.339-B23-s



凡例	[主要造岩鉱物類]	[沸石類]	[粘土鉱物]	[炭酸塩鉱物]	[硫化鉱物]
— : 不定方位 (無処理)	Q : 石英	Cpt : 斜プチロル沸石	I/Sm : イライト/ス멕タイト混合層鉱物	Ce : 方解石	Gyp : 石膏
		Lmt : ローモンタイト	Chl : 緑泥石		Py : 黄鉄鉱

X線回折分析のチャート(B23シーム, 定方位)

試料名: No.339-B23-s

凡例

- : 定方位 (無処理)
- : 定方位 (エフレング リコール処理)
- : 定方位 (塩酸処理)

[主要造岩鉱物類]

Q : 石英

[粘土鉱物]

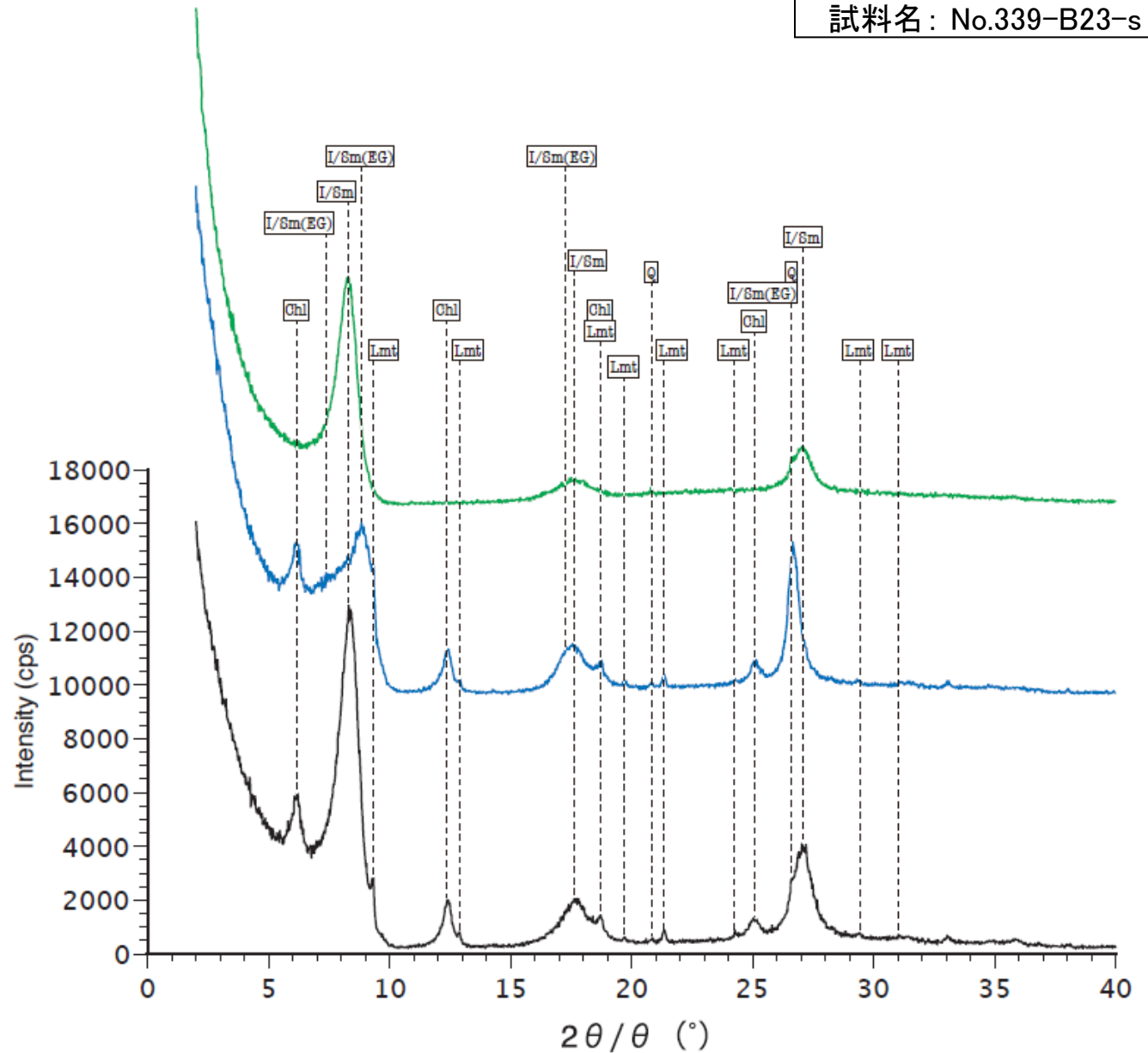
I/Sm : イライト/スメクタイト混合層鉱物

I/Sm(EG) : イライト/スメクタイト混合層鉱物 (エフレング リコール処理後)

Chl : 緑泥石

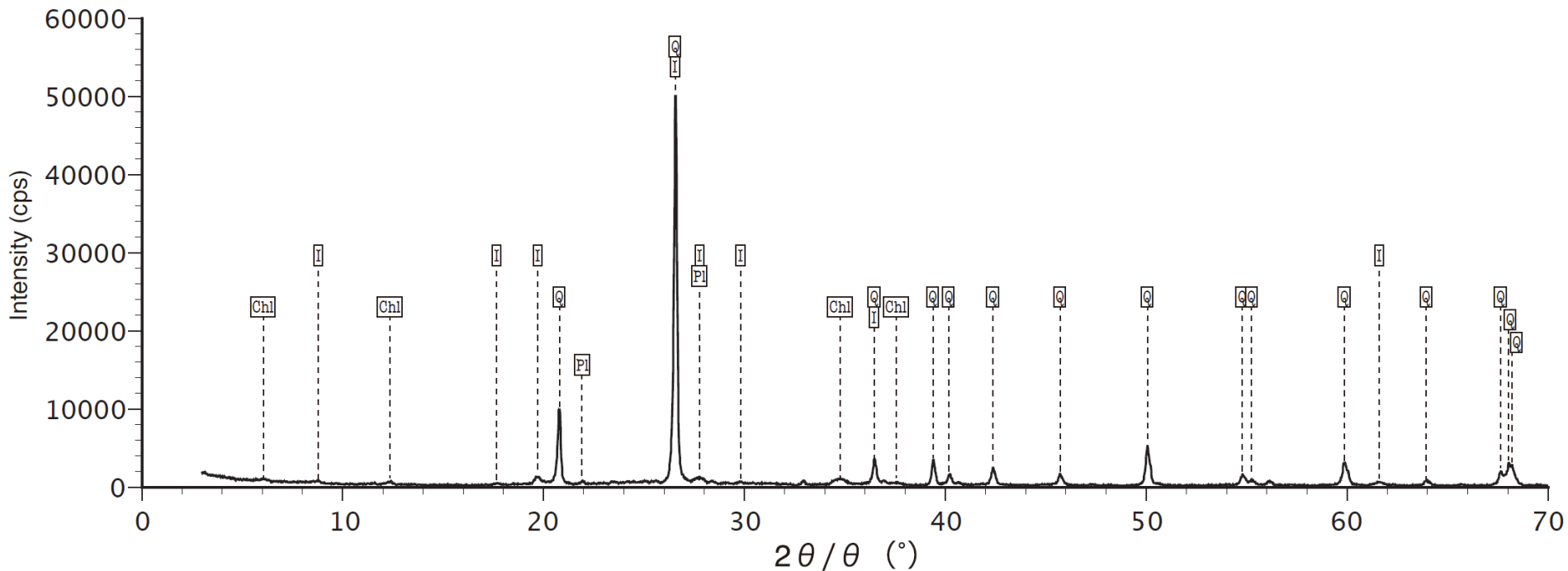
[沸石類]

Lmt : ローモンタイト



3. シームの活動性 (2)せん断面と鉱物脈との接触関係に着目した活動性評価 ②B23シームの類似性
 X線回折分析のチャート(B23シーム下盤母岩, 不定方位)

試料名: No.339-B23-I



凡例

— : 不定方位 (無処理)

[主要造岩鉱物類]

Q : 石英
 Pl : 斜長石

[粘土鉱物]

I : イライト
 Chl : 緑泥石

3. シームの活動性 (2)せん断面と鉱物脈との接触関係に着目した活動性評価 ②B23シームの類似性
X線回折分析のチャート(B23シーム下盤母岩, 定方位)

第223回審査会合
資料2-2 p.34 再掲

142

試料名: No.339-B23-I

凡例

- : 定方位 (無処理)
- : 定方位 (エチレン glycol 処理)
- : 定方位 (塩酸処理)

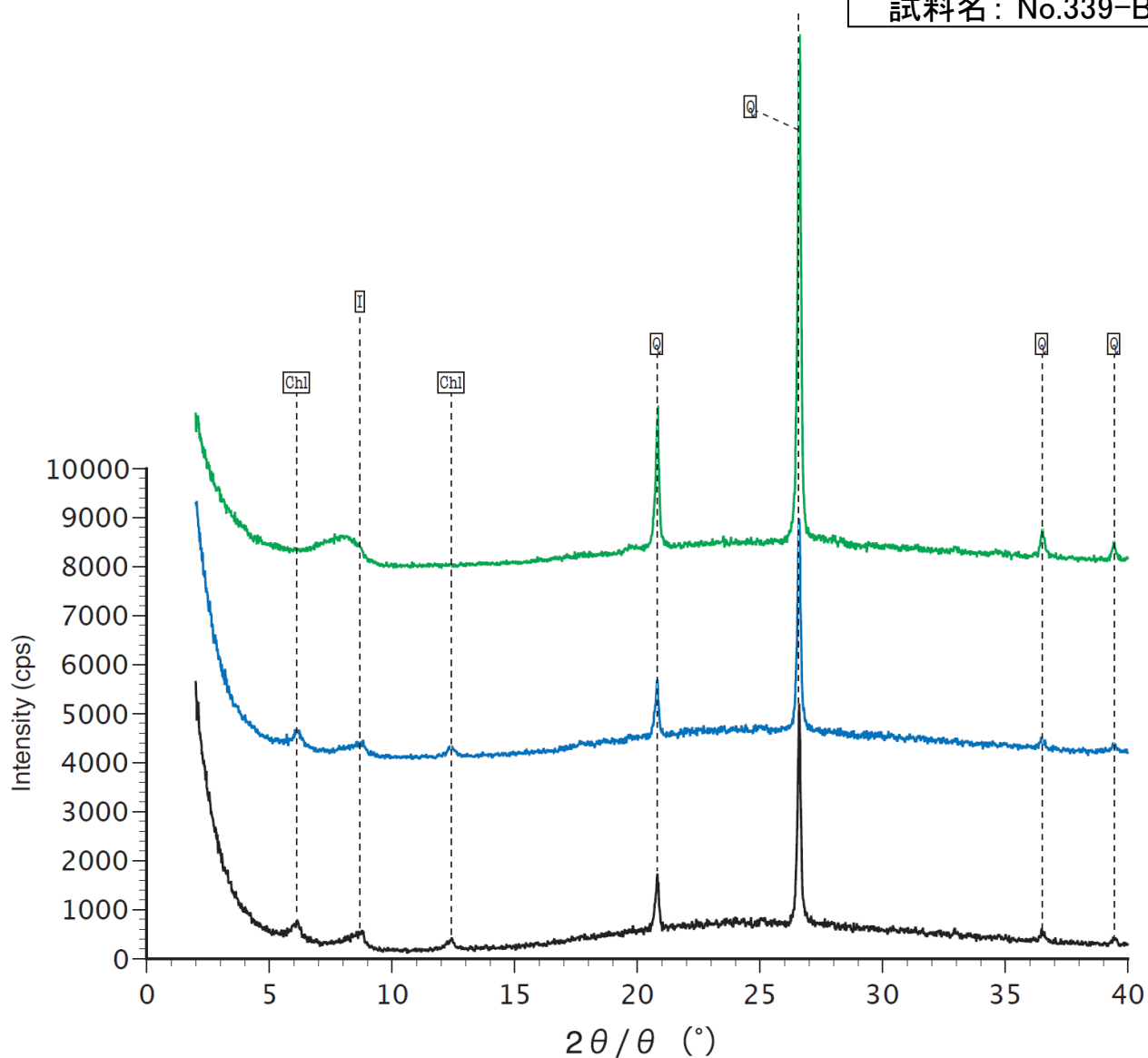
[主要造岩鉱物類]

Q : 石英

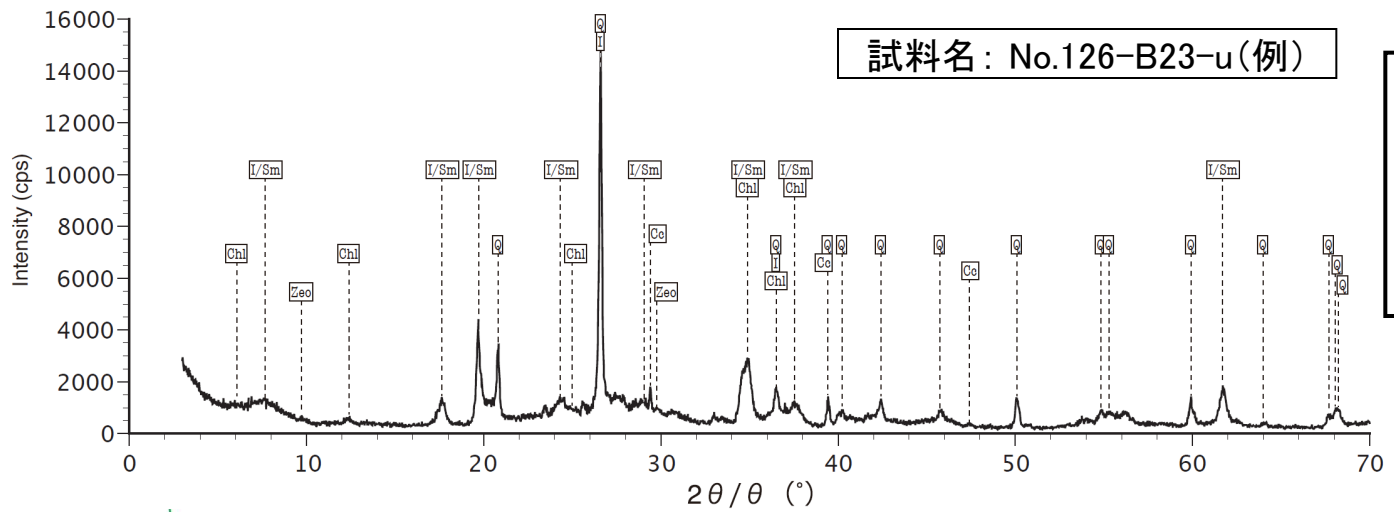
[粘土鉱物]

I : イライト

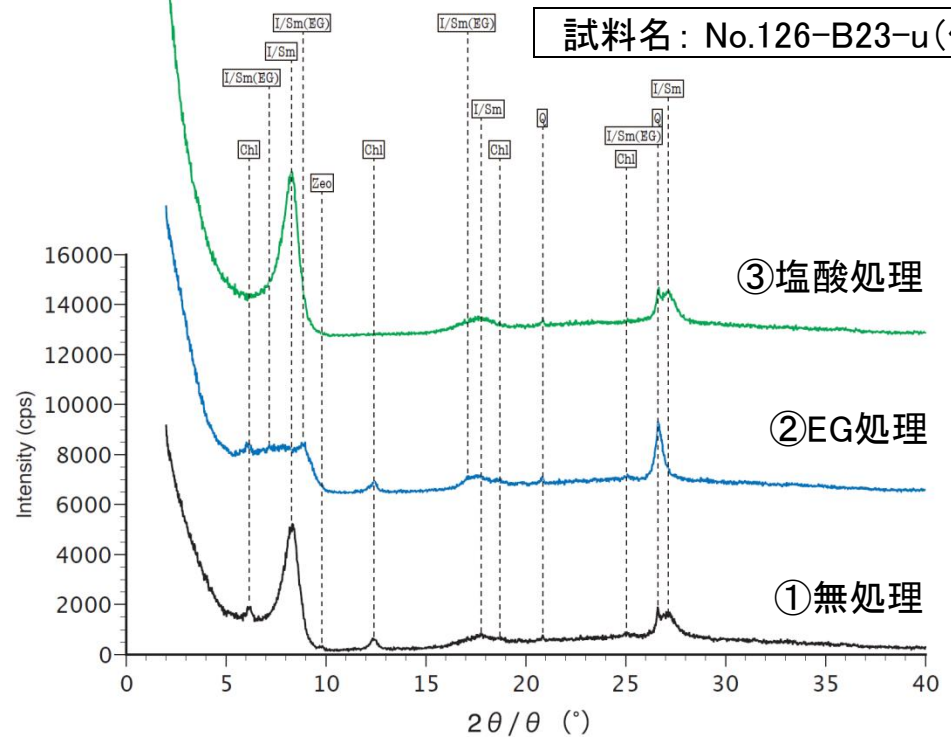
Chl : 緑泥石



(参考) X線回折分析の分析方法



[不定方位法]
 ・通常の粉末法で測定した。
 ・得られたデータを既知のデータと比較し、含有される鉱物の種類を同定した。

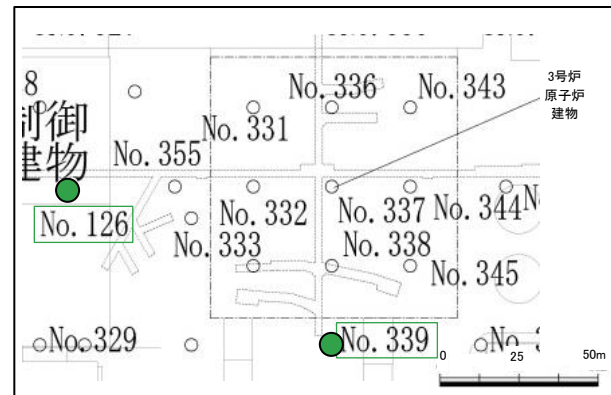


[定方位法]
 ・水ひ法により2μm以下の粘土鉱物を濃集して測定した。
 ①無処理
 粘土鉱物のピークが鮮明になる。
 ②エチレングリコール処理(EG処理)
 エチレングリコール処理により、スメクタイトが膨潤し、その底面間隔が広がるため、イライト/スメクタイト混合層鉱物のピークが変化する。
 ③塩酸処理
 塩酸処理により、緑泥石の結晶構造が破壊され、そのピークが消失する。

B23シームと周辺母岩のX線回折分析結果

シーム及び周辺母岩のX線回折分析 結果総括表

	試料名	126-B23-u	126-B23-s	126-B23-l	339-B23-u	339-B23-s	339-B23-l
	対象	母岩(上盤) 凝灰質頁岩	シーム	母岩(下盤) 黒色頁岩	母岩(上盤) 凝灰質頁岩	シーム	母岩(下盤) 黒色頁岩
主要造岩 鉱物類	石英	◎	○	◎	◎	△	◎
	斜長石			△			△
沸石	沸石類	△	△	△	△		
	斜プチロル沸石					△	
	ローモンタイト					○	
粘土鉱物	イライト/スメクタイト混合層鉱物	△	△		△	△	
	イライト			△			△
	緑泥石	△	△	△	△	△	△
炭酸塩鉱物	方解石	△	△			△	
硫化鉱物	石膏					△	
	黄鉄鉱					△	



シーム及び周辺母岩のX線回折分析試料採取位置図

※ B23シームの薄片観察結果は3.(1)③章を参照

凡例	
[薄片観察結果]	[X線回折分析結果]
局所的に確認できる鉱物	シームと上盤母岩(凝灰質頁岩)の両方で確認された鉱物
全体的に認められる鉱物	シームと上盤母岩(凝灰質頁岩)のどちらかで確認された鉱物
	◎ 多量 △ 少量
	○ 中量 + 微量

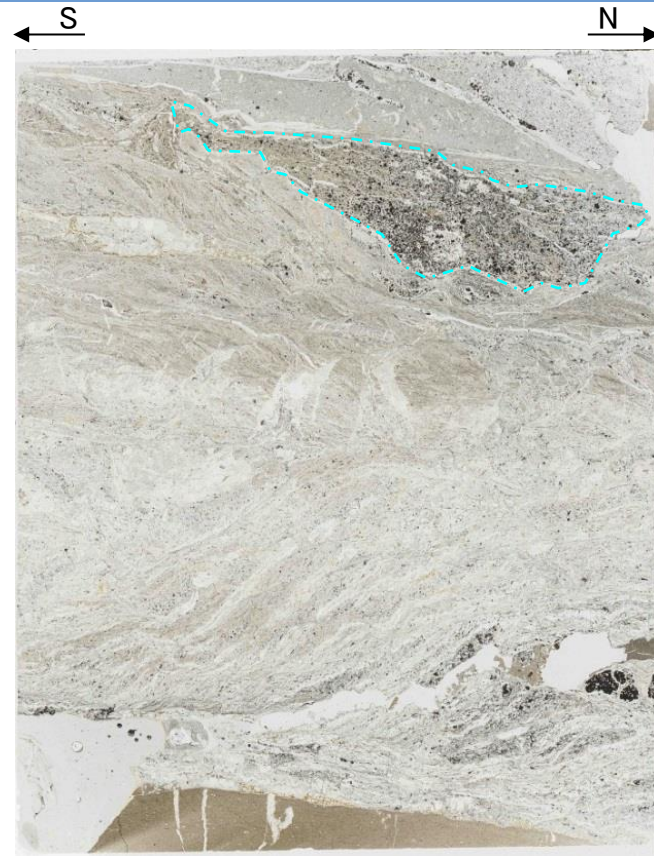
- ・薄片観察結果より、シームとその周辺母岩の色調等から、B23シームの母岩は凝灰質頁岩であると**同定した**。
- ・ボーリングコアからB23シームとその周辺母岩の試料を採取し、X線回折分析を実施した結果、
 - ①下盤母岩(黒色頁岩)では、シームで認められるイライト/スメクタイト混合層鉱物が認められず、シームで認められないイライト及び斜長石が確認できる。
 - ②上盤母岩(凝灰質頁岩)では、シームの薄片観察で局所的に確認されている変質鉱物の方解石、黄鉄鉱及びローモンタイトを除くと、シームと概ね同様の鉱物組成であり、薄片観察結果と整合的である。

薄片観察結果 BS2-B23 薄片全体写真

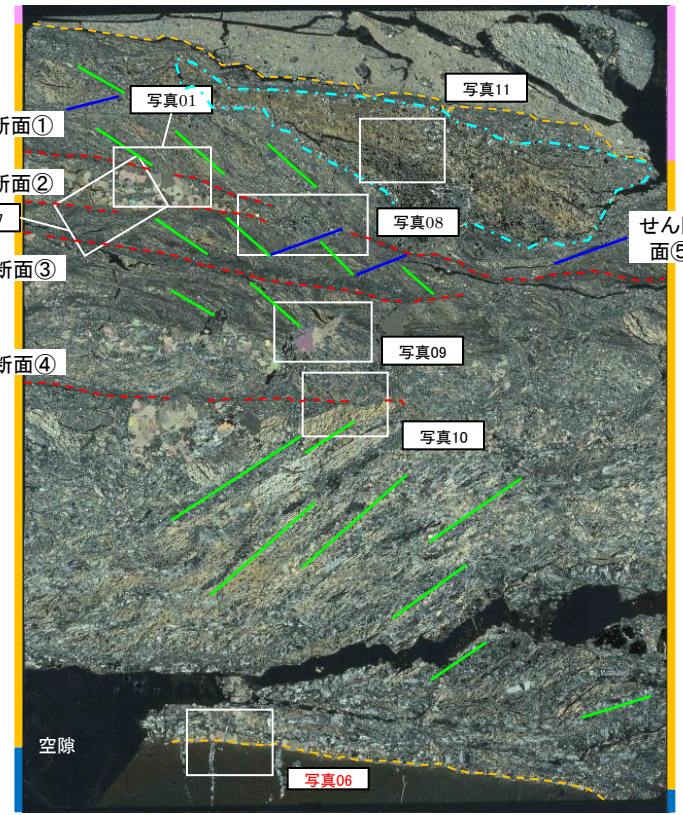
凡例
□ : 薄片作製位置



B23シーム研磨片写真



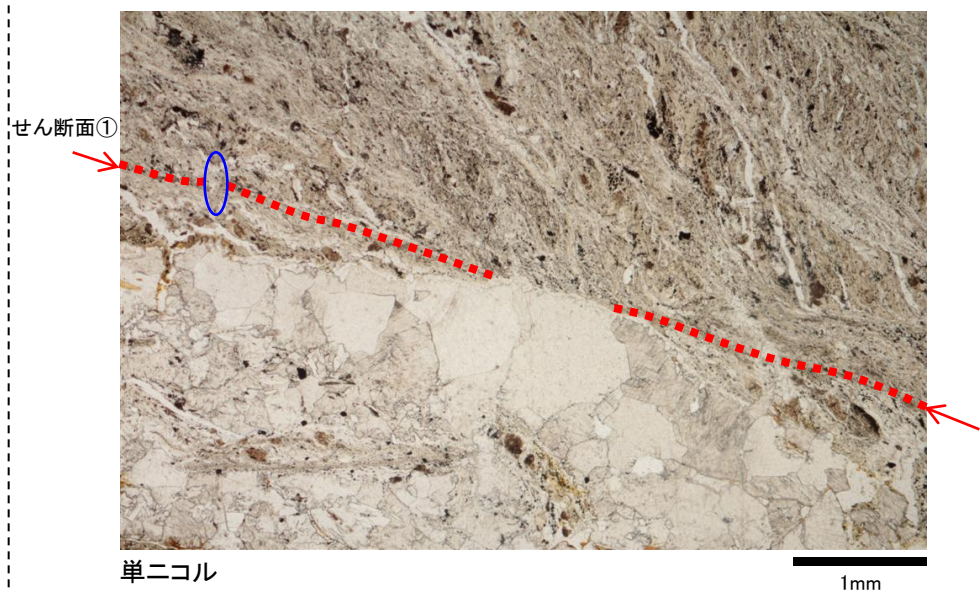
単ニコル
薄片全体写真(平成27年撮影)



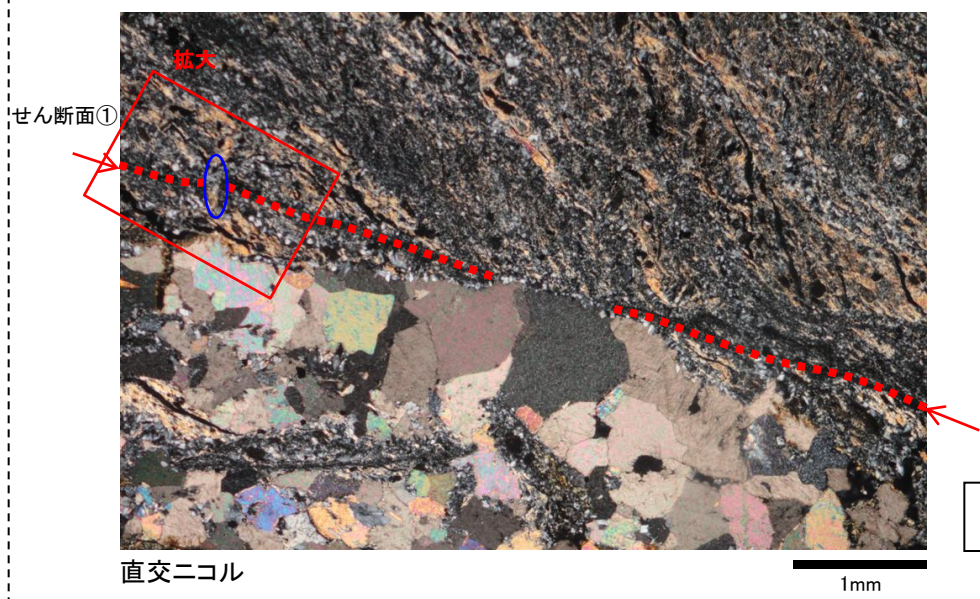
凡例
 --- : せん断面
 --- : シーム境界
 --- : R面
 --- : P面
 --- : 不透明鉱物密集部

- ・薄片全体を横断するようなせん断面は認められないが、細粒化しているせん断面のうち、比較的直線性・連続性が高い5本のせん断面を抽出した。
- ・シーム内のせん断面④付近を境に上部に左横ずれセンス(逆断層センス), 下部に右横ずれセンス(正断層センス)が認められる。
- ・シームと上盤母岩の境界部には、不透明鉱物の密集部が認められる。

薄片観察結果 BS2-B23

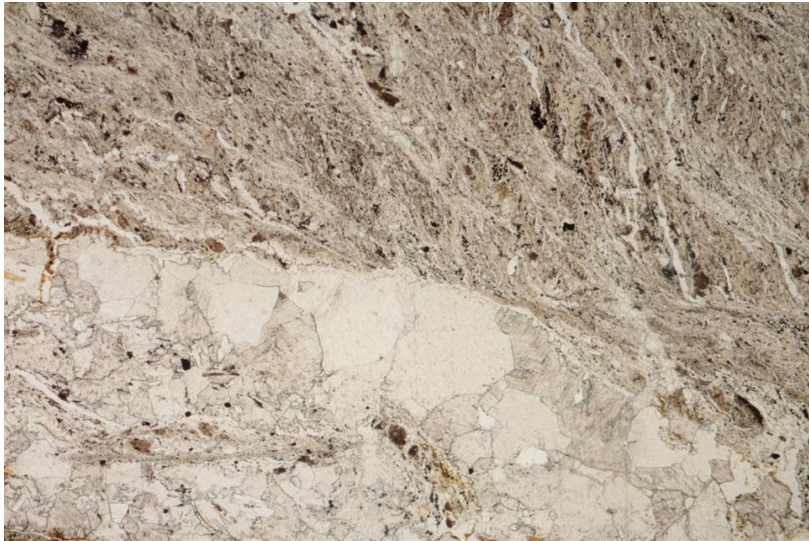


【写真01】
・自形鉱物が晶出してせん断面①は途切れている。自形鉱物は変位・変形を受けていない。



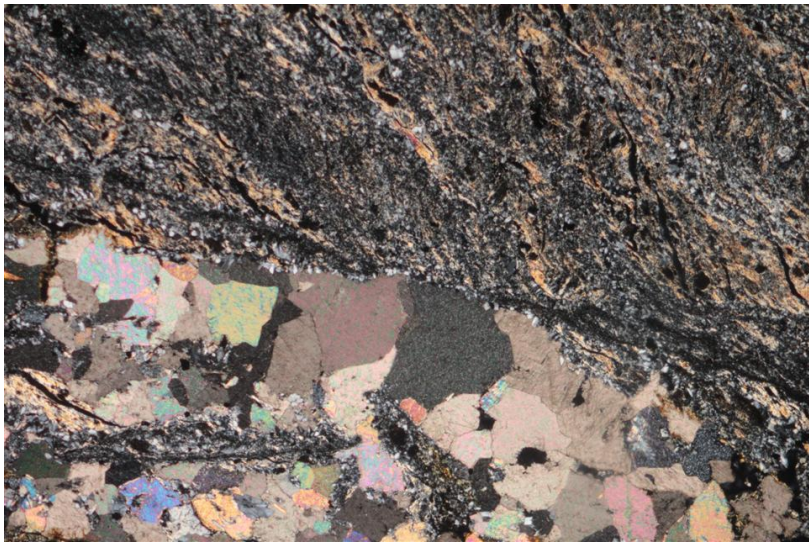
凡例
..... : せん断面
○ : 濁沸石

薄片観察結果 BS2-B23(解釈線なし)



単ニコル

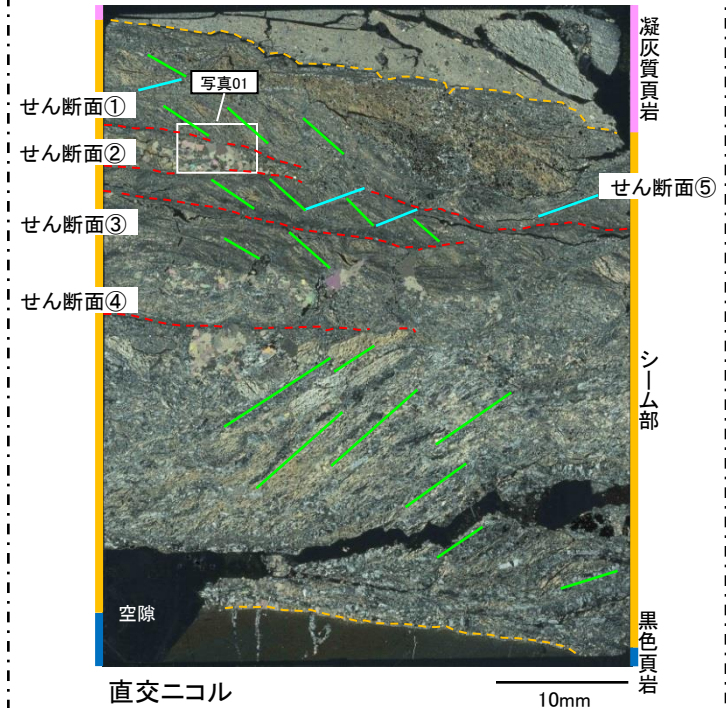
1mm



直交ニコル

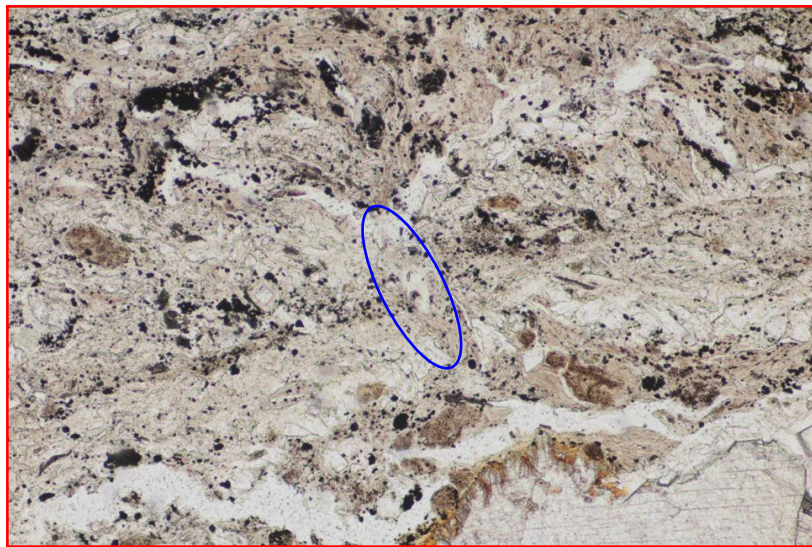
1mm

KEY-PLAN



凡例	--- : せん断面	--- : シーム境界
	— : R面	— : P面

薄片観察結果 BS2-B23

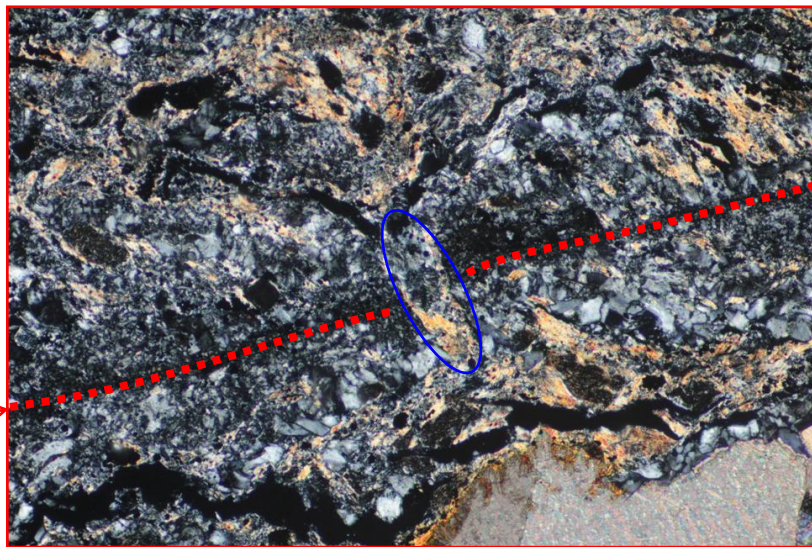


単ニコル

0.5mm

【写真01 拡大】

- ・せん断面①を横切るように晶出する鉱物は、単ニコルで無色、板状で劈開が顕著であり、直交ニコルで複屈折が小さく、消光角も小さいことから、X線回折分析の結果を踏まえ、濁沸石と同定した。
- ・濁沸石は変位・変形を受けていない。



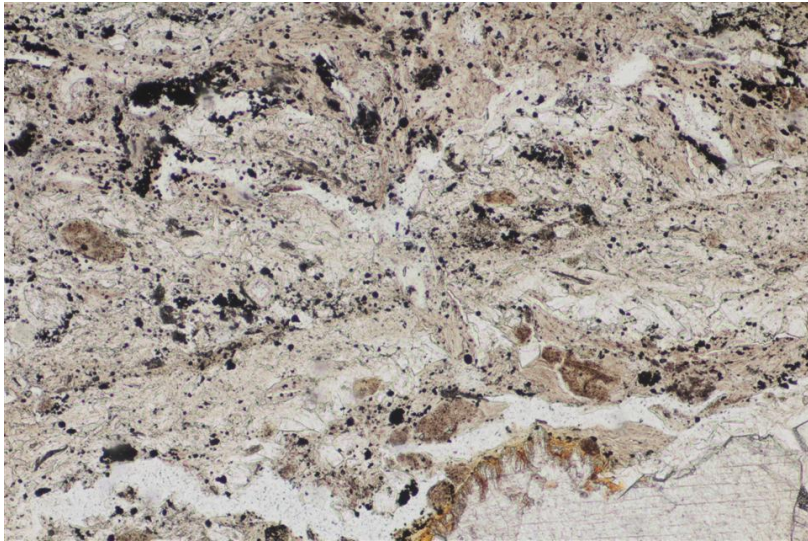
直交ニコル

0.5mm

せん断面①

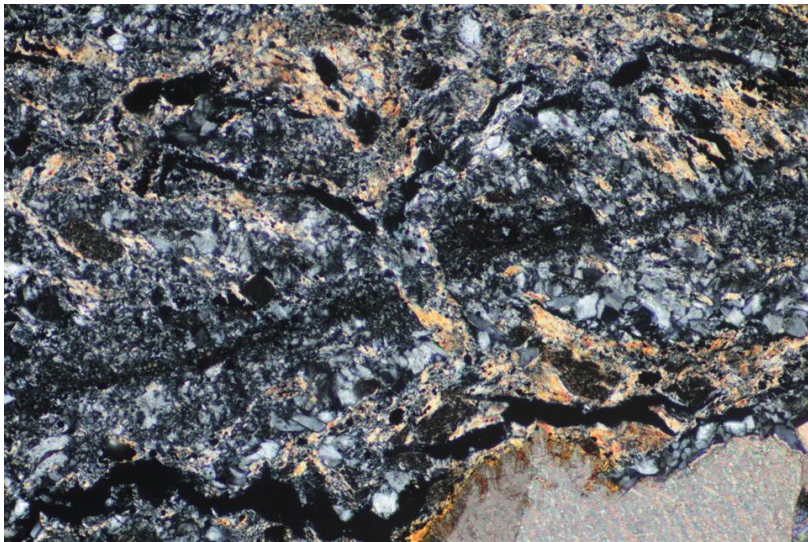
凡例
..... : せん断面
○ : 濁沸石

薄片観察結果 BS2-B23(解釈線なし)



単ニコル

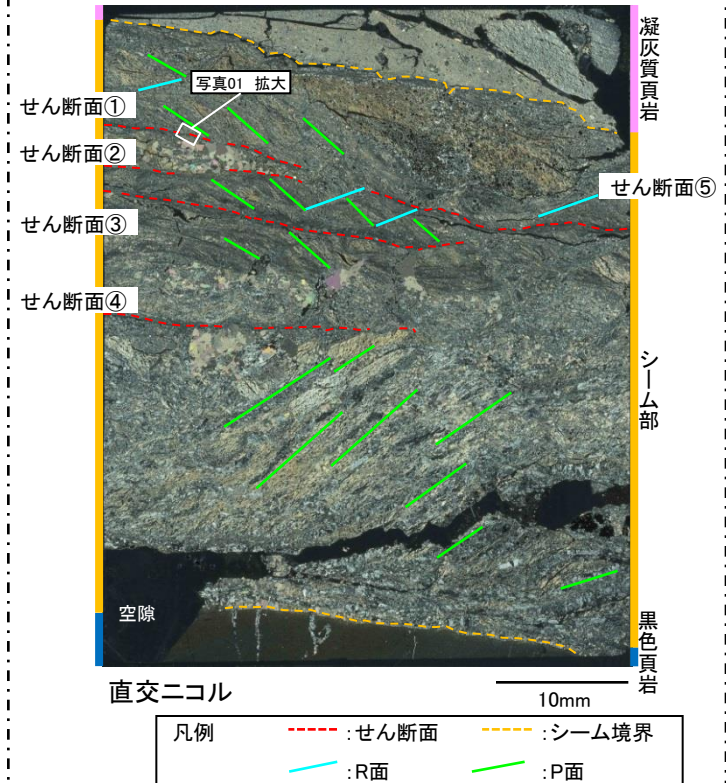
0.5mm



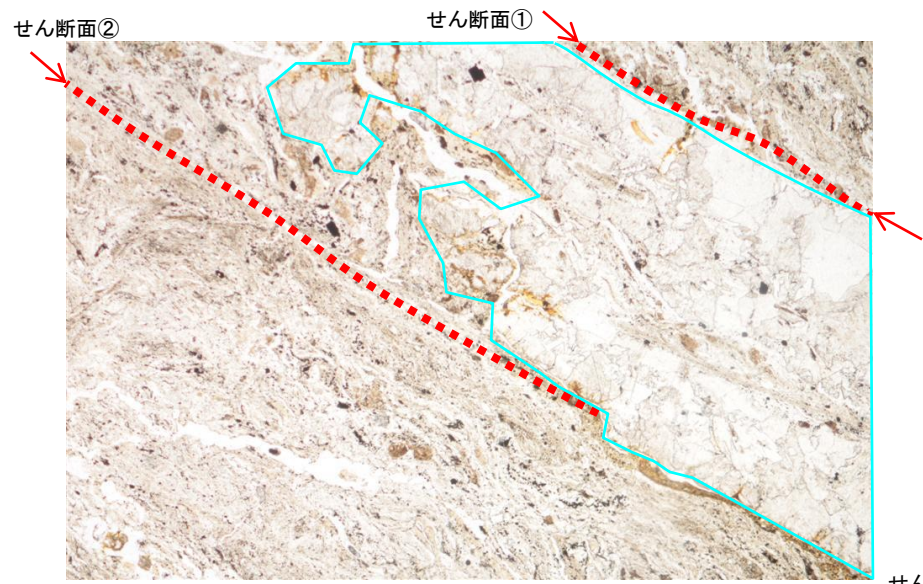
直交ニコル

0.5mm

KEY-PLAN

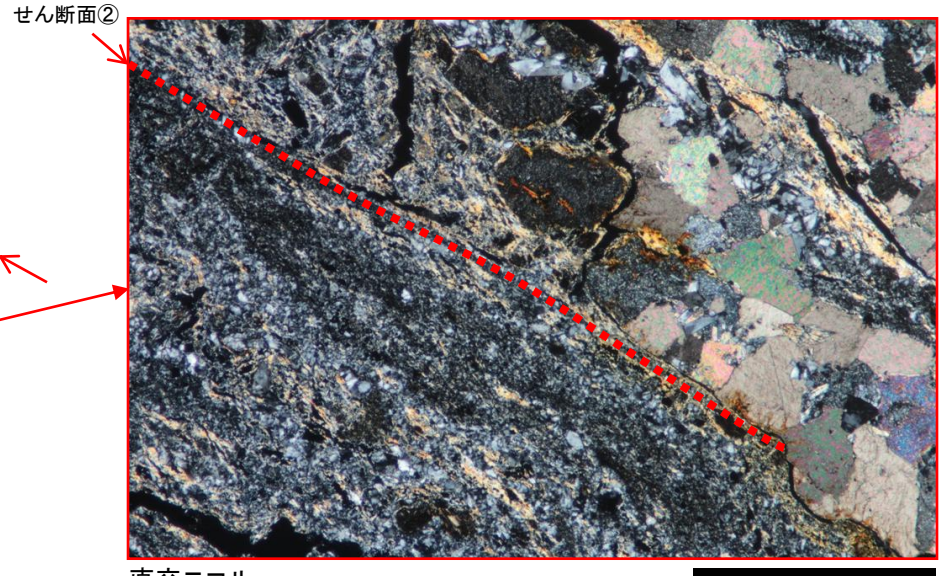
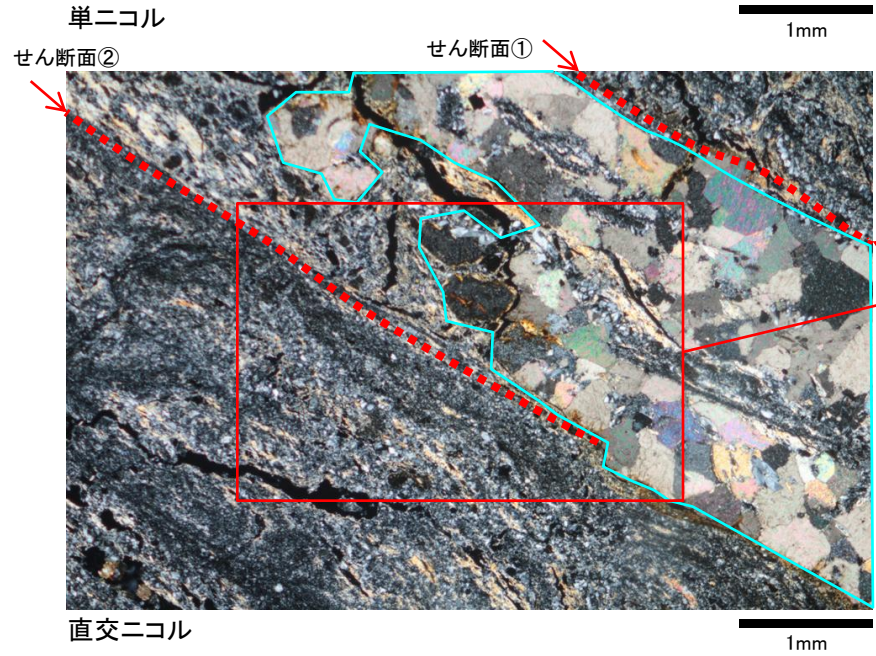


薄片観察結果 BS2-B23



【写真07】

- ・自形鉱物が晶出してせん断面②は途切れている。自形鉱物
は変位・変形を受けていない。
- ・自形鉱物は、単ニコルで無色で劈開が顕著であり、直交ニコ
ルで高次の干渉色を示すことから、X線回折分析結果を踏ま
え、方解石と**同定した**。



凡例

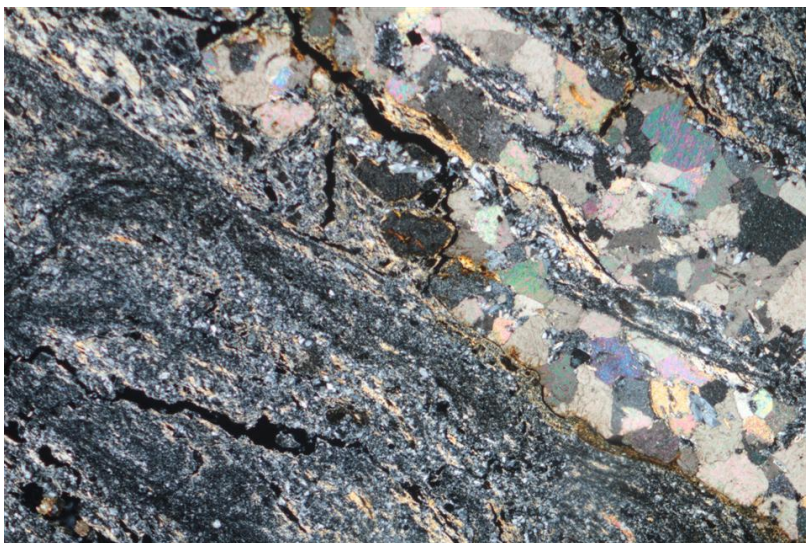
- : せん断面
- ← : せん断面
- : 方解石

薄片観察結果 BS2-B23(解釈線なし)



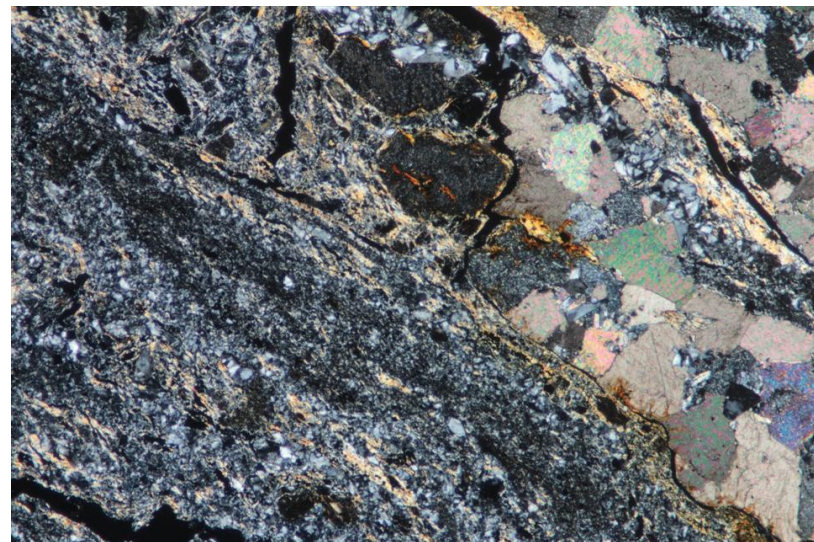
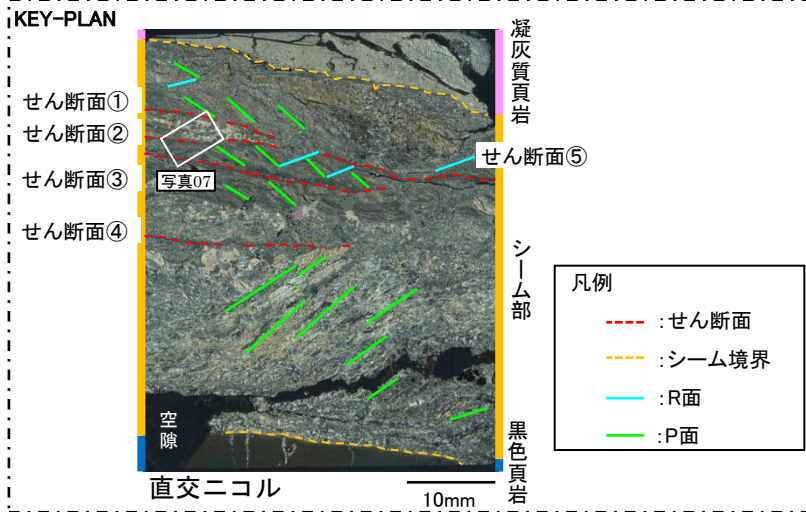
単ニコル

1mm



直交ニコル

1mm



直交ニコル

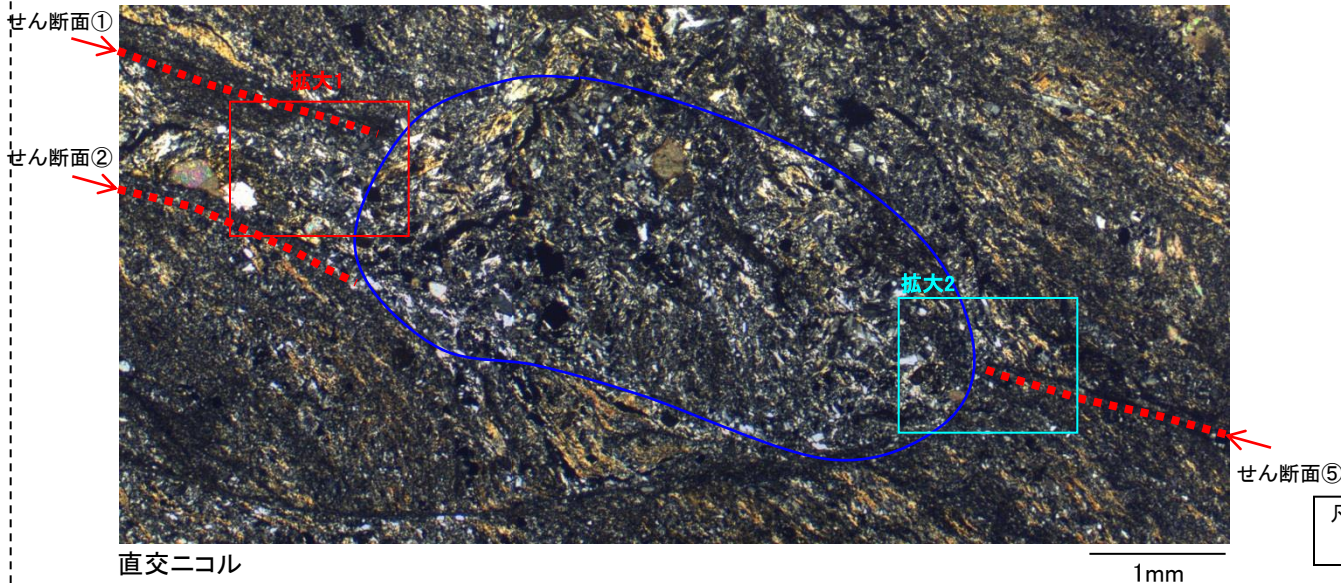
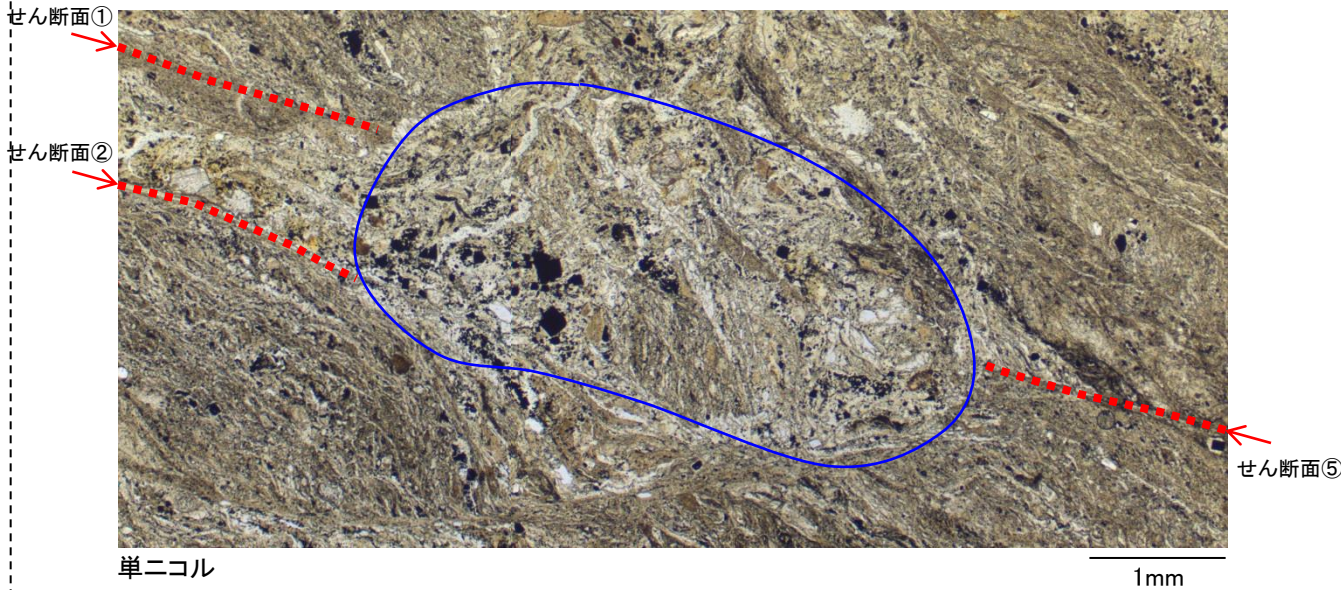
1mm

(平成27年撮影)

薄片観察結果 BS2-B23

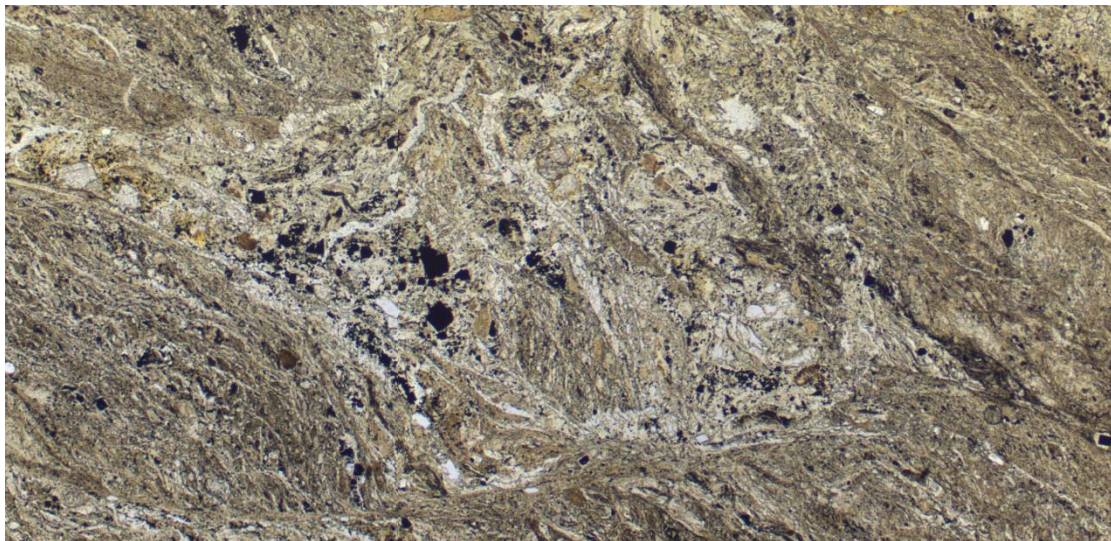
【鏡下写真08】

・せん断面①, ②及び⑤を横切るように、鉱物が晶出しており、変位・変形を受けていない。



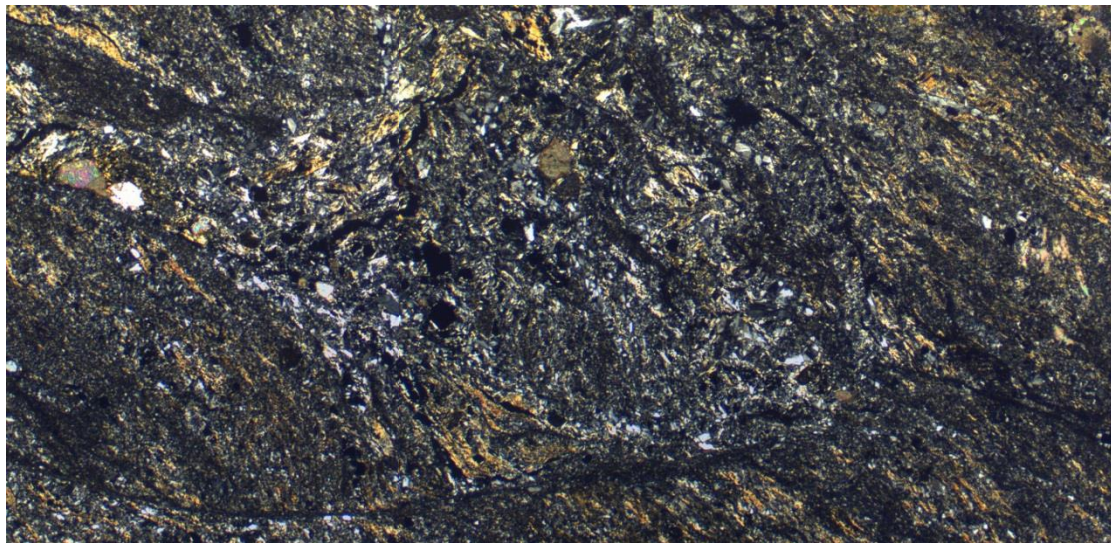
凡例		:せん断面
		:濁沸石

薄片観察結果 BS2-B23(解釈線なし)



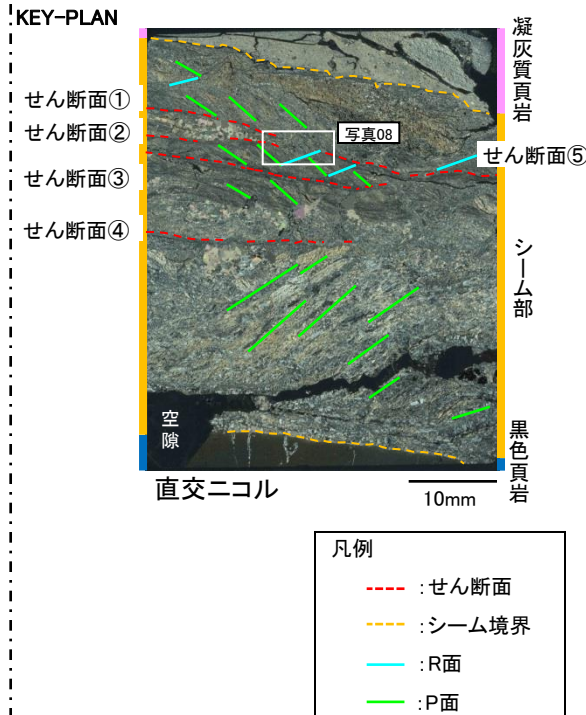
単ニコル

1mm

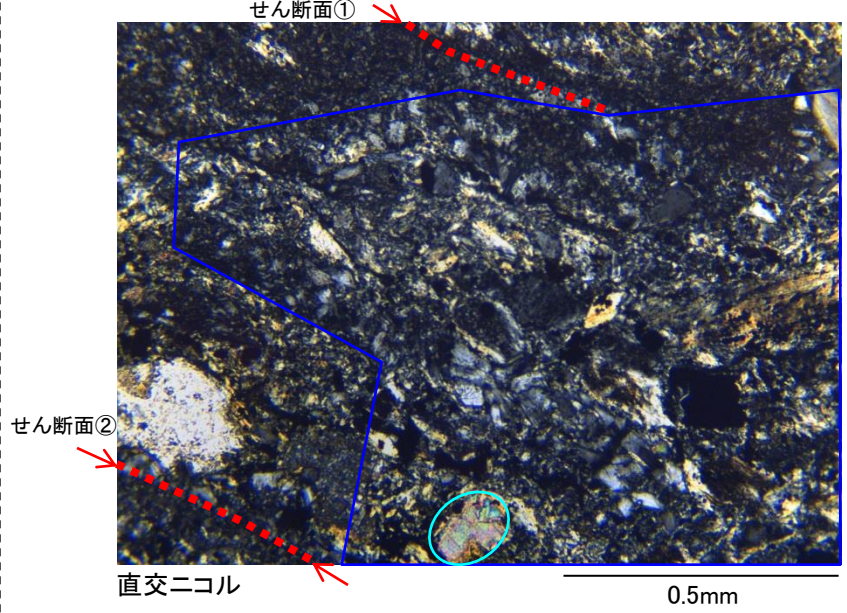
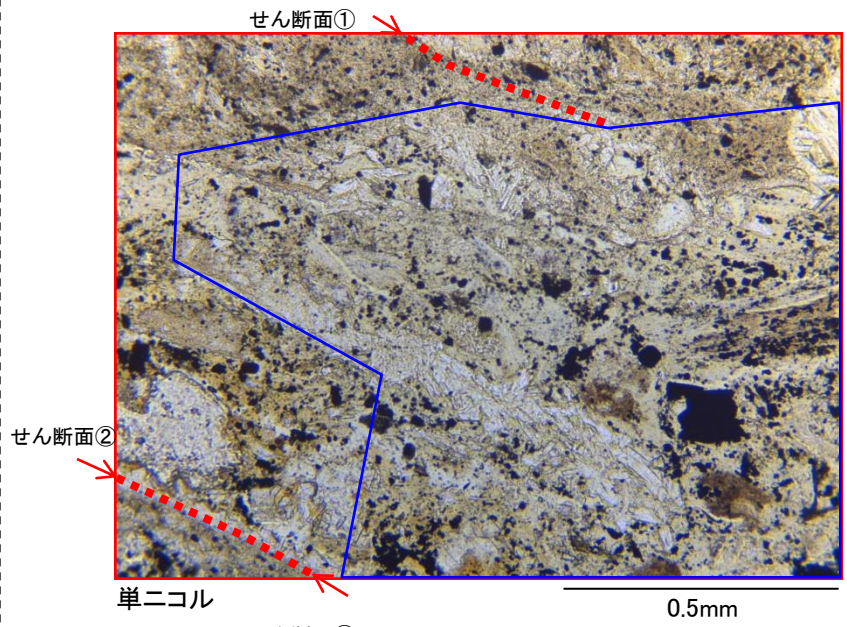


直交ニコル

1mm



薄片観察結果 BS2-B23

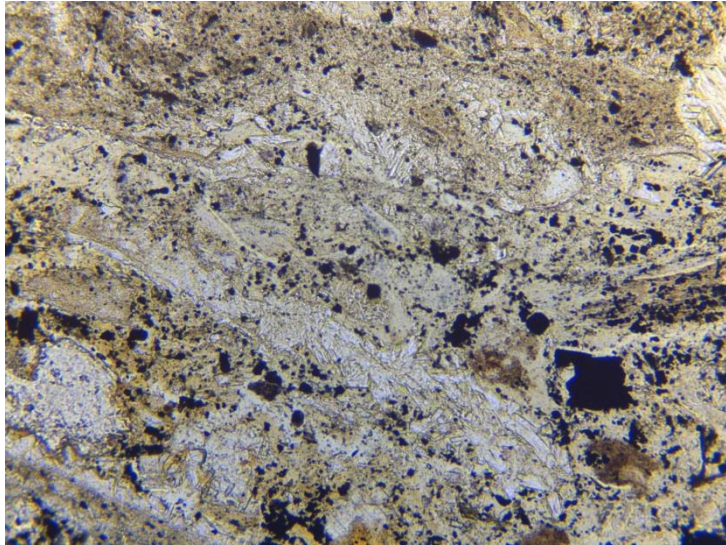


【鏡下写真08 拡大1】

- ・せん断面①を横断するように晶出する鉱物脈は、単ニコルで無色、板状で劈開が顕著であり、直交ニコルで複屈折が小さく、消光角も小さいことから、X線回折分析の結果を踏まえ、濁沸石と**同定した**。
- ・濁沸石は変位・変形を受けていない。

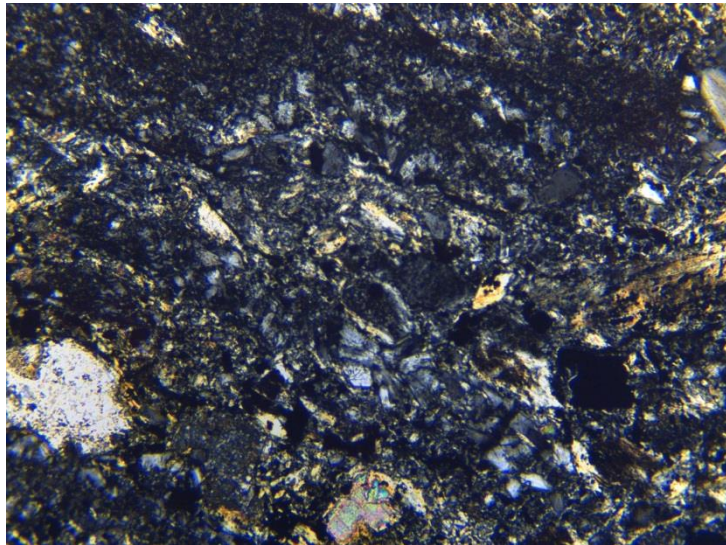
凡例		:せん断面
		:方解石
		:濁沸石

薄片観察結果 BS2-B23(解釈線なし)



単ニコル

0.5mm

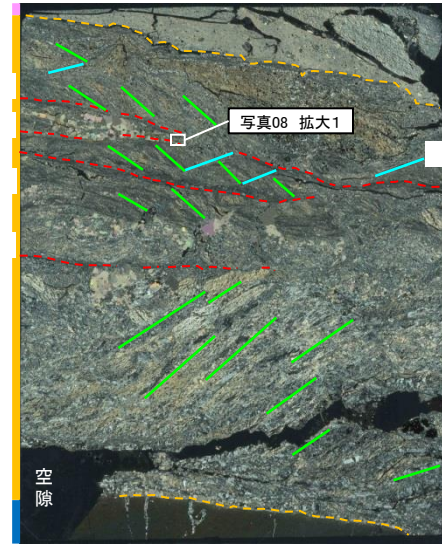


直交ニコル

0.5mm

KEY-PLAN

- せん断面①
- せん断面②
- せん断面③
- せん断面④



凝灰質頁岩

せん断面⑤

シーム部

黒色頁岩

空隙

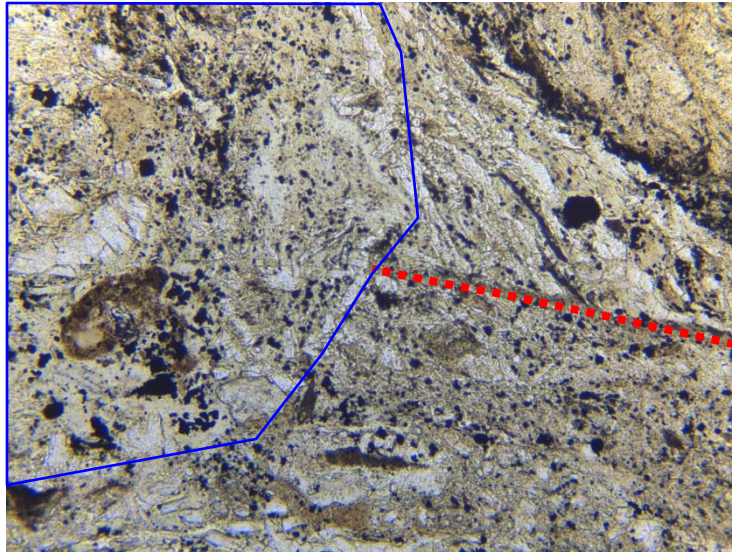
直交ニコル

10mm

凡例

- : せん断面
- : シーム境界
- : R面
- : P面

薄片観察結果 BS2-B23



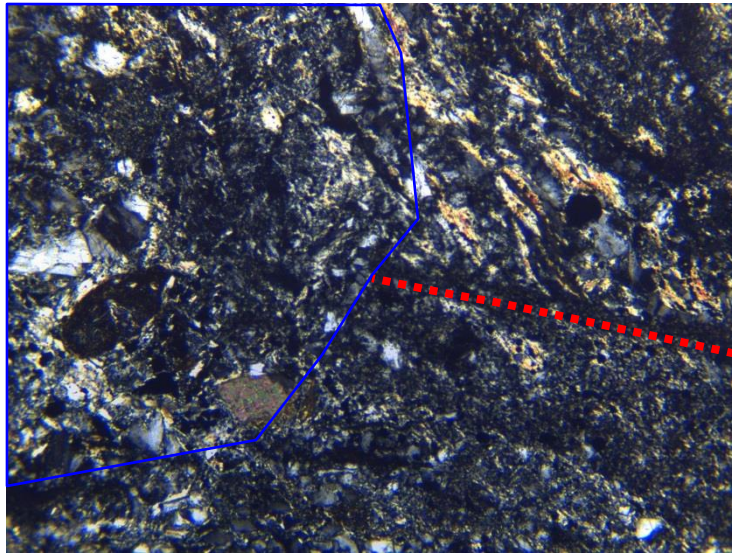
単ニコル

0.5mm

せん断面⑤

【鏡下写真08 拡大2】

- ・せん断面⑤を横断するように晶出する鉱物脈は、単ニコルで無色、板状で劈開が顕著であり、直交ニコルで複屈折が小さく、消光角も小さいことから、X線回折分析の結果を踏まえ、濁沸石と**同定した**。
- ・濁沸石は変位・変形を受けていない。



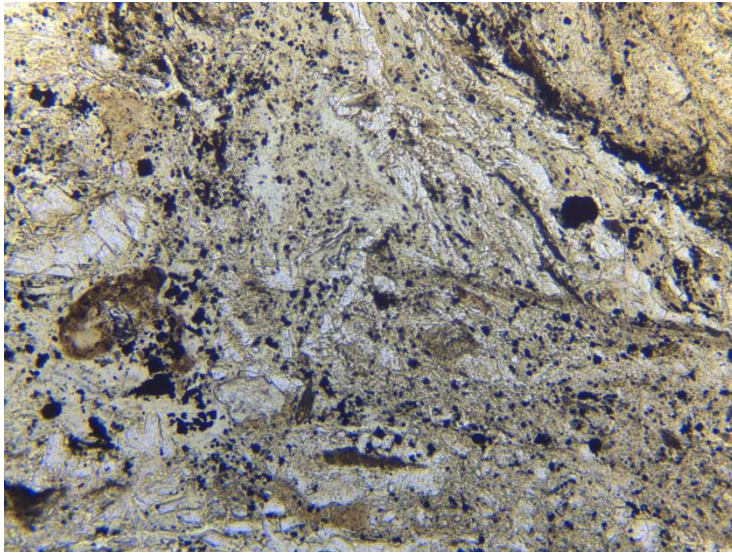
直交ニコル

0.5mm

せん断面⑤

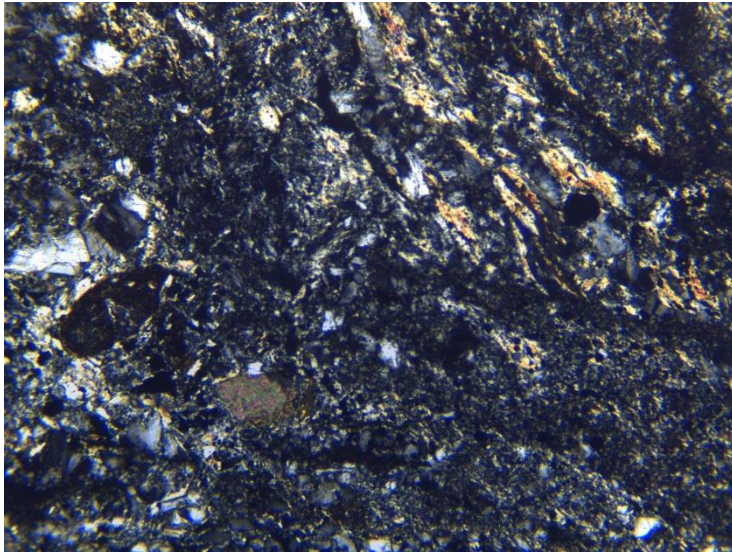
凡例
..... : せん断面
○ : 濁沸石

薄片観察結果 BS2-B23(解釈線なし)



単ニコル

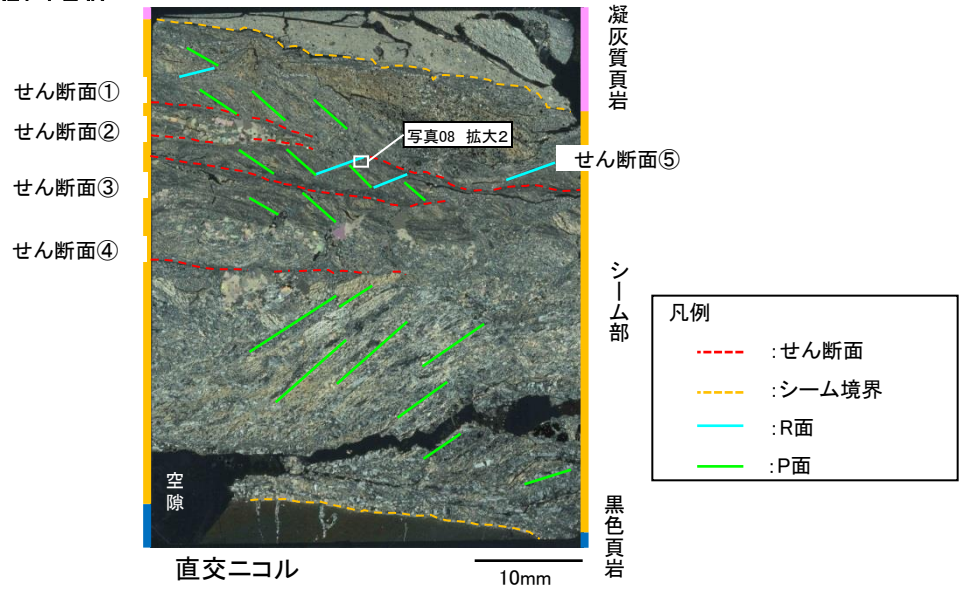
0.5mm



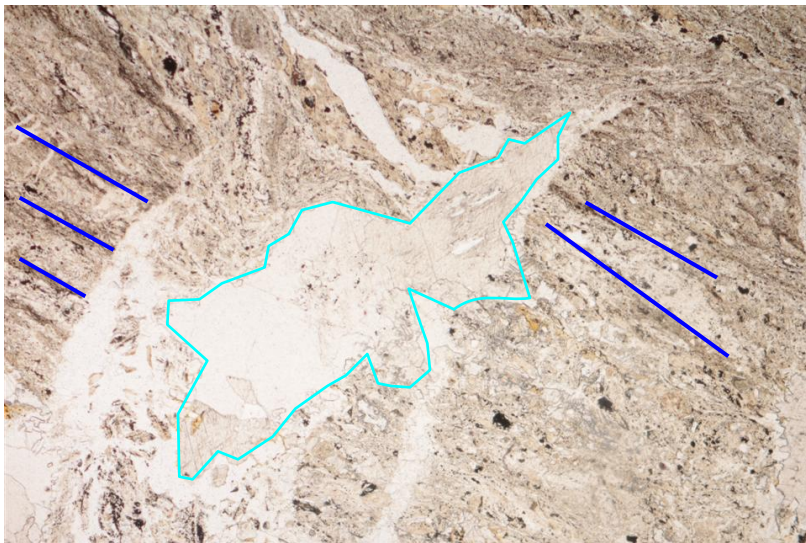
直交ニコル

0.5mm

KEY-PLAN

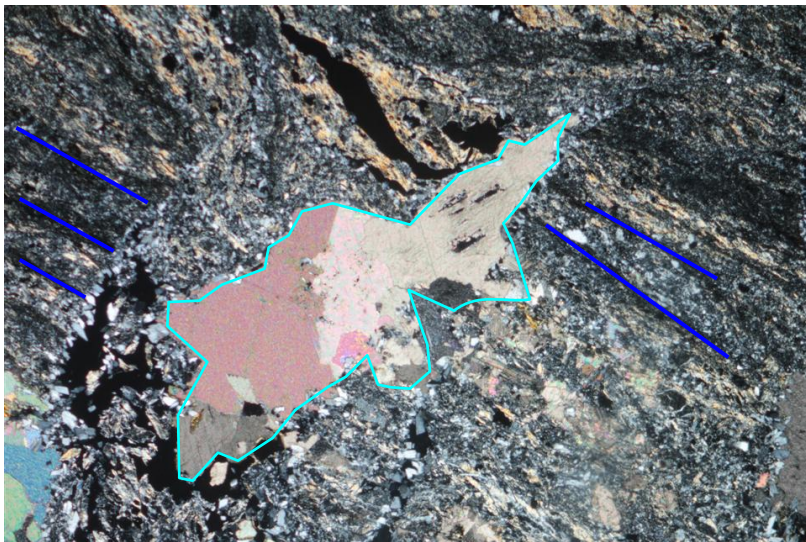


薄片観察結果 BS2-B23



単ニコル

1mm



直交ニコル

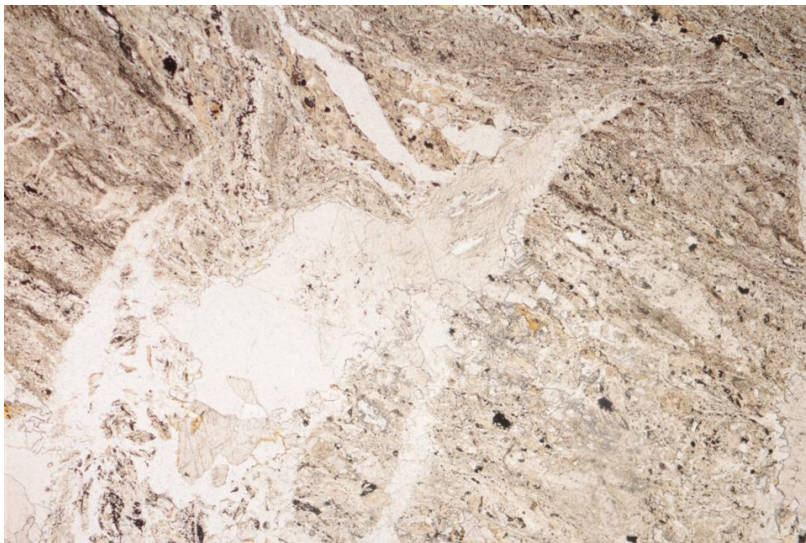
1mm

【写真09】

- ・シーム内に葉状の面構造(P面)が確認できる。P面の方向と薄片作製方向から、逆断層センスと評価した。
- ・P面を横切るように鉱物が晶出しており、変位・変形を受けていない。
- ・P面を横切るように晶出する鉱物は、単ニコルで無色で劈開が顕著であり、直交ニコルで高次の干渉色を示すことから、X線回折分析結果を踏まえ、方解石と同定した。

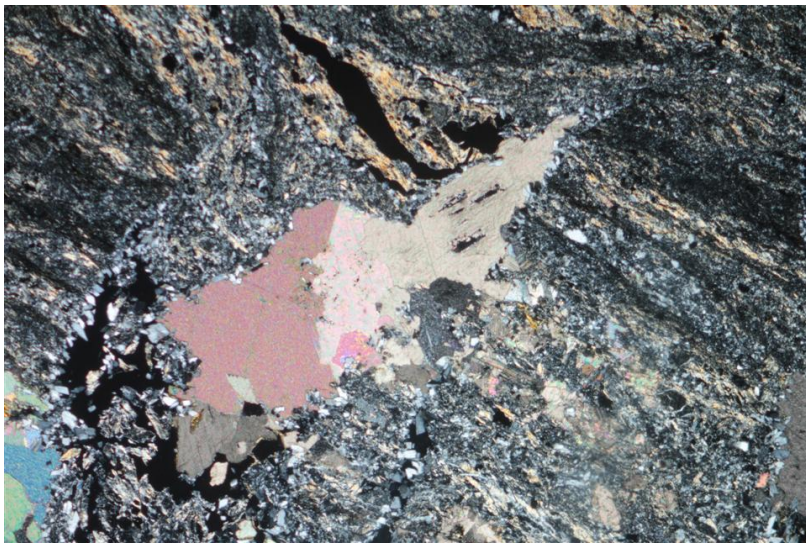
凡例 ○ : 方解石 — : P面

薄片観察結果 BS2-B23(解釈線なし)



単ニコル

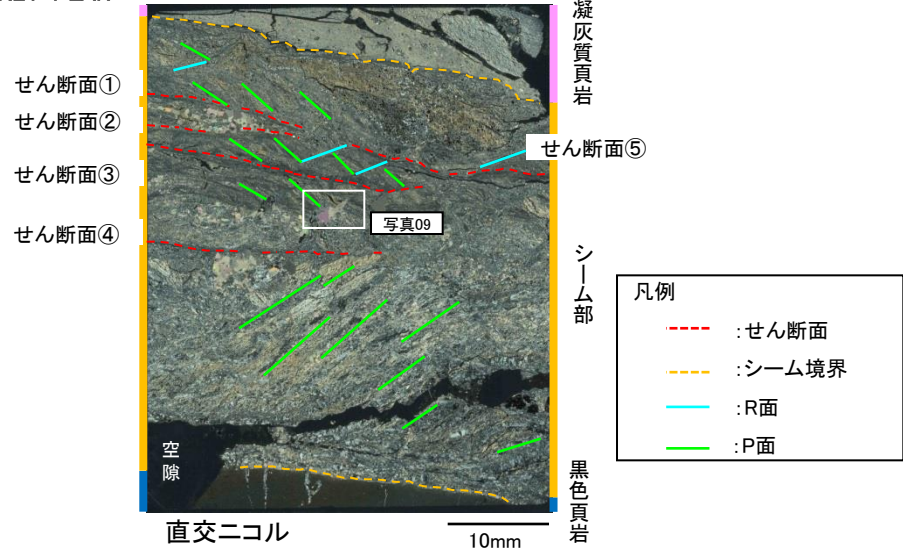
1mm



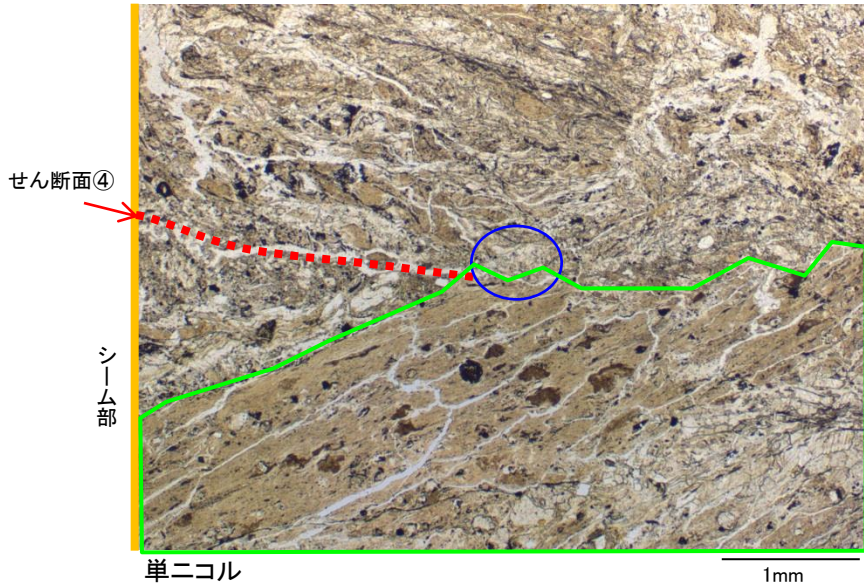
直交ニコル

1mm

KEY-PLAN

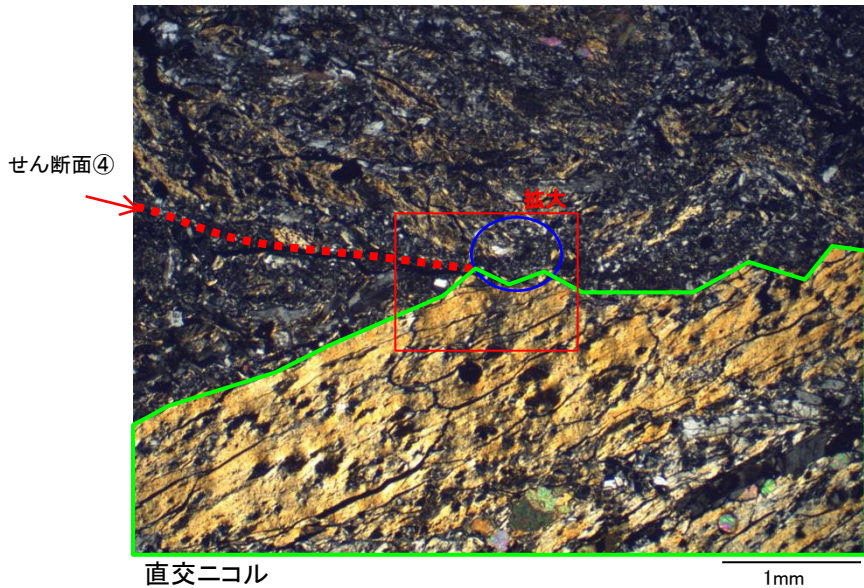


薄片観察結果 BS2-B23



【写真10】

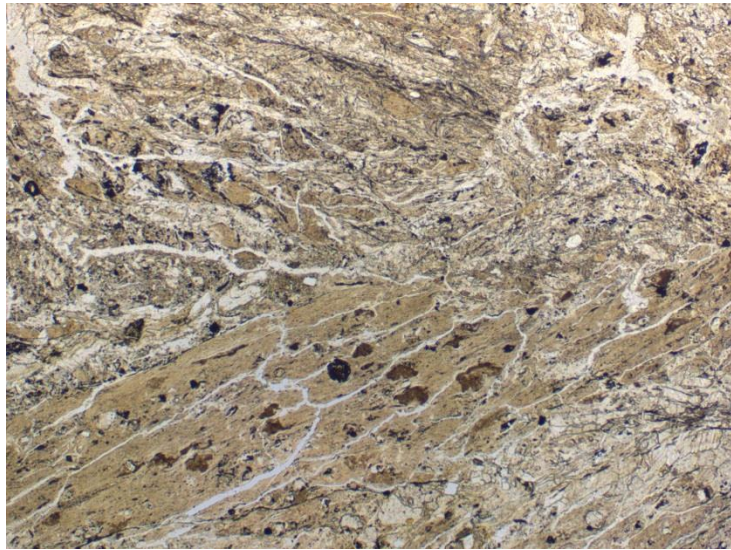
- ・せん断面④上部には左横ずれセンス(逆断層センス), 下部には右横ずれセンス(正断層センス)が認められる。
- ・せん断面④の下側には, 直交ニコルで黄金色のイライト/スメクタイト混合層鉱物が確認できるが, 上部の逆断層センスの構造に切断されている。



凡例

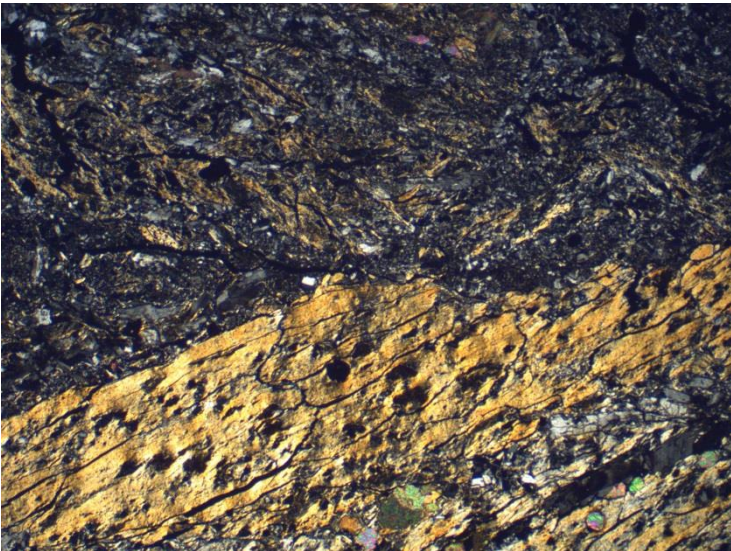
- ← : せん断面
- : 濁沸石
- : イライト/スメクタイト混合層鉱物

薄片観察結果 BS2-B23(解釈線なし)



単ニコル

1mm

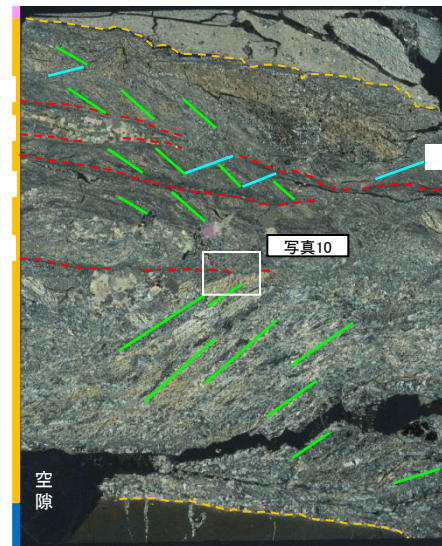


直交ニコル

1mm

KEY-PLAN

- せん断面①
- せん断面②
- せん断面③
- せん断面④



凝灰質頁岩

せん断面⑤

シーム部

凡例

- : せん断面
- : シーム境界
- : R面
- : P面

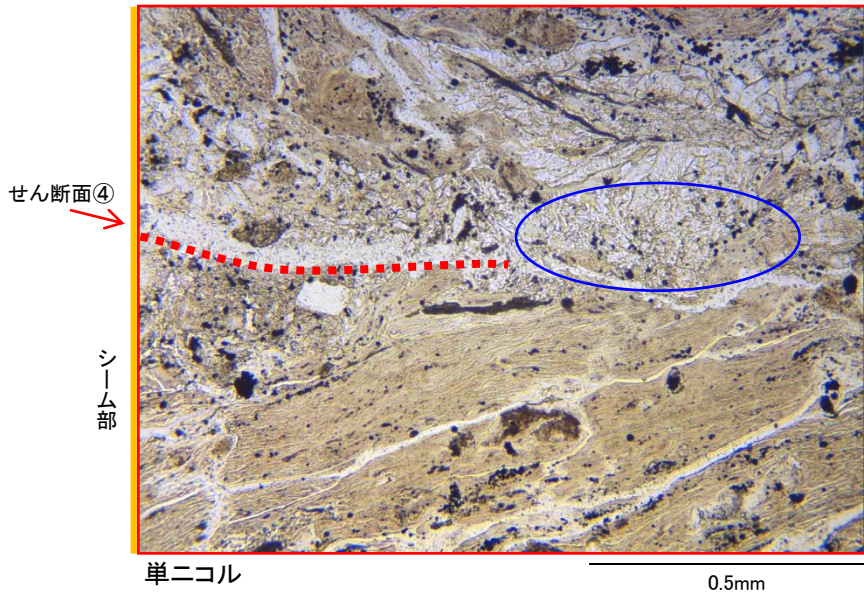
空隙

黑色頁岩

直交ニコル

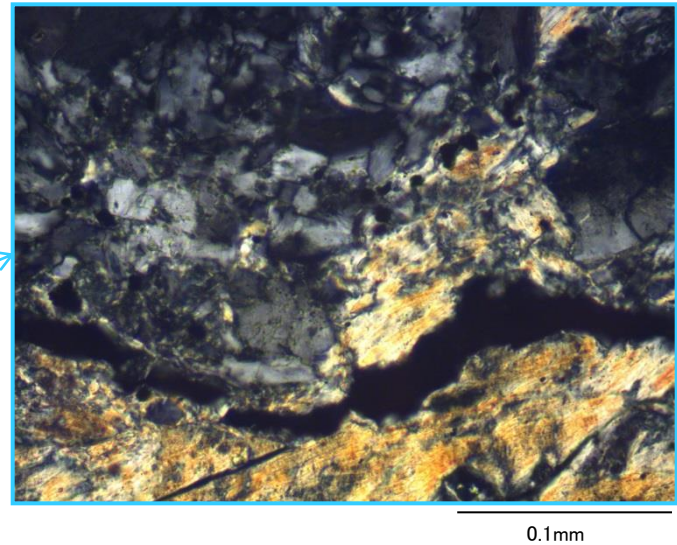
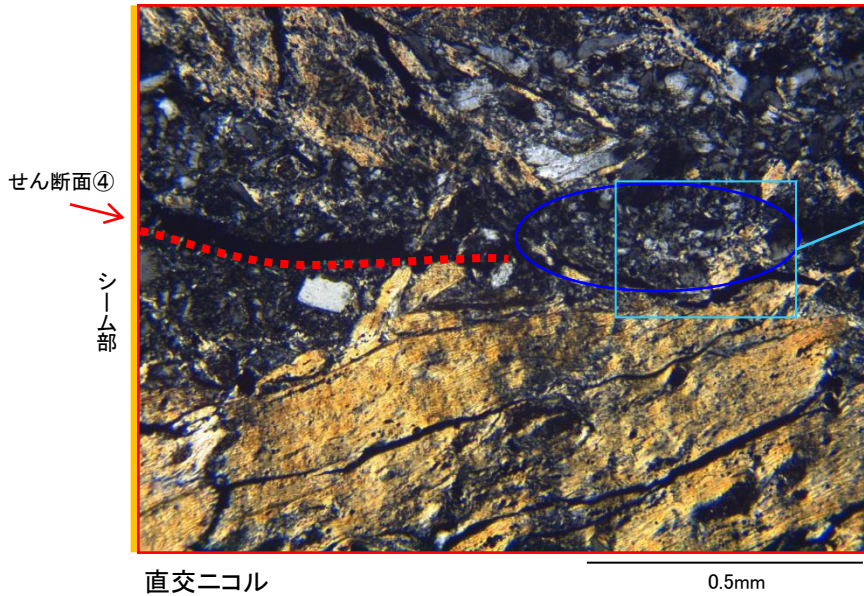
10mm

薄片観察結果 BS2-B23



【写真10 拡大】

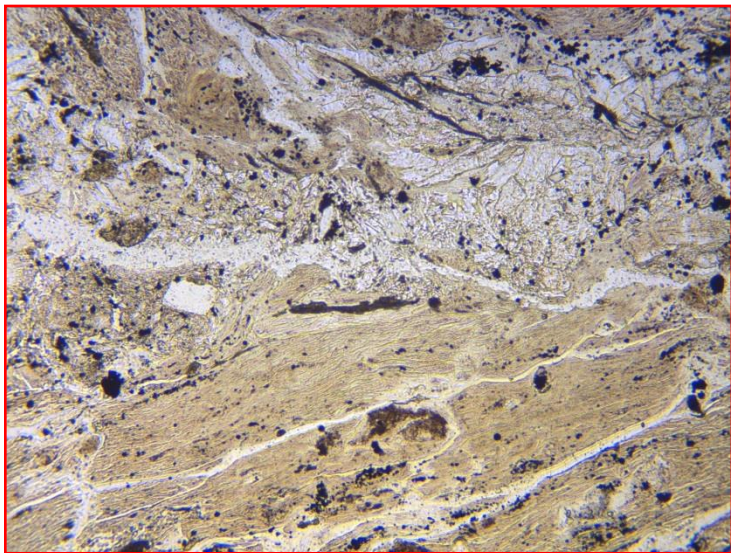
- ・せん断面④を止めるように自形鉱物が横断しており、変位・変形を受けていない。
- ・せん断面④を止めるように晶出する鉱物脈は、単ニコルで無色、板状で劈開が顕著であり、直交ニコルで複屈折が小さく、消光角も小さいことから、X線回折分析の結果を踏まえ、濁沸石と**同定した**。



凡例

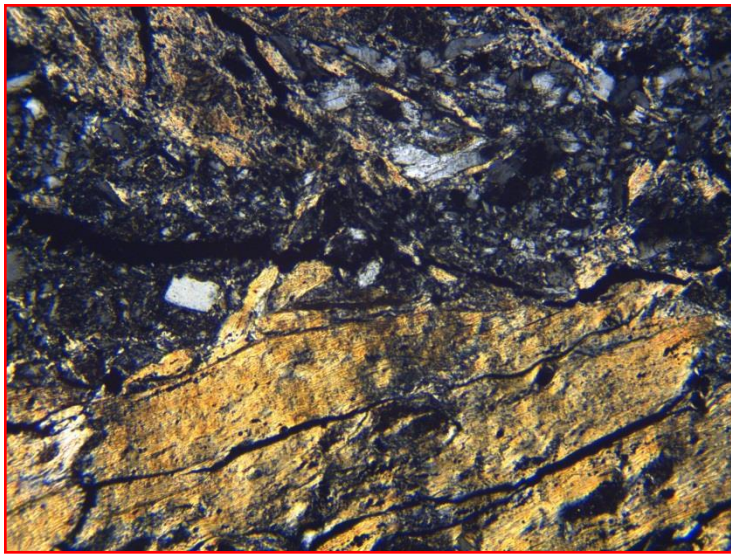
	: せん断面
	: 濁沸石

薄片観察結果 BS2-B23(解釈線なし)



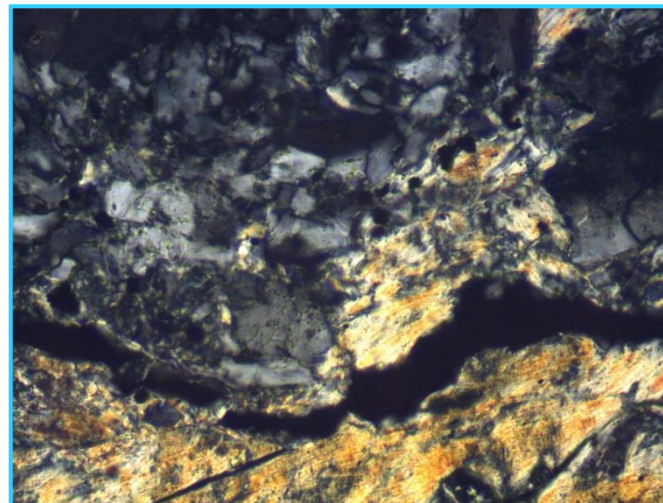
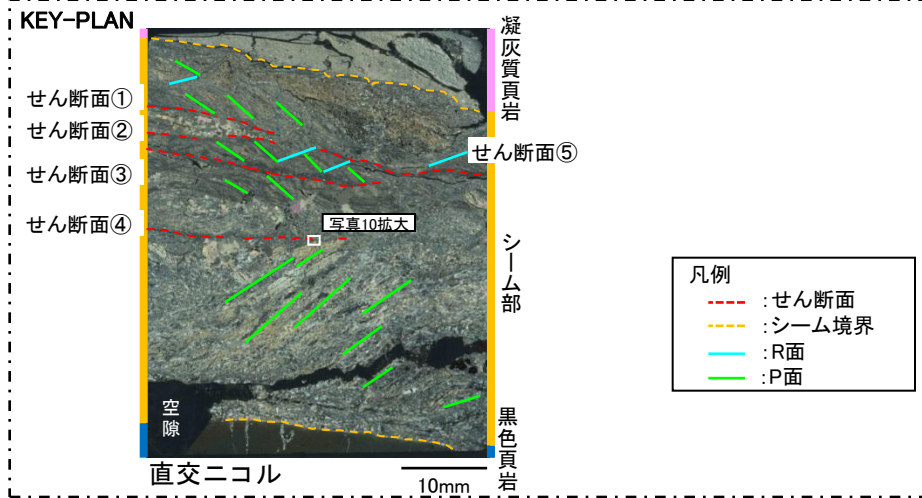
単ニコル

0.5mm



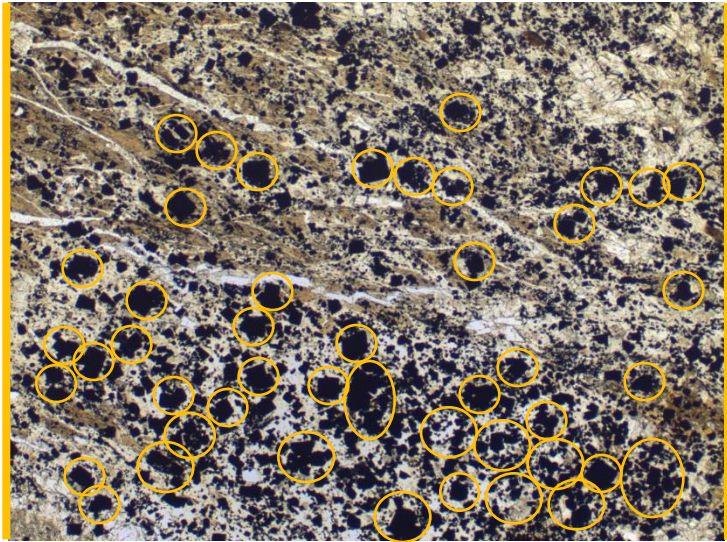
直交ニコル

0.5mm



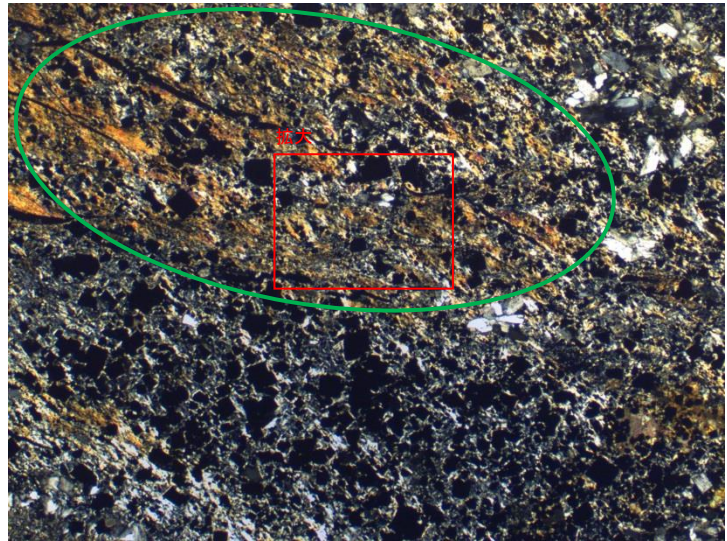
薄片観察結果 BS2-B23

シーム部



単ニコル

1mm



直交ニコル

1mm

【写真11】

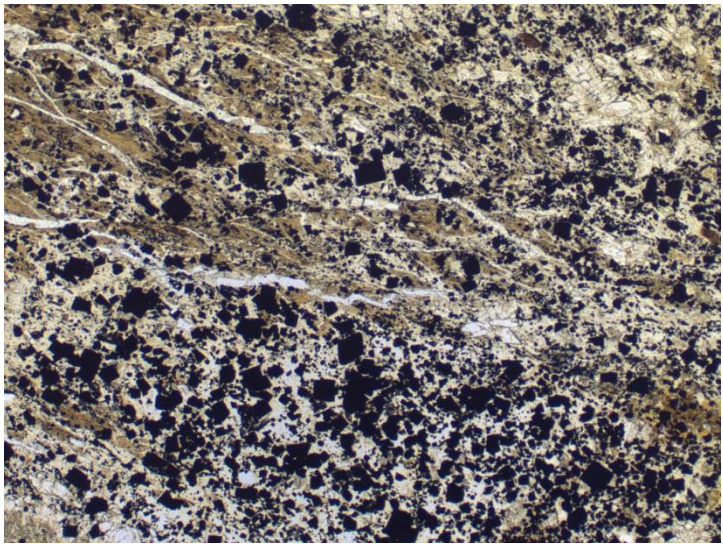
- ・シームと上盤母岩の境界部付近のシーム内部には、不透明鉱物が密集して晶出する部分が認められる。
- ・これらの鉱物は、単ニコル、直交ニコルで不透明であり、角張った方形であることから、X線回折分析結果を踏まえ、黄鉄鉱と**同定した**。

凡例

○ : 黄鉄鉱

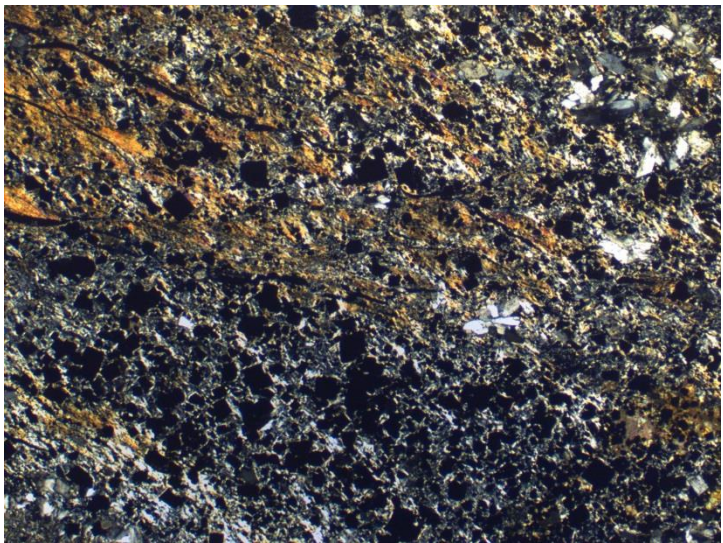
○ : イライト/スメクタイト混合層鉱物

薄片観察結果 BS2-B23(解釈線なし)



単ニコル

1mm

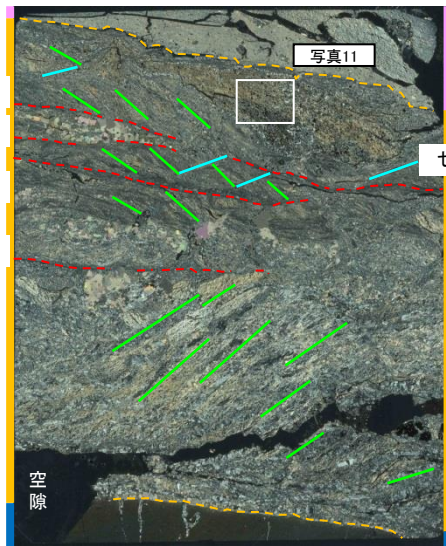


直交ニコル

1mm

KEY-PLAN

- せん断面①
- せん断面②
- せん断面③
- せん断面④



凝灰質頁岩

せん断面⑤

シーム部

黒色頁岩

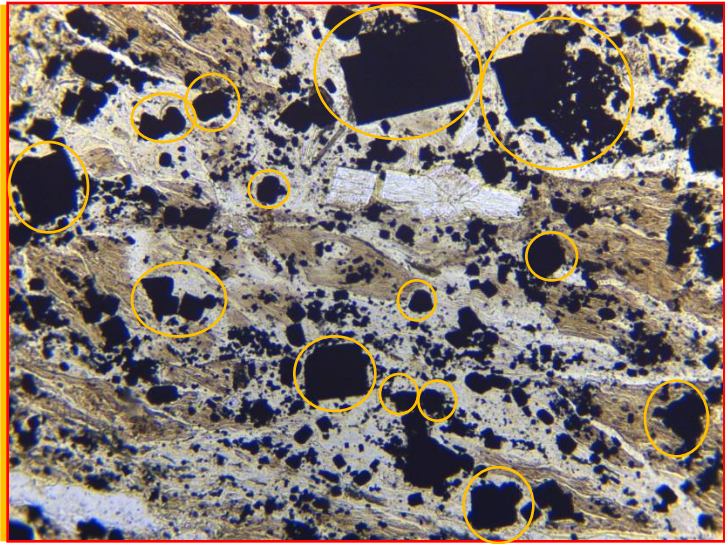
- 凡例
- : せん断面
 - : シーム境界
 - : R面
 - : P面

直交ニコル

10mm

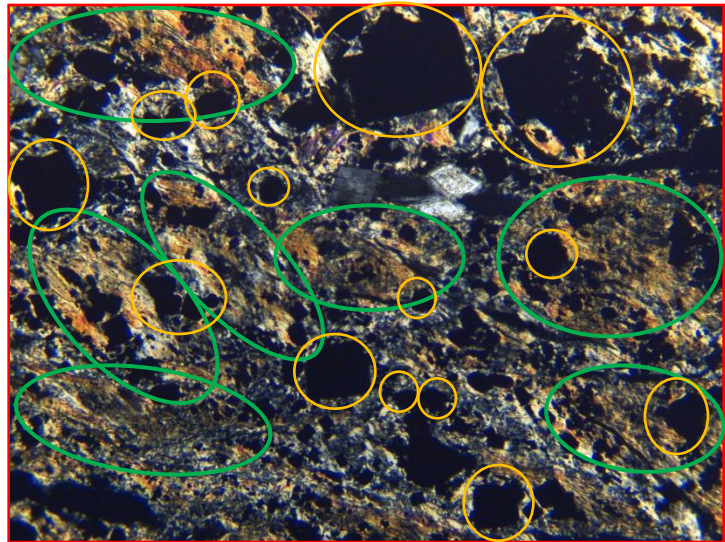
薄片観察結果 BS2-B23

シーム部



単ニコル

0.5mm



直交ニコル

0.5mm

【写真11 拡大】

- ・黄鉄鉱は方形の結晶も認められるが、多くは角がとれて円摩されている。
- ・角が取れた黄鉄鉱の多くはイライト/スメクタイト混合層鉱物に取り込まれていることから、イライト/スメクタイト混合層鉱物の生成前に生成された鉱物と評価した。

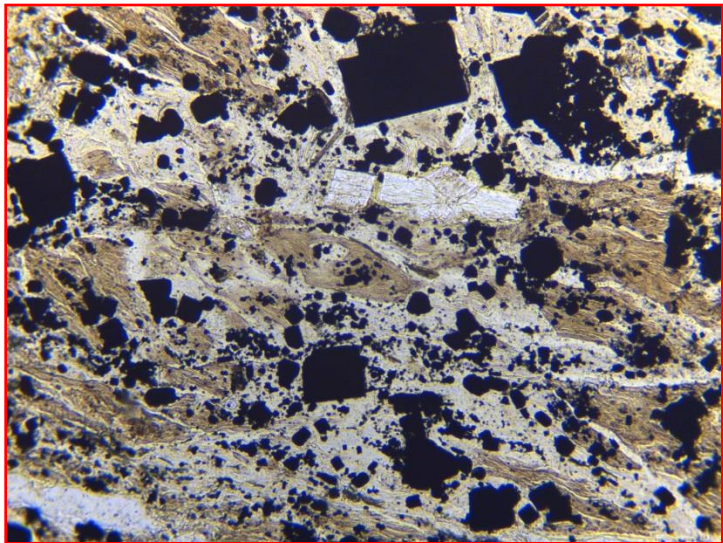
以上のことから、黄鉄鉱は凝灰質頁岩の初生鉱物であると評価した。

凡例

○ : 黄鉄鉱

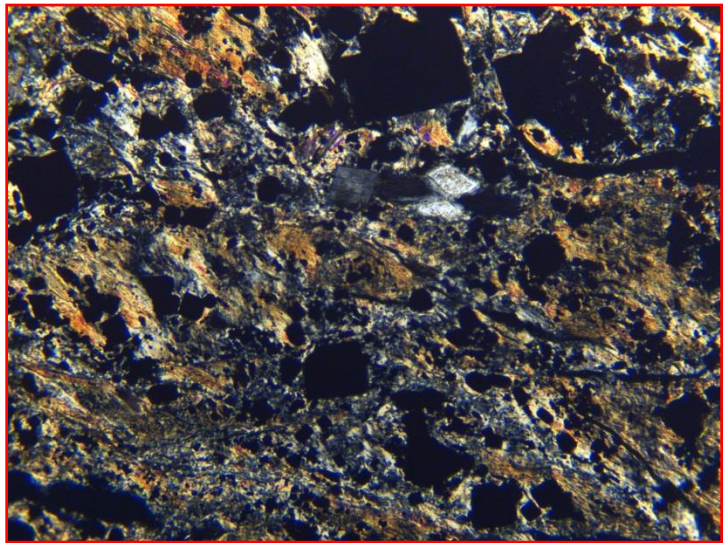
○ : イライト/スメクタイト混合層鉱物

薄片観察結果 BS2-B23(解釈線なし)



単ニコル

0.5mm

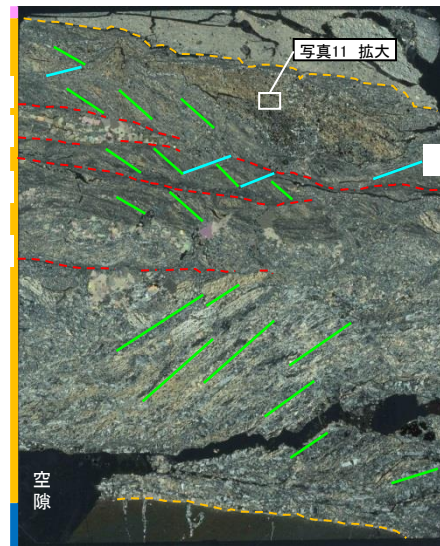


直交ニコル

0.5mm

KEY-PLAN

- せん断面①
- せん断面②
- せん断面③
- せん断面④



直交ニコル

10mm

凝灰質頁岩

せん断面⑤

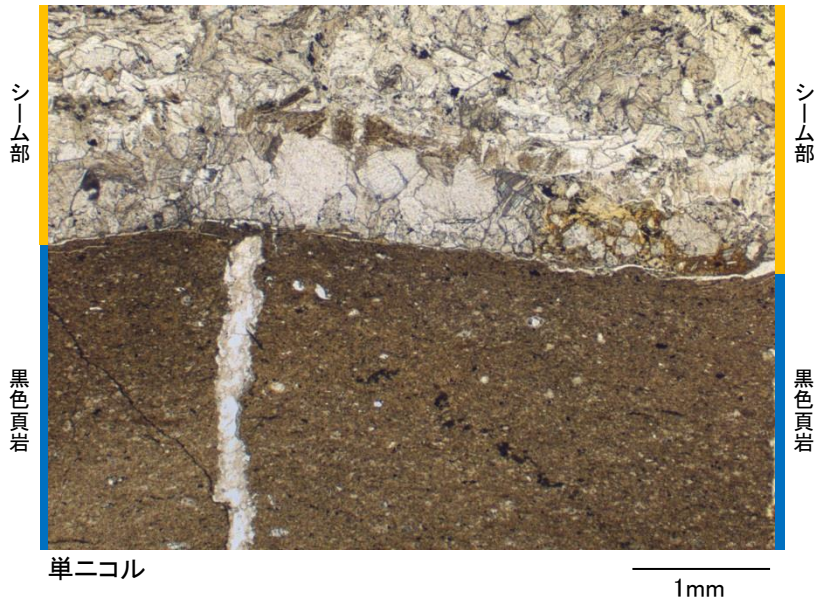
シーム部

黒色頁岩

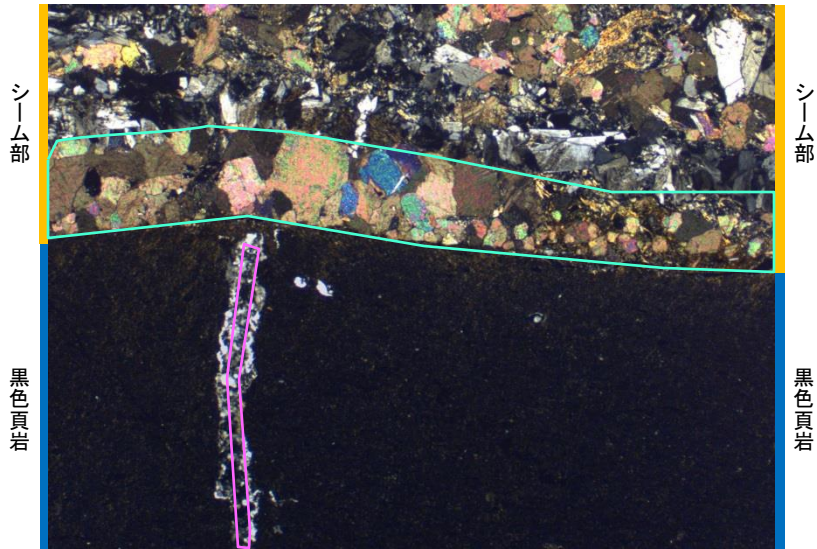
凡例

- : せん断面
- - - : シーム境界
- : R面
- : P面

薄片観察結果 BS2-B23



単ニコル



直交ニコル

【写真06】

- ・シームと下盤母岩において、細粒化が認められないことから、シームと下盤母岩(黒色頁岩)の境界部にはせん断面は認められない。
- ・シーム境界上側のシームに晶出する鉱物に破碎が認められない。この鉱物は、単ニコルで無色で劈開が顕著であり、直交ニコルで高次の干渉色を示すことから、X線回折分析結果を踏まえ、方解石と同定した。
- ・シーム境界下側の黒色頁岩の節理に充填された鉱物はせん断による破碎が認められない。単ニコルで無色で劈開がなく、直交ニコルで複屈折が小さく、消光角も小さいことから、X線回折分析の結果を踏まえ、石英と同定した。

以上のことから、シームと下盤母岩(黒色頁岩)の境界部にはせん断面は認められないが、せん断面があったとしても、方解石等が境界部に晶出しており、破碎が認められないことから、これらの鉱物が晶出して以降、活動していないと評価した。

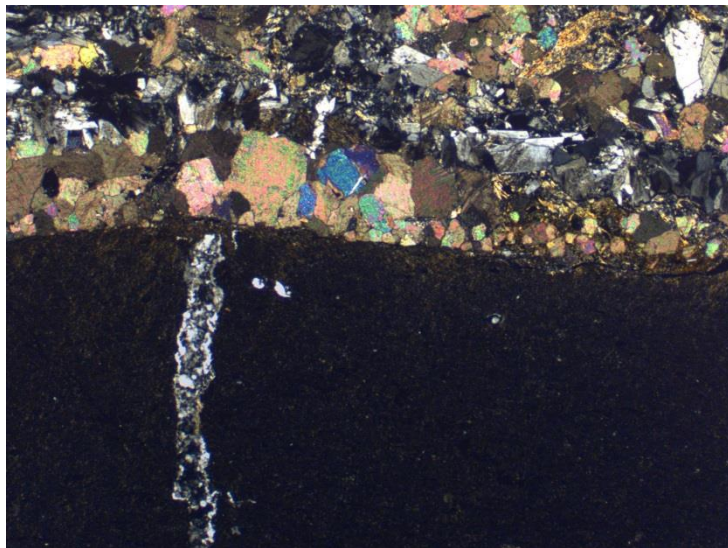
凡例	○ : 方解石
	○ : 石英

薄片観察結果 BS2-B23(解釈線なし)



単ニコル

1mm

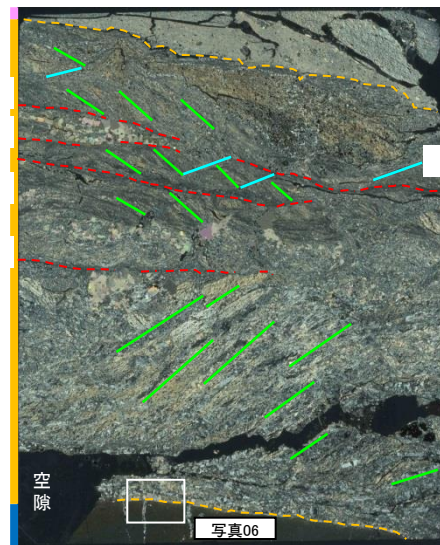


直交ニコル

1mm

KEY-PLAN

- せん断面①
- せん断面②
- せん断面③
- せん断面④



凝灰質頁岩

せん断面⑤

シーム部

黒色頁岩

凡例	
---	:せん断面
---	:シーム境界
—	:R面
—	:P面

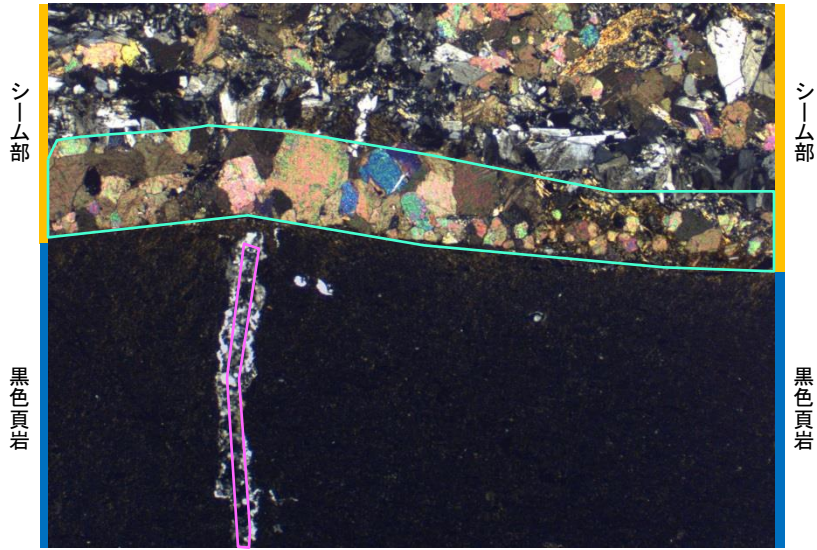
空隙

写真06

直交ニコル

10mm

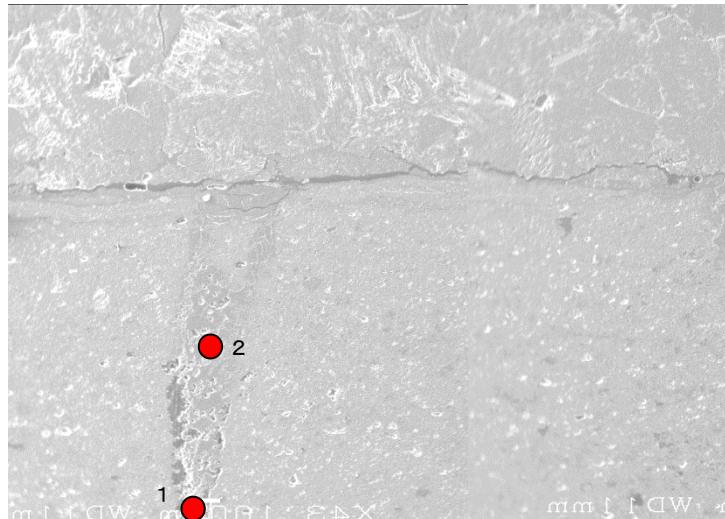
EPMA分析結果 BS2-B23



薄片写真(直交ニコル)

1mm

凡例
○ : 方解石
○ : 石英



EPMA分析位置 (SEM画像)

● EPMA定量ポイント 直径10 μ m

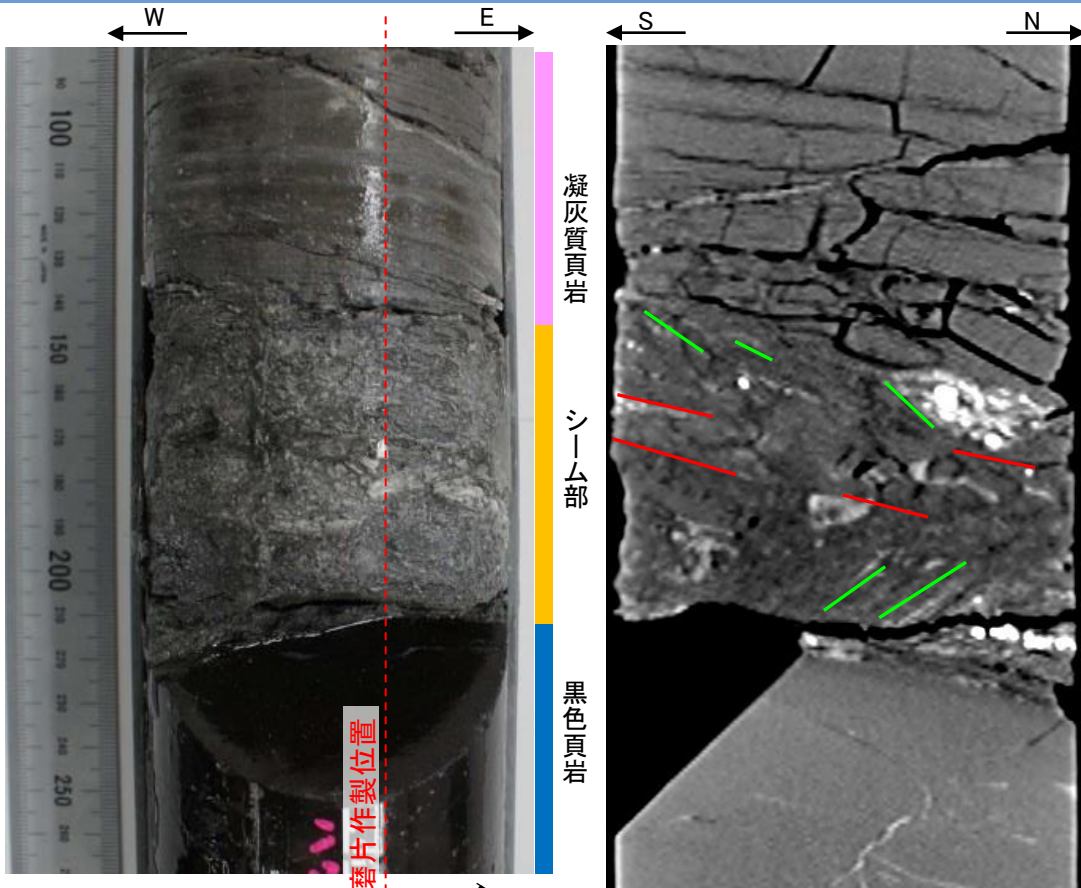
【写真06 EPMA分析結果】

- ・黒色頁岩の節理に充填された鉱物脈の種類を詳細に同定するため、EPMA分析を行った。
- ・SiO₂が支配的であったため、薄片観察での同定結果と同様、この鉱物は石英と同定した。

EPMA分析結果 Mass (%)

分析位置	1	2
SiO ₂	95.657	95.674
TiO ₂	0.006	0.041
Al ₂ O ₃	0.432	0.392
Fe ₂ O ₃	0.059	0.026
MnO	0.000	0.014
MgO	0.013	0.010
CaO	0.079	0.066
K ₂ O	0.045	0.052
Na ₂ O	0.053	0.058
Cr ₂ O ₃	0.033	0.000
SO ₃	0.009	0.029
OH	3.614	3.639
Total	100.000	100.001

研磨片観察とCT観察の対比



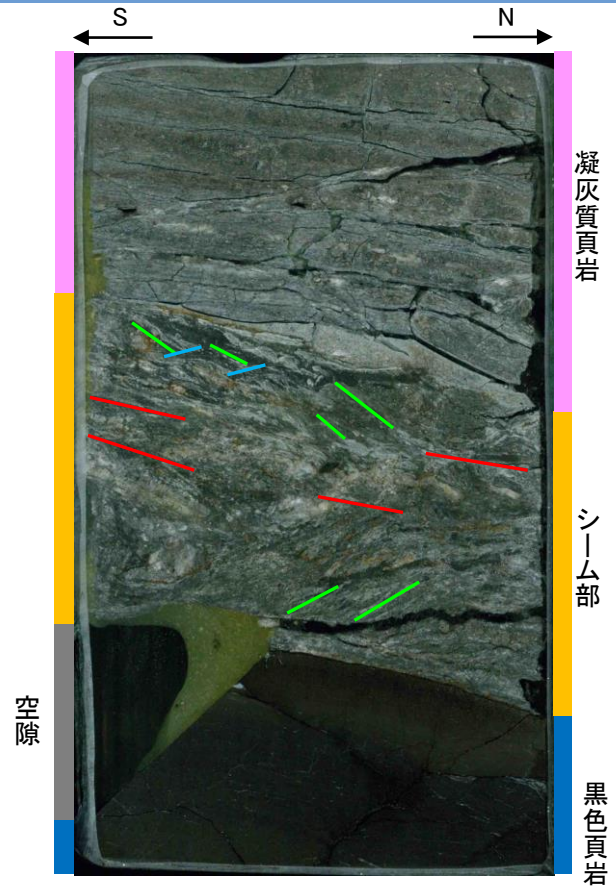
研磨片作製位置

←---▶
研磨片観察方向

B23シームコア写真

凡例
— : 低密度部 — : 葉状構造

B23シームCT画像(研磨片作製断面)



凡例
— : Y面 — : P面 — : R面

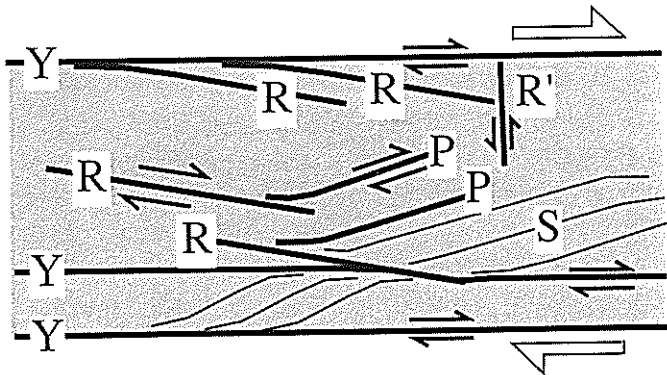
B23シーム研磨片写真

・CT画像では、シームに平行な低密度部(図の赤線)に斜交する鉱物の配列方向を葉状構造として認定している。
 ・B23シームのCT画像で認められる低密度部及び葉状構造は、研磨片のY面及びP面と概ね対応している。

(参考)複合面構造の考え方

脆弱断層帯で最もよく見られる

リーデルせん断面



- Y : Yせん断面(主せん断面)
- R : Rせん断面
- R' : R'せん断面
- P : Pせん断面

C. パスキエほか(1999)を加筆・修正

C. パスキエほか(1999)⁽⁶⁾ 及び狩野・村田(1998)⁽⁷⁾による複合面構造の考え方

複合面構造	特徴
Y面	・シームの走向に平行な主せん断面
R面	・Y面に対して時計回りに0° から30° 程度斜交し、右横ずれの場合、右横ずれ変位と多少の開口成分をもつ左雁行状の破断面
P面	・Y面に対して反時計回りに0° から30° 程度斜交し、密に発達する葉状の面構造 ・面に沿って破碎された粒子や、続成・弱変成作用によって生じた細粒の雲母粘土鉱物が配列する。

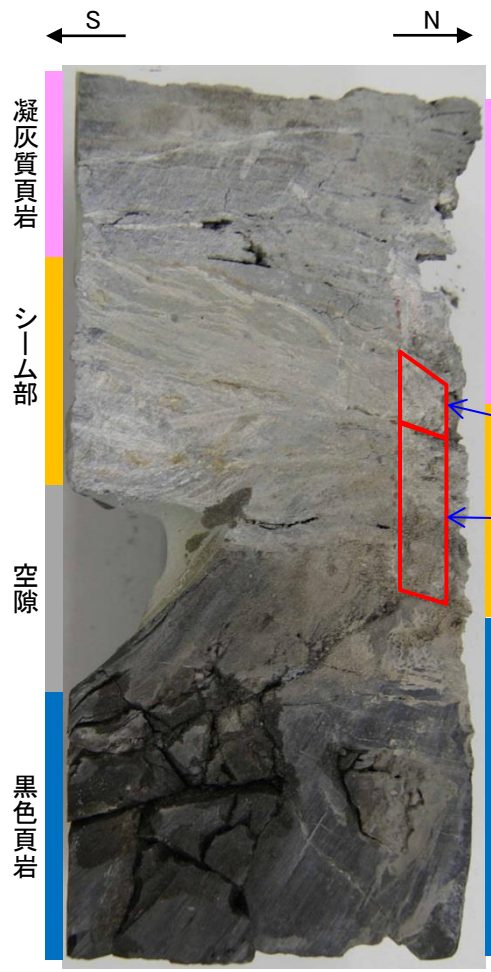
- ・C. パスキエほか(1999)によると、右横ずれの脆弱性破碎帯が形成される際、特徴的な方位とせん断センスを持つ、リーデルせん断面(Rせん断面、R'せん断面、Pせん断面等)が見られ、せん断センスは、古いリーデルせん断面(RによるPやYの屈曲)や面構造により、せん断センスを決定できるとしている。
- ・狩野・村田(1998)によると、P面は密に発達する葉状の面構造であり、面に沿って破碎された粒子等が配列することで特徴付けられる。

X線回折分析試料採取位置 BS-2, B23シーム



B23シームコア写真

←---▶
観察面



B23シーム半割コア写真(X線試料採取位置)

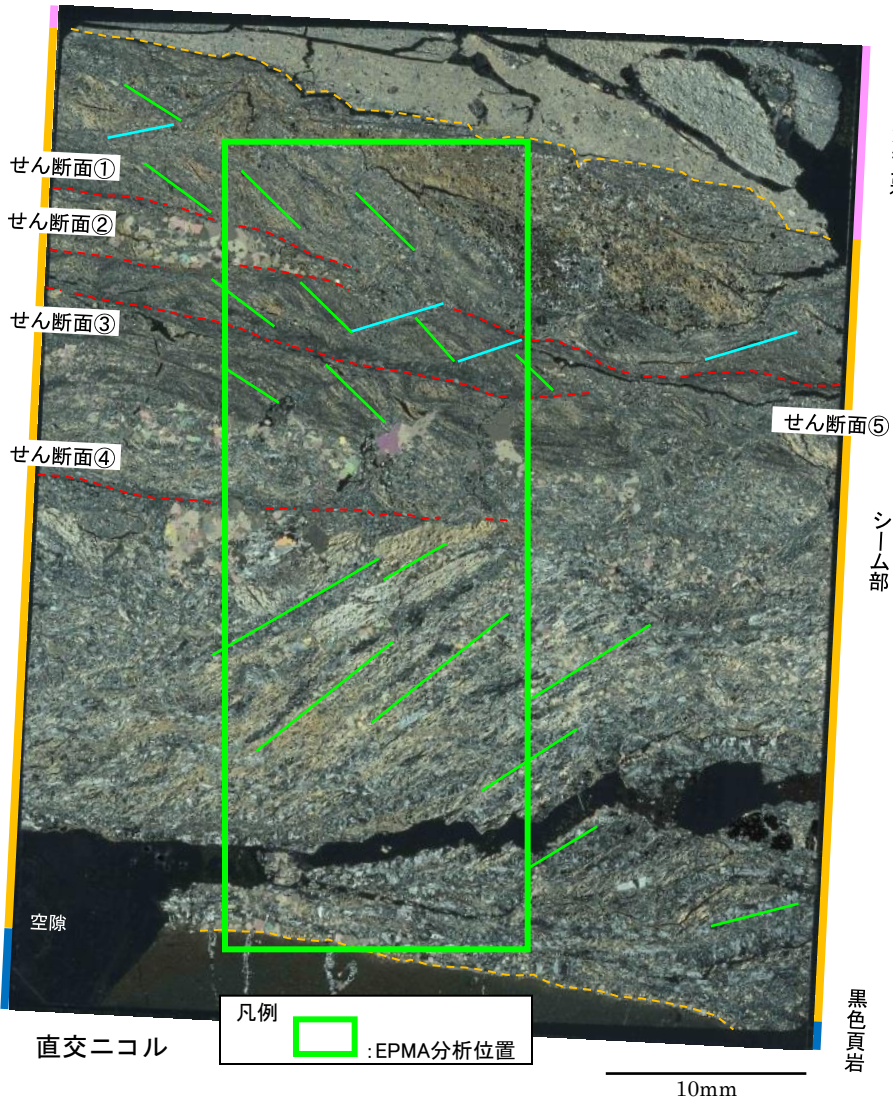
B23シーム上部
(鏡下観察で逆断層変位センス)

B23シーム下部
(鏡下観察で正断層変位センス)

凡例
 : X線試料採取位置

・B23シームは、コア観察及びCT観察において確認された、せん断センスが異なる上部と下部でそれぞれ試料を採取した。

EPMA分析結果 BS2-B23



直交ニコル

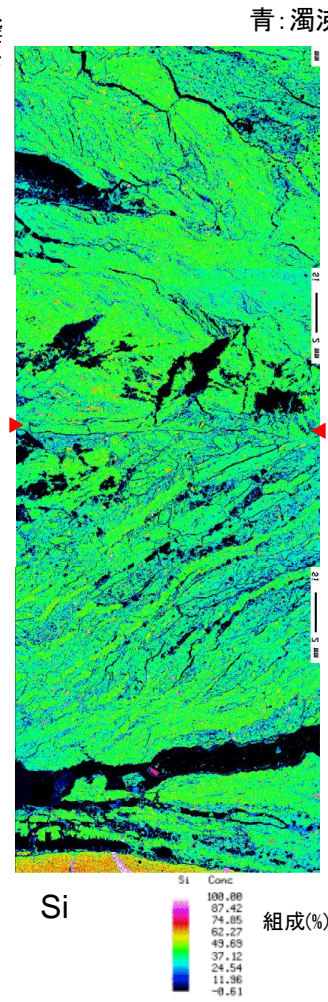
凡例 : EPMA分析位置

凡例 ---- : せん断面 ---- : シーム境界 --- : R面 --- : P面

凝灰質頁岩

シーム部

黑色頁岩



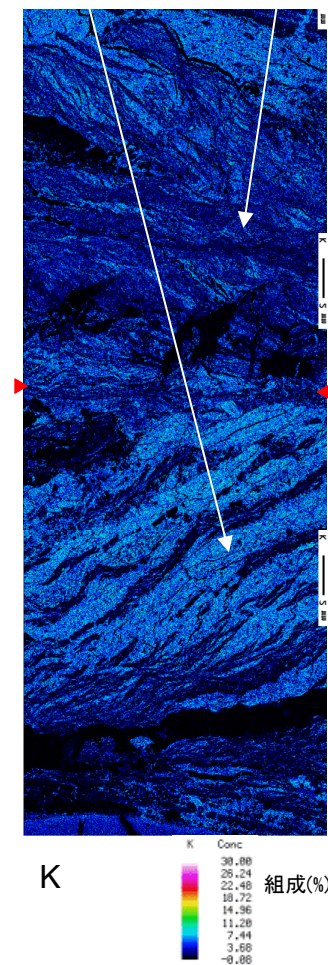
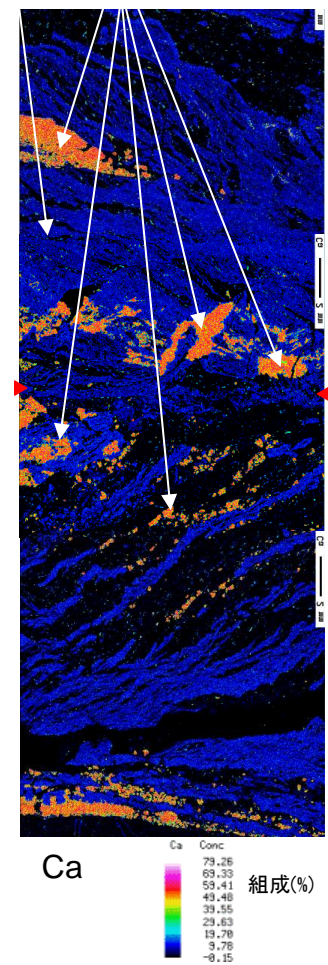
凡例 ▶ : せん断面④

青:濁沸石

橙色:方解石

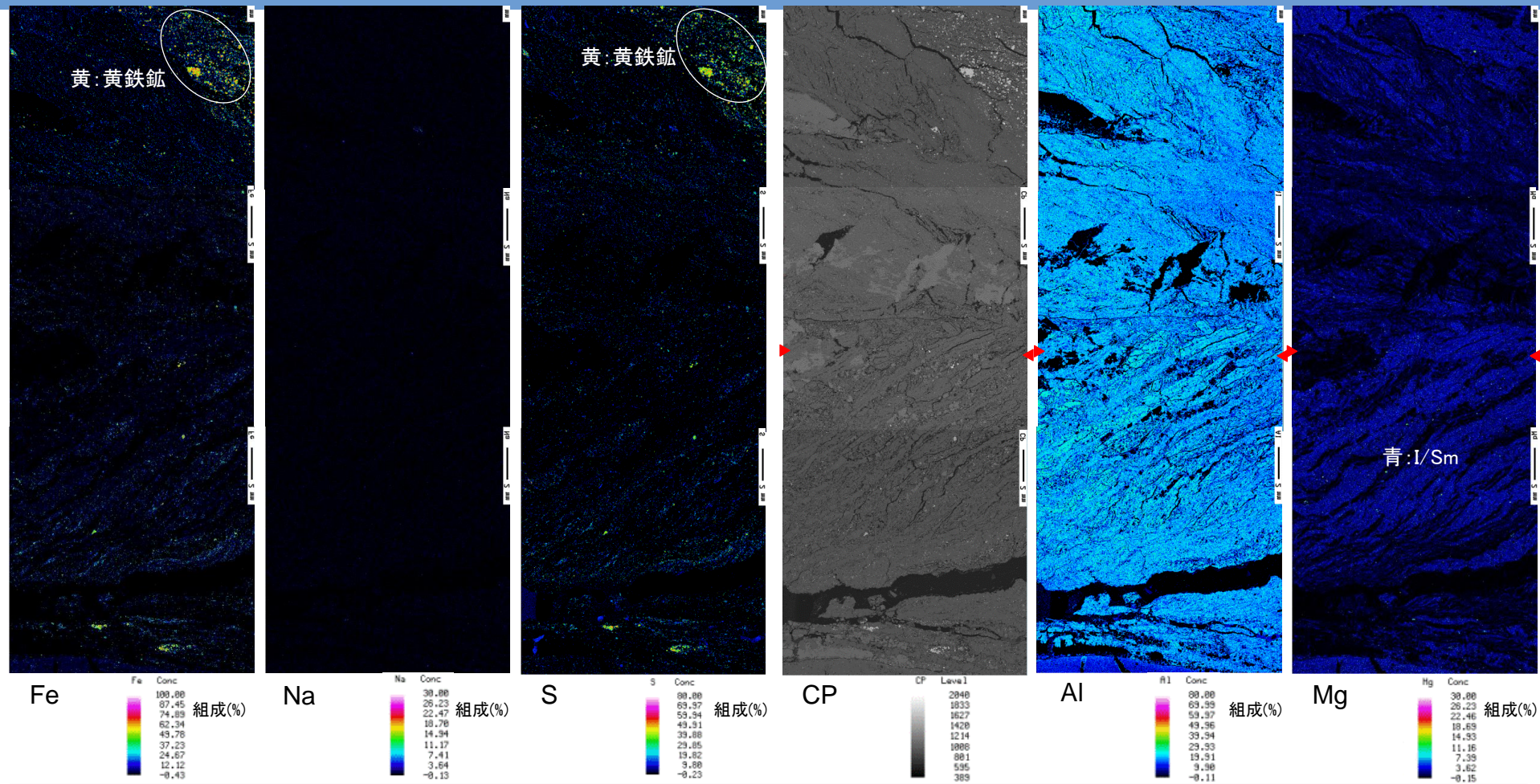
水色:I/Sm

紺:濁沸石



・B23シームの全体の鉱物組成を確認するため、EPMA分析(マッピング)を行った。

EPMA分析結果 BS2-B23



- ・ほぼCaのみが検出される範囲には、方解石(CaCO₃)が晶出している。方解石は、せん断面④下部のP面沿い、せん断面④上部のR面沿いに分布する。
- ・Si, Ca, Alが検出される範囲には、濁沸石(CaAl₂Si₄O₁₂・4H₂O)が晶出している。
- ・K, Mgが検出される範囲には、イライト/スメクタイト混合層鉱物(※)が晶出している。イライト/スメクタイト混合層鉱物は、せん断面④の上部・下部のP面沿いに晶出しており、下部に多い傾向がある。
- ・Fe,Sが検出される範囲には、黄鉄鉱(FeS₂)が晶出している。

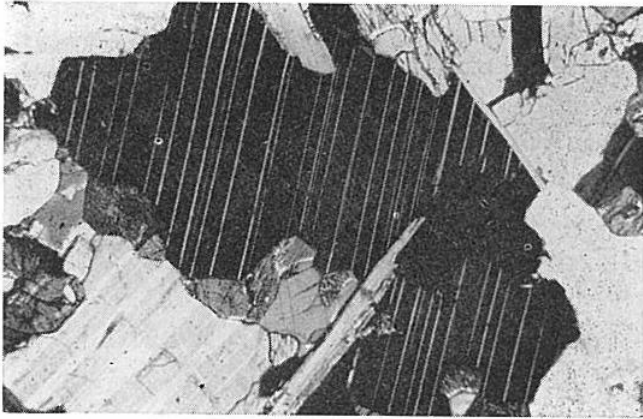
※ イライト:K_{1-1.5}Al₄(Si_{7-6.5}Al_{1-1.5}O₂₀)(OH)₄, スメクタイト:Na_{0.7}(Al_{3.3}Mg_{0.7})Si₈O₂₀(OH)₄・nH₂O

余白

斜長石の特徴について

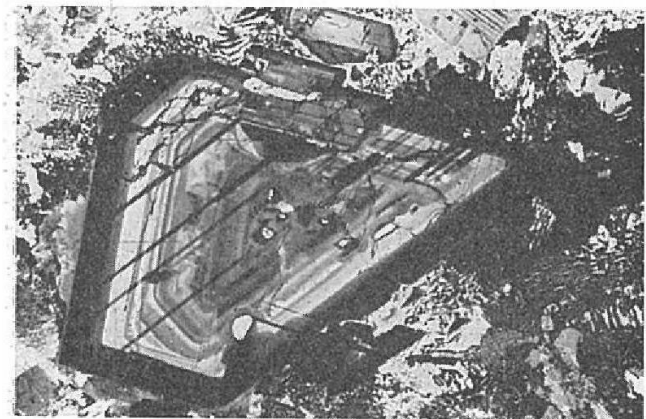
[黒田・諏訪(1983)⁽⁸⁾]

- ・斜長石は、平行な劈開がよく発達する。
- ・斜長石には、アルバイト式双晶や累帯構造が確認できる。
- ・アルバイト式双晶は、明暗の縞模様を成し、幅の狭い多数の個体からなる集片双晶のことである。
- ・累帯構造は、火山岩の斑晶の斜長石に見られることが多く、中心部から周縁に向かって明暗の縞模様を呈する。



薄片観察下におけるアルバイト式双晶の例
(直交ニコル, ×37)

黒田・諏訪(1983)を加筆・修正

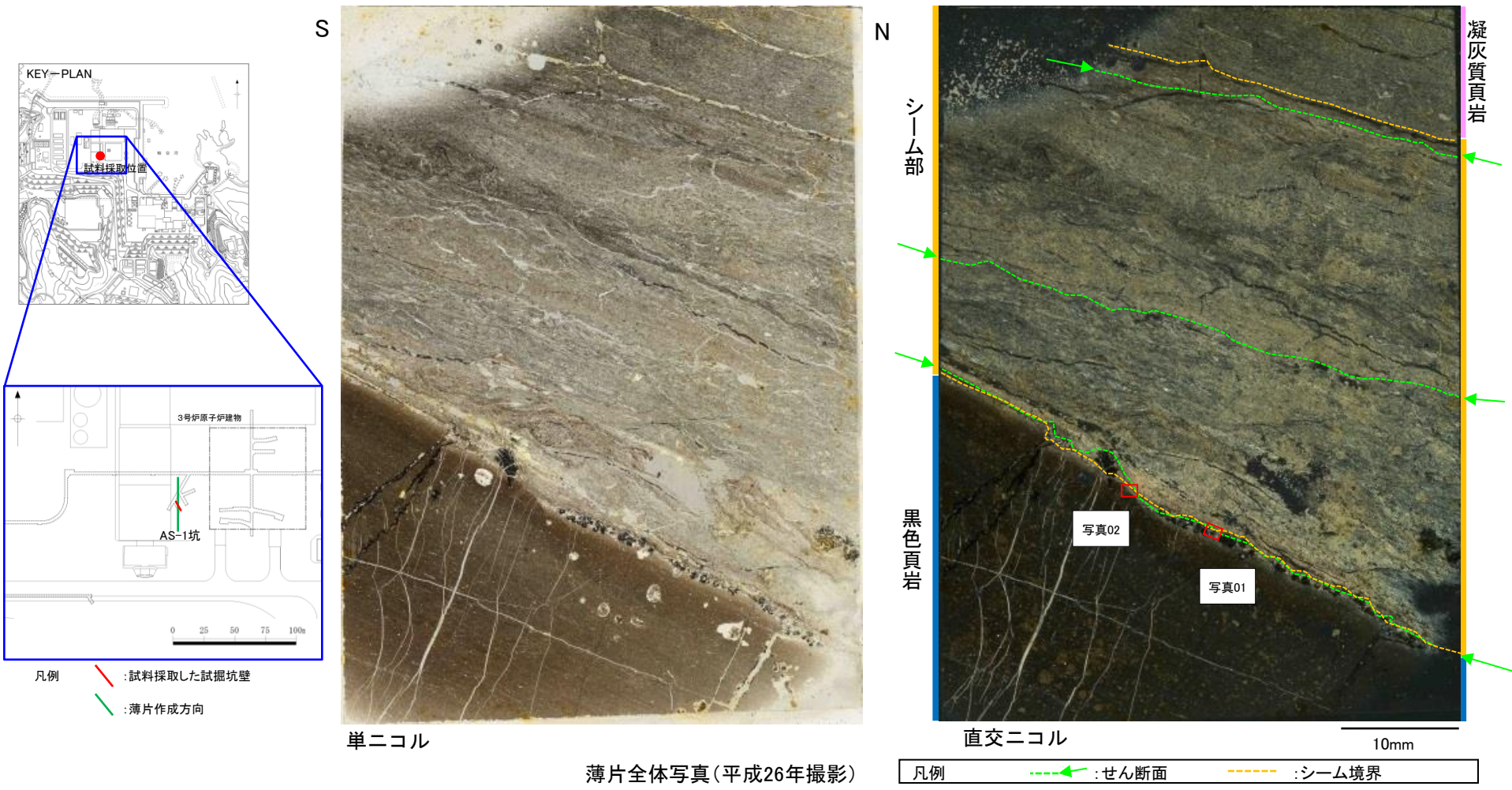


薄片観察下における斜長石の累帯構造の例
(直交ニコル, ×32)

黒田・諏訪(1983)を加筆・修正

※双晶とは、特定の結晶面あるいは結晶軸に関して互いに対称的であるように2個の結晶が結合したものである。
(「新版 地学事典」より)

薄片試料の詳細観察結果 (B23-AS1-N-S)



単ニコル

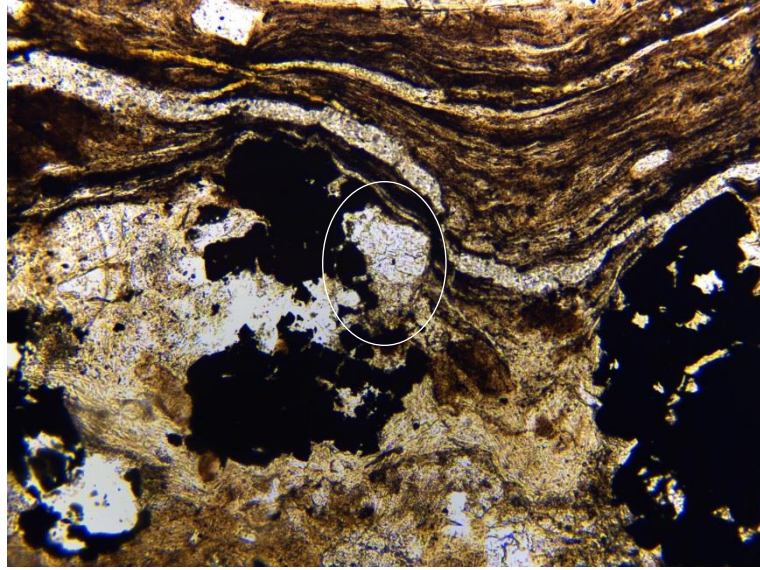
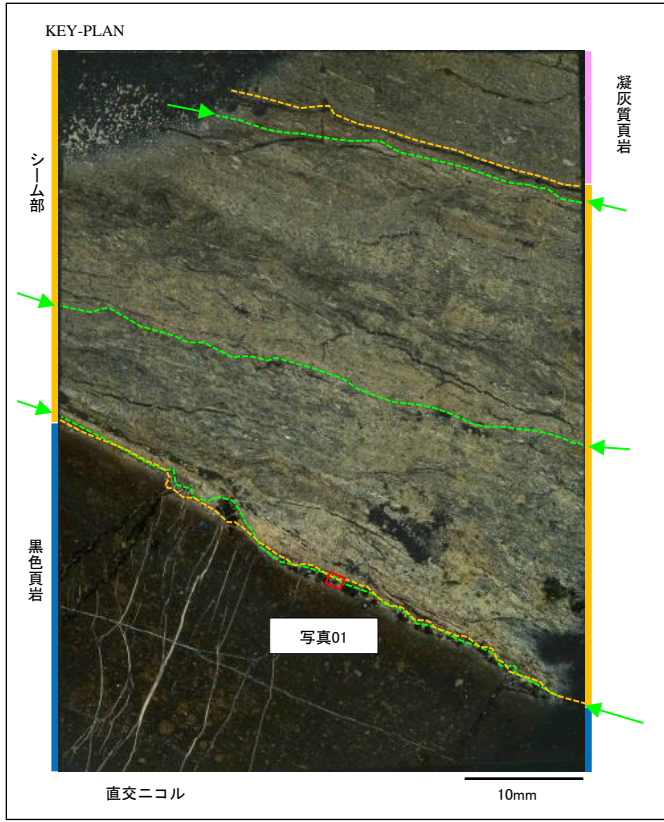
薄片全体写真 (平成26年撮影)

直交ニコル

10mm

・試掘坑AS1坑のドレライト近傍からブロックを採取し、シーム内部で確認される斜長石を対象に詳細観察を実施した。

薄片試料の詳細観察結果 (B23-AS1-N-S)



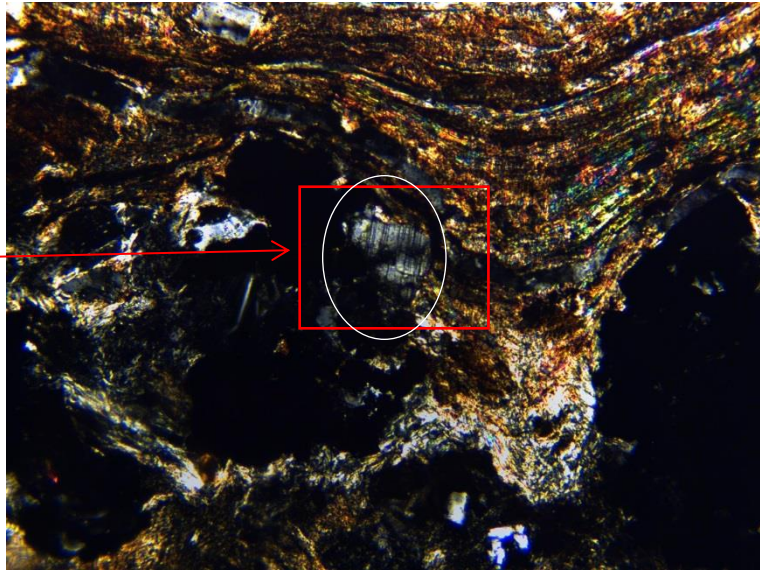
単ニコル

0.5mm

[写真01]

- ・シーム下部と接する黒色頁岩に、単ニコルで無色、直交ニコルで双晶を示す鉱物が確認できる。
- ・当該鉱物は円磨された砂粒のような形状を示す。

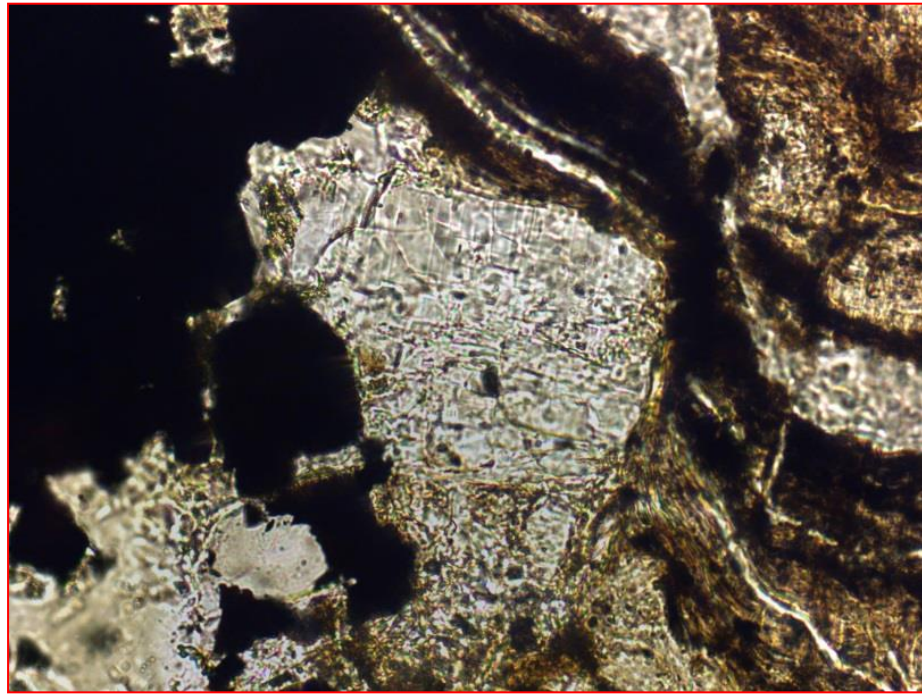
01拡大



直交ニコル

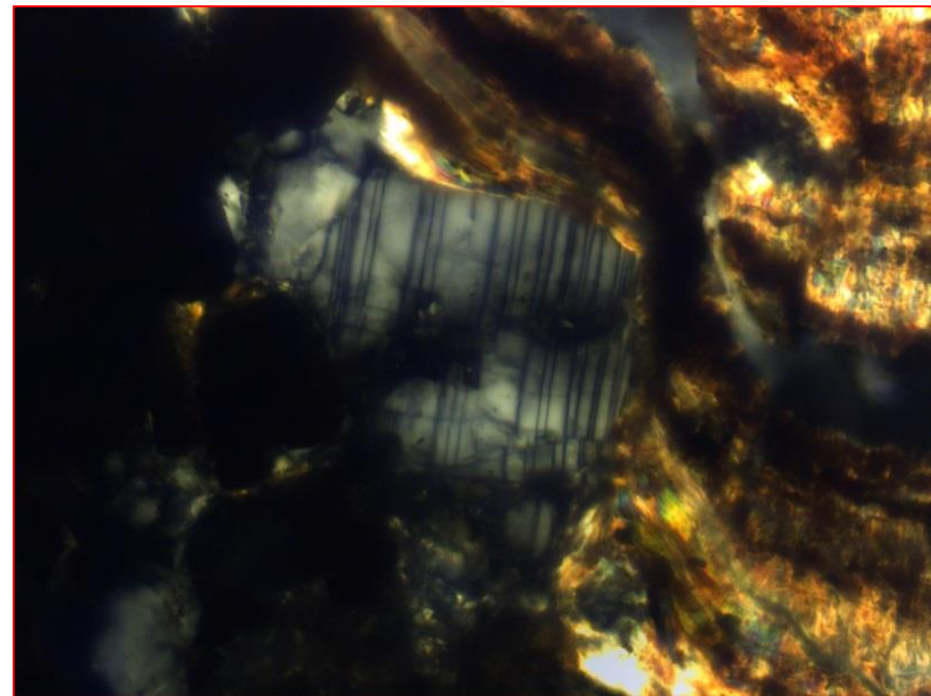
0.5mm

薄片試料の詳細観察結果 (B23-AS1-N-S)



単ニコル

0.1mm



直交ニコル

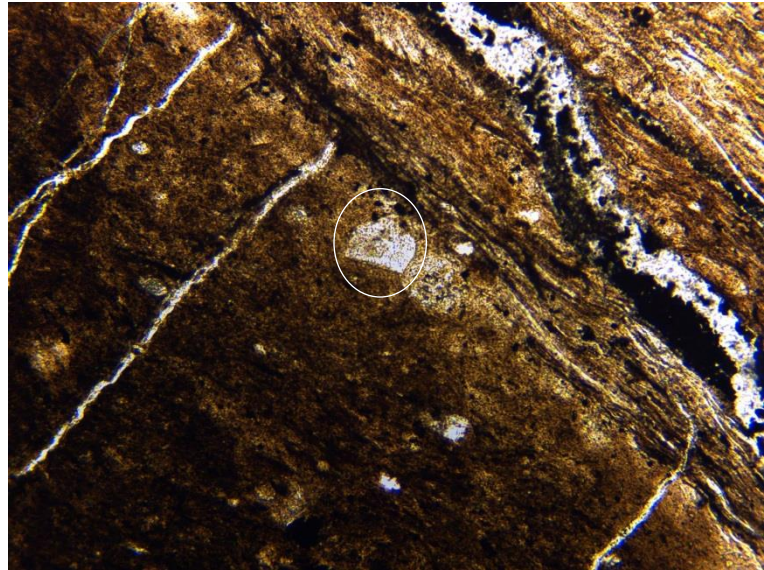
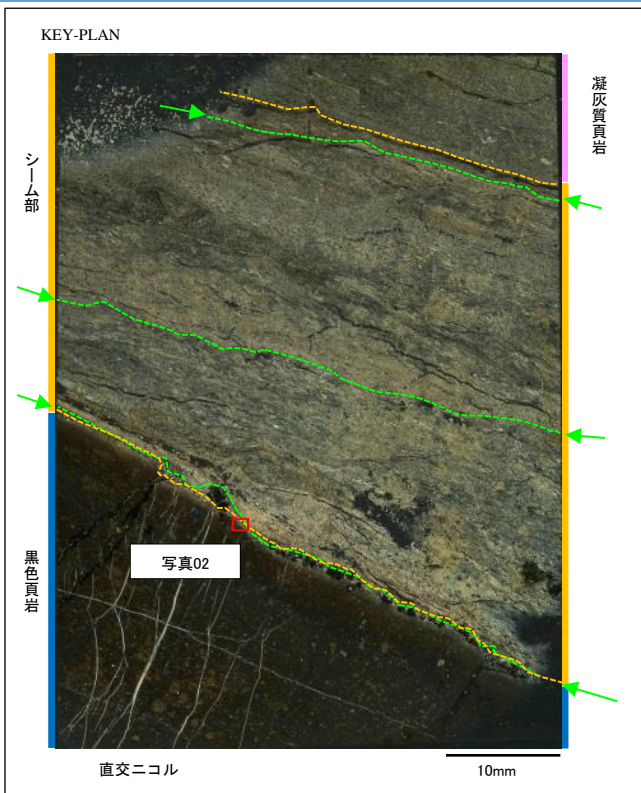
0.1mm

[写真01 拡大]

- ・直交ニコルで明暗の縞模様を呈するアルバイト式双晶を示すことから、この鉱物は斜長石と**同定した**。
- ・単ニコル及び直交ニコルで結晶下部がざらついており、部分的に変質を被った可能性がある。

3. シームの活動性 (3) 鉱物と生成条件 ①長石類の薄片観察及びEPMA分析結果

薄片試料の詳細観察結果 (B23-AS1-N-S)

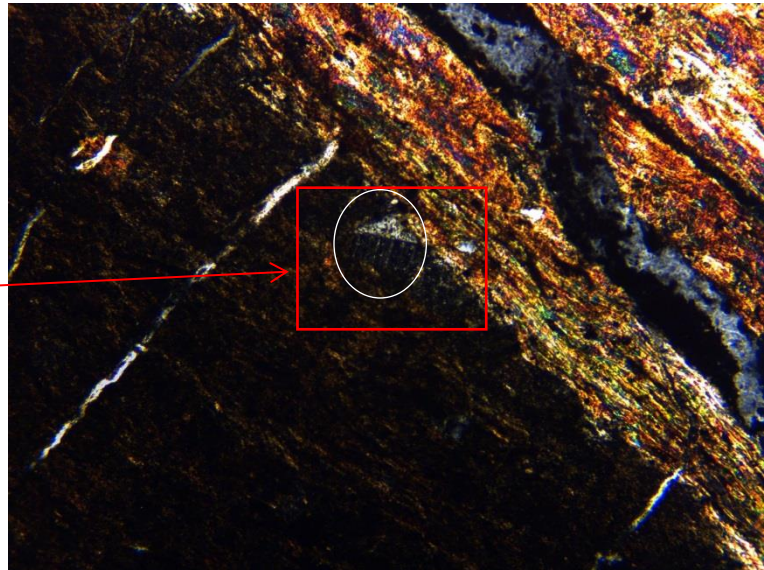


0.5mm

[写真02]

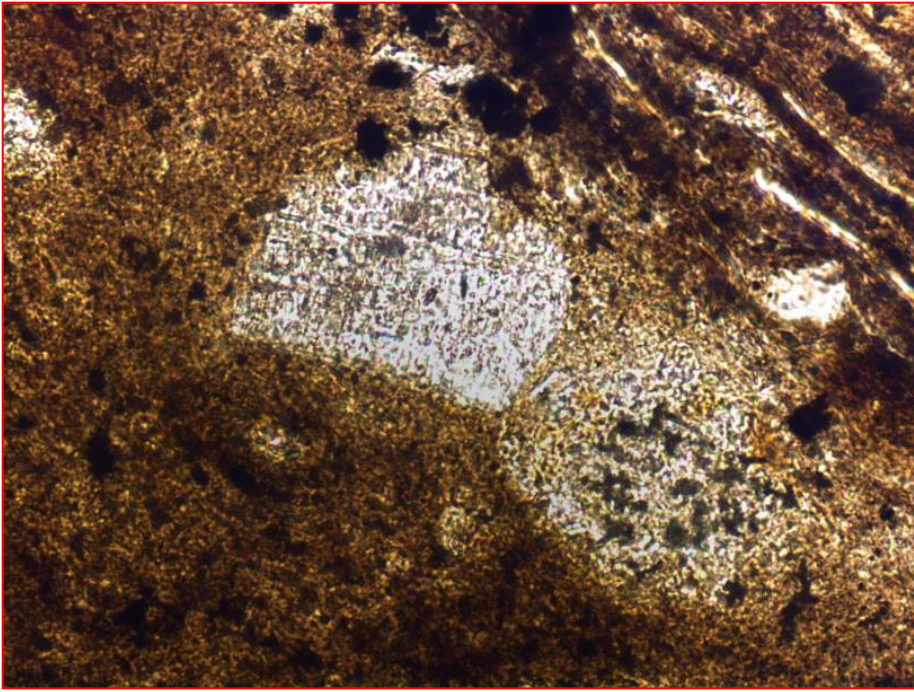
- ・シーム下部と接する黒色頁岩に、単ニコルで無色、直交ニコルで双晶を示す鉱物が確認できる。
- ・当該鉱物は、円磨された砂粒のような形状を示す。

02拡大



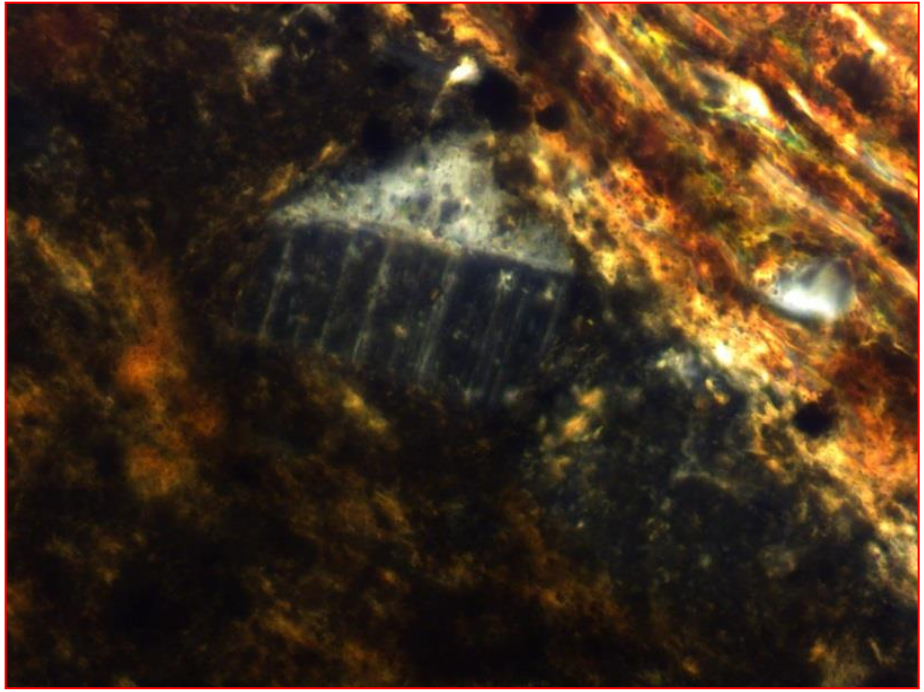
0.5mm

薄片試料の詳細観察結果 (B23-AS1-N-S)



単ニコル

0.1mm



直交ニコル

0.1mm

[写真02 拡大]

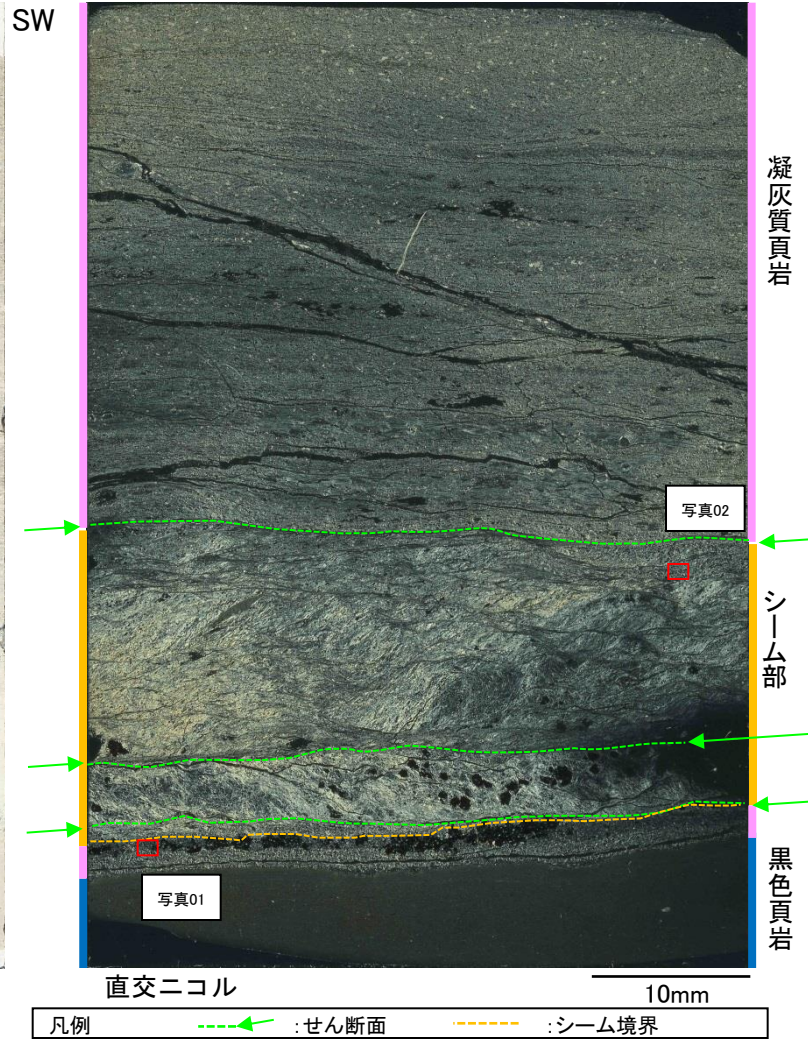
- ・直交ニコルで明暗の縞模様を呈するアルバイト式双晶を示すことから、この鉱物は斜長石と**同定した**。
- ・単ニコル及び直交ニコルで全体的にざらついていることから、変質を被った可能性がある。

余白

薄片試料の詳細観察結果 (B23-DR-NE-SW)

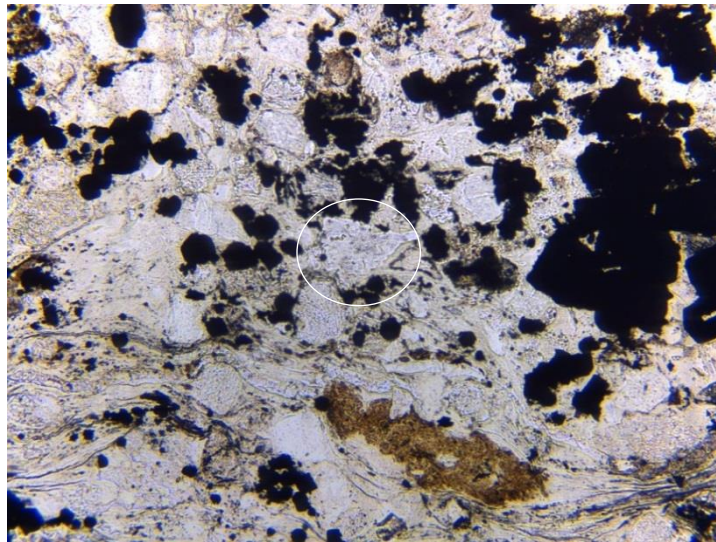
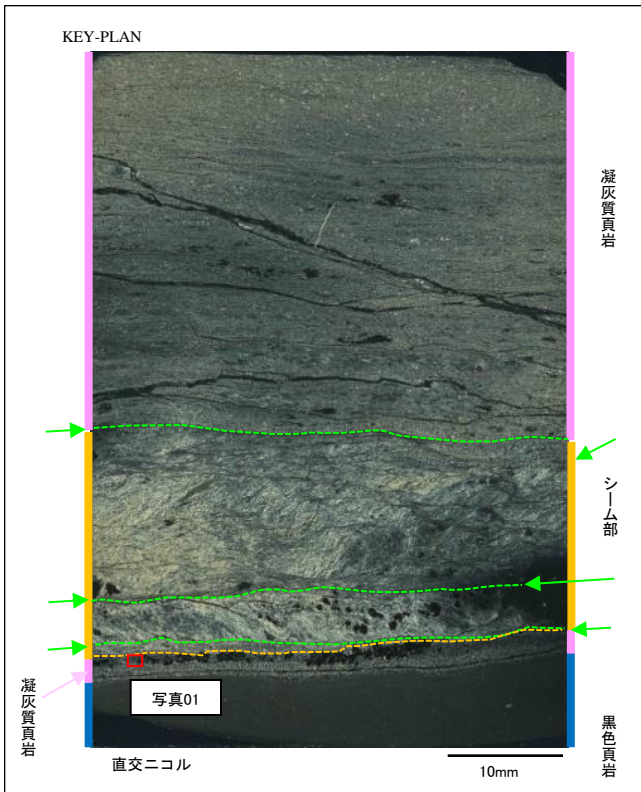


薄片全体写真 (平成26年撮影)



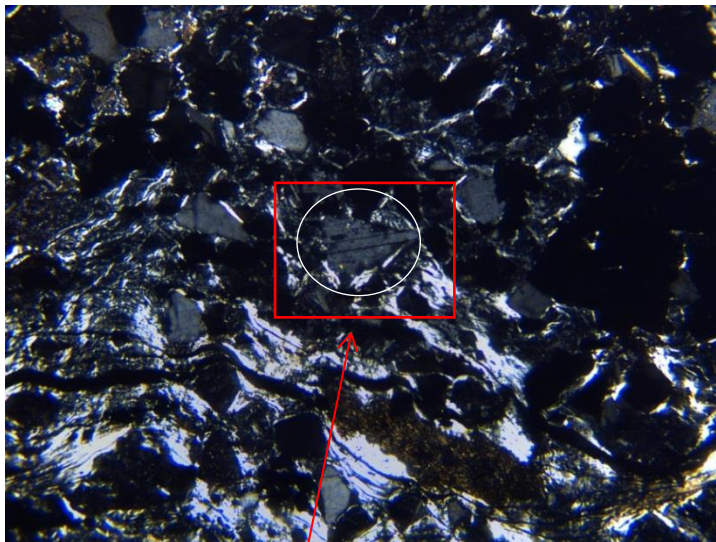
・試掘坑D坑R部からブロックを採取し、シームの条線方向に薄片試料を作製した。

薄片試料の詳細観察結果 (B23-DR-NE-SW)



直交ニコル

0.5mm



直交ニコル

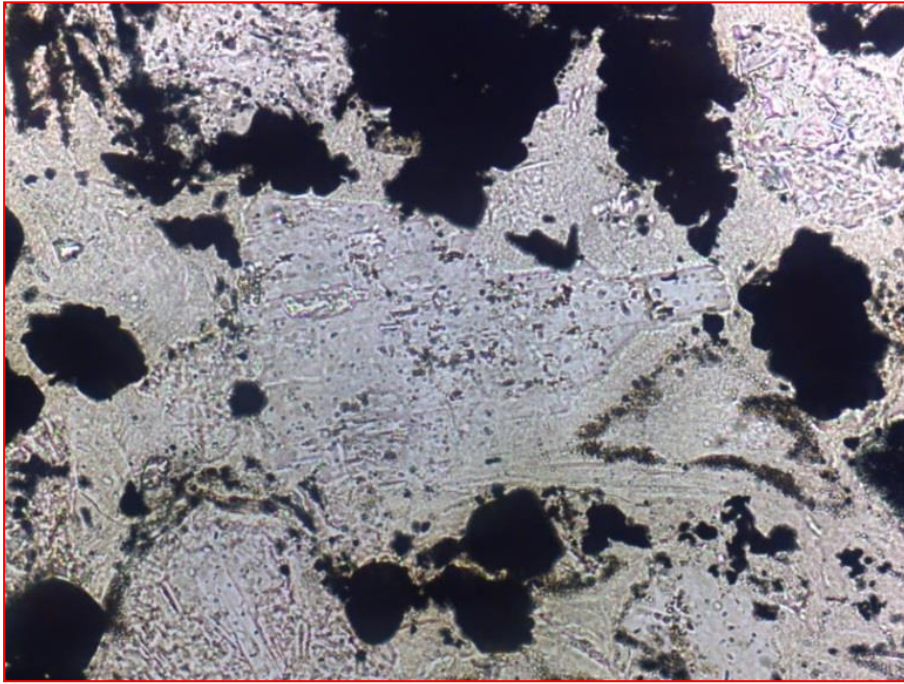
0.5mm

01拡大

[写真01]

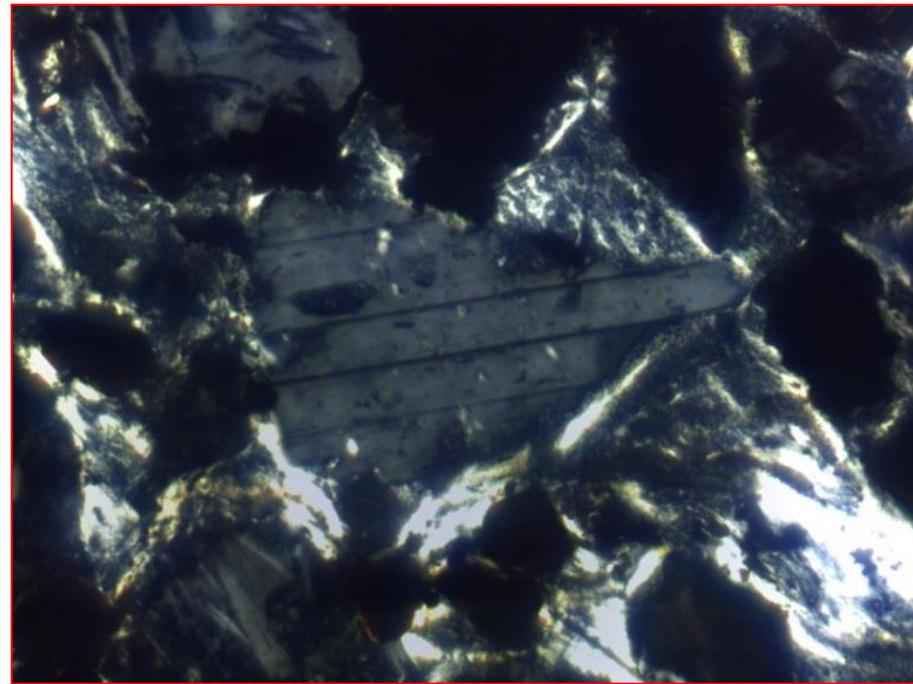
- ・シーム下部と接する凝灰質頁岩に、単ニコルで無色、直交ニコルで双晶を示す鉱物が確認できる。
- ・当該鉱物は、円磨された砂粒のような形状を示す。

薄片試料の詳細観察結果 (B23-DR-NE-SW)



単ニコル

0.1mm



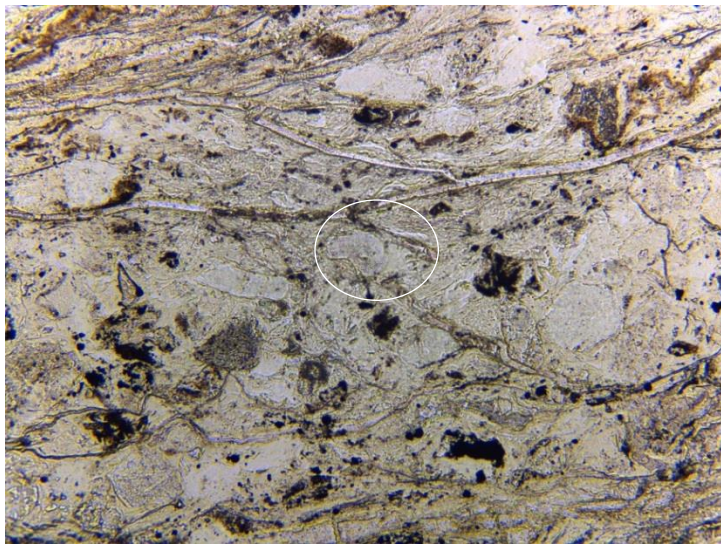
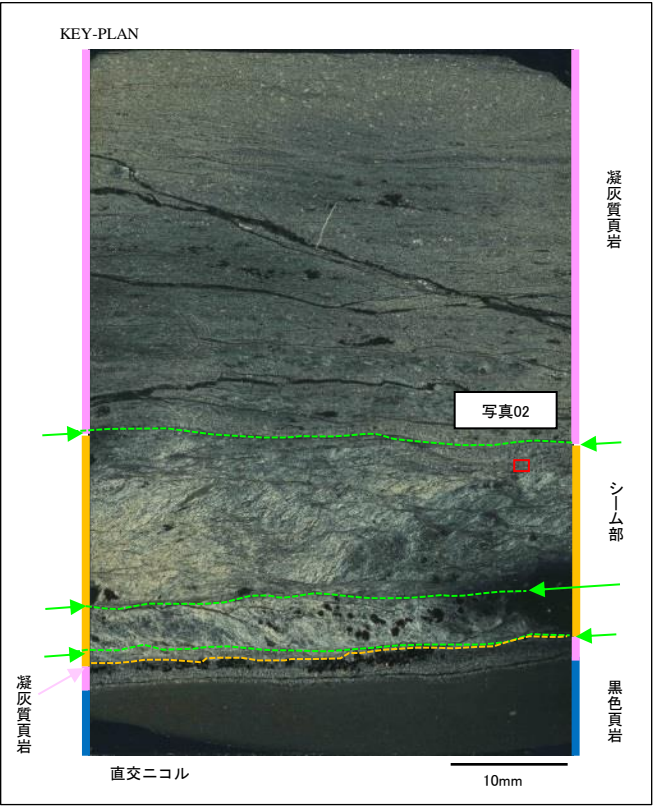
直交ニコル

0.1mm

[写真01 拡大]

- ・直交ニコルで明暗の縞模様を呈するアルバイト式双晶を示すことから、この鉱物は斜長石と**同定した**。
- ・単ニコル及び直交ニコルでざらつきがほとんど認められないことから、変質は進んでいないと**評価した**。

3. シームの活動性 (3) 鉱物と生成条件 ①長石類の薄片観察及びEPMA分析結果 薄片試料の詳細観察結果 (B23-DR-NE-SW)

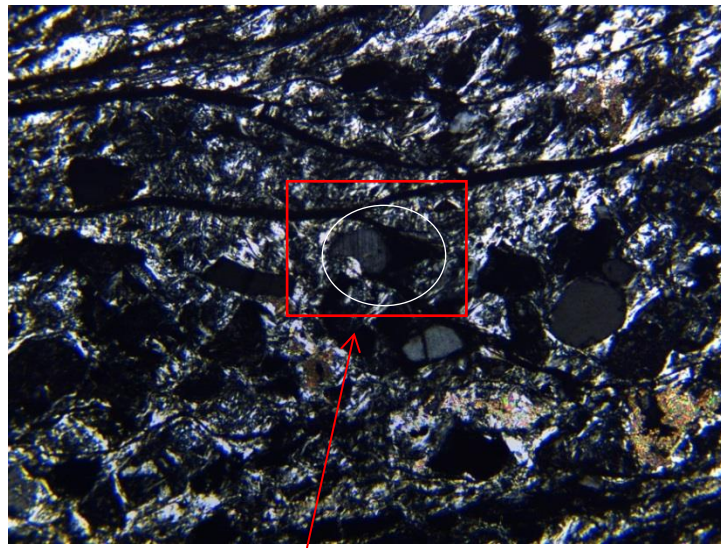


単ニコル

0.5mm

[写真02]

- ・シーム下部と接する凝灰質頁岩に、単ニコルで無色、直交ニコルで双晶を示す鉱物が確認できる。
- ・当該鉱物は、円磨された砂粒のような形状を示す。

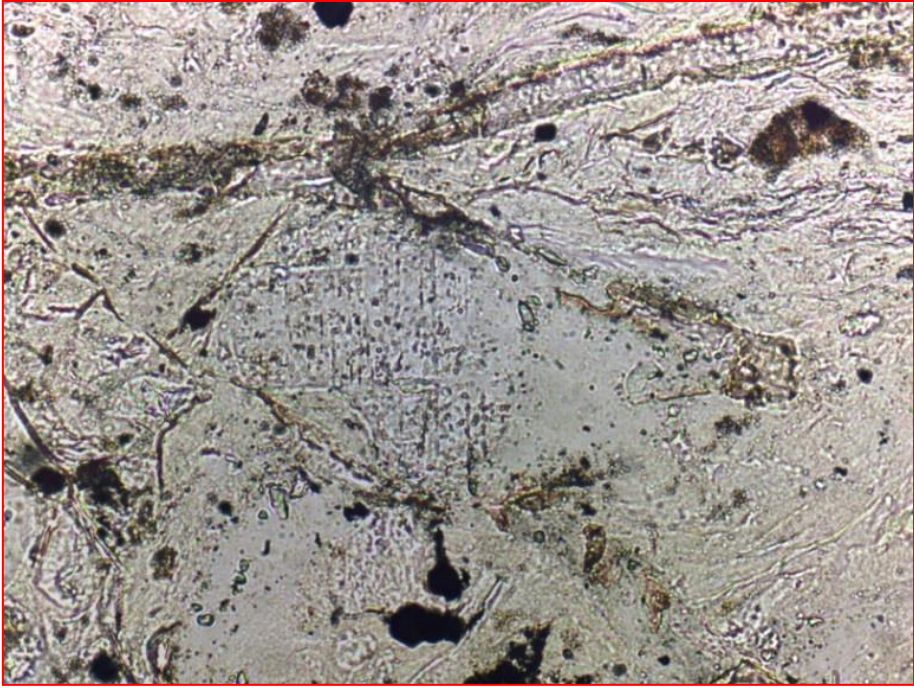


直交ニコル

02拡大

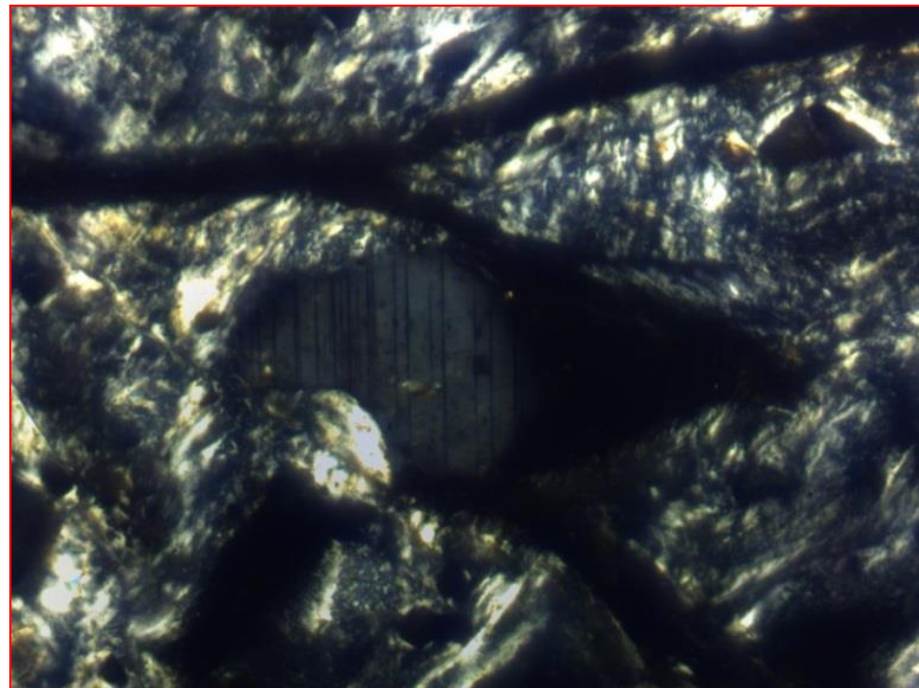
0.5mm

薄片試料の詳細観察結果 (B23-DR-NE-SW)



単ニコル

0.1mm



直交ニコル

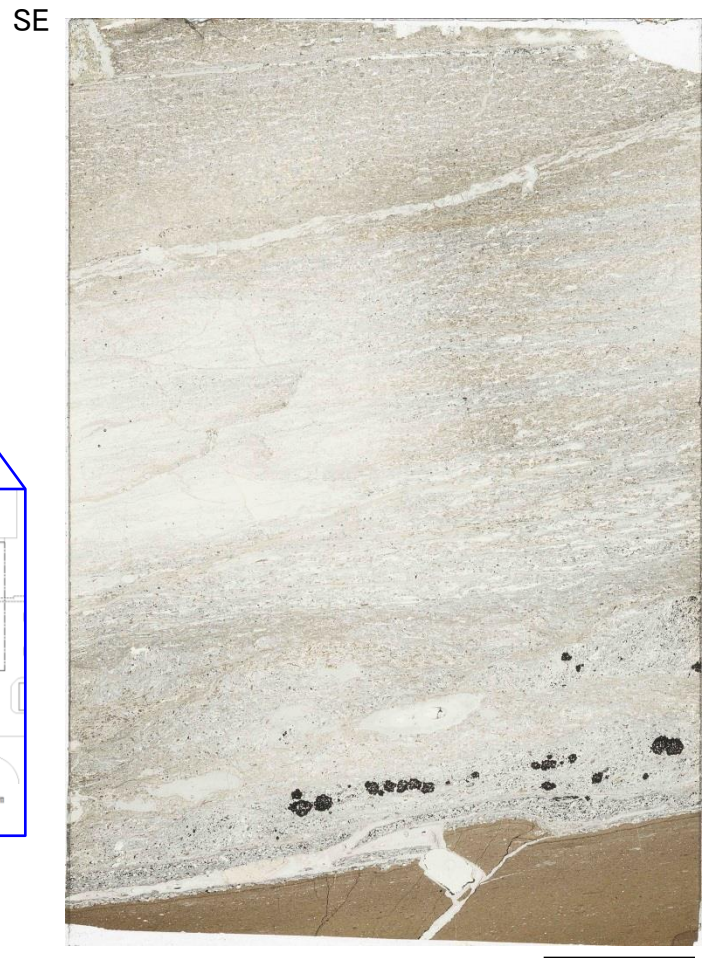
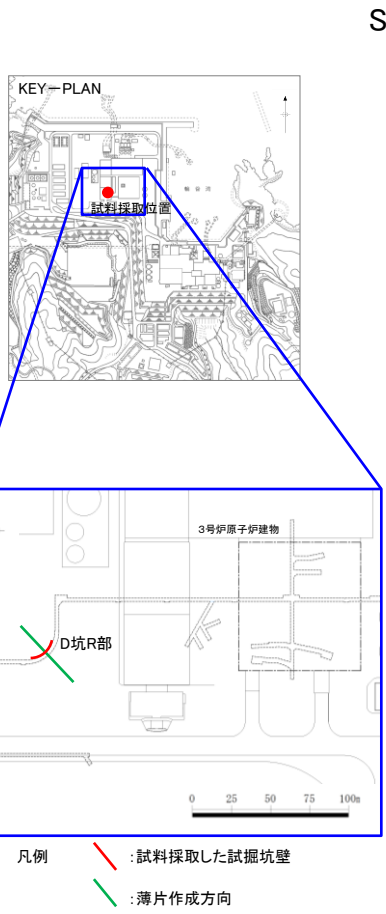
0.1mm

[写真02 拡大]

- ・直交ニコルで明暗の縞模様を呈するアルバイト式双晶を示すことから、この鉱物は斜長石と**同定した**。
- ・単ニコル及び直交ニコルでざらつきがほとんど認められないことから、変質は進んでいないと**評価した**。

余白

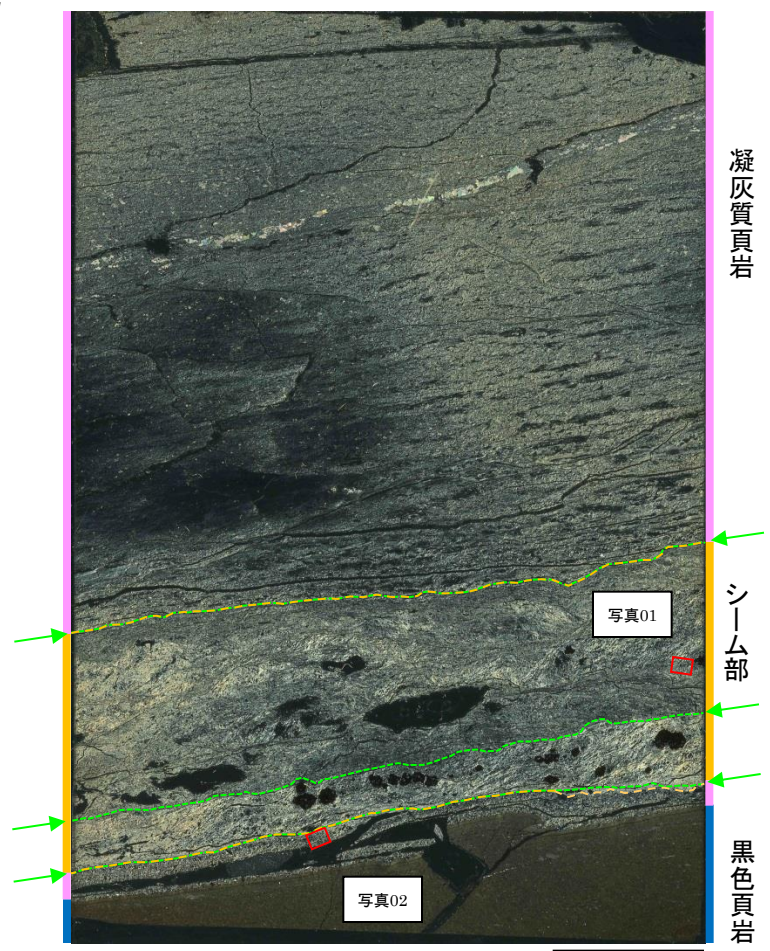
薄片試料の詳細観察結果(B23-DR-NW-SE)



単ニコル

10mm

薄片全体写真(平成27年撮影)



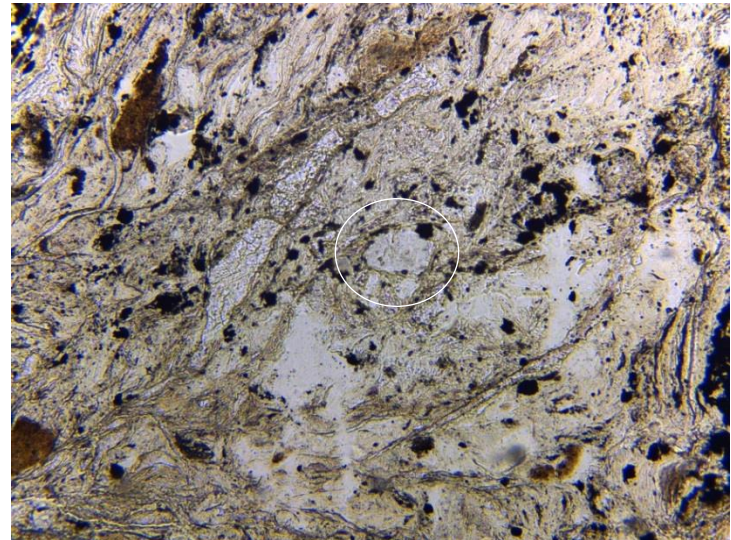
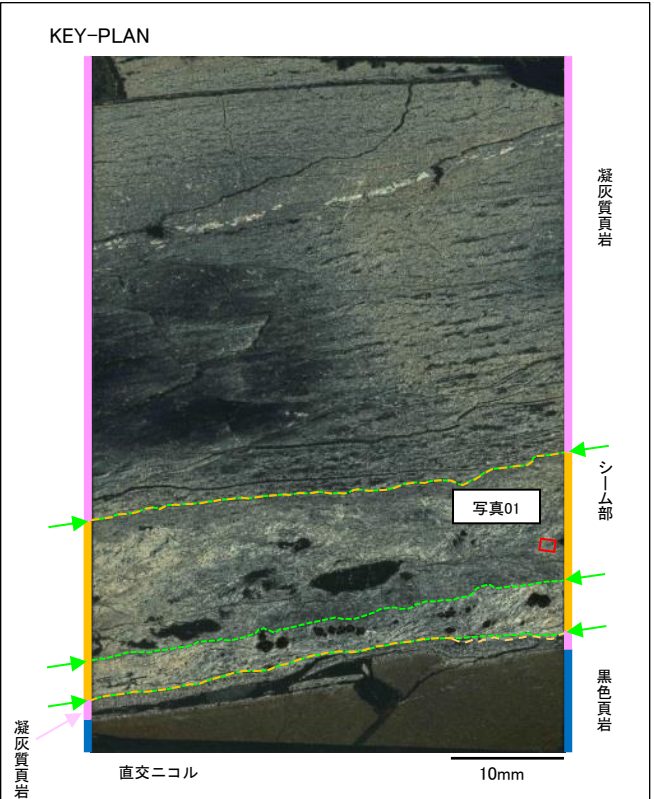
直交ニコル

10mm

凡例
 緑線 : せん断面
 黄線 : シーム境界

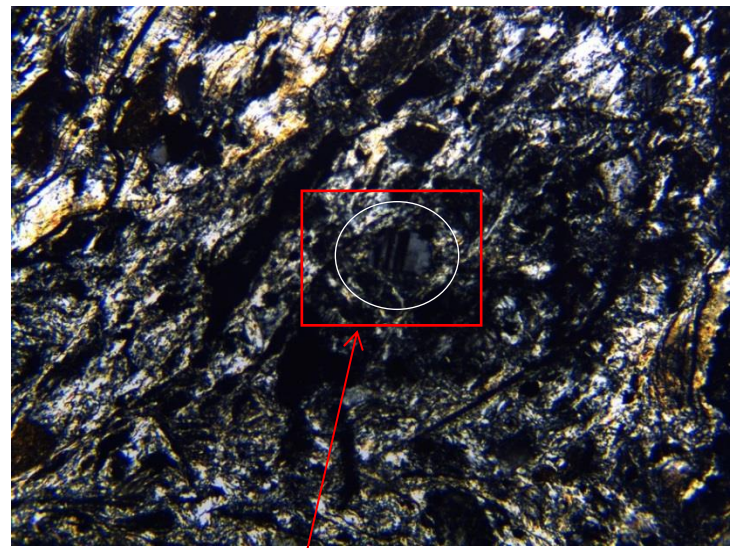
・試掘坑D坑R部からブロックを採取し、シーム内部で確認される斜長石を対象に詳細観察を実施した。

3. シームの活動性 (3) 鉱物と生成条件 ①長石類の薄片観察及びEPMA分析結果 薄片試料の詳細観察結果 (B23-DR-NW-SE)



[写真01]

- ・シーム内部に, 単ニコルで無色, 直交ニコルで双晶を示す鉱物が確認できる。
- ・当該鉱物は, 円磨された砂粒のような形状を示す。

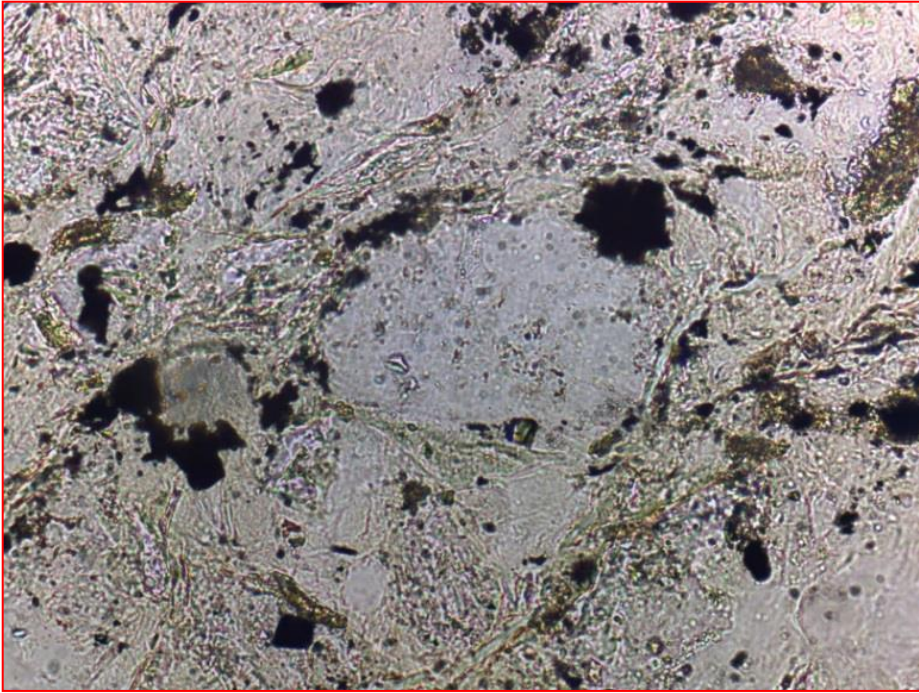


直交ニコル

01拡大

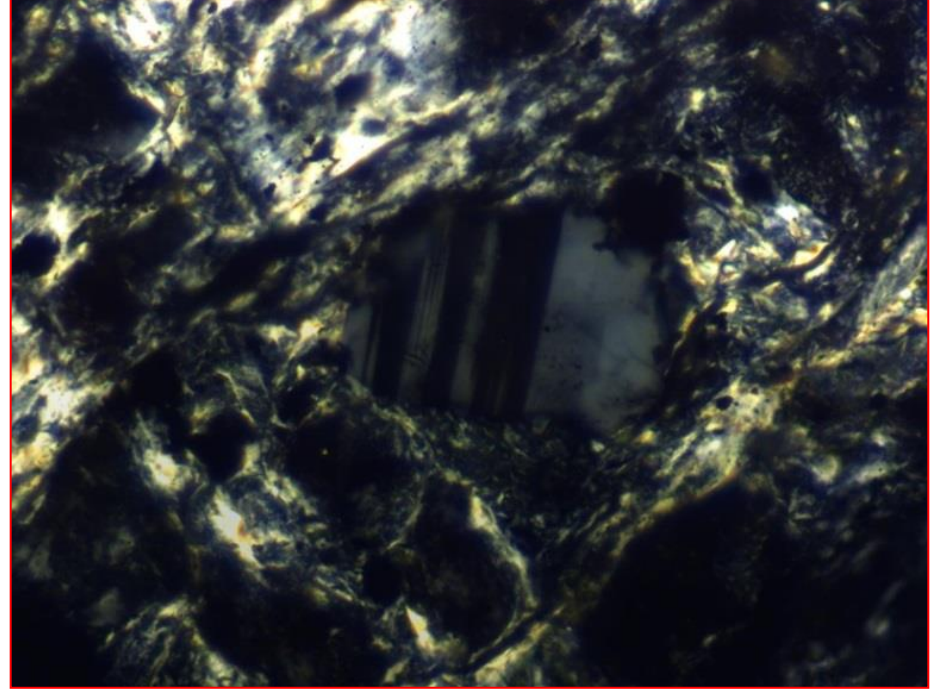
0.5mm

薄片試料の詳細観察結果 (B23-DR-NW-SE)



単ニコル

0.1mm



直交ニコル

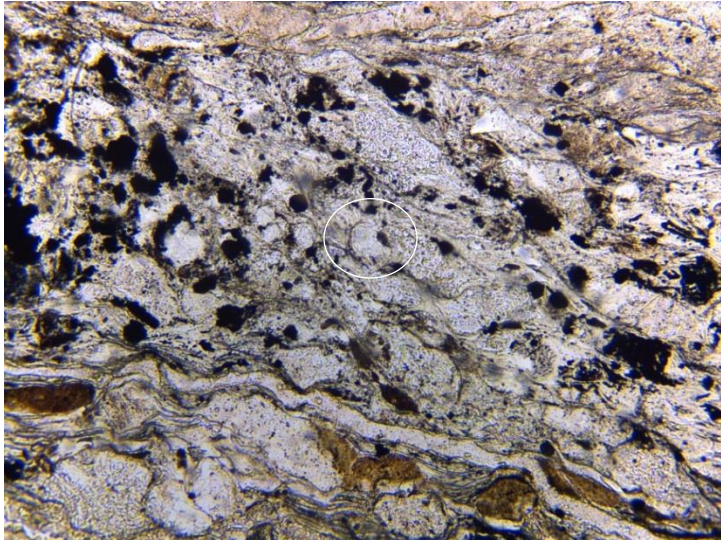
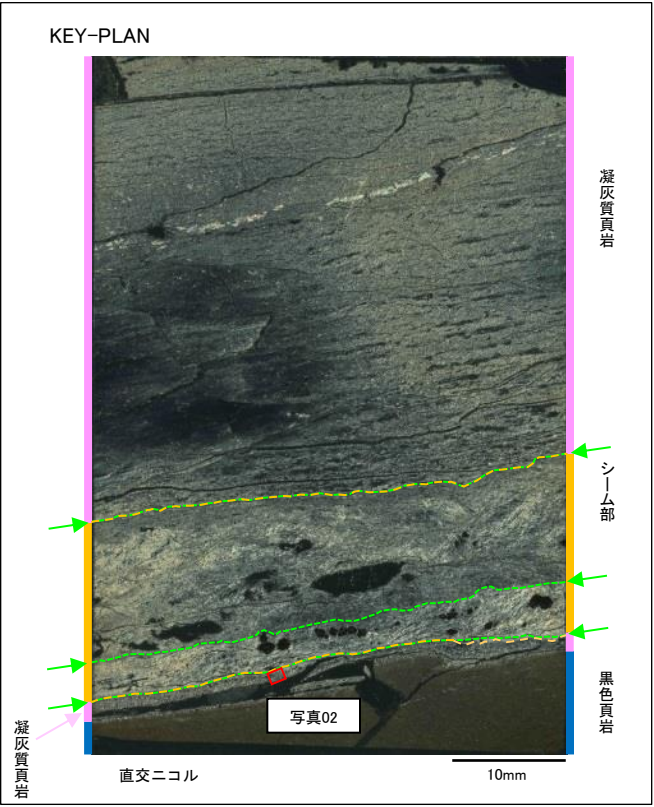
0.1mm

[写真01 拡大]

- ・直交ニコルで明暗の縞模様を呈するアルバイト式双晶を示すことから、この鉱物は斜長石と**同定した**。
- ・単ニコル及び直交ニコルでざらつきがほとんど認められないことから、**変質は進んでいないと評価した**。

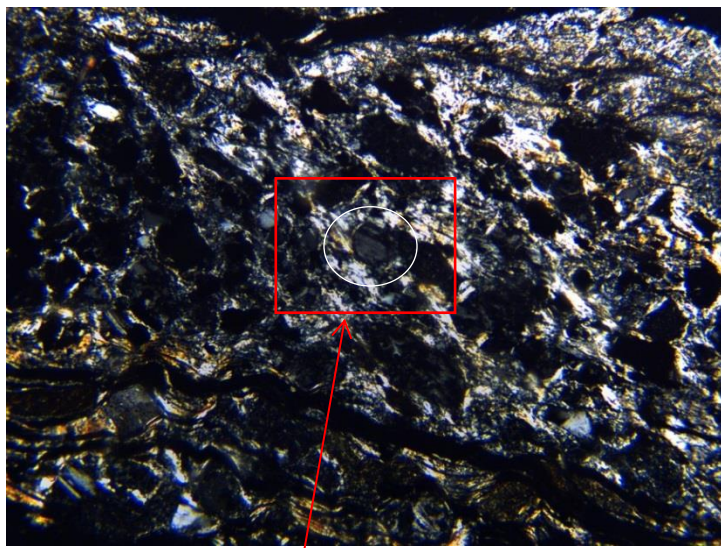
3. シームの活動性 (3) 鉱物と生成条件 ①長石類の薄片観察及びEPMA分析結果

薄片試料の詳細観察結果 (B23-DR-NW-SE)



単ニコル

0.5mm



直交ニコル

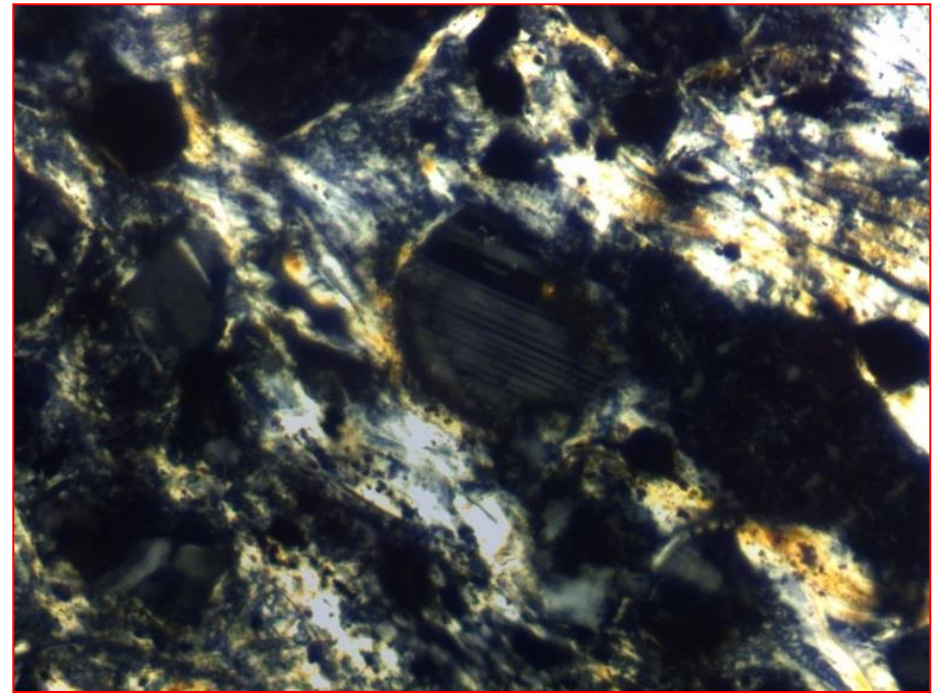
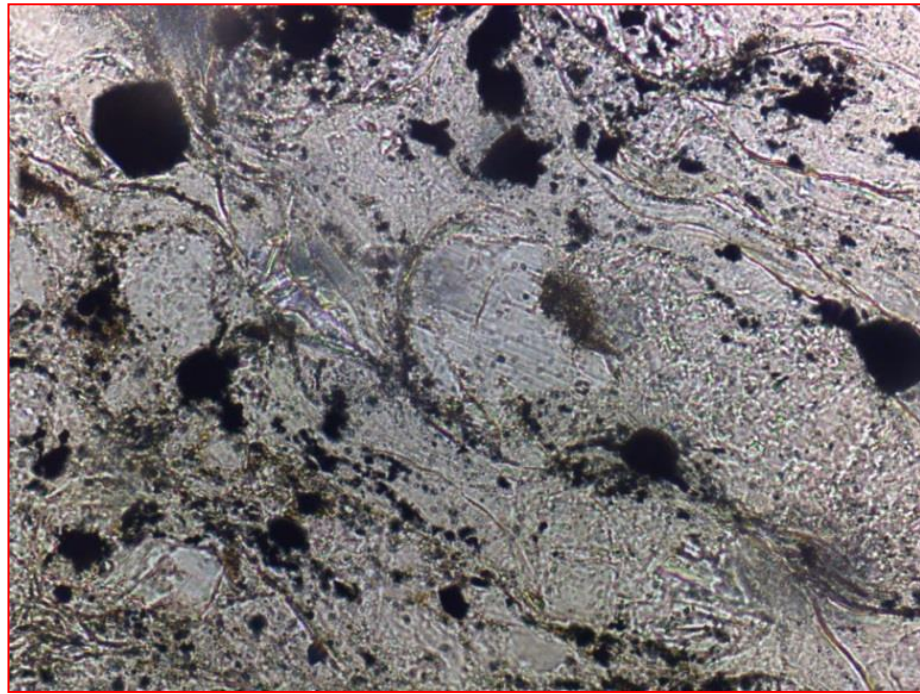
02拡大

0.5mm

[写真02]

- ・シーム下部と接する凝灰質頁岩に、単ニコルで無色、直交ニコルで双晶を示す鉱物が確認できる。
- ・当該鉱物は、円磨された砂粒のような形状を示す。

薄片試料の詳細観察結果 (B23-DR-NW-SE)



単ニコル

0.1mm

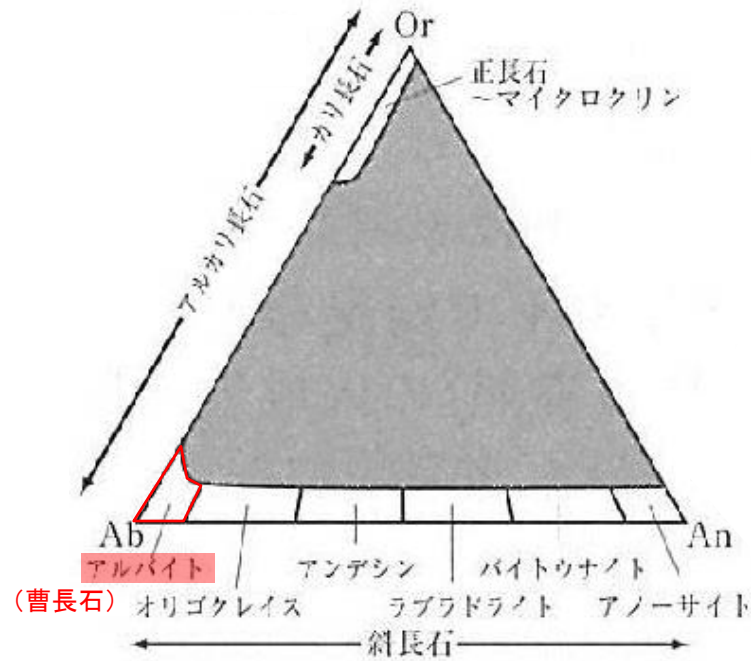
直交ニコル

0.1mm

[写真01 拡大]

- ・直交ニコルで明暗の縞模様を呈するアルバイト式双晶を示すことから、この鉱物は斜長石と**同定した**。
- ・単ニコル及び直交ニコルでざらつきがほとんど認められないことから、変質は進んでいないと**評価した**。

3. シームの活動性 (3) 鉱物と生成条件 ① 長石類の薄片観察及びEPMA分析結果 文献調査結果(長石の化学組成と分類)

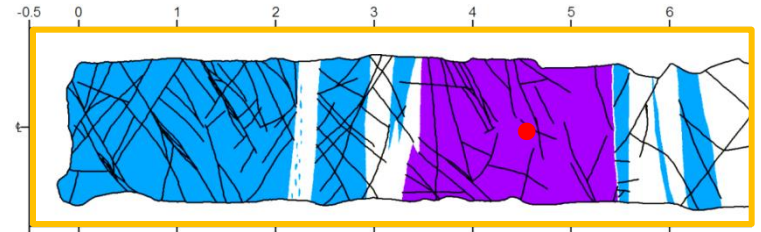
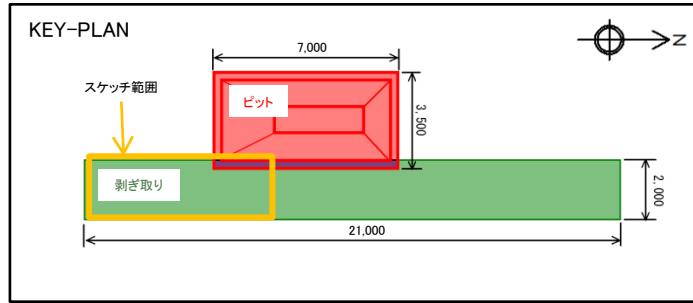
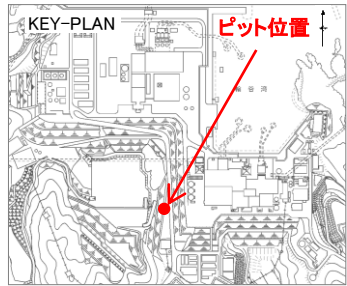


長石の化学組成に基づく分類

周藤・小山内(2002)⁹を加筆・修正

- ・周藤・小山内(2002)によると、長石はアルバイト($Ab: NaAlSi_3O_8$)・カリ長石($Or: KAlSi_3O_8$)・アノーサイト($An: CaAl_2Si_2O_8$)の3成分を端成分とする固溶体で、3成分の含有比率で上図のように細区分されるとされている。
- ・また、Ab-Anの領域は斜長石、Ab-Orの領域はアルカリ長石であり、曹長石は、斜長石の中でも特にアルバイト成分に富むものであるとされている。

薄片試料の詳細観察結果(凝灰岩:Pit1-Do-cp)

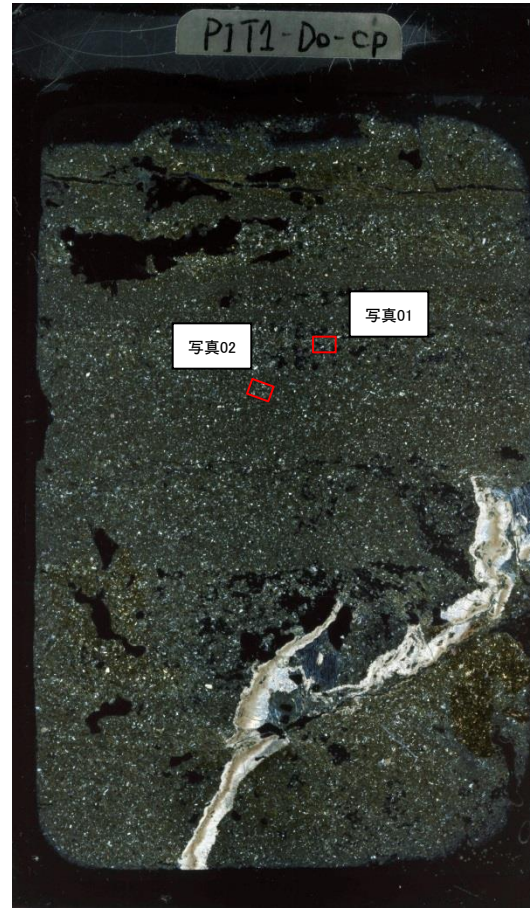


- 凡例
- 黑色頁岩
 - 凝灰岩
 - 凝灰岩 (黒色)
 - 節理
 - 試料採取位置

上
↑



10mm



10mm

・シーム確認ピットから、凝灰岩を対象にブロックを採取し、薄片試料を作製した。

3. シームの活動性 (3) 鉱物と生成条件 ①長石類の薄片観察及びEPMA分析結果 薄片試料の詳細観察結果(凝灰岩:Pit1-Do-cp)

KEY-PLAN

上
↑

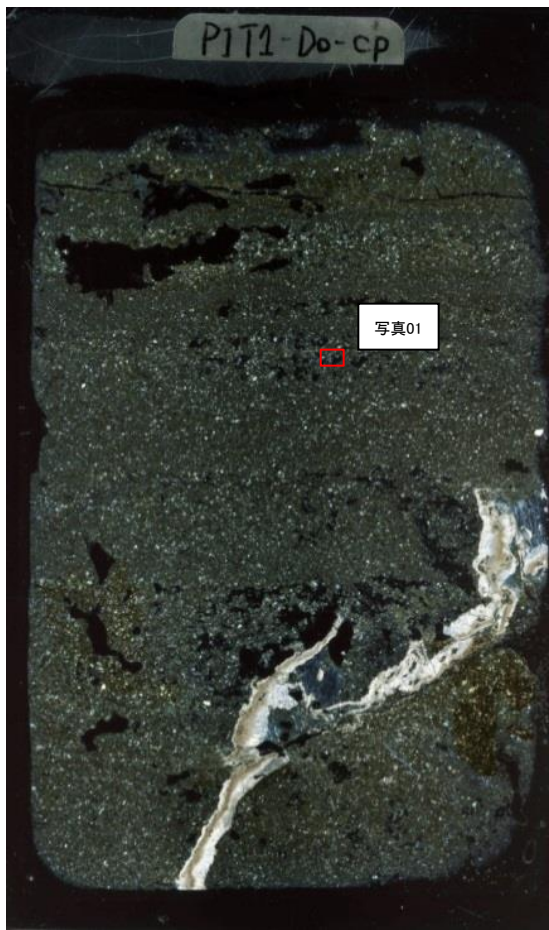
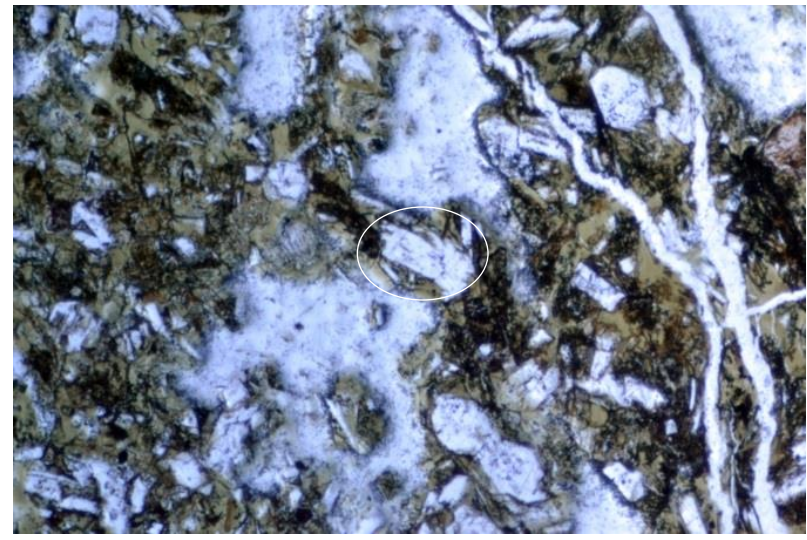


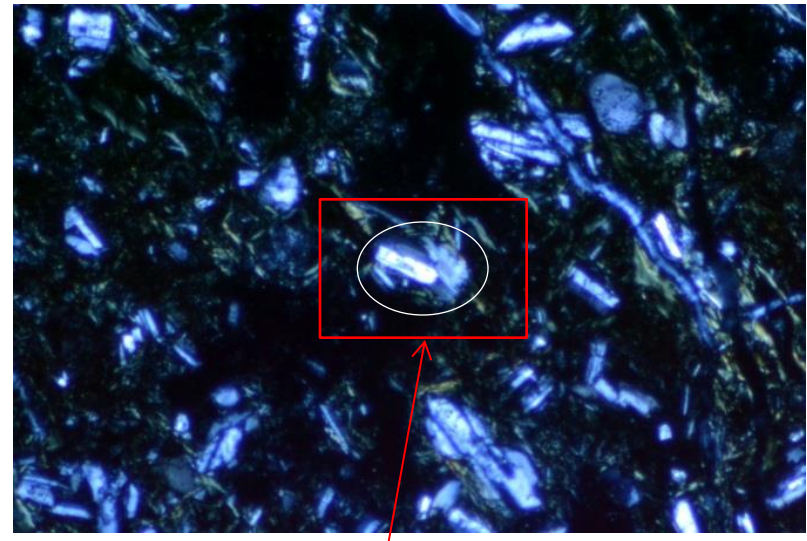
写真01

10mm



単ニコル

0.5mm



直交ニコル

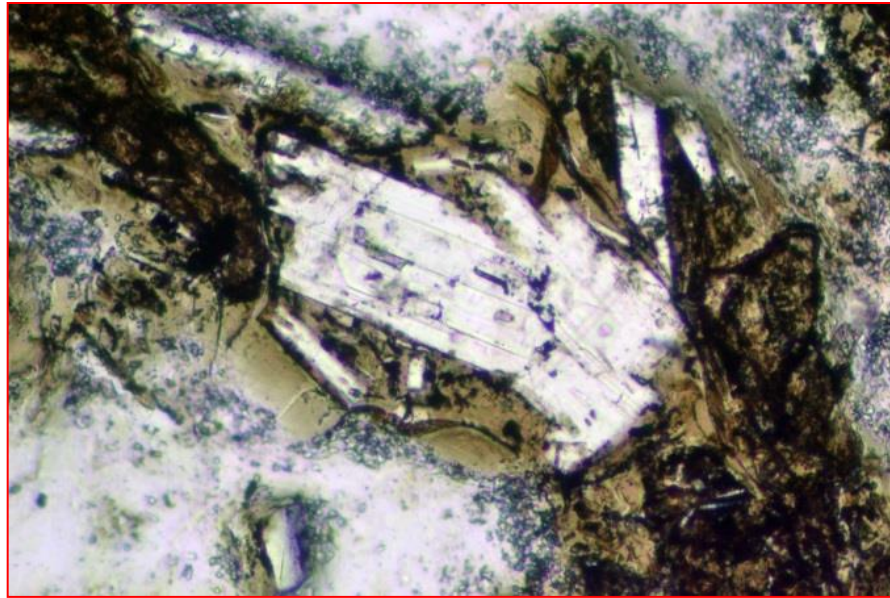
01拡大

0.5mm

[写真01]

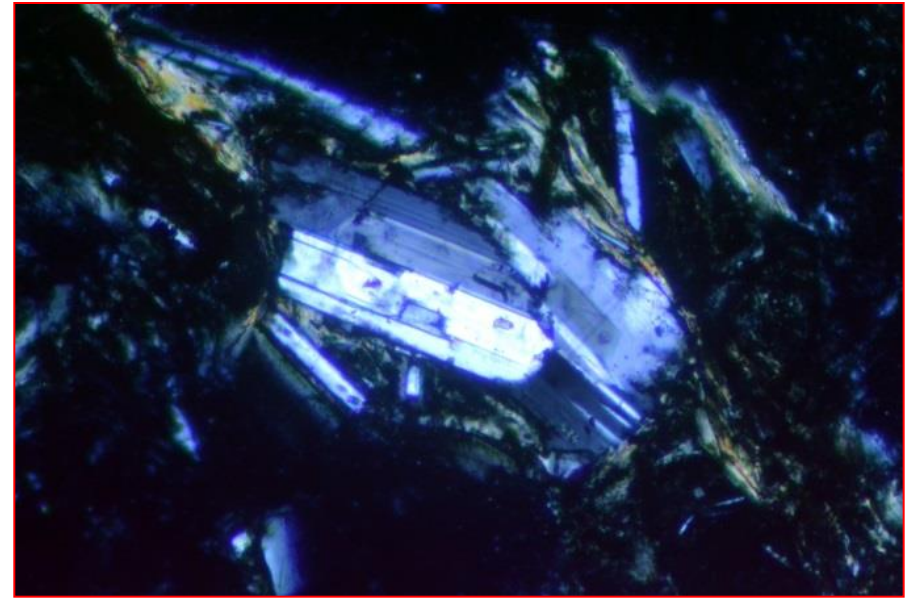
- ・凝灰岩に、単ニコルで無色、直交ニコルで双晶を示す鉱物が確認できる。
- ・当該鉱物は自形～半自形で柱状の形状を示す。

薄片試料の詳細観察結果(凝灰岩:Pit1-Do-cp)



単ニコル

0.1mm



直交ニコル

0.1mm

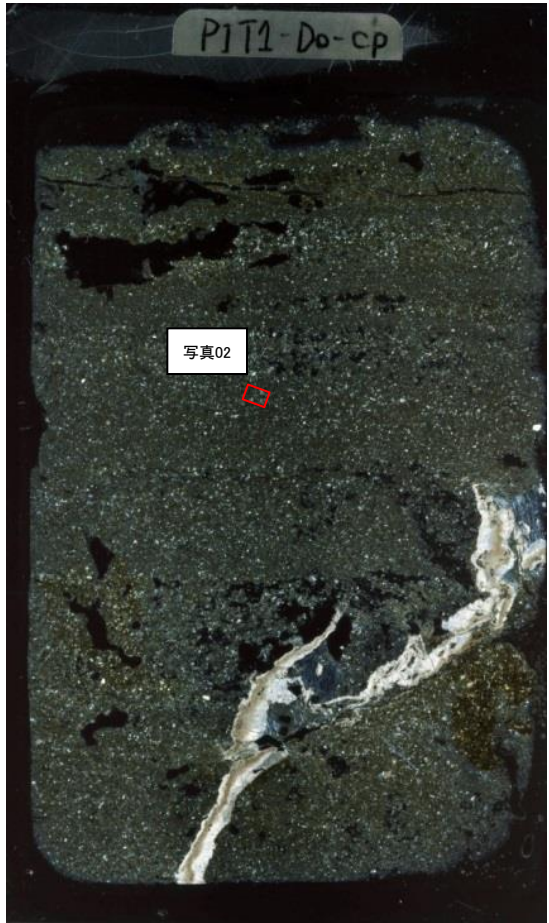
[写真01 拡大]

- ・直交ニコルで2個体から成る単純双晶を示し、劈開が顕著であり、柱状の形状であることから、この鉱物は斜長石と**同定した**。
- ・単ニコル及び直交ニコルでざらつきがほとんど認められないことから、変質は進んでいないと**評価した**。

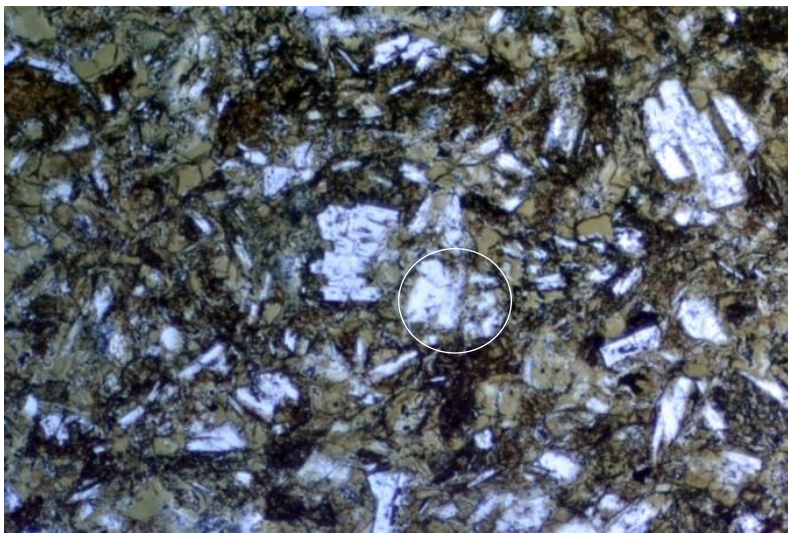
3. シームの活動性 (3) 鉱物と生成条件 ①長石類の薄片観察及びEPMA分析結果 薄片試料の詳細観察結果(凝灰岩:Pit1-Do-cp)

KEY-PLAN

上
↑



10mm

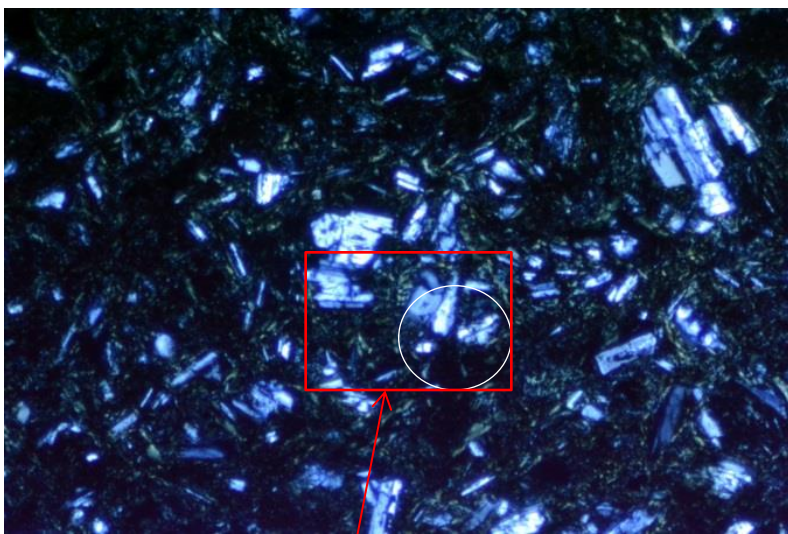


単ニコル

0.5mm

[写真02]

- ・凝灰岩に、単ニコルで無色、直交ニコルで双晶を示す鉱物が確認できる。
- ・当該鉱物は半自形～他形で柱状の形状を示す。

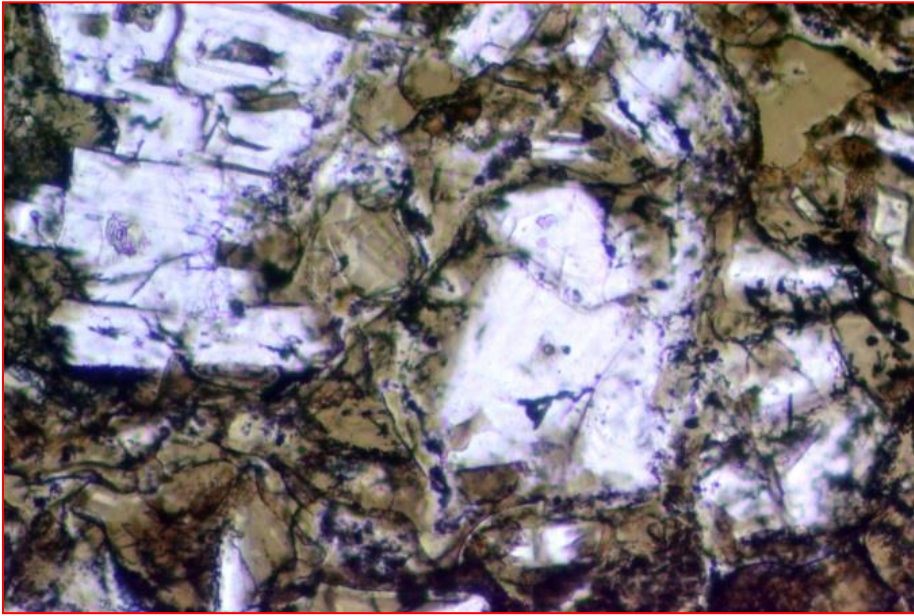


直交ニコル

0.5mm

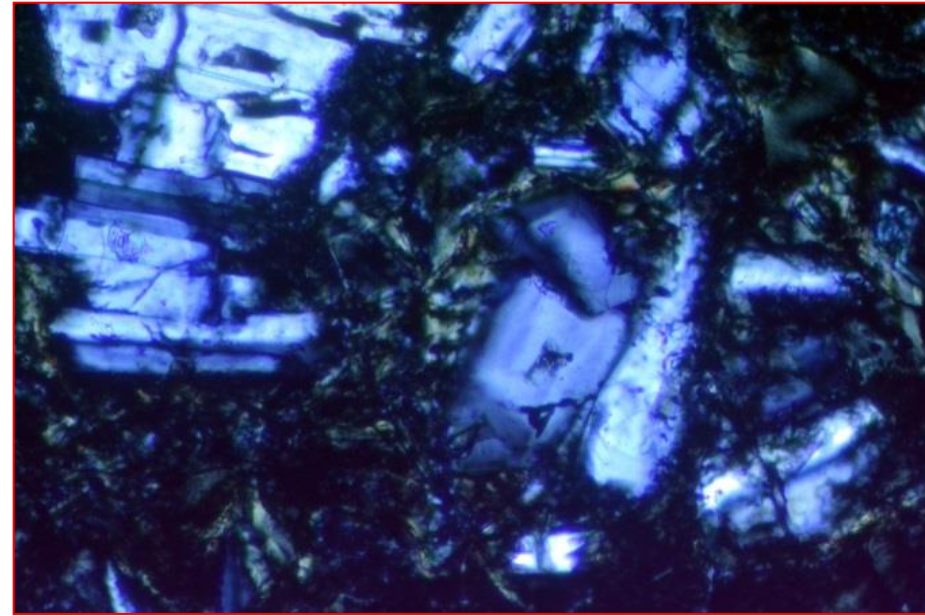
02拡大

3. シームの活動性 (3) 鉱物と生成条件 ①長石類の薄片観察及びEPMA分析結果 薄片試料の詳細観察結果(凝灰岩:Pit1-Do-cp)



単ニコル

0.1mm

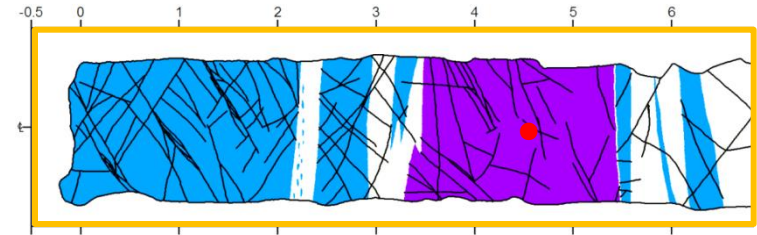
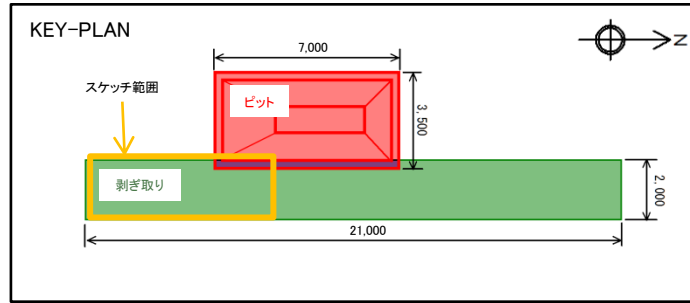
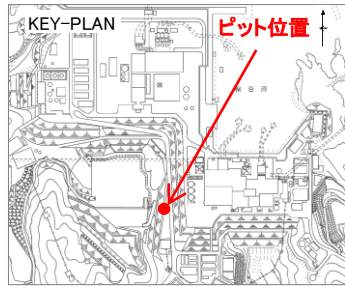


直交ニコル

0.1mm

[写真02 拡大]

- ・直交ニコルで内部に向かって明暗の縞模様を呈する累帯構造を示すことから、この鉱物は斜長石と**同定した**。
- ・単ニコル及び直交ニコルでざらつきがほとんど認められないことから、変質は進んでいないと**評価した**。



凡例

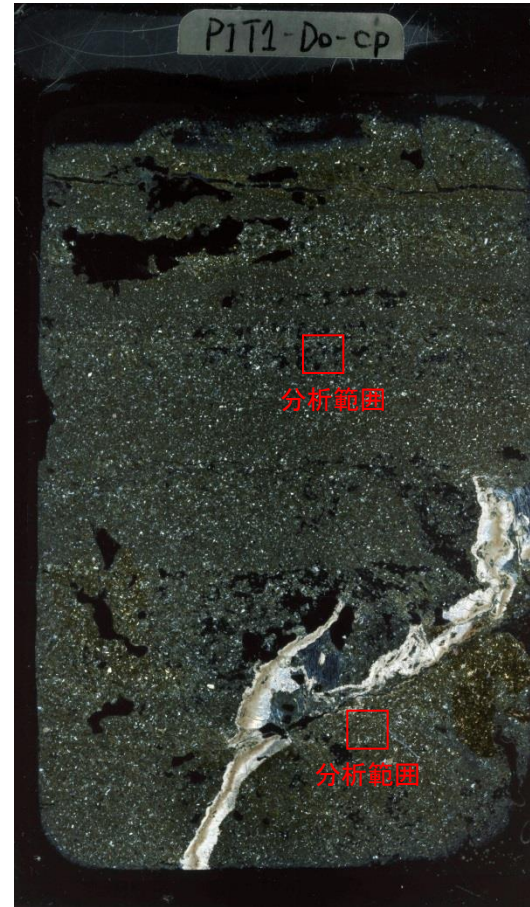
- 黑色頁岩
- 凝灰岩
- 凝灰岩 (黒色)
- 節理
- 試料採取位置

上
↑



単ニコル

10mm

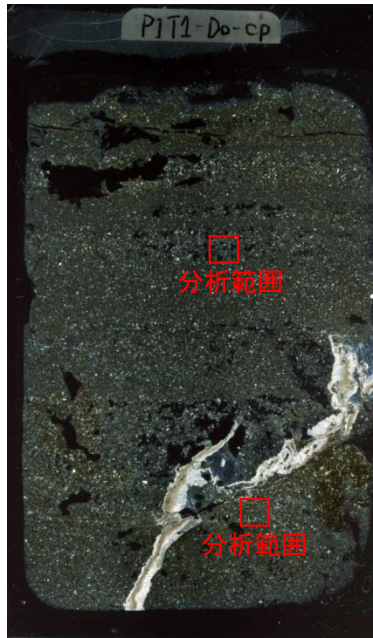


直交ニコル

10mm

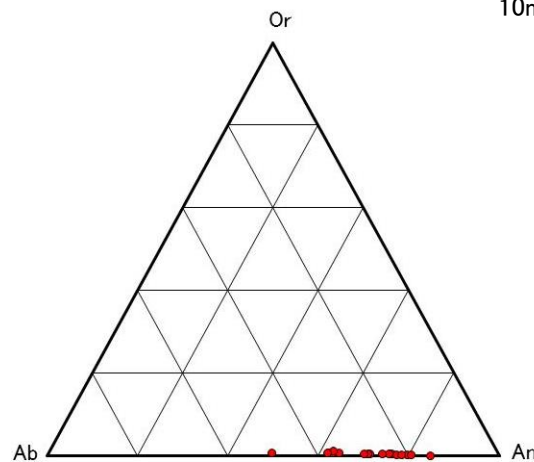
・シーム確認ピットから、凝灰岩を対象にブロックを採取し、薄片試料を作製してEPMA分析を実施した。

EPMA分析結果(凝灰岩:Pit1-Do-cp)



直交ニコル

10mm



EPMA分析による長石の分量(%)

EPMA分析による長石の分量(%)

分析点No.	アノーサイト (An)	アルバイト(Ab)	カリ長石 (Or)
1	84.7146	15.233	0.0523
2	64.1803	35.0735	0.7462
3	79.5774	20.2168	0.2058
4	71.3184	28.3181	0.3634
5	75.6434	23.9482	0.4084
6	61.9999	37.4641	0.536
7	76.1007	23.601	0.2983
8	62.7151	36.5982	0.6867
9	75.4485	24.2328	0.3187
10	80.358	19.4117	0.2302
11	62.8086	36.1225	1.0689
12	49.2838	49.9806	0.7357
13	77.2123	22.5435	0.2442
14	74.0321	25.6805	0.2874
15	70.7896	28.6983	0.5121
16	70.0068	29.6036	0.3897
17	61.8838	37.5795	0.5367
18	78.2992	21.4659	0.2349

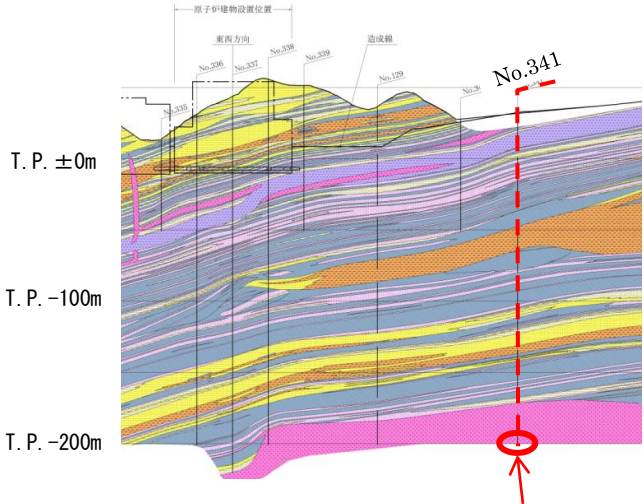
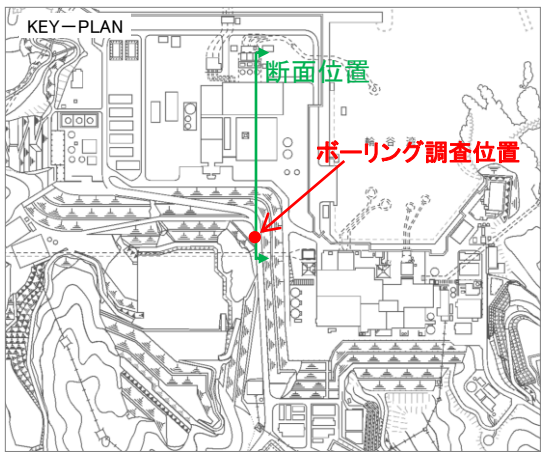
【分析結果】

- ・EPMA分析を実施した地点のうち、鉱物組成から長石類と**同定した**箇所について定量データに基づく三角ダイアグラムを作成したところ、大部分はAn成分が50~85%程度と多く、残りはほとんどがAb成分でOrはわずかにしか認められないことから、曹灰長石~亜灰長石と**同定した**。

余白

3. シームの活動性 (3) 鉱物と生成条件 ①長石類の薄片観察及びEPMA分析結果

薄片試料の詳細観察結果(ドレライト:No.341 GL-232m)



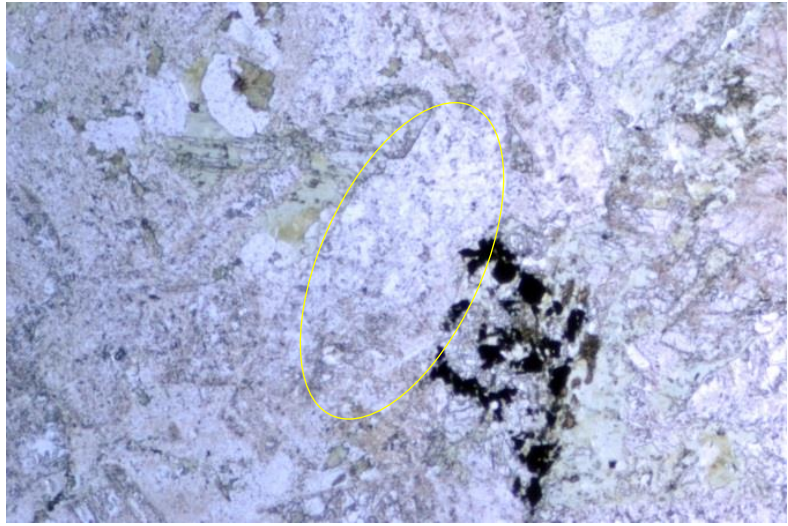
- 凡例
- 盛土
 - 海底堆積物
 - 崖錐堆積物
 - 安山岩
 - ドレライト
 - 凝灰角礫岩
 - 火山礫凝灰岩
 - 凝灰岩
 - 凝灰質頁岩
 - 黒色頁岩
- 被覆層
- 貫入岩類
- 成相寺層
- 岩相境界線
- ボーリング位置 (破線は投影)

・No.341ボーリングコアから、ドレライト内部の試料を採取し、薄片試料を作製した。

3. シームの活動性 (3) 鉱物と生成条件 ①長石類の薄片観察及びEPMA分析結果 薄片試料の詳細観察結果(ドレライト:No.341 GL-232m)

KEY-PLAN

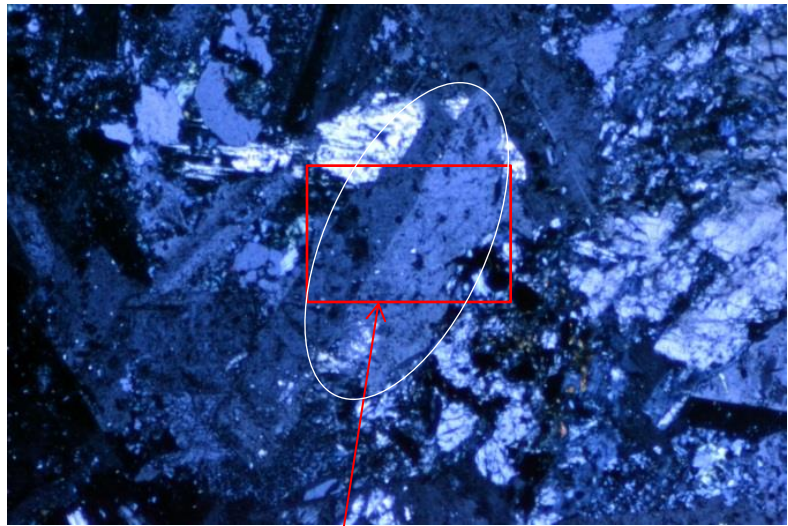
上
↑



単ニコル

0.5mm

[写真01]
・ドレライト内部に、単ニコルで無色、直交ニコルで双晶を示す鉱物が確認できる。
・当該鉱物は自形～半自形で柱状の形状を示す。

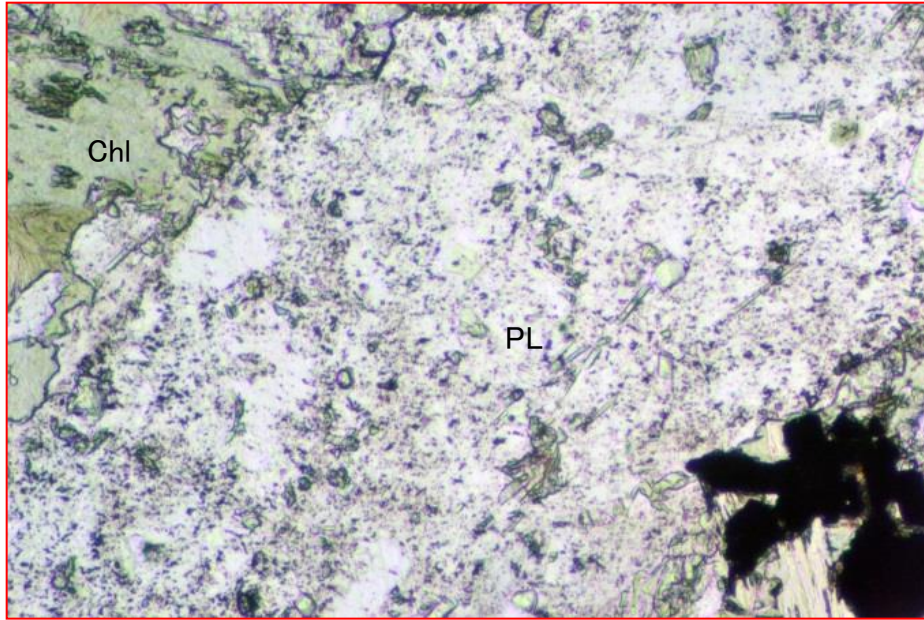


直交ニコル

01拡大

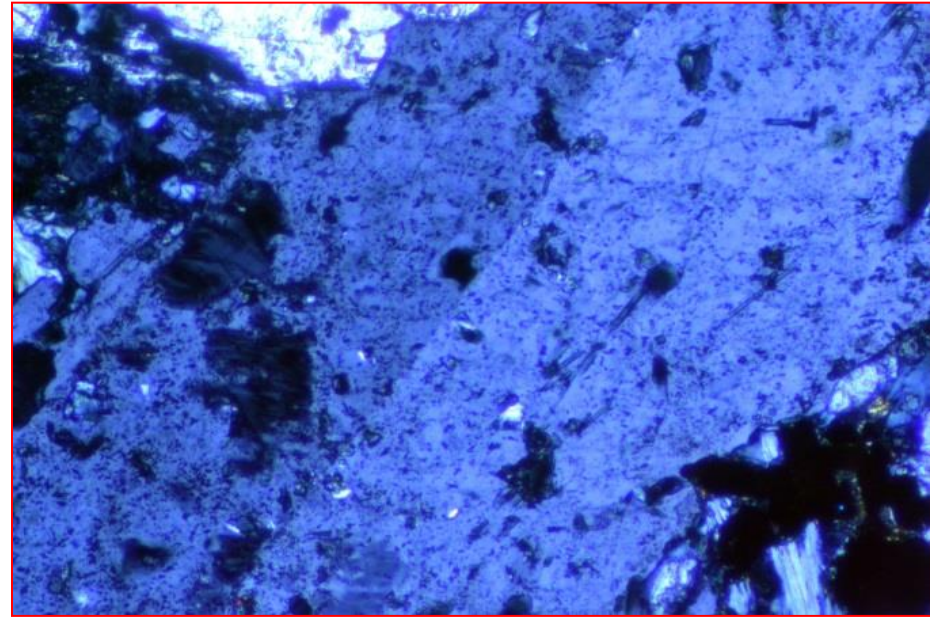
0.5mm

薄片試料の詳細観察結果(ドレライト:No.341 GL-232m)



単ニコル

0.1mm



直交ニコル

0.1mm

PL : 斜長石
Chl : 緑泥石

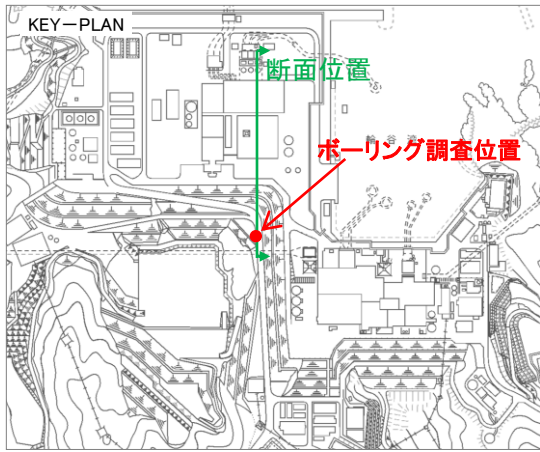
[写真01 拡大]

- ・直交ニコルで2個体から成る単純双晶を示し、柱状の形状であることから、この鉱物は斜長石と**同定した**。
- ・単ニコル及び直交ニコルで全体的にざらついており、変質を被っていると**評価した**。

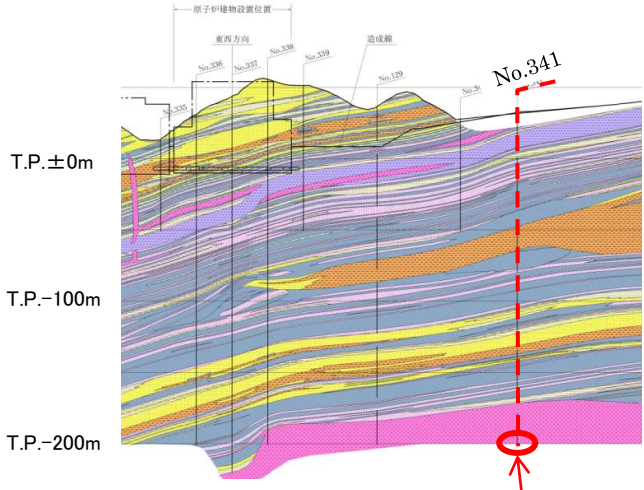
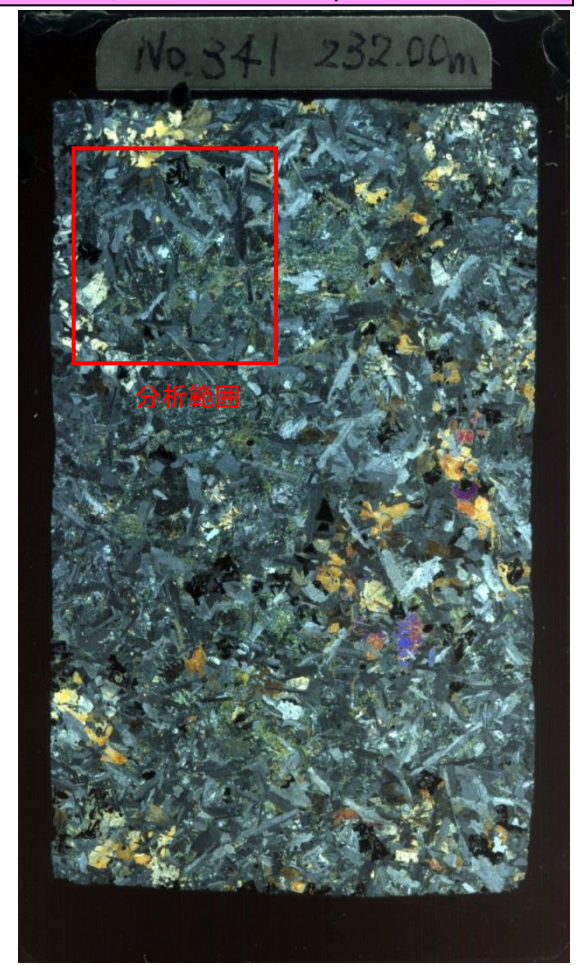
3. シームの活動性 (3) 鉱物と生成条件 ①長石類の薄片観察及びEPMA分析結果

薄片観察・EPMA分析結果(ドレライト:No.341 GL-232m)

第318回審査会合 資料2 p.122 加筆・修正



上
↑



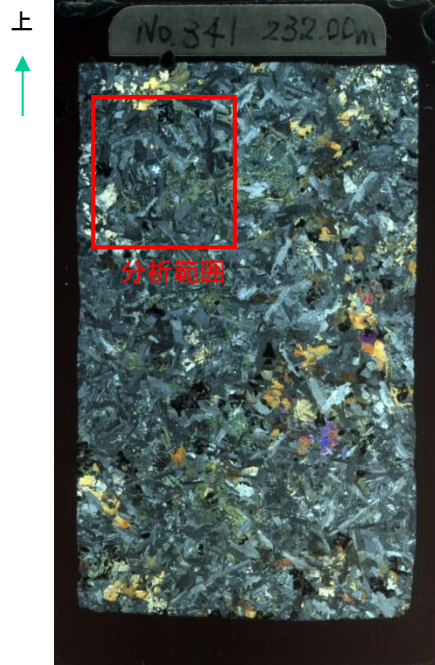
- 凡例
- 盛土
 - 海底堆積物
 - 崖錐堆積物
 - 安山岩
 - ドレライト
 - 凝灰角礫岩
 - 火山礫凝灰岩
 - 凝灰岩
 - 凝灰質頁岩
 - 黒色頁岩
- 被覆層
- 貫入岩類
- 成相層
- 岩相境界線
- ボーリング位置 (破線は投影)

・No.341ボーリングコアから、ドレライト内部の試料を採取し、薄片試料を作製してEPMA分析を実施した。

EPMA分析結果(ドレライト:No.341 GL-232m)

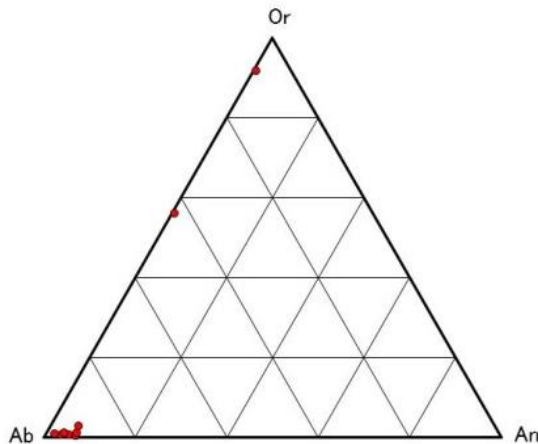
EPMA分析による長石の分量(%)

分析点No.	アノーサイト (An)	アルバイト(Ab)	カリ長石 (Or)
1	5.0259	94.2679	0.7063
2	0.6016	43.3373	56.0611
3	6.0778	91.099	2.8233
4	0.4802	7.6737	91.8461
5	3.5595	95.8456	0.5949
6	1.7325	97.2927	0.9748
7	6.6259	92.9237	0.4504
8	6.7321	92.9439	0.324
9	6.5212	92.4159	1.0628
10	3.7498	95.0604	1.1898



直交ニコル

10mm



EPMA分析による長石の分量(%)

【分析結果】

・EPMA分析を実施した地点のうち、鉱物組成から長石類と**同定した**箇所について定量データに基づく三角ダイアグラムを作成したところ、大部分はAb成分に富むことから曹長石と判断される。一部はOr成分に富み、カリ長石と**同定した**。

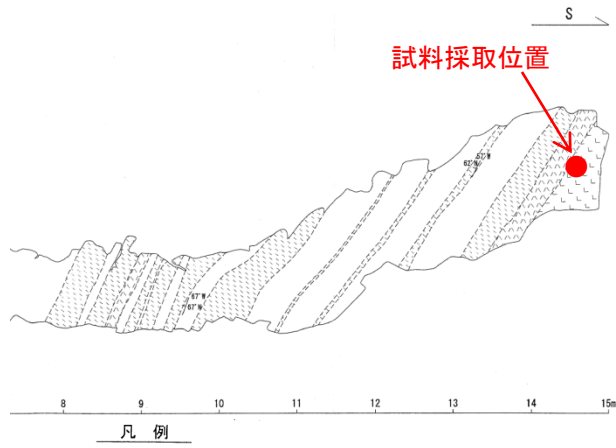
余白

3. シームの活動性 (3) 鉱物と生成条件 ①長石類の薄片観察及びEPMA分析結果

薄片試料の詳細観察結果(ドレライト:Hag-Do-c10)



※はぎ取り調査位置を示すため、旧地形の平面図を示す。



- 凡例
- 地質境界
 - 層理面の走向傾斜
 - 黑色頁岩
 - ▨ 凝灰質頁岩
 - ▧ 凝灰岩
 - ▩ 火山礫凝灰岩
 - 黑色頁岩 凝灰質頁岩互層
 - トレライト

上
↑



単ニコル

10mm



直交ニコル

10mm

・3号剥ぎ取り箇所から、ドレライトの試料を採取し、薄片試料を作製した。

3. シームの活動性 (3) 鉱物と生成条件 ①長石類の薄片観察及びEPMA分析結果

薄片試料の詳細観察結果(ドレライト:Hag-Do-c10)

KEY-PLAN

上
↑

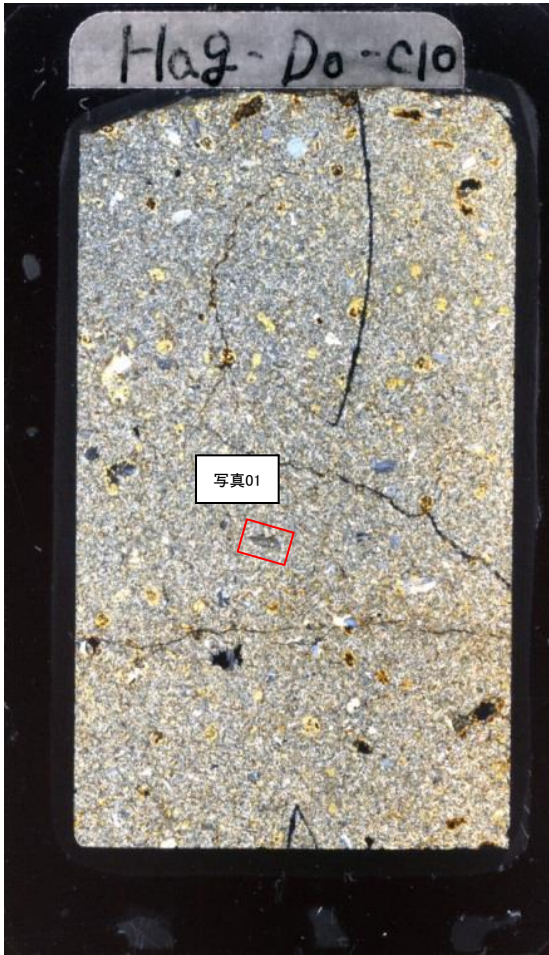
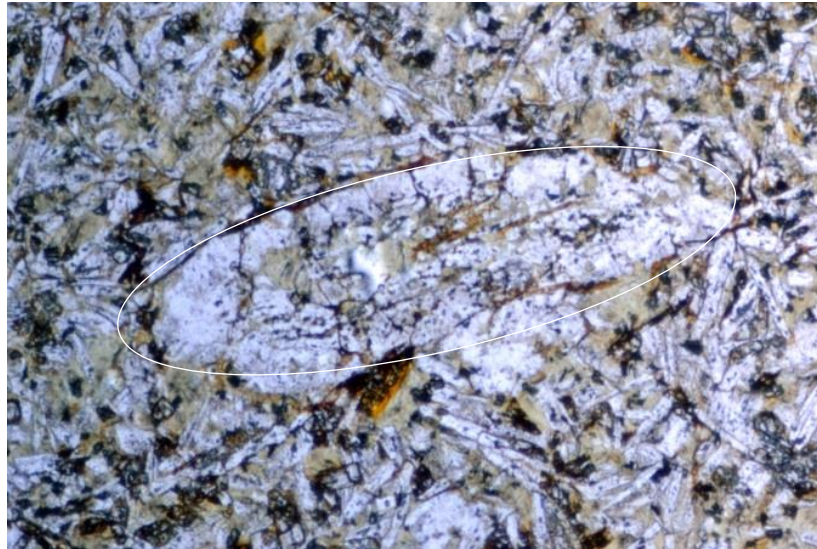


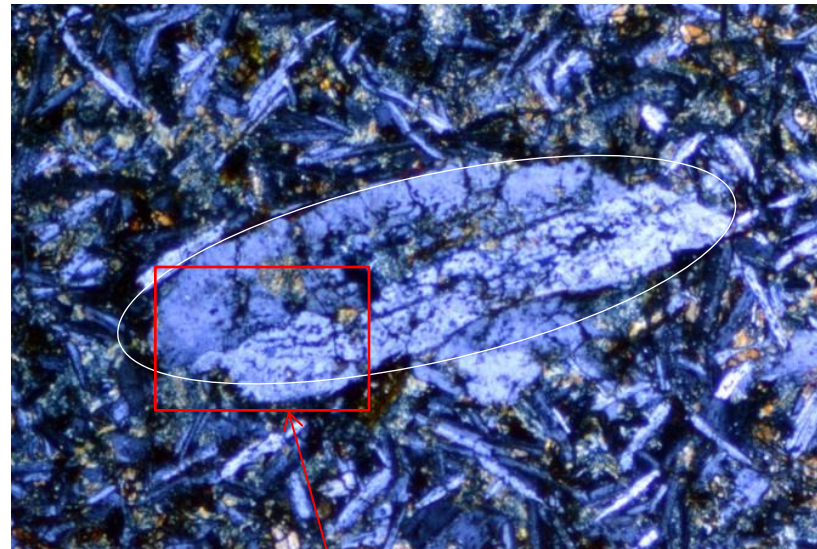
写真01

10mm



単ニコル

0.5mm



直交ニコル

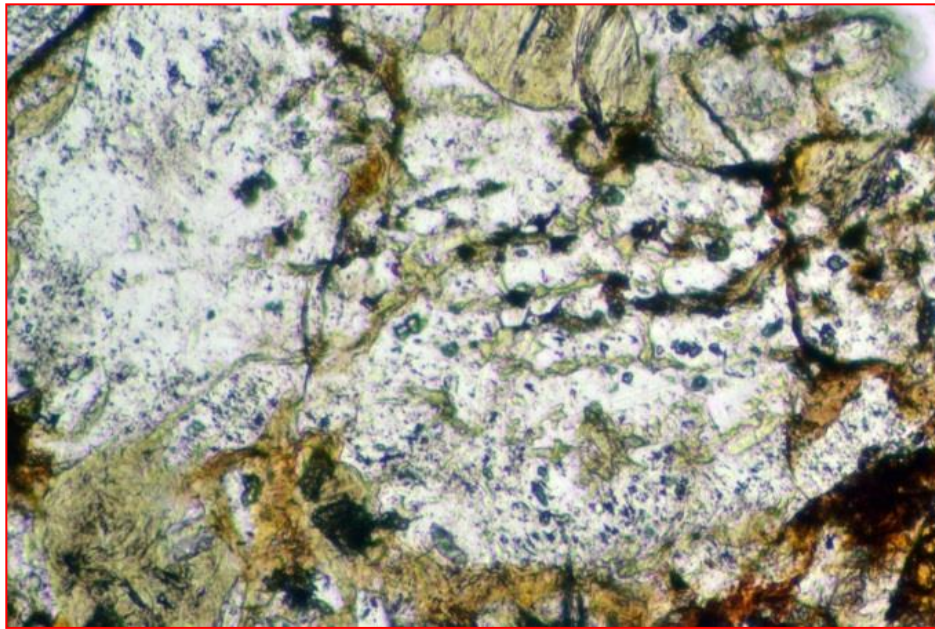
01拡大

0.5mm

[写真01]

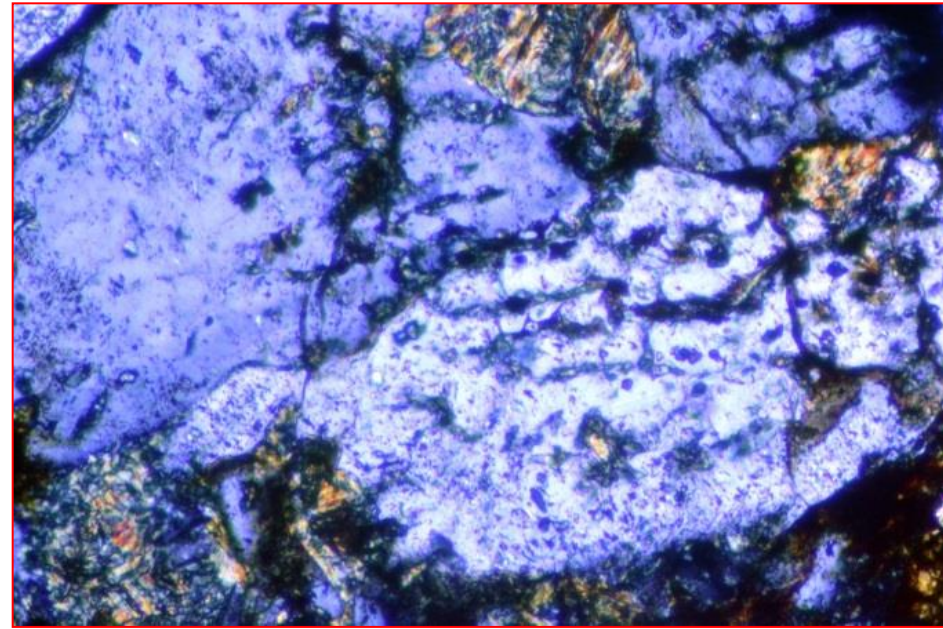
- ・ドレライト内部に、単ニコルで無色、直交ニコルで双晶を示す鉱物が確認できる。
- ・当該鉱物は半自形～他形で柱状の形状を示す。

薄片試料の詳細観察結果(ドレライト:Hag-Do-c10)



単ニコル

0.1mm



直交ニコル

0.1mm

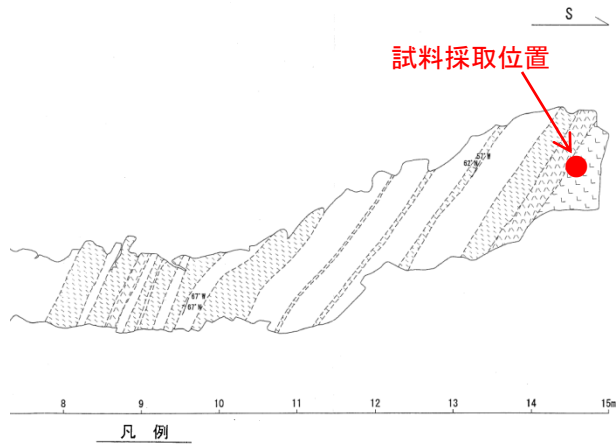
[写真01 拡大]

- ・直交ニコルで2個体から成る単純双晶を示し、柱状の形状であることから、この鉱物は斜長石と**同定した**。
- ・単ニコル及び直交ニコルで全体的にざらついていることから、**変質を被っている**と**評価した**。

3. シームの活動性 (3) 鉱物と生成条件 ①長石類の薄片観察及びEPMA分析結果
 薄片観察・EPMA分析結果(ドレライト:Hag-Do-C10)



※はぎ取り調査位置を示すため、旧地形の平面図を示す。



- 凡例
- 地質境界
 - 層理面の走向傾斜
 - 黑色頁岩
 - ▨ 凝灰質頁岩
 - ▧ 凝灰岩
 - ▩ 火山礫凝灰岩
 - 黑色頁岩 凝灰質頁岩互層
 - トレライト



単ニコル

10mm

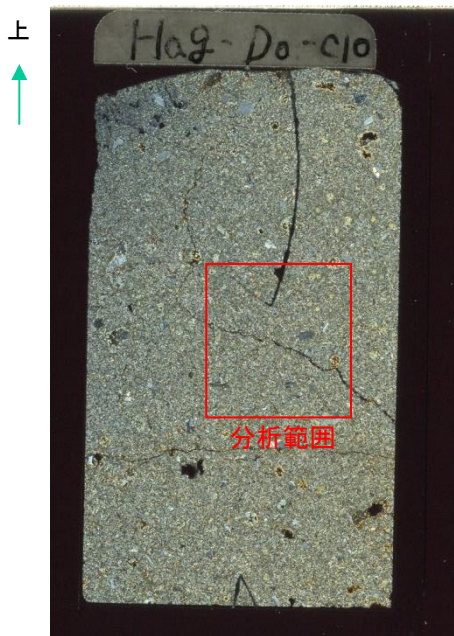


直交ニコル

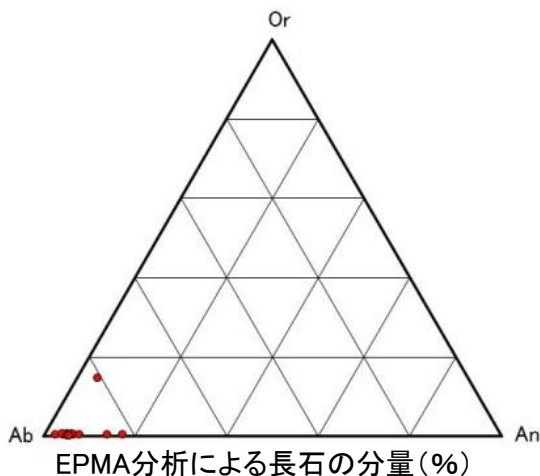
10mm

・3号剥ぎ取り箇所から、ドレライトの試料を採取し、薄片試料を作製してEPMA分析を実施した。

EPMA分析結果(ドレライト:Hag-Do-C10)



直交ニコル 10mm



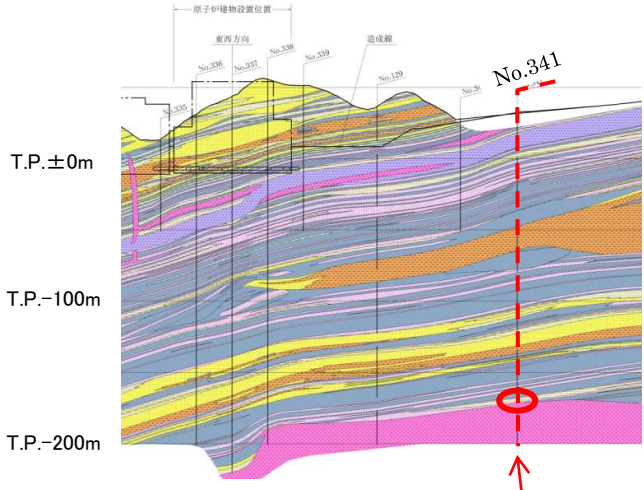
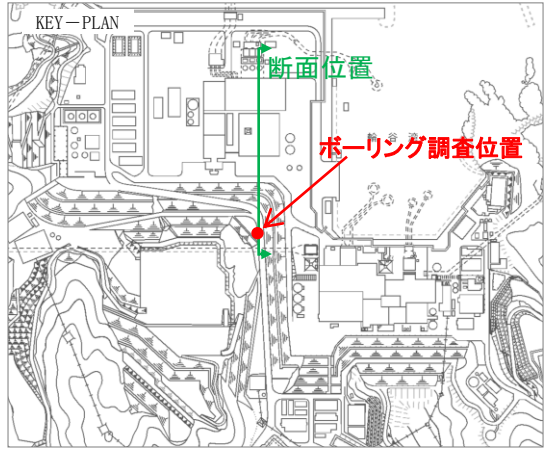
EPMA分析による長石の分量(%)

分析点No.	アノーサイト (An)	アルバイト(Ab)	カリ長石 (Or)
1	2.2796	97.2345	0.4859
2	4.4165	95.0847	0.4988
3	13.5574	85.9842	0.4584
4	5.2394	94.3795	0.3811
5	4.9841	94.5629	0.4531
6	4.6849	94.6159	0.6992
7	3.9248	95.6176	0.4576
8	3.5858	95.7087	0.7055
9	5.1233	94.3118	0.565
10	16.9553	82.5496	0.4951
11	6.1929	93.3501	0.4571
12	5.5941	93.6404	0.7655
13	4.9096	94.4716	0.6188
14	4.2655	80.869	14.8655
15	5.2467	94.3177	0.4355
16	4.9749	94.6013	0.4238
17	5.2325	94.4277	0.3399
18	7.5769	91.9527	0.4705

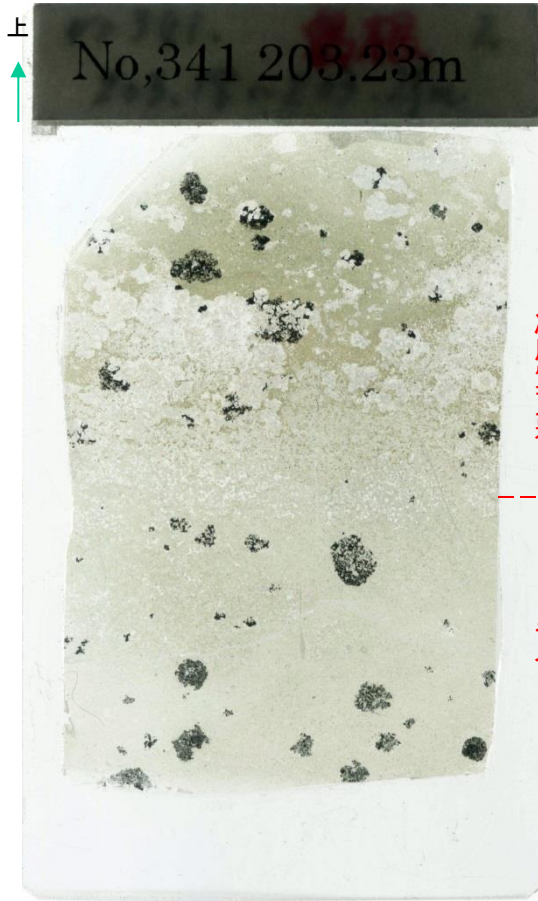
【分析結果】

・EPMA分析を実施した地点のうち、鉱物組成から長石類と**同定**した箇所について定量データに基づく三角ダイヤグラムを作成したところ、Ab成分に富むことから曹長石と**同定**した。

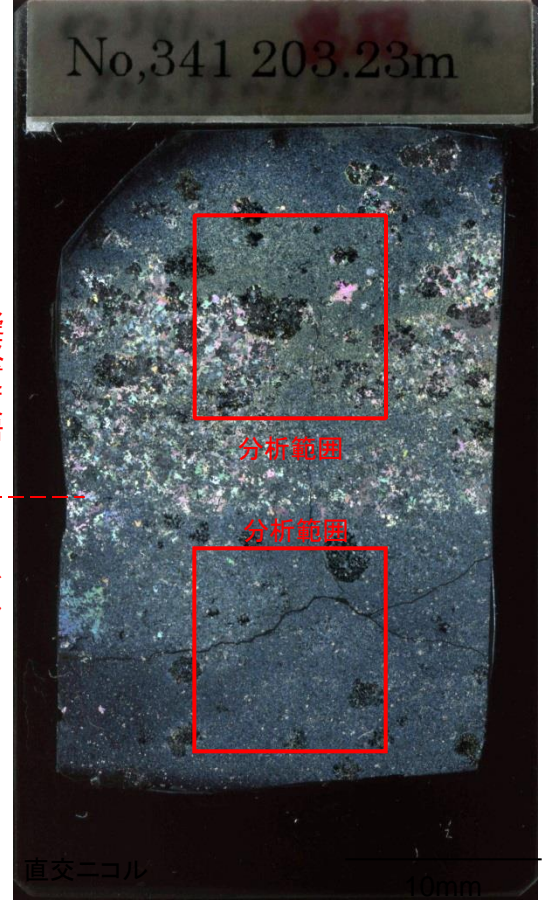
薄片観察・EPMA分析結果(No.341 GL-203.23m)



- 凡例
- 盛土
 - 海底堆積物
 - 崖堆積物
 - 安山岩
 - ドレライト
 - 凝灰角礫岩
 - 火山礫凝灰岩
 - 凝灰岩
 - 凝灰質頁岩
 - 黒色頁岩
- 被覆層
- 貫入岩類
- 成相層
- 岩相境界線
- ボーリング位置 (破線は投影)



単ニコル 10mm



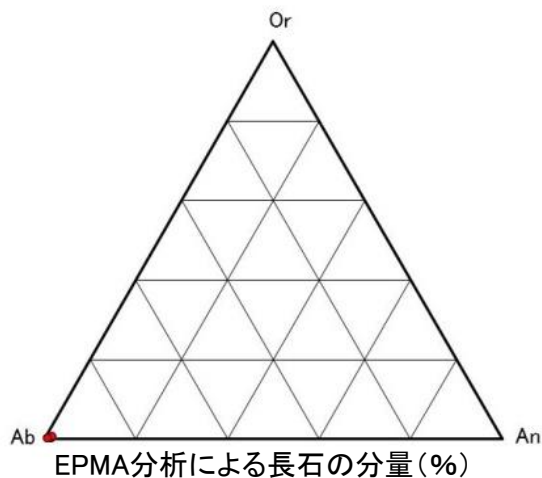
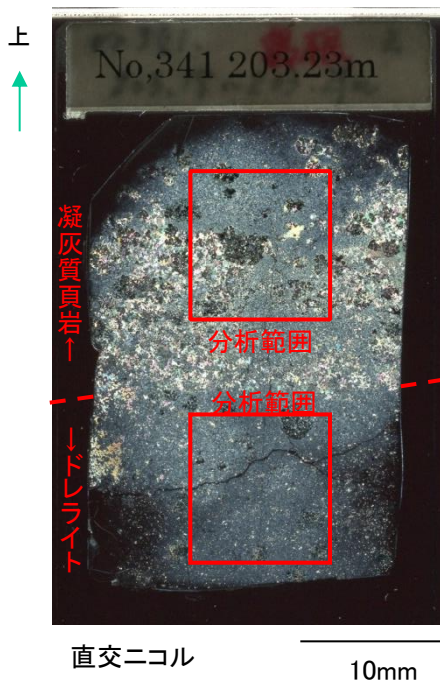
直交ニコル 10mm

・No.341ボーリングコアから、ドレライトと凝灰質頁岩境界部の試料を採取し、薄片試料を作製してEPMA分析を実施した。

3. シームの活動性 (3) 鉱物と生成条件 ①長石類の薄片観察及びEPMA分析結果
 EPMA分析結果 (No.341 GL-203.23m)

第318回審査会合
 資料2 p.121 加筆・修正

217



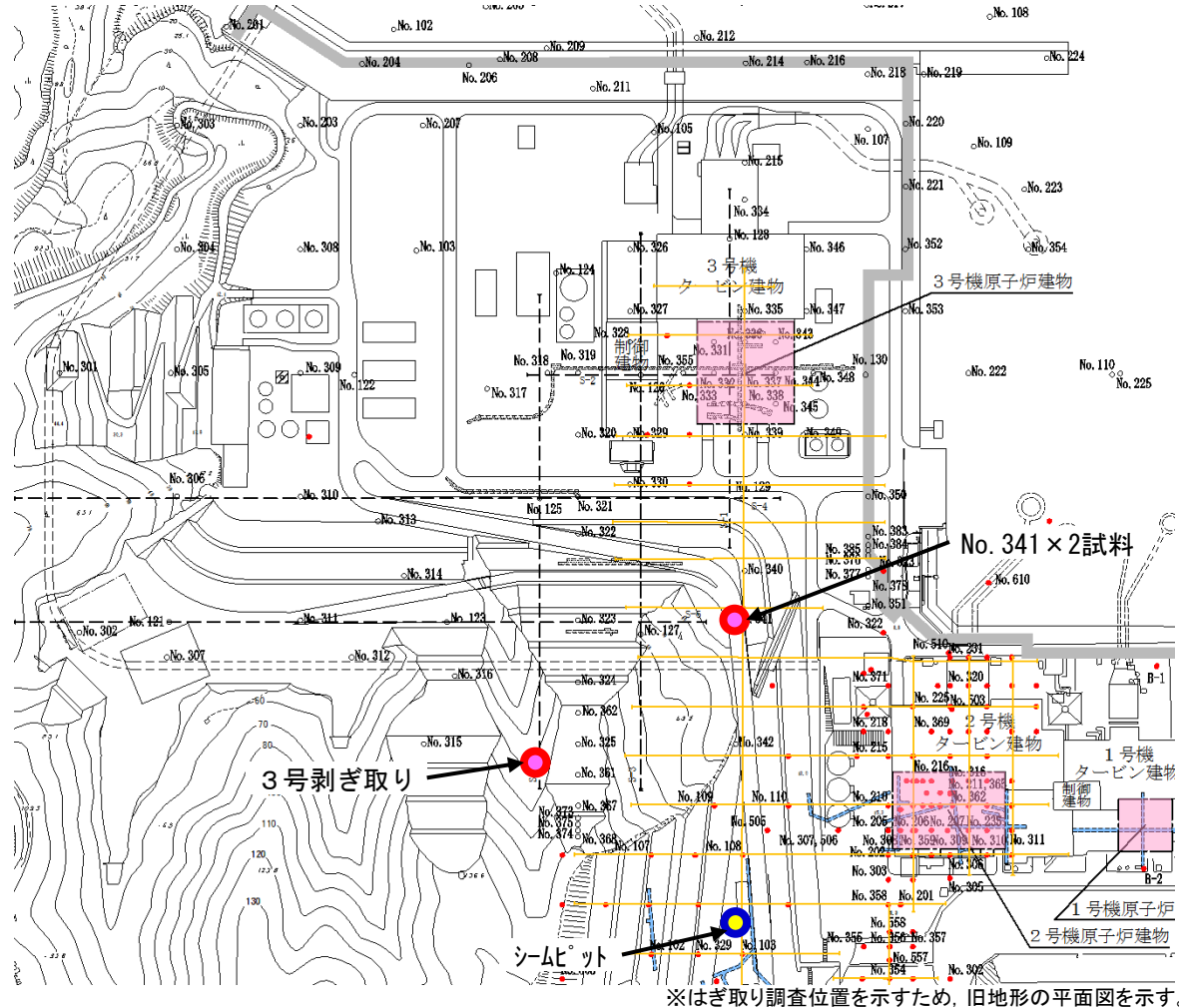
EPMA分析による長石の分量 (%)

岩種	分析番号	アノーサイト (An)	アルバイト (Ab)	カリ長石 (Or)
凝灰質頁岩	1	0.6102	99.0772	0.3126
	2	0.4739	99.2517	0.2744
	3	0.4921	99.2107	0.2973
	4	1.3713	98.289	0.3397
	5	0.4051	99.3459	0.2491
	6	0.8381	98.88	0.2819
	7	0.5211	99.1944	0.2845
	8	0.701	99.0276	0.2714
	9	0.417	99.3342	0.2487
	10	0.4195	99.3595	0.221
	11	0.9641	98.7651	0.2708
	12	0.9737	98.8352	0.1912
	13	0.6306	99.0591	0.3103
	14	1.1477	98.5672	0.285
	15	0.7471	98.8731	0.3798
	16	0.7005	99.0069	0.2927
	17	0.6339	99.1581	0.208
	18	0.7245	98.8289	0.4466
	19	0.532	99.1342	0.3338
	20	0.8557	98.9217	0.2226
	21	0.8606	98.8509	0.2885
	22	0.5925	99.1938	0.2136
	23	1.1522	98.584	0.2638
	24	1.3351	97.8292	0.8357
	25	0.5759	99.1525	0.2716
ドレライト	26	2.1465	97.3353	0.5182
	27	1.7307	97.7818	0.4875

【分析結果】

・EPMA分析を実施した地点のうち、鉱物組成から長石類と**同定した**箇所について定量データに基づく三角ダイアグラムを作成したところ、Ab成分に富むことから曹長石と**同定した**。

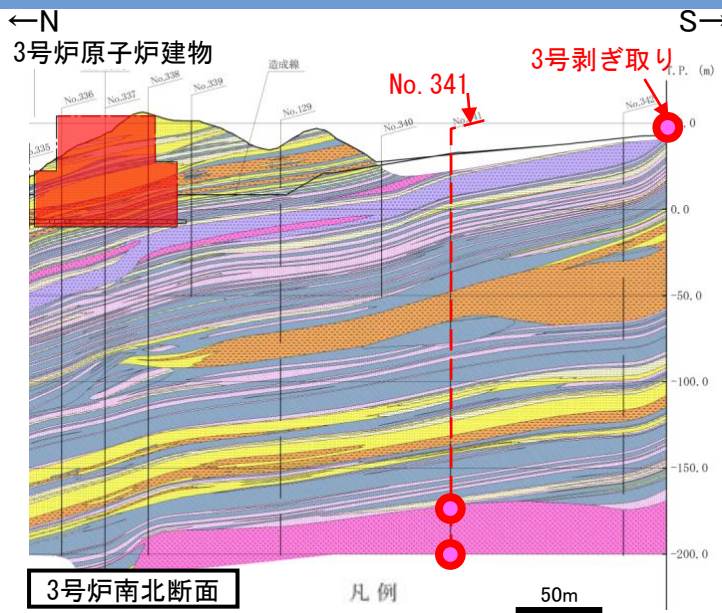
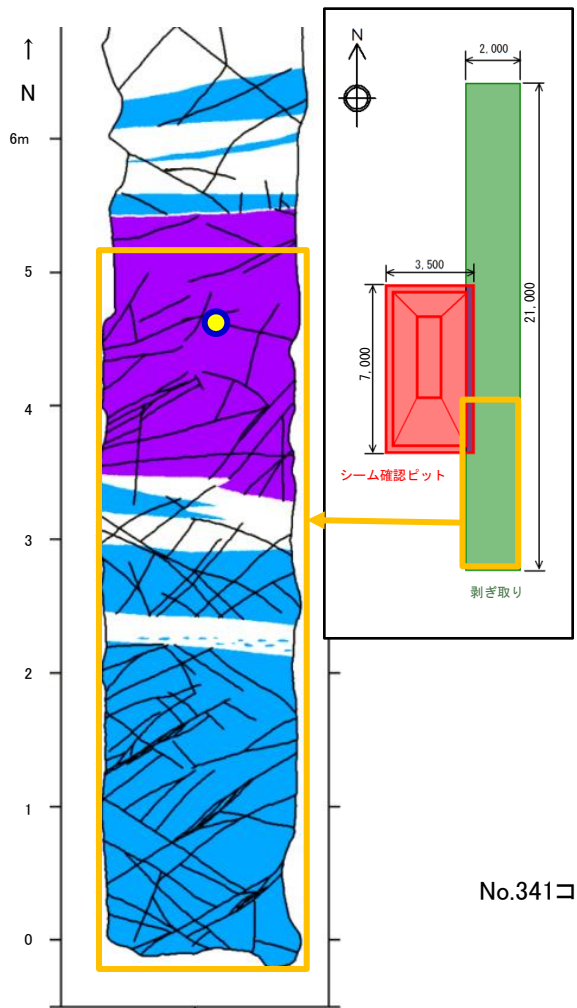
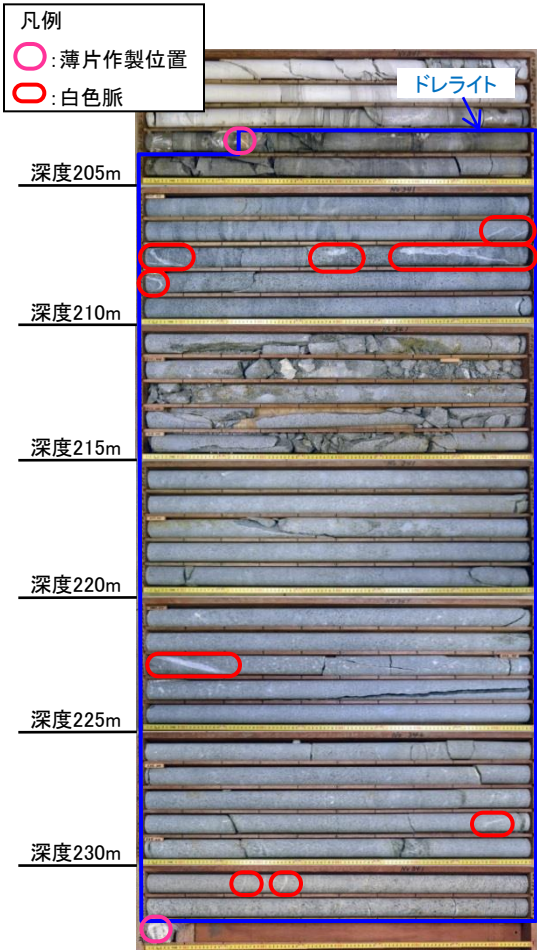
3. シームの活動性 (3) 鉱物と生成条件 ①長石類の薄片観察及びEPMA分析結果 EPMA分析結果(分析の平面位置)



- 凡例
- 1・2号機調査他ボーリング位置
 - 3号機調査ボーリング位置
 - 1・2号機調査他弾性波探査測線
 - - - 3号機調査弾性波探査測線
 - 原子炉建物設置位置
 - 1・2号機調査試掘坑・試験坑
 - 3号機調査試掘坑・試験坑
- 0 50 100 150 200m

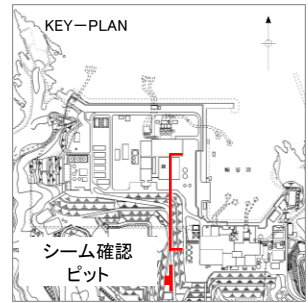
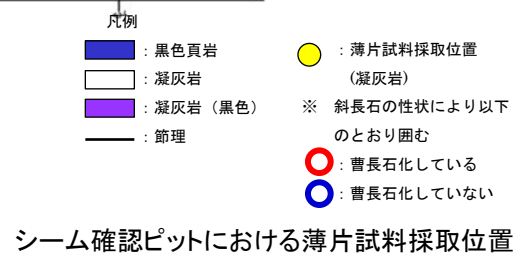
- 凡例
- : ドレライトを対象とした薄片※1
 - : 凝灰岩を対象とした薄片※1
- ※1 曹長石化しているものは ● , していないものは ● で囲む

EPMA分析結果(分析の断面位置)



No.341コア及び3号炉背後斜面剥ぎ取り箇所における薄片試料採取位置

・曹長石化していない箇所も見られること、及び曹長石化が認められるドレライト内部に複数の白色脈が認められることから、局所的な熱水変質作用により曹長石化したものと評価した。



3. シームの活動性 (3) 鉱物と生成条件 ①長石類の薄片観察及びEPMA分析結果
(参考) 文献調査結果(曹長石の生成温度)

曹長石の生成温度

文献	曹長石の生成温度	備考
歌田(1997) ⁽¹⁰⁾	123°C以上	方沸石からの変化
吉村(2001)	200°C以上	熱水による
吉村(2003) ⁽¹¹⁾	75°C-280°C	続成作用による
星ほか(1992) ⁽¹²⁾	110°C以上	斜長石の曹長石化
Iijima(1978) ⁽¹³⁾	120°C以上	

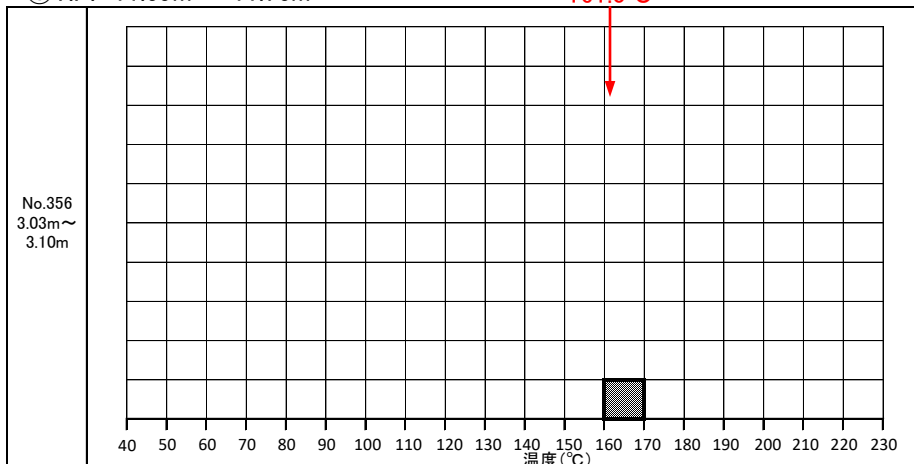
・文献調査の結果、曹長石の生成温度は概ね100°C以上である。

まとめ

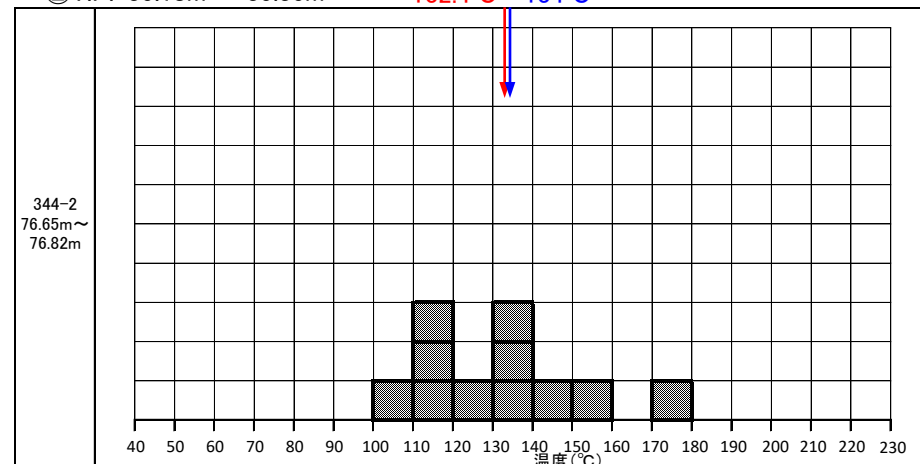
- ・周藤・小山内(2002)によると、長石はその化学組成によって細分化することができ、曹長石は、斜長石の中でも特にアルバイト成分に富むものであるとされている。
- ・EPMA分析の結果、シーム確認ピットの凝灰岩における斜長石は曹長石化していなかったが、深部ドレライト内部及びその周辺、3号剥ぎ取り箇所では、曹長石化していることが確認された。
- ・曹長石化していない箇所も見られること、及びドレライト内部に複数の白色脈が認められることから、熱水変質作用により曹長石化したものと評価した。

流体包有物試験結果(深度毎の均質化温度のヒストグラム)

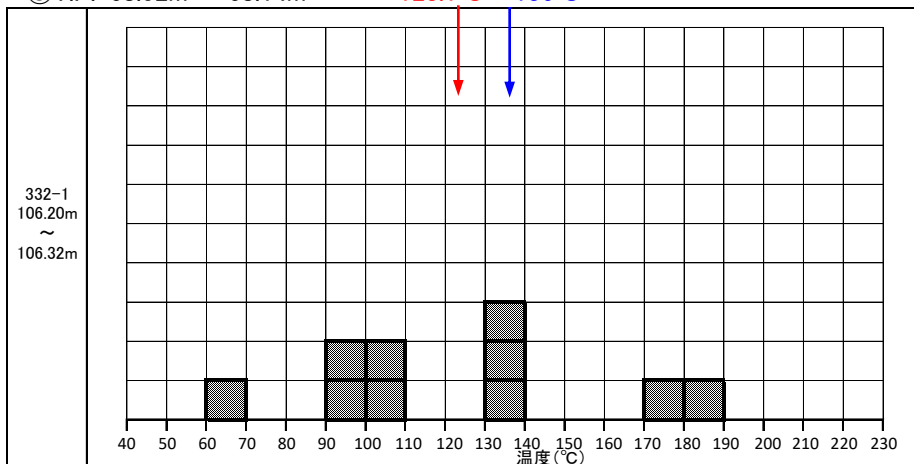
① T.P.-11.69m~-11.76m



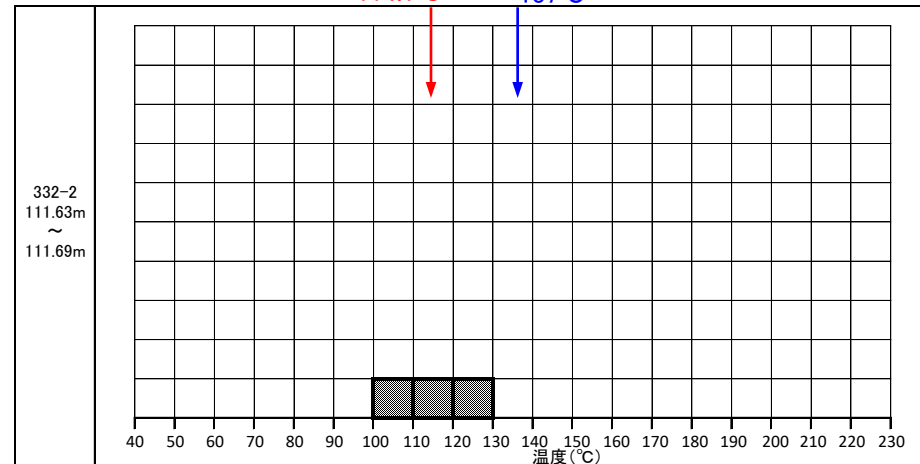
② T.P.-35.18m~-35.35m



③ T.P.-68.02m~-68.14m



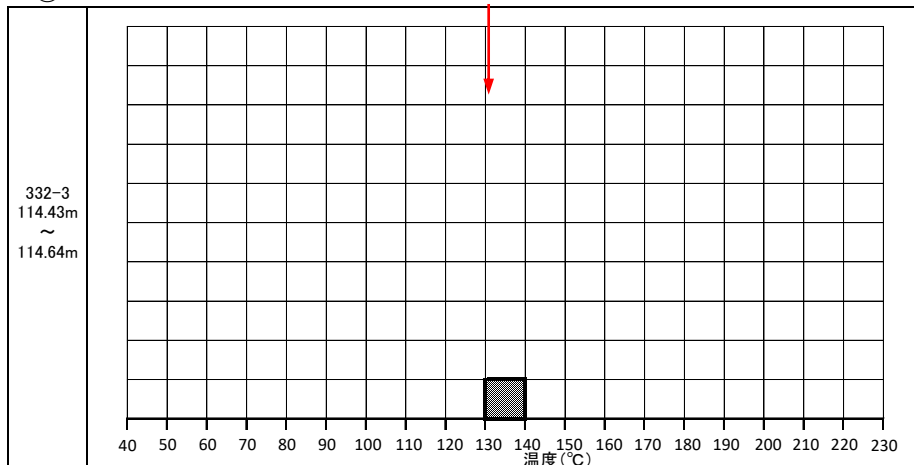
④ T.P.-73.45m~-73.51m



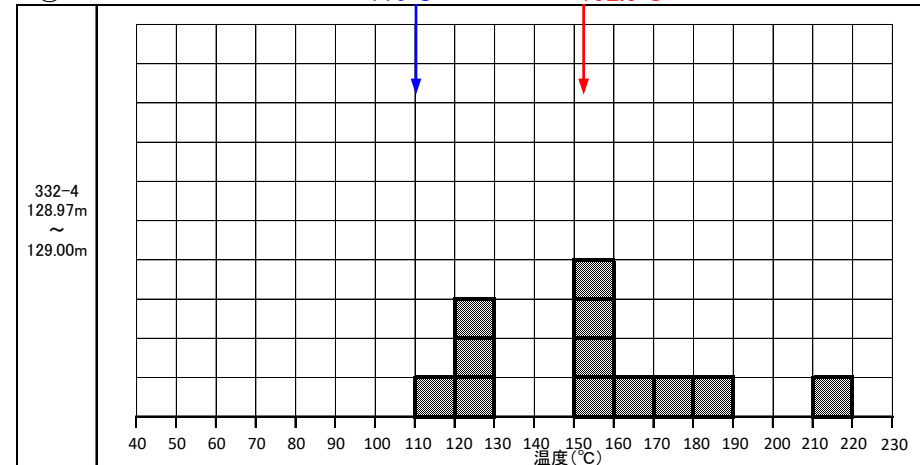
- : 流体包有物試験における初生流体包有物の均質化温度
- 赤字 : 流体包有物試験における初生流体包有物の均質化温度(平均値)
- 青字 : 方解石の酸素同位体試験結果から算出した生成温度

流体包有物試験結果(深度毎の均質化温度のヒストグラム)

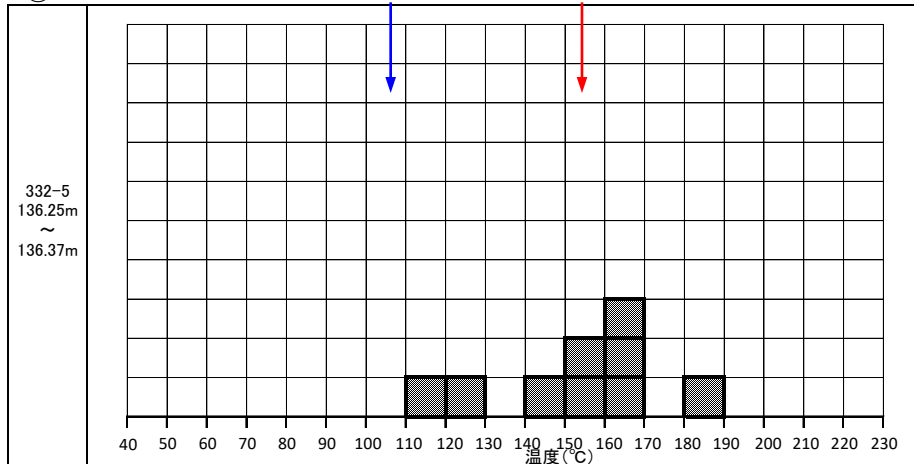
⑤ T.P. -76.25~-76.46m



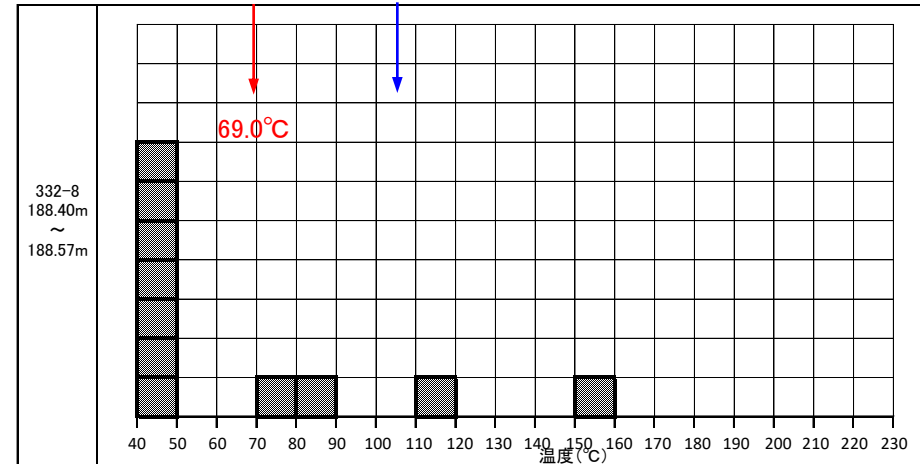
⑥ T.P. -90.79m~-90.82m



⑦ T.P. -98.07m~-98.19m



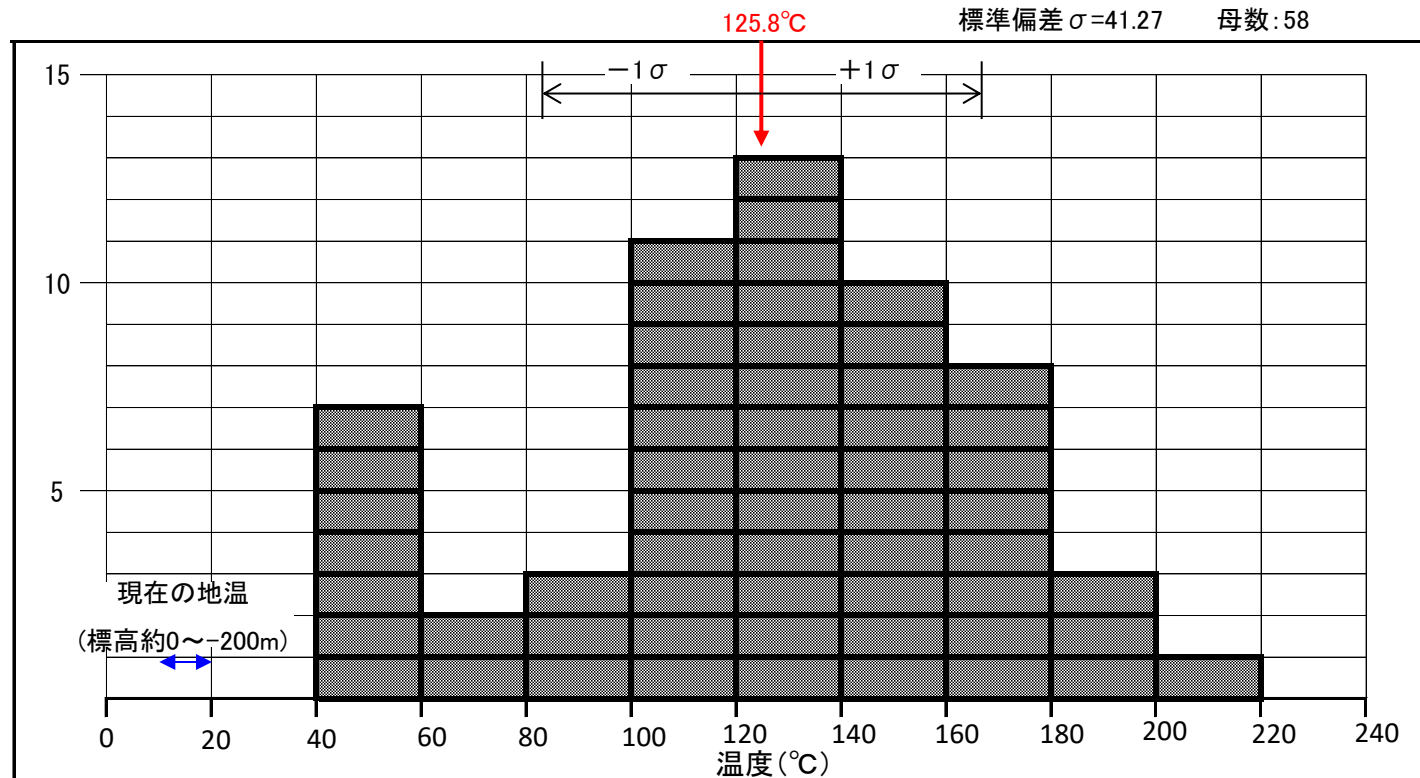
⑧ T.P. -150.22m~-150.39m



- 流体包有物試験における方解石の生成温度は、初生流体包有物の均質化温度を深度毎に平均して算出している。
- 均質化温度の平均値は、ヒストグラムのピークと概ね一致している。
- 均質化温度は、酸素同位体試験における生成温度と概ね一致している。

- : 流体包有物試験における初生流体包有物の均質化温度
- 赤字 : 流体包有物試験における初生流体包有物の均質化温度(平均値)
- 青字 : 方解石の酸素同位体試験結果から算出した生成温度

3. シームの活動性 (3) 鉱物と生成条件 ②流体包有物試験結果(ヒストグラム)
流体包有物試験結果(初生流体包有物の均質化温度:全体)



■ : 流体包有物試験における初生流体包有物の均質化温度
赤字 : 流体包有物試験における初生流体包有物の均質化温度(平均値)

・初生流体包有物の均質化温度全ての平均値は約125.8°Cであり、現在の地温と比較して高温であることから、方解石は、火成活動が活発であった時期の変質作用により生成されたと評価した。

3. シームの活動性 (3) 鉱物と生成条件 ③ 生成温度の導出方法 酸素同位体試験における生成温度の導出方法

[酸素同位体試験]
方解石の酸素同位体比を測定
方解石を抽出してリン酸と反応
させる。発生したCO₂から酸素
同位体比を測定する。

[流体包有物試験] (塩濃度の算出)
方解石の流体包有物の氷融点温度
を測定し、塩濃度を求めることで、方
解石生成時の環境を推定する。

方解石が海水と同位体平衡下にあったと仮定
し、計算式①を用いて生成温度を推定する。

約0.1~2.3%である
ことから、概ね海水
であると評価した。

[生成温度の計算式①(O'Neil et al.(1969) (14))]

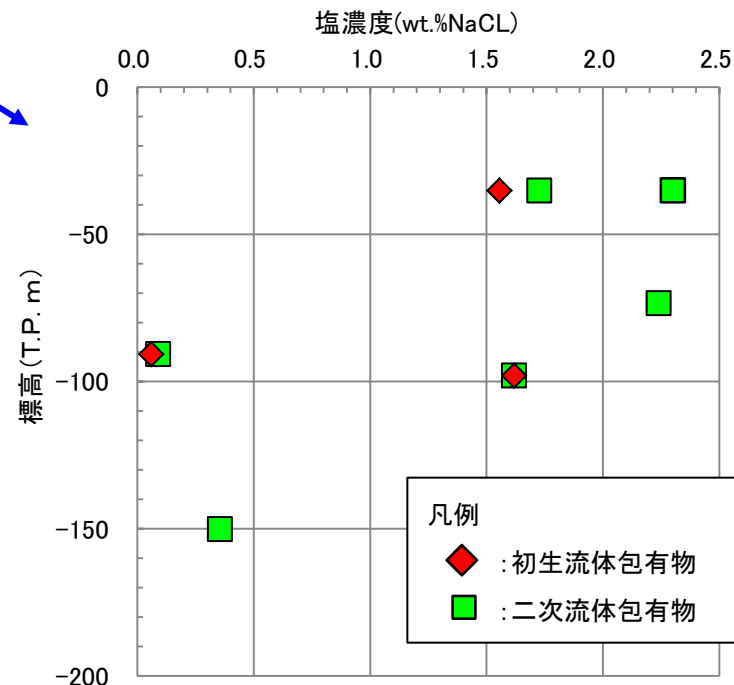
$$1000\ln \alpha = 2.78(10^6 T^{-2}) - 3.39$$

T: 生成温度(K)

$$\alpha = \delta^{18}O_{SMOW(方解石)} - \delta^{18}O_{SMOW(海水)}$$

$\delta^{18}O_{SMOW(方解石)}$: 酸素同位体試験により求めた酸素同位体比

$\delta^{18}O_{SMOW(海水)}$: 海水の酸素同位体比



流体包有物試験による流体包有物の塩濃度と標高の関係

・流体包有物試験により方解石中に認められる流体包有物の塩濃度を求めたところ、約0.1~2.3%であり、方解石生成時の環境は概ね海水であると評価した。そのため、方解石は海水と同位体平衡下にあったと仮定して計算式により導出した。

3. シームの活動性 (3) 鉱物と生成条件 ③生成温度の導出方法 方解石が海水と同位体平衡下にあったとする仮定の検証

流体包有物の均質化温度測定結果を用いて計算した熱水の酸素同位体比

測定試料	流体包有物試験結果						方解石試料 $\delta^{18}\text{O}_{\text{CaCO}_3, \text{SMOW}}$ ‰	熱水(算出) $\delta^{18}\text{O}_{\text{fluid, SMOW}}$ ‰
	ホーリング名	包有物タイプ	均質化温度(°C)					
			測点数	最低値	最高値	平均値		
332-1	No. 332	初生	10	60.0	182.9	123.1	13.3	-1.1
332-1	No. 332	二次	10	94.8	186.7	130.1	13.3	-0.5
332-2	No. 332	初生	3	106.5	124.9	114.1	13.2	-2.0
332-2	No. 332	二次	17	103.7	122.8	116.8	13.2	-1.7
332-4	No. 332	初生	12	111.2	211.4	152.5	15.7	3.6
332-4	No. 332	二次	8	122.1	195.1	153.6	15.7	3.7
332-5	No. 332	初生	9	111.2	187.3	153.9	16.0	4.0
332-5	No. 332	二次	11	101.1	217.6	127.6	16.0	2.0
332-8	No. 332	初生	11	43.8	158.8	69.0	16.2	-4.3
332-8	No. 332	二次	9	41.0	75.5	55.4	16.2	-6.3
344-2	No. 344	二次	9	107.0	185.5	155.1	13.4	1.6
344-2	No. 344	初生	11	104.3	174.8	132.4	13.4	-0.2
No. 124	No. 124	二次	7	168.0	227.0	193.0	13.3	3.9
No. 124	No. 124	不明	3	96.0	205.0	169.0	13.3	2.4
No. 348	No. 348	不明	2	141.0	174.0	158.0	14.4	2.7

[計算式(O'Neil et al.(1969))]]

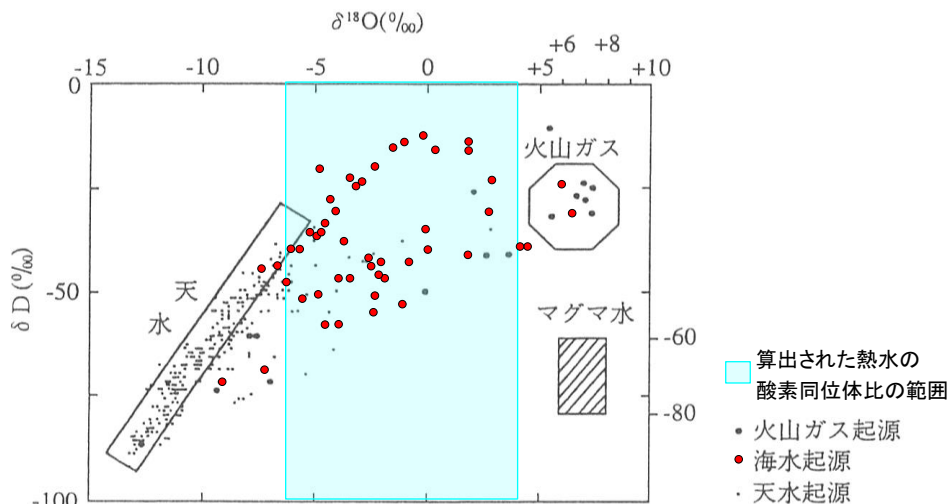
$$1000\text{Ln } \alpha = 2.78(10^6 T^{-2}) - 3.39$$

T: 温度(K)

$$\alpha = \delta^{18}\text{O}_{\text{SMOW}(\text{方解石})} - \delta^{18}\text{O}_{\text{SMOW}(\text{熱水})}$$

$\delta^{18}\text{O}_{\text{SMOW}(\text{方解石})}$: 酸素同位体試験により求めた酸素同位体比

$\delta^{18}\text{O}_{\text{SMOW}(\text{熱水})}$: 熱水の酸素同位体比



- ・流体包有物試験の均質化温度測定結果及び方解石の酸素同位体試験結果を用いて方解石生成時の流体(熱水)の酸素同位体比を算出した結果、-6.3‰~4.0‰という結果が得られた。
- ・算出された熱水の酸素同位体比を吉村(2001)にプロットした結果、海水起源の酸素同位体比範囲と概ね一致することから、熱水は海水起源であると評価した。

以上のことから、酸素同位体試験において、方解石が海水と同位体平衡下にあったと仮定することは妥当である。

日本の地熱水の酸素同位体比と水素の同位体組成の関係

吉村(2001): (松葉谷(1991)⁽¹⁵⁾に一部加筆されたもの)に一部加筆

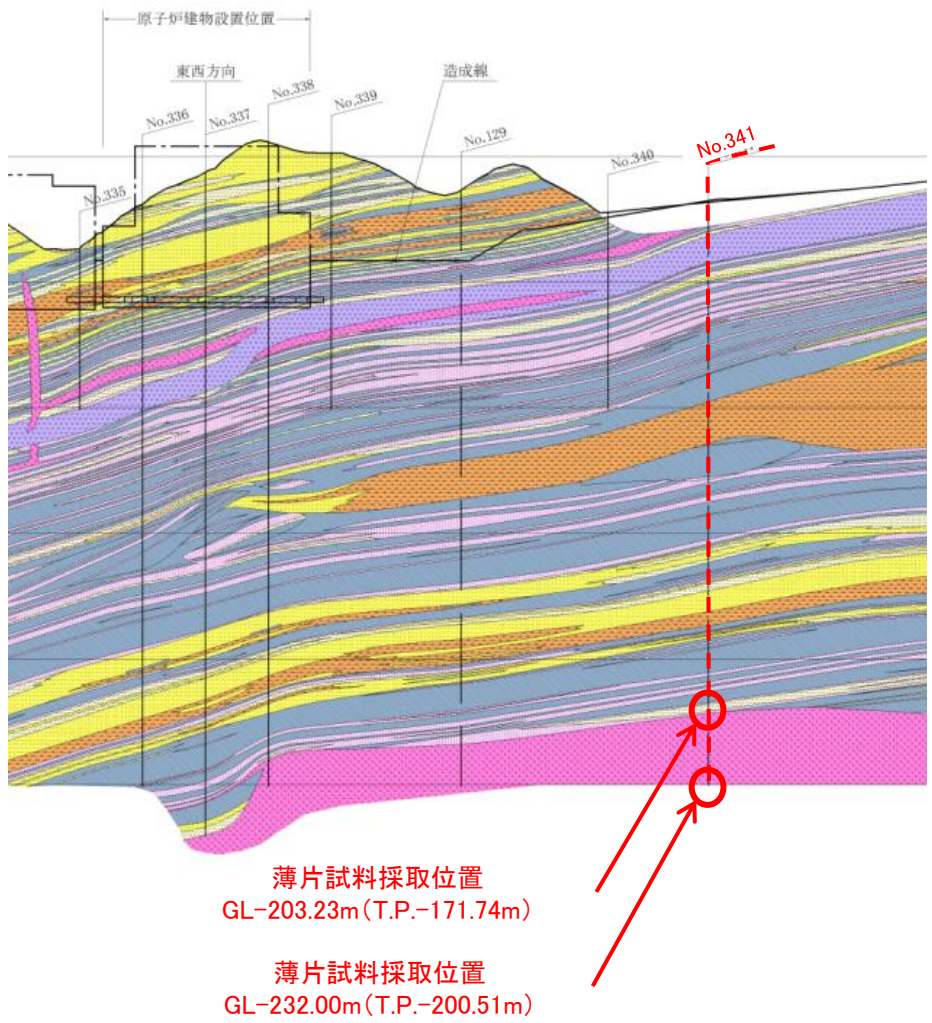
深部ドレライトにおける薄片観察試料の採取位置



T. P. ±0m

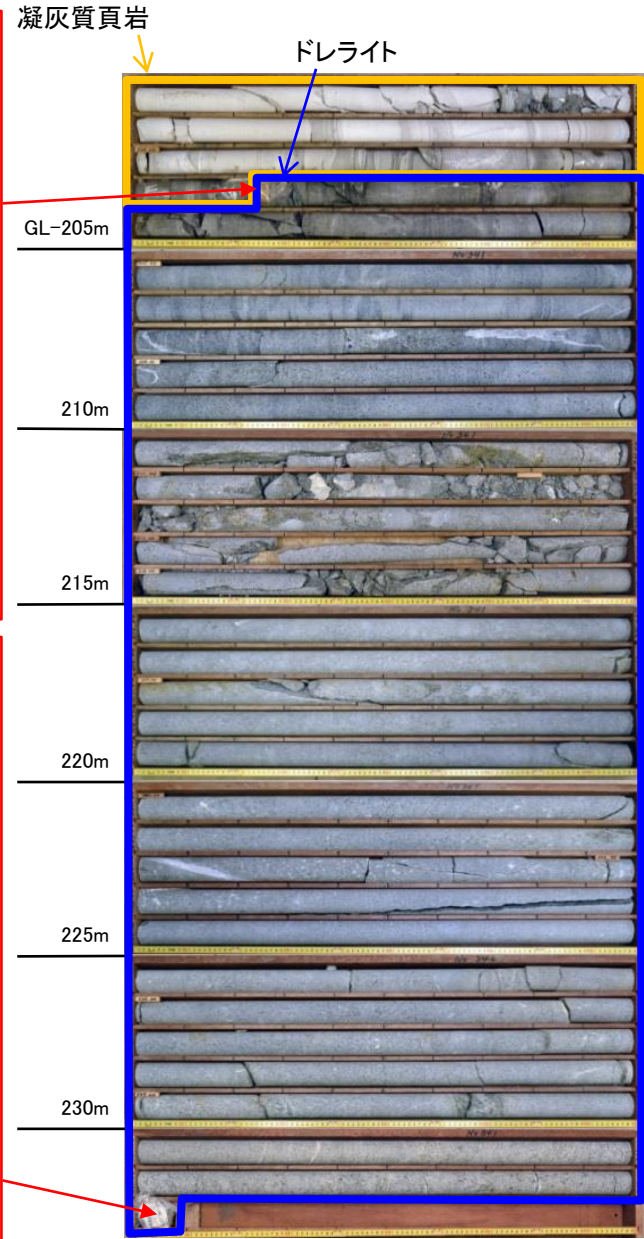
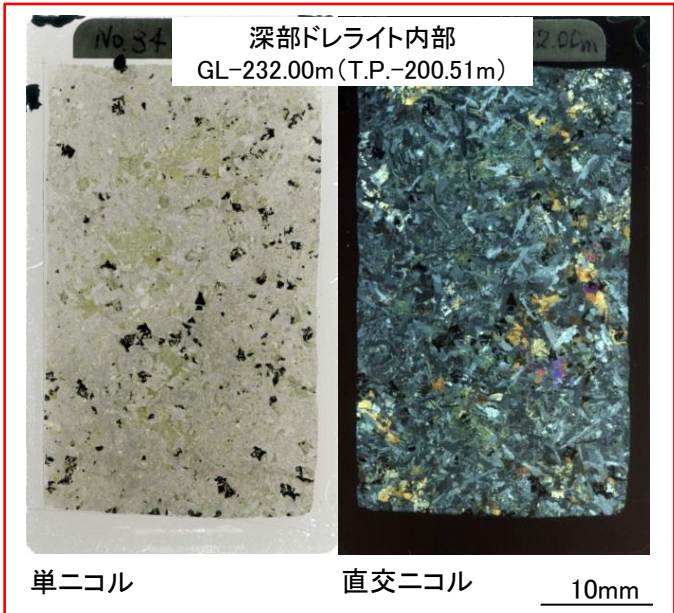
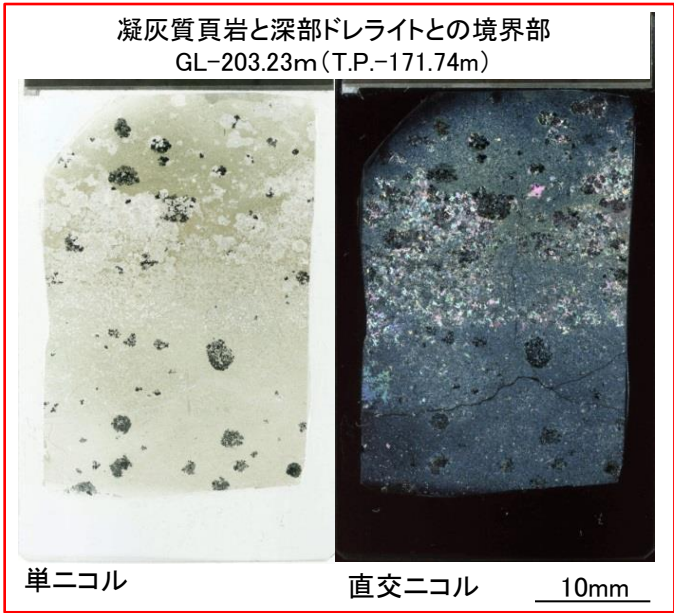
T. P. -100m

T. P. -200m



・凝灰質頁岩と深部ドレライトとの境界部、及び深部ドレライト内部から試料を採取し、薄片観察等分析を実施した。

深部ドレライトのコア観察結果



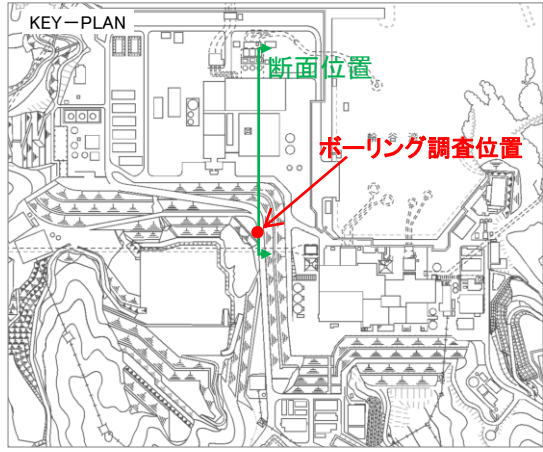
↑
細粒なドレライト

↓
粗粒なドレライト

・暗緑色で粗粒なドレライトであるが、凝灰質頁岩との境界部付近では、暗灰色で細粒(ガラス質)なドレライトに漸移的に変化する。
・ドレライトの貫入年代はK-Ar法で約14Maである。

X線回折分析結果 (No.341 GL-232.00m, 深部ドレライト内部)

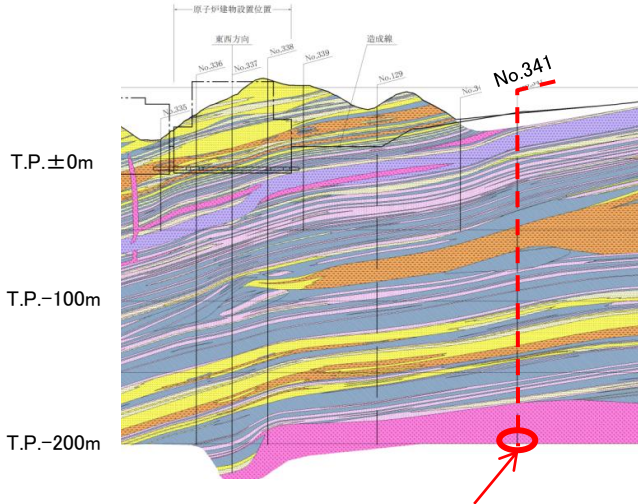
第318回審査会合
資料2 p.166 加筆・修正



ボーリングコアを用いたX線回折分析結果

試料名		No.341孔 232.00m (ドレライト)
主要 造岩鉱物	石英	○
	斜長石	◎
	単斜輝石	○
粘土鉱物	緑泥石	○
	スメクタイト	△

* 含有量を表す表記: ◎卓越している, ○含まれている, △少量だが検出される



GL-232.00m
ドレライト



○ : 試料採取位置

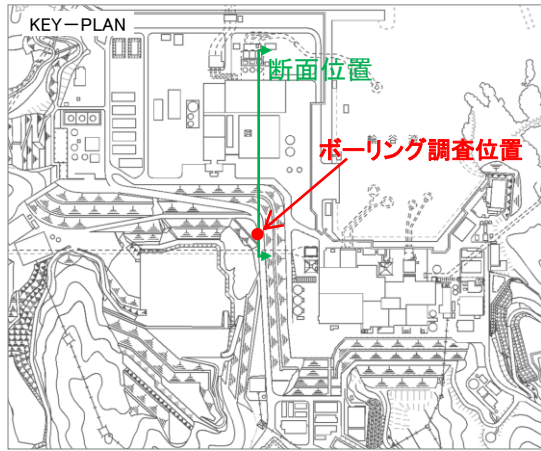
No.341 試料採取位置 (深度約232m)



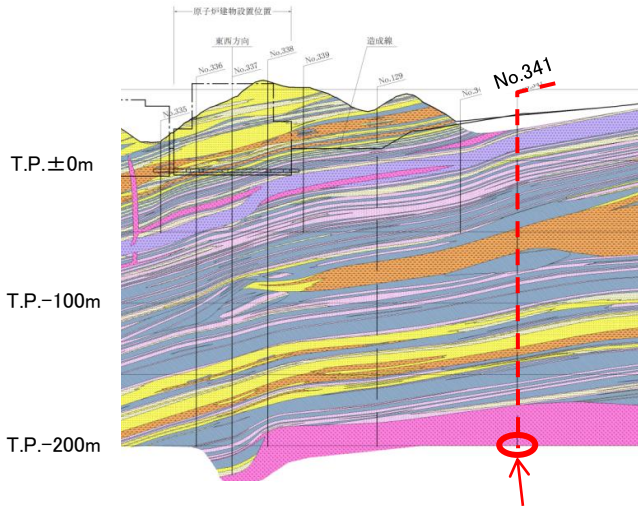
・No.341コアにおけるドレライトから試料を採取し、X線回折分析を行ったところ、石英、斜長石、単斜輝石、緑泥石、スメクタイトが確認された。

薄片観察結果 (No.341 GL-232.00m, 深部ドレライト内部)

第318回審査会合
資料2 p.167 加筆・修正



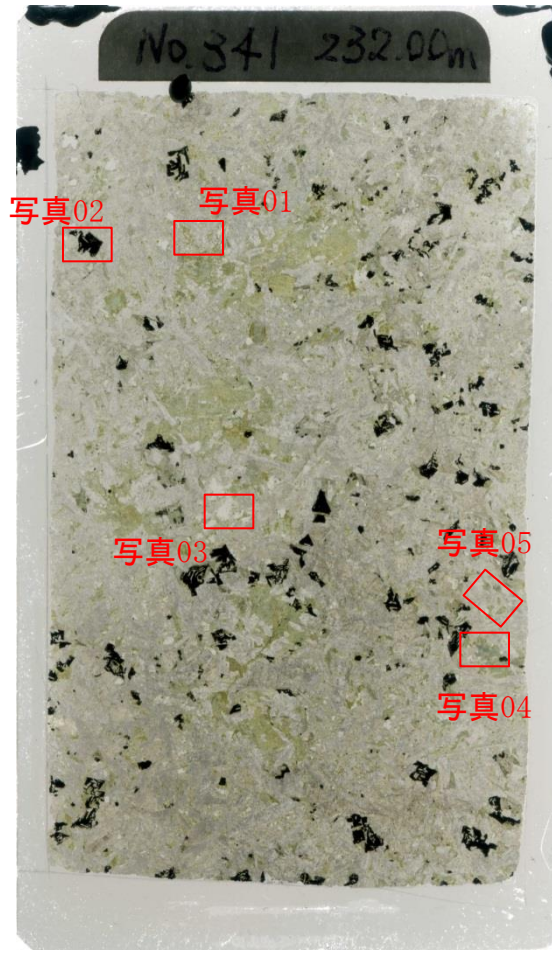
上
↑



試料採取位置

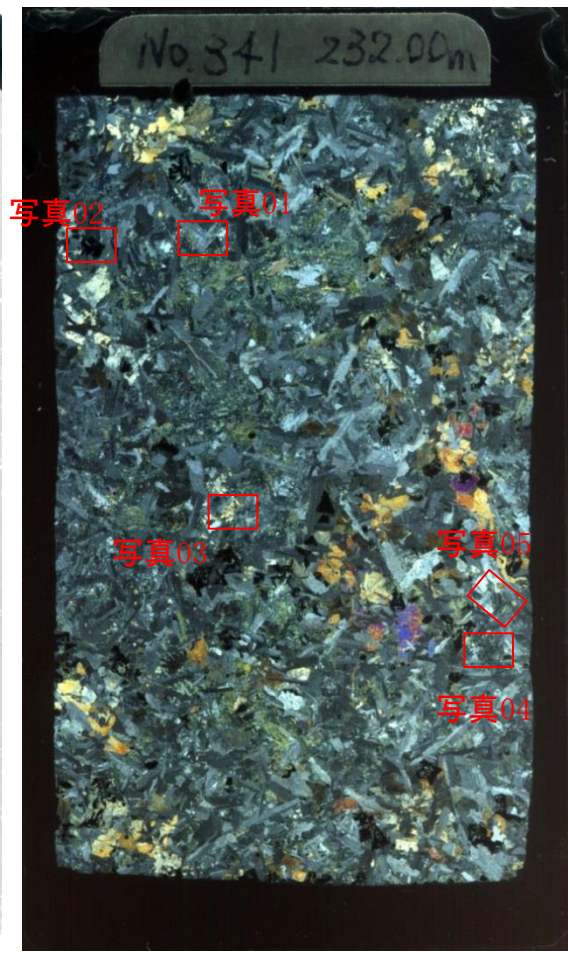
- 凡例
- 盛土
 - 海底堆積物
 - 崖錐堆積物
 - 安山岩
 - ドレライト
 - 凝灰角礫岩
 - 火山礫凝灰岩
 - 凝灰岩
 - 凝灰質頁岩
 - 黒色頁岩

- 被覆層
- 貫入岩類
- 成相層
- 岩相境界線
- ボーリング位置 (破線は投影)



単ニコル

10mm



直交ニコル

10mm

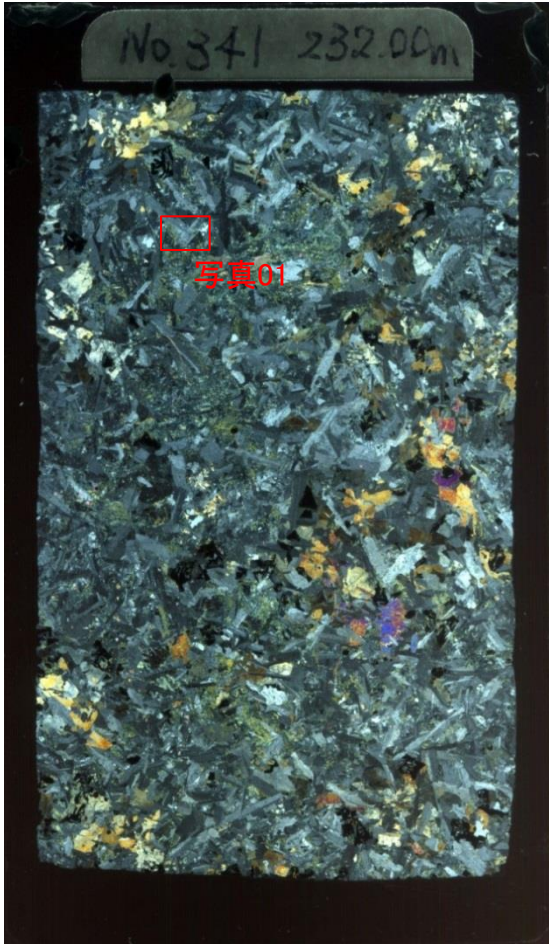
・No.341ボーリングコアから、ドレライト内部の試料を採取し、薄片試料を作成して薄片観察及びEPMA分析を実施した。

3. シームの活動性 (3) 鉱物と生成条件 ④ 深部ドレライトの鉱物観察及び分析結果と生成温度

薄片観察及びEPMA分析結果 (No.341 GL-232.00m, 深部ドレライト内部)

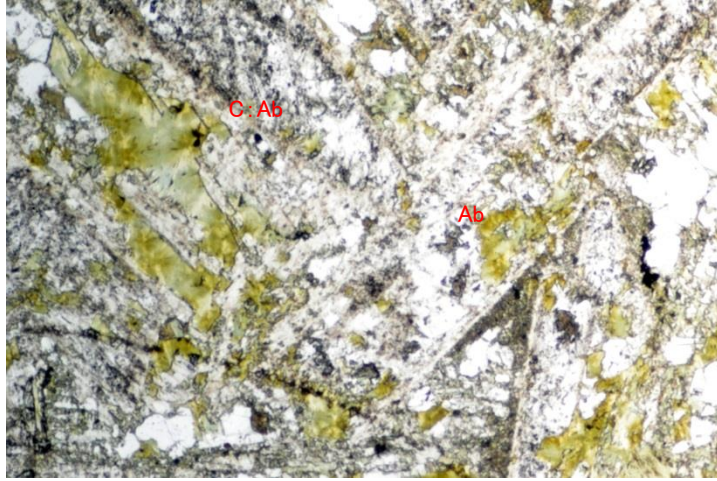
第318回審査会合
資料2 p.168 再掲

上
↑



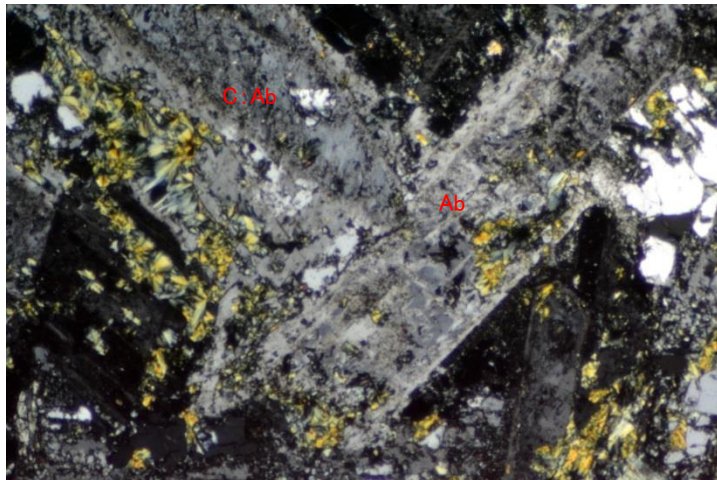
直交ニコル

10mm



単ニコル

0.5mm



直交ニコル

0.5mm

EPMA分析結果 Mass(%)

分析位置	C
SiO ₂	67.587
TiO ₂	0.017
Al ₂ O ₃	18.78
Fe ₂ O ₃	0.232
MnO	0.012
MgO	0.004
CaO	0.368
K ₂ O	0.175
Na ₂ O	11.498
Cr ₂ O ₃	0
S	0.004
(OH)	1.323
Total	100.000
鉱物種	曹長石

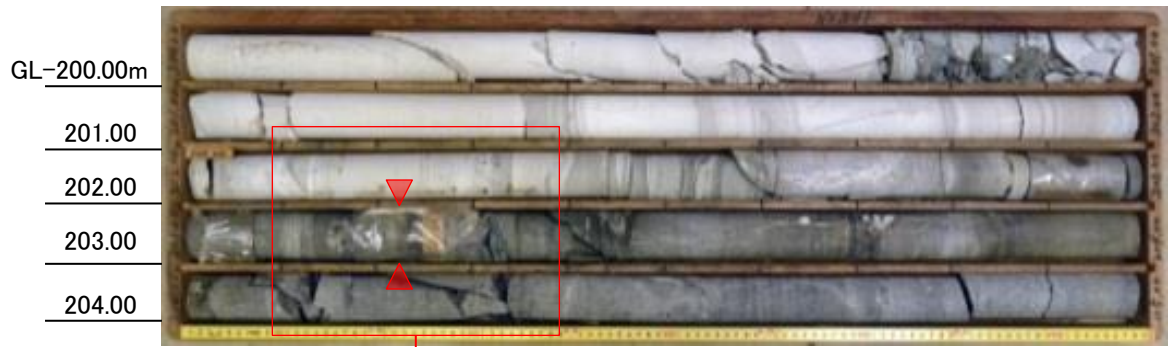
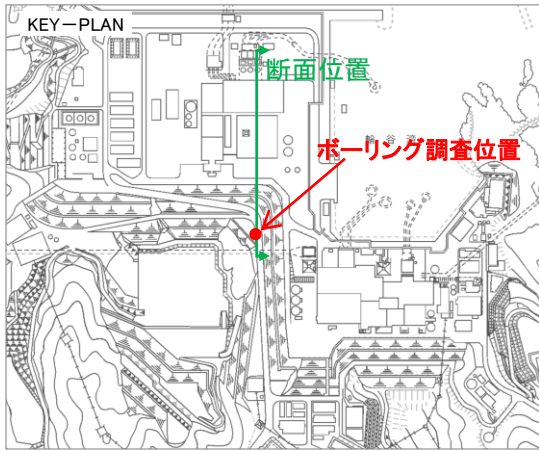
Ab:曹長石 NaAlSi₃O₈

- ・主成分鉱物として、いずれもφ1mmを超える粗粒な曹長石が認められ、単斜輝石の結晶中に自形の曹長石が取り込まれるオフィティック組織を示す。
- ・ドレライト内部にざくろ石は認められない。

3. シームの活動性 (3) 鉱物と生成条件 ④ 深部ドレライトの鉱物観察及び分析結果と生成温度

ボーリングコア観察結果 (No.341 GL-203.23m, 深部ドレライト境界部)

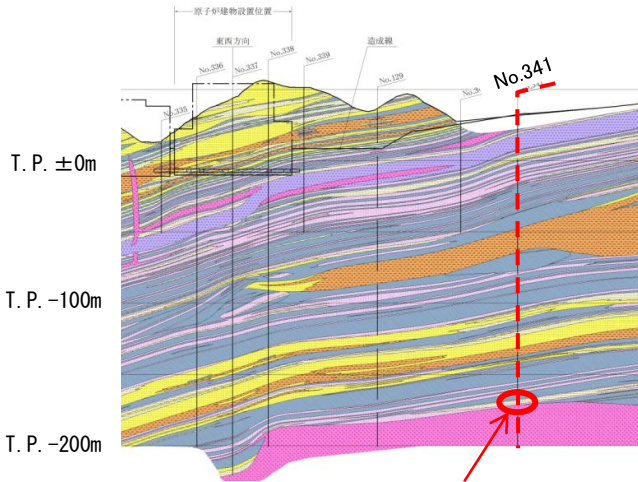
第318回審査会合
資料2 p.169 加筆・修正



No.341 ボーリングコア写真



拡大写真 No.341 GL-203.23m 深部ドレライト境界部

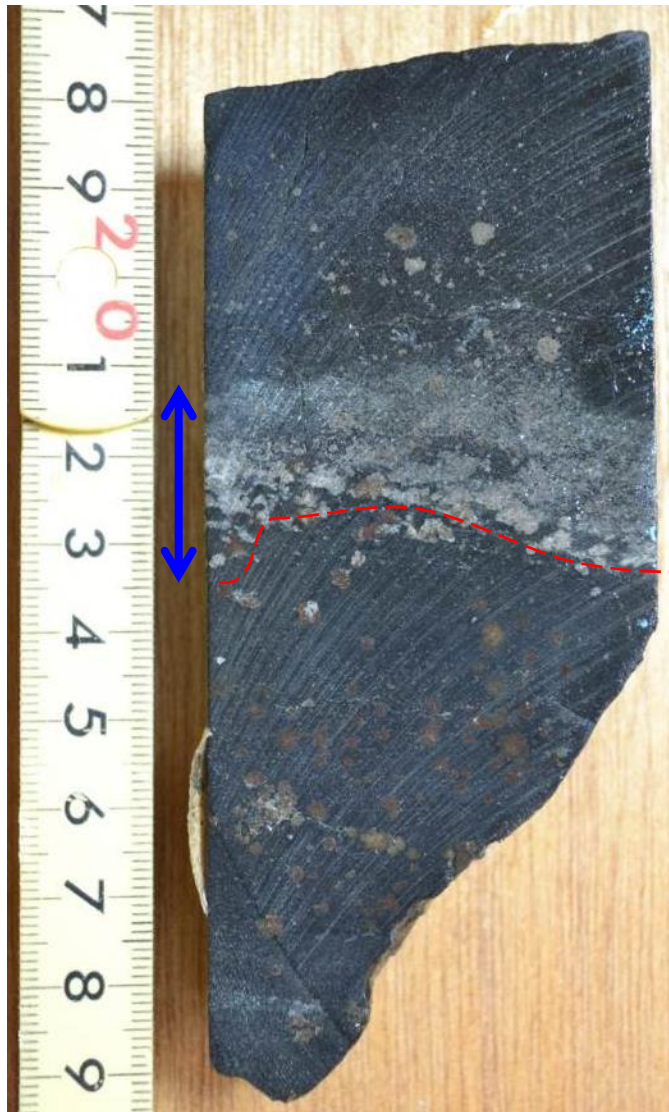


観察位置



- ・コア観察の結果, GL-203.23mに地質境界が認められ, 上位層は泥質分に富む凝灰質頁岩, 下位層はドレライトと**同定**した。
- ・凝灰質頁岩のうち, 凝灰質な部分は, ドレライトの貫入により珪化作用を被り, 白色化している。

ボーリングコア観察結果 (No.341 GL-203.23m, 深部ドレライト境界部)



凝灰質頁岩
(泥質分に富む)

暗灰色部と灰色部の
斑状混在部
地質境界

ドレライト

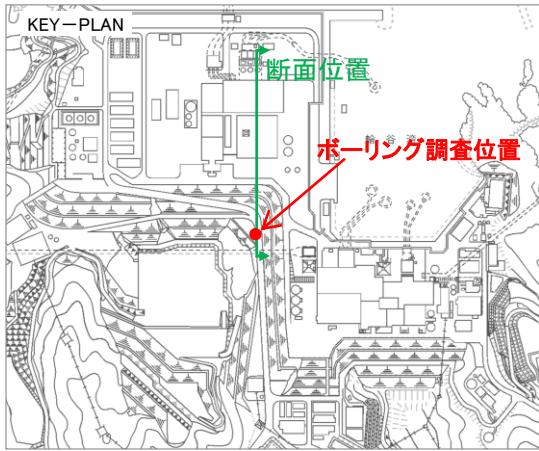
・ドレライト貫入境界付近の凝灰質頁岩では、暗灰色部と灰色部が混在する構造が認められる。

薄片作成箇所 ボーリングコア断面

3. シームの活動性 (3) 鉱物と生成条件 ④ 深部ドレライトの鉱物観察及び分析結果と生成温度

X線回折分析結果 (No.341 GL-203.23m, 深部ドレライト境界部)

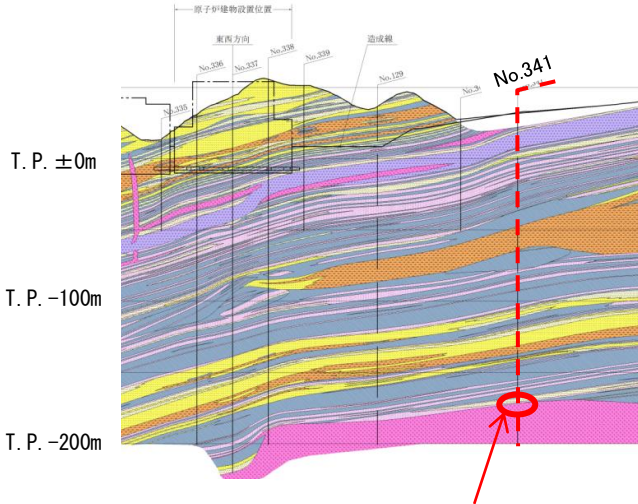
第318回審査会合
資料2 p.171 加筆・修正



ボーリングコアを用いたX線回折分析結果

試料名		No.341孔 GL-203.23m (凝灰質頁岩)	No.341孔 GL-203.23m (ドレライト)
主要造岩鉱物	斜長石		△
粘土鉱物	緑泥石	◎	
	緑泥石／スメクタイト混合層鉱物	△	◎
	雲母鉱物	+	△
その他鉱物	黄鉄鉱	○	
	スフェーン(チタナイト)		○
	方解石	○	
	ざくろ石	+	

* 含有量を表す表記: ◎多量, ○中量, △少量, +微量



試料採取位置

GL-203.10m 凝灰質頁岩 ドレライト GL-203.40m



○ : 試料採取位置

No.341 試料採取位置 (深度約203.23m)

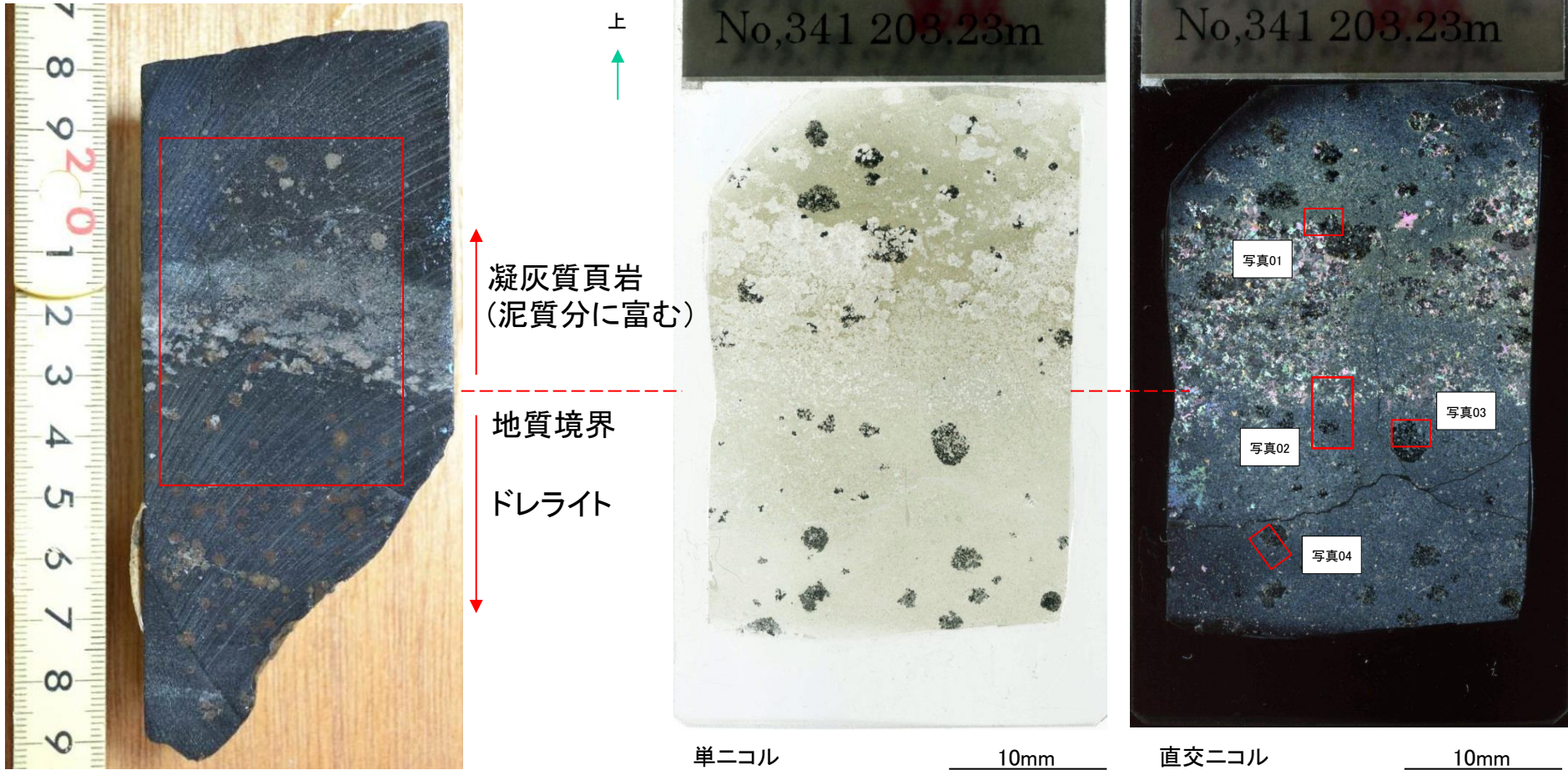
- ・ドレライト側では、斜長石、緑泥石／スメクタイト混合層鉱物、雲母鉱物、スフェーンが認められる。ざくろ石は認められない。
- ・凝灰質頁岩側では、緑泥石、緑泥石／スメクタイト混合層鉱物、雲母鉱物、黄鉄鉱、方解石、ざくろ石が確認された。



薄片観察結果 (No.341 GL-203.23m, 深部ドレライト境界部)

第318回審査会合
資料2 p.172 再掲

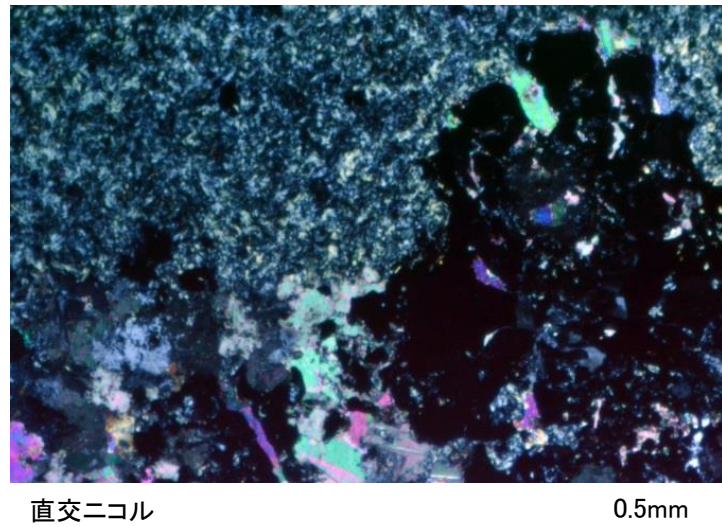
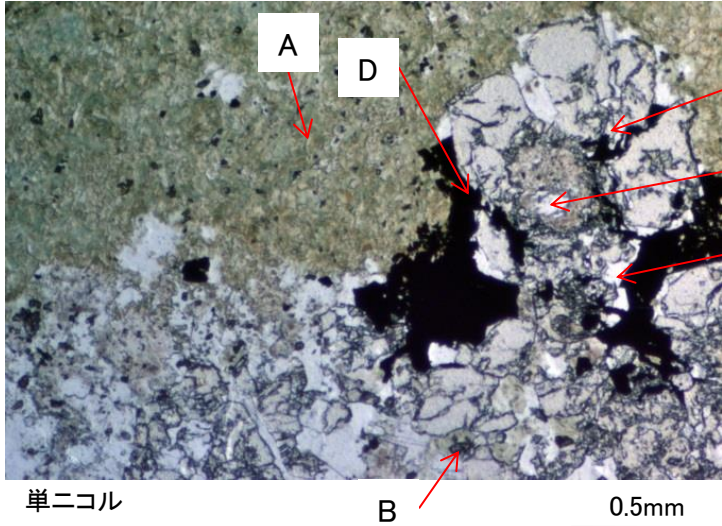
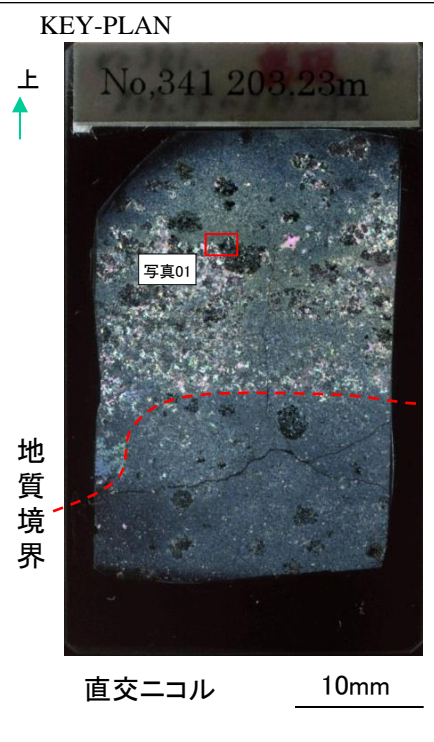
薄片全体写真



・凝灰質頁岩とドレライトを含む薄片試料を作製し、鉱物組成等の詳細観察を行った。

3. シームの活動性 (3) 鉱物と生成条件 ④ 深部ドレライトの鉱物観察及び分析結果と生成温度

薄片観察及びEPMA分析結果 (No.341 GL-203.23m, 深部ドレライト境界部)



EPMA分析結果		Mass(%)				
分析位置	A	B	C	D	E	F
SiO ₂	30.967	30.623	100.339	0.043	0.000	38.239
TiO ₂	0.506	34.184	0.036	0.025	0.018	0.775
Al ₂ O ₃	14.259	2.034	0.423	0.014	0.022	15.541
Fe ₂ O ₃	22.653	2.349	0.191	70.412	0.044	9.169
MnO	0.357	0.056	0.007	0.000	0.089	0.832
MgO	19.238	0.019	0.000	0.003	0.056	0.492
CaO	0.204	28.966	0.056	0.000	58.915	34.526
K ₂ O	0.307	0.000	0.038	0.008	0.000	0.000
Na ₂ O	0.029	0.000	0.019	0.140	0.006	0.000
Cr ₂ O ₃	0.000	0.014	0.003	0.000	0.014	0.019
S	0.012	0.006	0.033	18.670	0.000	0.000
(OH)	11.468	1.749	0.000	10.685	40.836	0.407
Total	100.000	100.000	101.145	100.000	100.000	100.000
鉱物種	緑泥石/ スメクタイト 混合層	スフェーン	石英	黄鉄鉱	方解石	ざくろ石

スフェーン: CaTiSiO₄(O,OH,F) 石英: SiO₂
 黄鉄鉱: FeS₂ 方解石: CaCO₃
 (灰ばん)ざくろ石: Ca₃Al₂Si₃O₁₂
 緑泥石(Mg,Fe,Al)₁₂(Si,Al)₈O₂₀(OH)₁₆
 スメクタイト: Na_{0.7}(Al_{3.3}Mg_{0.7})Si₈O₂₀(OH)₄·nH₂O

・ドレライト上位層である凝灰質頁岩側では、緑泥石/スメクタイト混合層鉱物、スフェーン、石英、黄鉄鉱、方解石及びざくろ石が認められる。ざくろ石は、Ca及びAlに富むことから、グロシュラライトと**同定した**。

(参考) 文献調査結果(ざくろ石の種類)

第318回審査会合
資料2 p.174 再掲

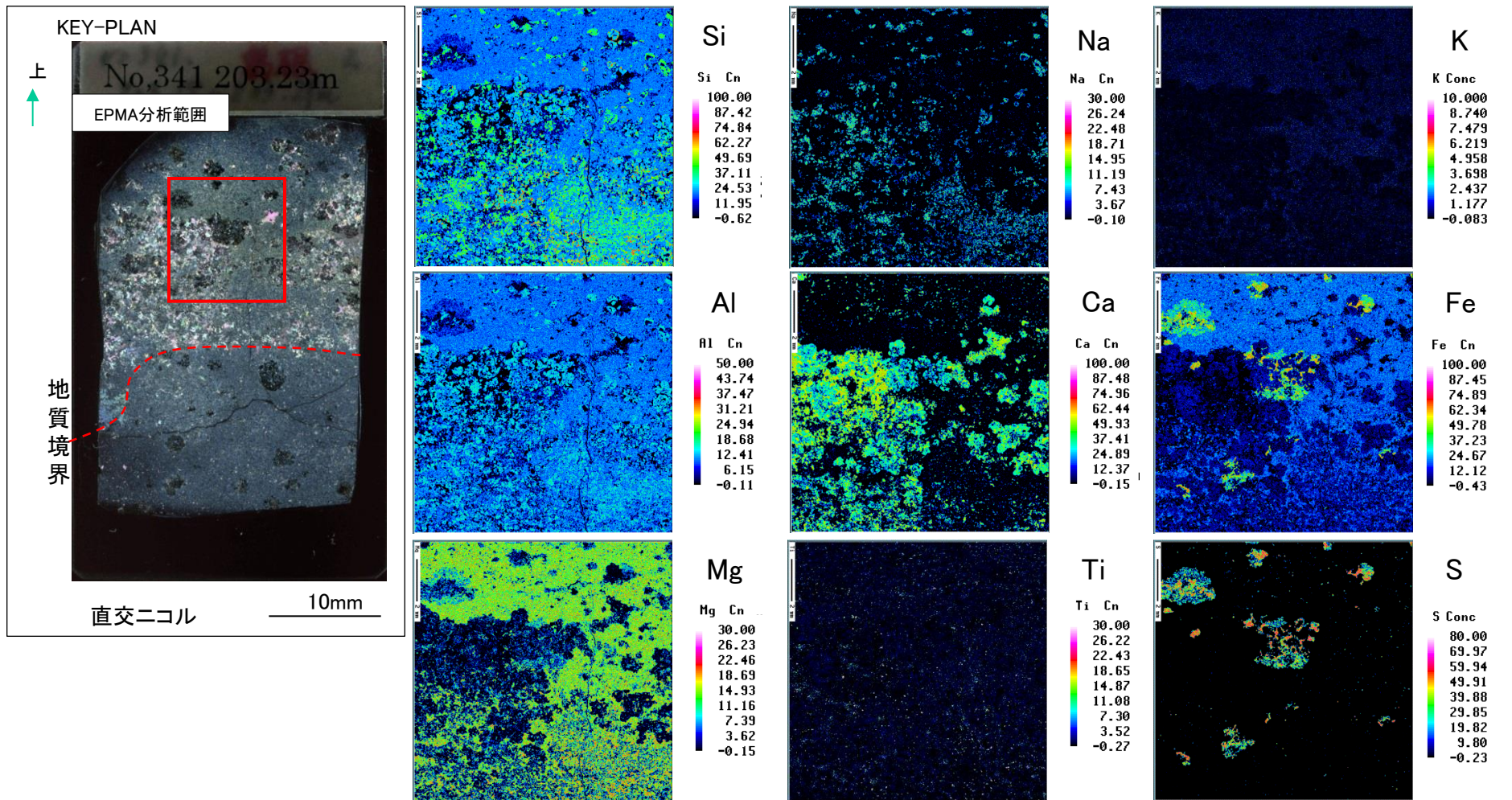
ざくろ石の種類と組成式

種類	組成式
パイロープ(苦ばんざくろ石)	$Mg_3Al_2Si_3O_{12}$
アルマンディン(鉄ばんざくろ石)	$Fe_3Al_2Si_3O_{12}$
スペッサルティン(まんばんざくろ石)	$Mn_3Al_2Si_3O_{12}$
ウヴァロバイト(灰クロムざくろ石)	$Ca_3Cr_2Si_3O_{12}$
グロシュラライト(灰ばんざくろ石)	$Ca_3Al_2Si_3O_{12}$
アンドラダイト(灰鉄ざくろ石)	$Ca_3Fe_2Si_3O_{12}$

黒田・諏訪(1983)をもとに作成

- ・黒田・諏訪(1983)によると、ざくろ石類はその組成により6種類に分類されるとされている。
- ・都城(1965)⁽¹⁶⁾によると、ざくろ石は変成岩に特有な高圧鉱物と考えられてきたが、適当な条件さえ揃えば、火成岩の中でも生成し得るとされている。
- ・森本ほか(1975)⁽¹⁷⁾によると、グロシュラライトの生成には高い圧力を必要とせず、石灰質な堆積岩が変成作用を受けた場合等に産するとされている。

EPMA分析結果 (No.341 GL-203.23m, 深部ドレライト境界部)

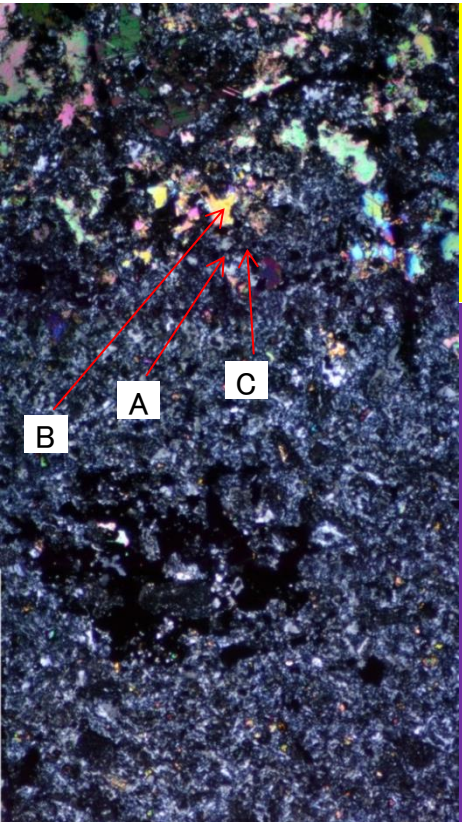
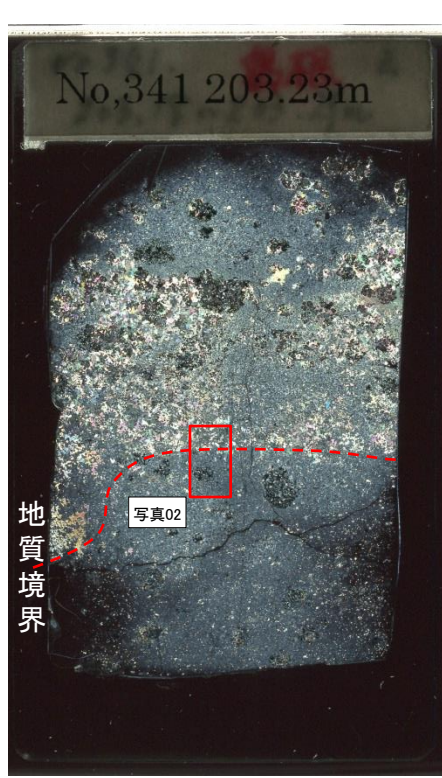
第318回審査会合
資料2 p.175 加筆・修正

- ・Fe及びSが検出される範囲には、黄鉄鉱(FeS_2)が晶出している。黄鉄鉱は黒色斑点内部にのみ晶出しており、熱水変質により空隙を埋めたものと考えられる。
- ・Ca(緑), Si(緑), Al(水色)が検出される範囲にはざくろ石が、Ca(黄)のみが検出される範囲には方解石がそれぞれ晶出しており、斑状に境界部付近に分布する。
- ・Si, Mg(緑), Fe, Alが検出される範囲には、緑泥石/スヌクタイト混合層鉱物が晶出しており、凝灰質頁岩の主成分鉱物と考えられる。
- ・Naが検出される範囲には、曹長石が分布している。

3. シームの活動性 (3) 鉱物と生成条件 ④ 深部ドレライトの鉱物観察及び分析結果と生成温度

薄片観察及びEPMA分析結果 (No.341 GL-203.23m, 深部ドレライト境界部)

第318回審査会合
資料2 p.177 再掲



凝灰質頁岩

ドレライト

EPMA分析結果 Mass(%)

分析位置	A	B	C
SiO ₂	68.116	0	37.362
TiO ₂	0.01	0.015	0.683
Al ₂ O ₃	18.857	0.011	12.804
Fe ₂ O ₃	0.037	0.097	12.666
MnO	0	0.095	0.733
MgO	0.004	0.042	0.391
CaO	0.257	56.436	34.632
K ₂ O	0.051	0.002	0.003
Na ₂ O	11.702	0.007	0.014
Cr ₂ O ₃	0.013	0	0
S	0.002	0.016	0.000
(OH)	0.951	43.279	0.712
Total	100.000	100.000	100.000
鉱物種	曹長石	方解石	ざくろ石

直交ニコル 10mm

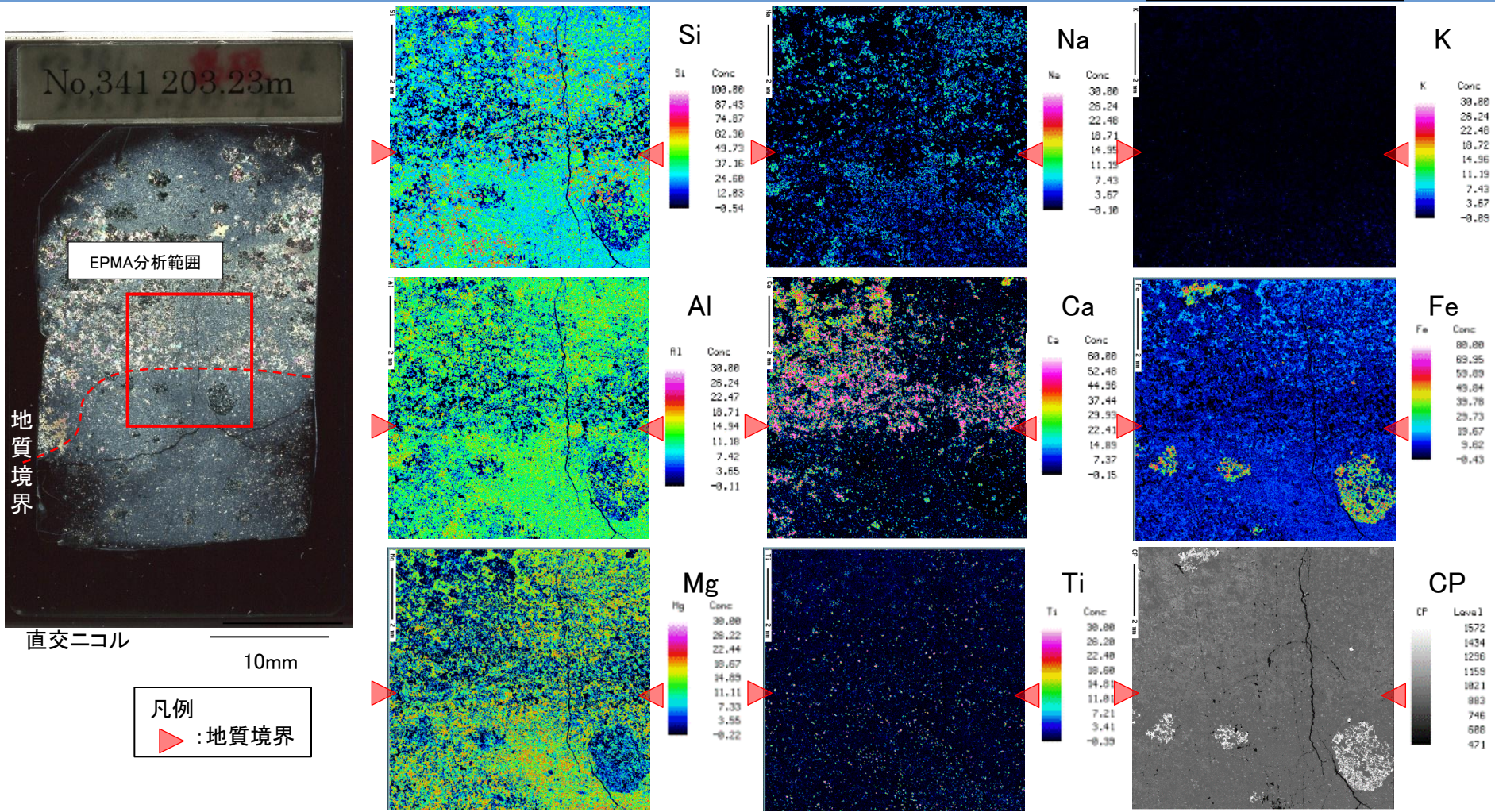
単ニコル 1mm

直交ニコル 1mm

曹長石: NaAlSi₃O₈
 方解石: CaCO₃
 (灰ばん)ざくろ石: Ca₃Al₂Si₃O₁₂

・凝灰質頁岩側では、斑状にざくろ石、方解石及び曹長石化した斜長石が認められるが、ドレライト側にはざくろ石は認められない。

EPMA分析結果 (No.341 GL-203.23m, 深部ドレライト境界部)

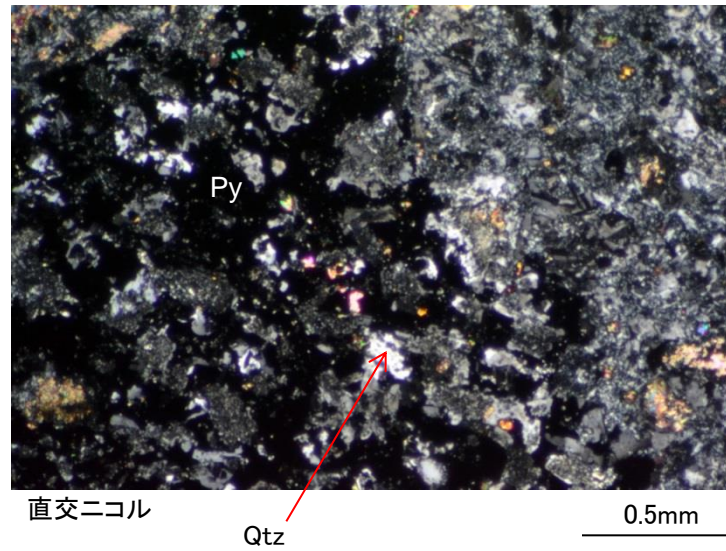
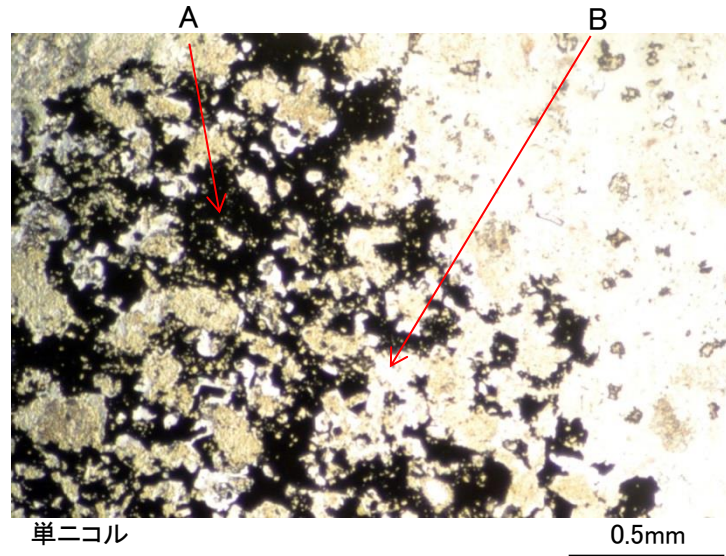
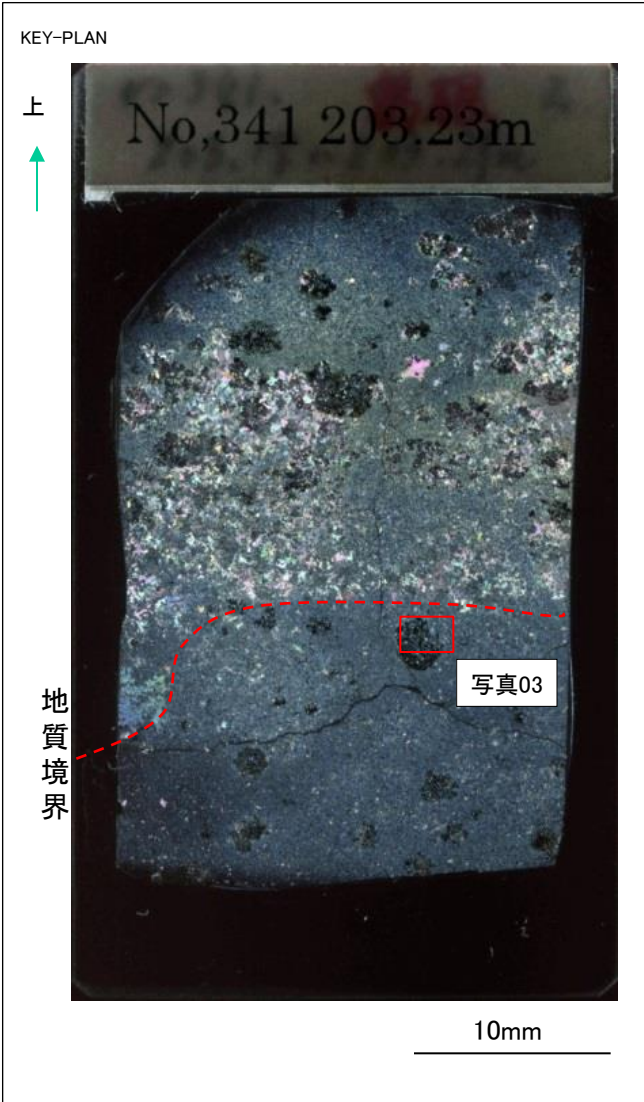


・Ca(緑～黄), Si(緑), Al(水色)が検出される範囲にはざくろ石が, Ca(赤)のみが検出される範囲には方解石がそれぞれ晶出しており, 斑状に境界部付近に分布する。ざくろ石は, ドレライト側には認められない。

3. シームの活動性 (3) 鉱物と生成条件 ④ 深部ドレライトの鉱物観察及び分析結果と生成温度

薄片観察及びEPMA分析結果 (No.341 GL-203.23m, 深部ドレライト境界部)

第318回審査会合
資料2 p.180 再掲



EPMA分析結果 Mass(%)

分析位置	A	B
SiO ₂	0.067	92.974
TiO ₂	0.024	0.003
Al ₂ O ₃	0.012	4.194
Fe ₂ O ₃	56.625	0.673
MnO	0.025	0.008
MgO	0.049	0.002
CaO	0	0.117
K ₂ O	0	0.072
Na ₂ O	0.094	2.368
Cr ₂ O ₃	0.026	0.01
S	13.109	0.022
(OH)	29.969	0
Total	100.000	100.443
鉱物種	黄鉄鉱	石英

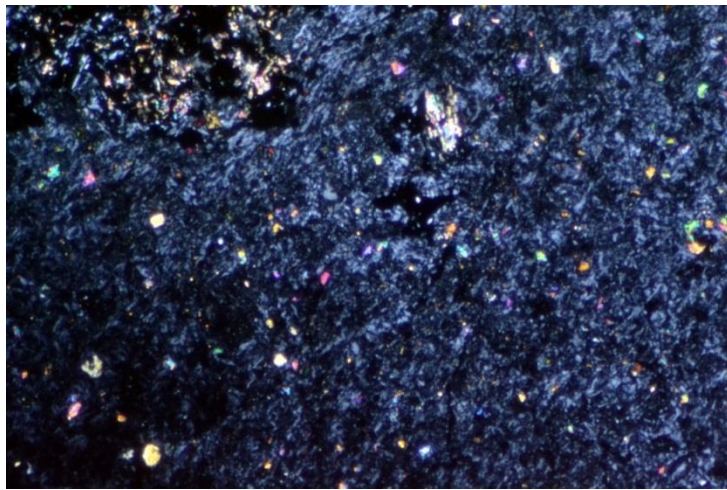
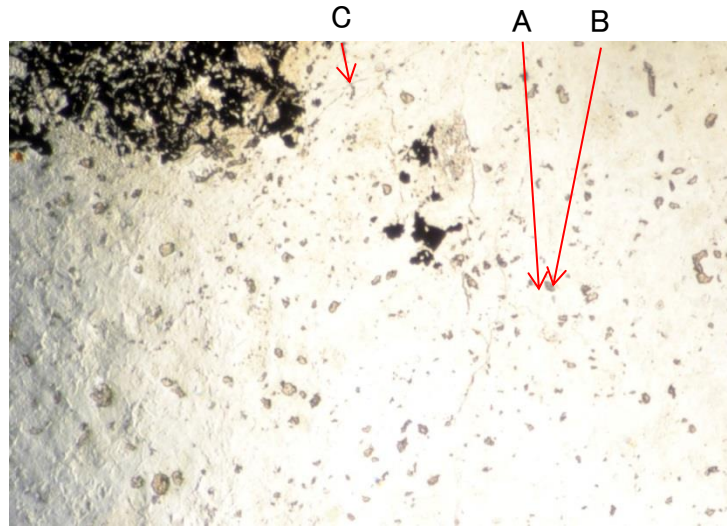
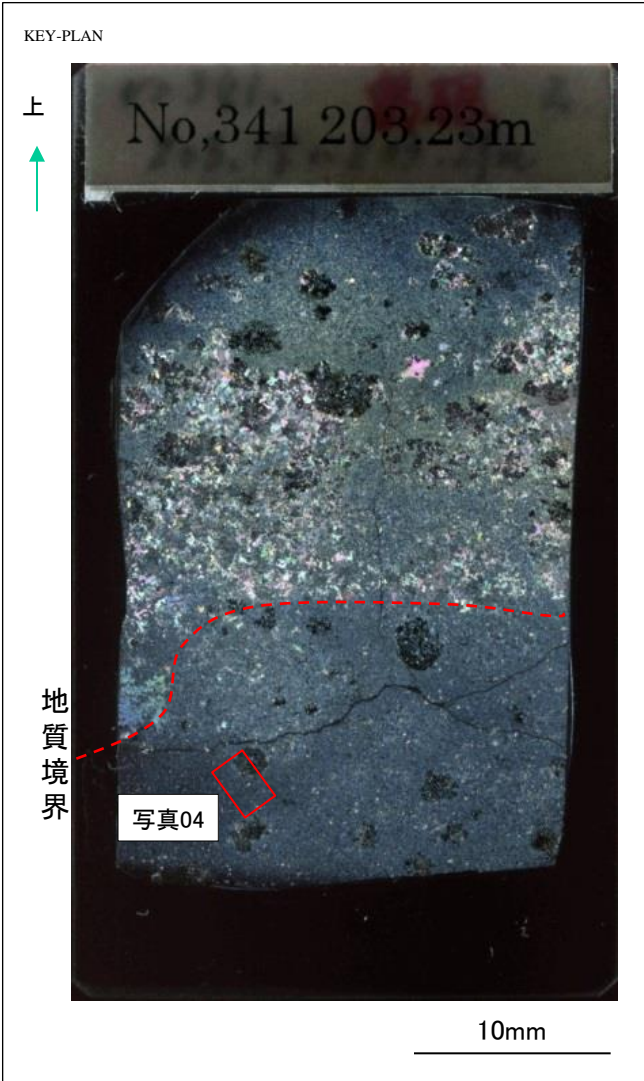
Py: 黄鉄鉱 FeS₂
Qtz: 石英 SiO₂

・ドレライト内部における黒色斑点部分には、黄鉄鉱が晶出する。ざくろ石は認められない。

3. シームの活動性 (3) 鉱物と生成条件 ④ 深部ドレライトの鉱物観察及び分析結果と生成温度

薄片観察及びEPMA分析結果 (No.341 GL-203.23m, 深部ドレライト境界部)

第318回審査会合
資料2 p.181 再掲



EPMA分析結果 Mass(%)

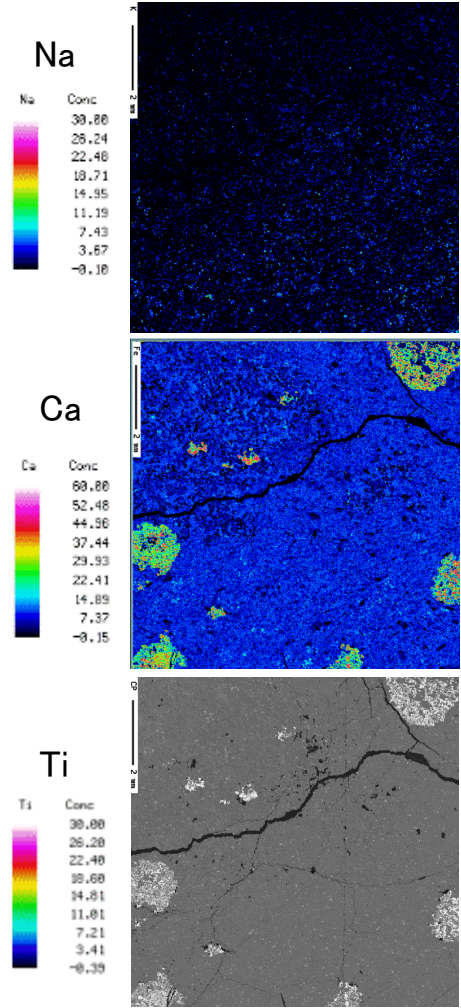
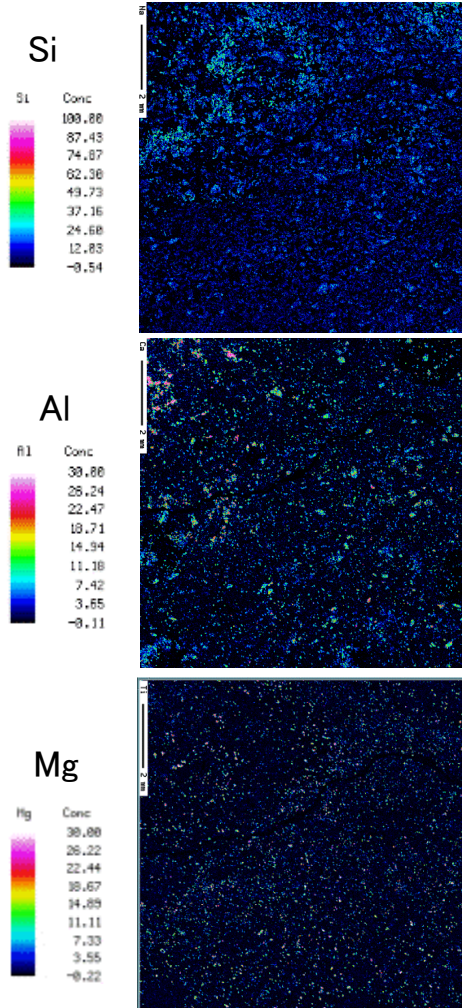
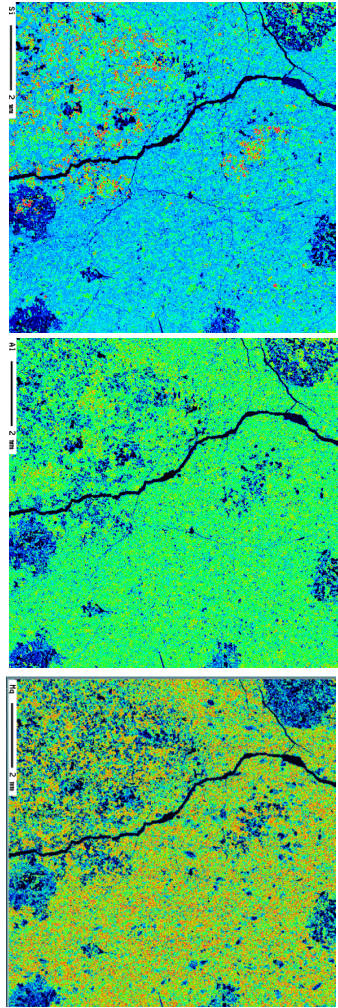
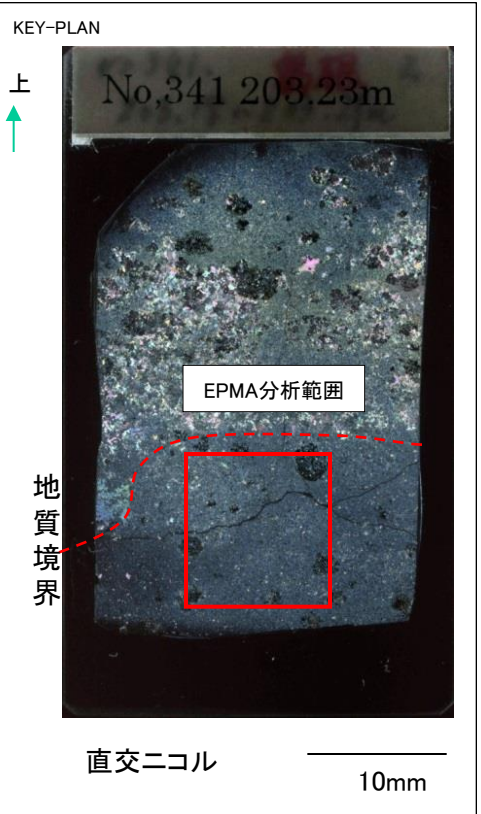
分析位置	A	B	C
SiO ₂	66.751	30.006	29.047
TiO ₂	0.006	37.584	0.015
Al ₂ O ₃	18.796	0.972	15.048
Fe ₂ O ₃	0.057	0.84	28.604
MnO	0	0.132	1.007
MgO	0.029	0.061	14.693
CaO	0.465	28.416	0.357
K ₂ O	0.095	0.009	0.021
Na ₂ O	11.763	0.018	0.014
Cr ₂ O ₃	0.008	0	0.053
S	0.005	0.001	0.001
(OH)	2.025	1.961	11.14
Total	100.000	100.000	100.000
鉱物種	曹長石	スフェーン	緑泥石

曹長石 NaAlSi₃O₈
 スフェーン: CaTiSiO₄(O,OH,F)
 緑泥石(Mg,Fe,Al)₁₂(Si,Al)₈O₂₀(OH)₁₆

・ドレライト側は、斑晶鉱物は曹長石等から成り、石基は緑泥石、曹長石、スフェーン等から構成される。ざくろ石は認められない。

EPMA分析結果 (No.341 GL-203.23m, 深部ドレライト境界部)

第318回審査会合
資料2 p.182 加筆・修正



・Feが検出される範囲には、黄鉄鉱 (FeS_2) が晶出している。黄鉄鉱は黒色斑点内部にのみ晶出しており、熱水変質により空隙を埋めたものと考えられる。
 ・Caが検出される範囲には、方解石が晶出している。ざくろ石は認められない。

文献調査結果(ざくろ石の生成温度)

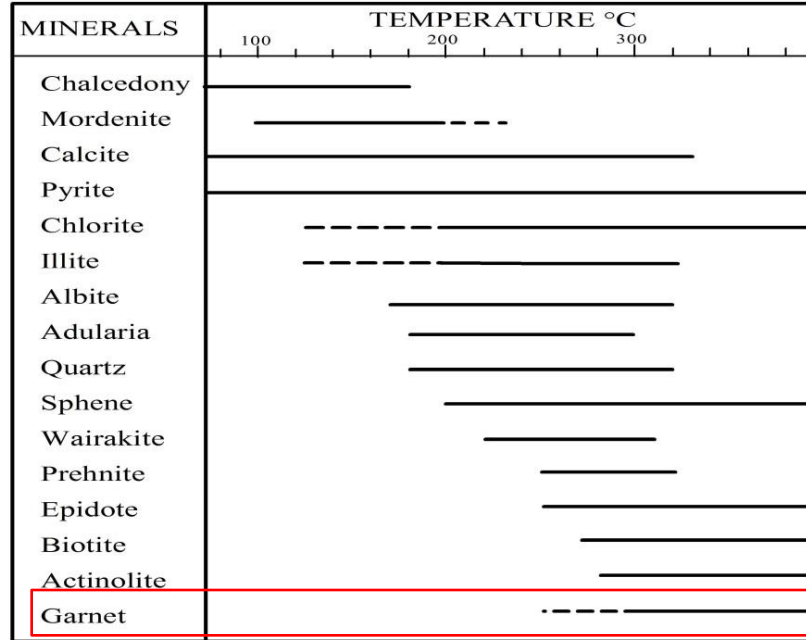


FIGURE 1: Common hydrothermal alteration minerals used as geothermometers and their temperature stability ranges. Dotted sections indicate mineral outside their usual stability ranges (modified from Reyes, 1990)

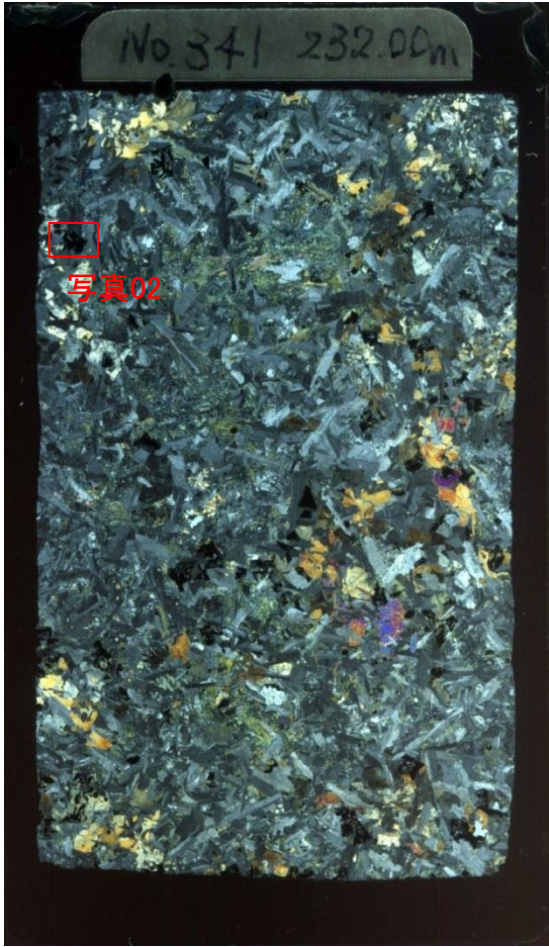
・John.L(2009)⁽¹⁸⁾に一部加筆

・John.L(2009)によると、ざくろ石(Garnet)は約300°C以上で生成するとされている。

3. シームの活動性 (3) 鉱物と生成条件 ④ 深部ドレライトの鉱物観察及び分析結果と生成温度

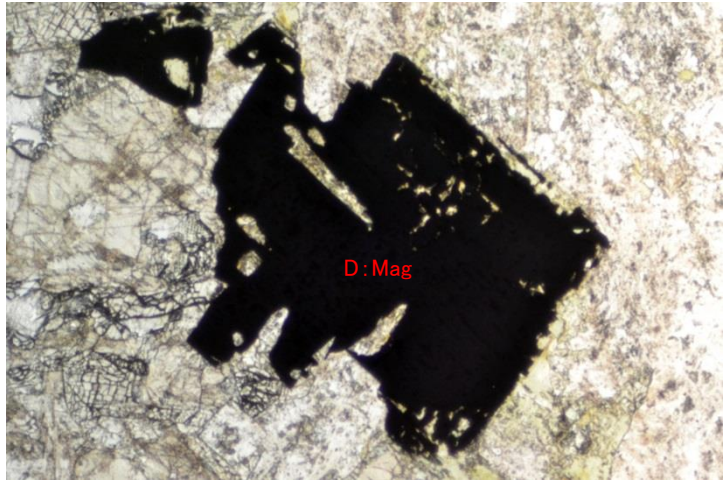
(参考) 薄片観察及びEPMA分析結果 (No.341 GL-232.00m, 深部ドレライト内部)

上
↑



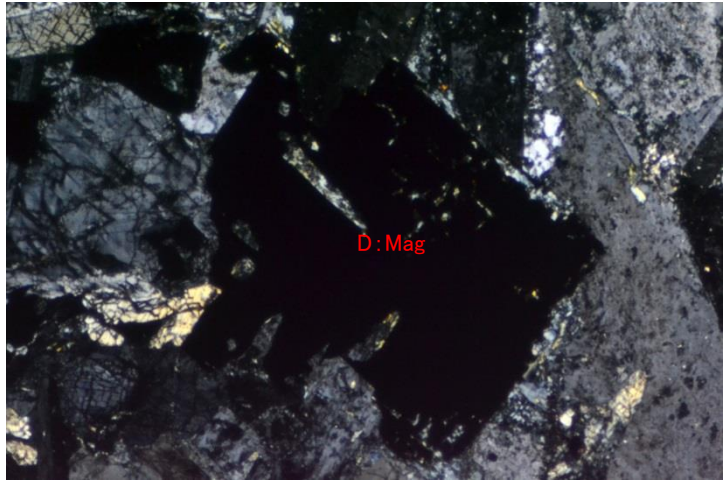
直交ニコル

10mm



単ニコル

0.5mm



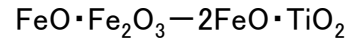
直交ニコル

0.5mm

EPMA分析結果 Mass(%)

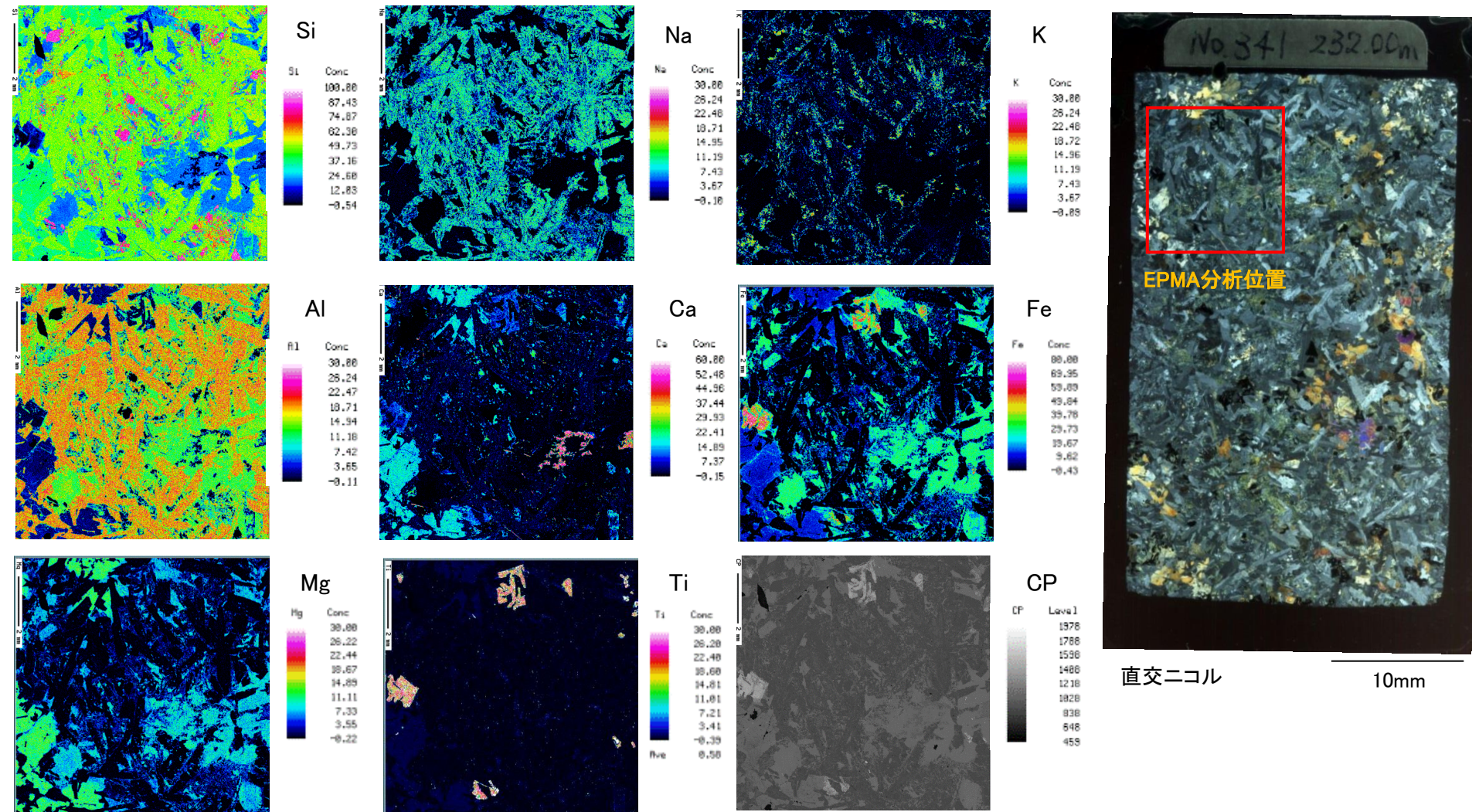
分析位置	D
SiO ₂	0.124
TiO ₂	17.454
Al ₂ O ₃	1.167
Fe ₂ O ₃	83.682
MnO	0.786
MgO	0.037
CaO	0.026
K ₂ O	0.000
Na ₂ O	0.000
Cr ₂ O ₃	0.018
S	0.000
(OH)	0.000
Total	103.294

Mag: マグネタイト (磁鉄鉱)



・単ニコル, 直交ニコルとも黒色不透明で劈開は認められない方形の自形鉱物が認められる。Fe₂O₃及びTiO₂に富むことから, マグネタイトと同定した。

(参考) EPMA分析結果 (No.341 GL-232.00m, 深部ドレライト内部)

第318回審査会合
資料2 p.186 再掲

- ・Si(赤)のみからなる石英が認められる。
- ・Si(赤～黄緑)に富み, Al(赤～橙)とNa(青緑)を含む曹長石($\text{NaAlSi}_3\text{O}_8$)とNa(青)よりK(緑)に富むカリ長石(KAlSi_3O_8)が認められる。
- ・ほぼCa(赤色)のみ検出される部分は方解石(CaCO_3)が晶出している。
- ・ほぼFe(緑～赤)とTi(赤)からなる箇所はマグネタイト($\text{FeO} \cdot \text{Fe}_2\text{O}_3 - 2\text{FeO} \cdot \text{TiO}_2$)が分布している。

3. シームの活動性 (3) 鉱物と生成条件 ④ 深部ドレライトの鉱物観察及び分析結果と生成温度

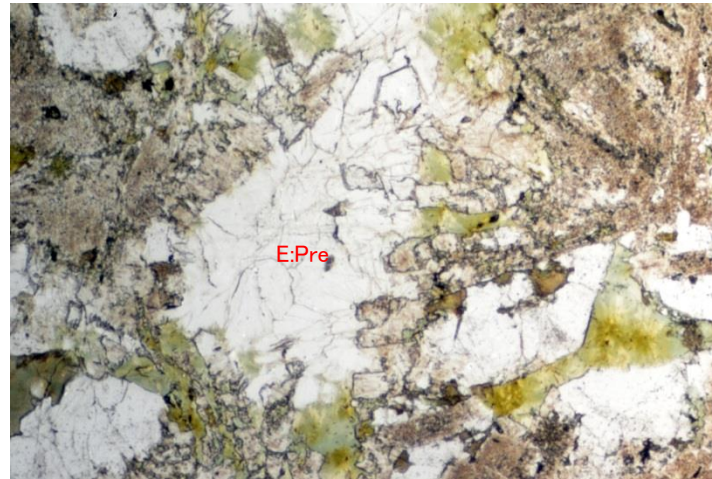
(参考) 薄片観察及びEPMA分析結果 (No.341 GL-232.00m, 深部ドレライト内部)

第318回審査会合
資料2 p.187 再掲

EPMA分析結果 Mass(%)

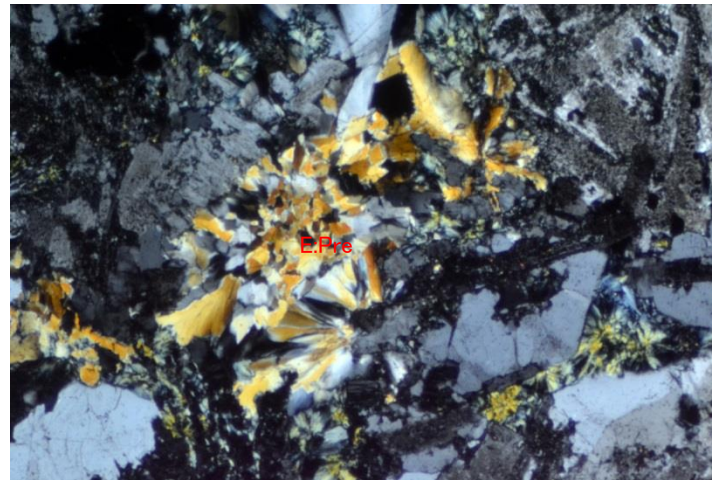
分析位置	E
SiO ₂	42.903
TiO ₂	0.035
Al ₂ O ₃	20.367
Fe ₂ O ₃	4.285
MnO	0.030
MgO	0.000
CaO	26.457
K ₂ O	0.000
Na ₂ O	0.079
Cr ₂ O ₃	0.000
S	0.000
(OH)	5.844
Total	100.000

Pre:ブドウ石



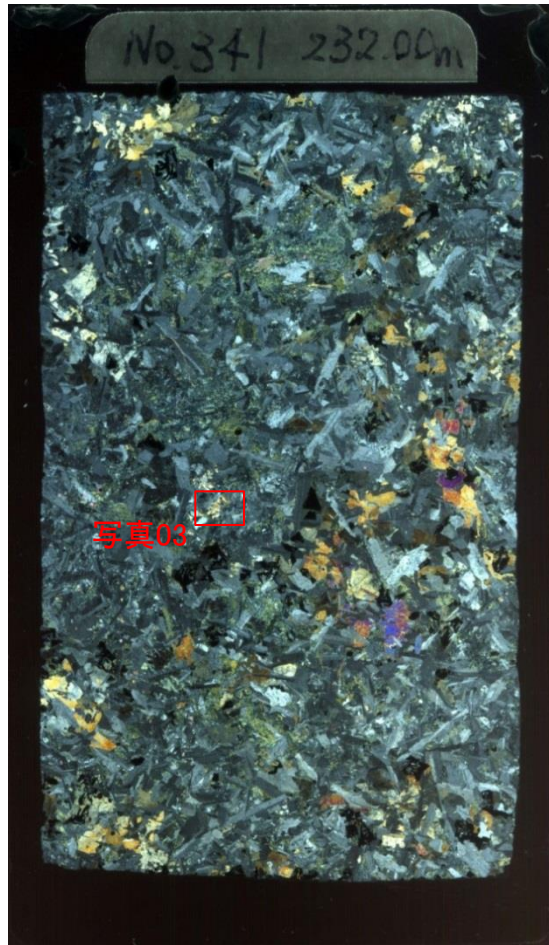
単ニコル

0.5mm



直交ニコル

0.5mm



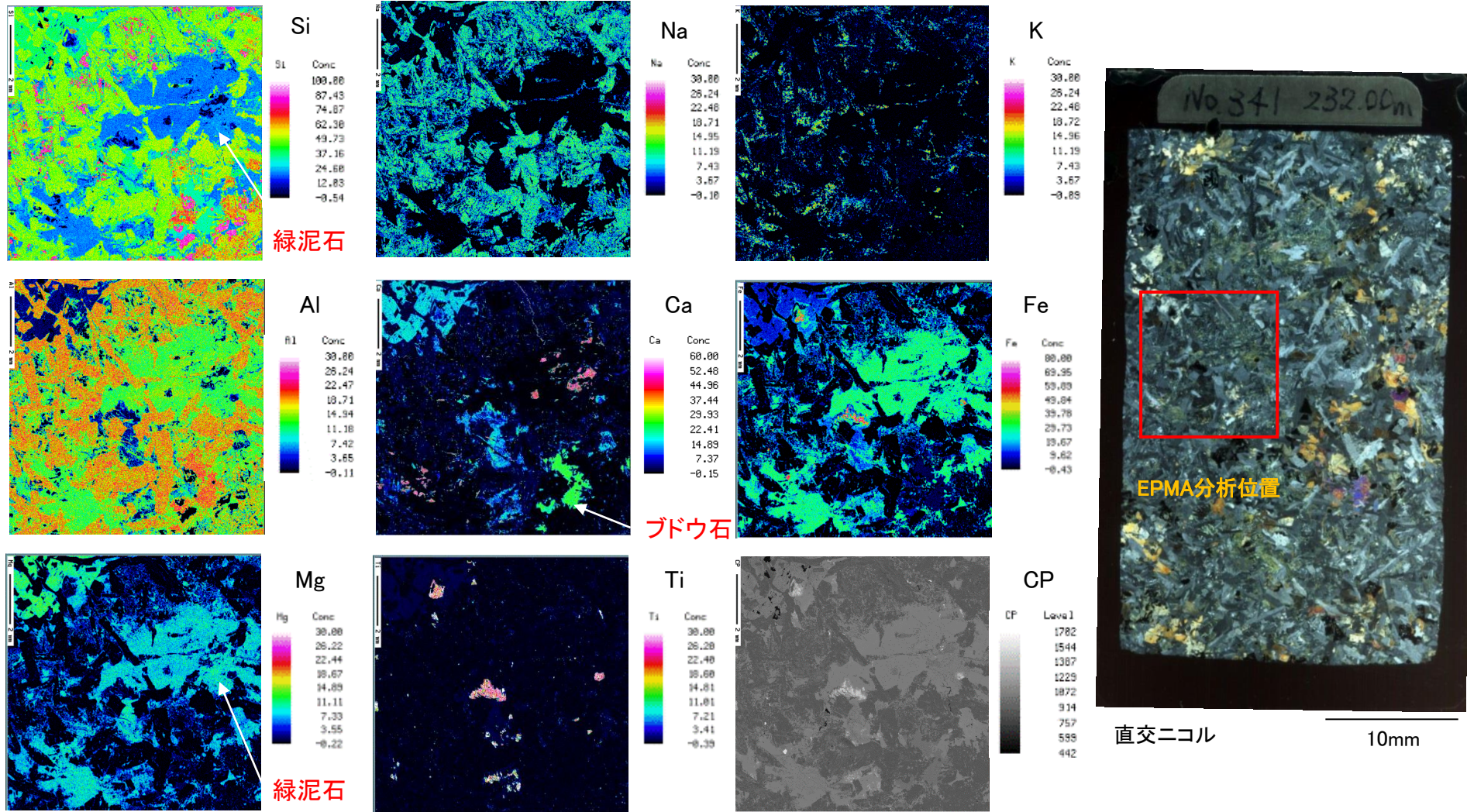
直交ニコル

10mm

・単ニコルで無色, 直交ニコルで直消光し, 放射状に集合して晶出するブドウ石が認められる。

(参考) EPMA分析結果 (No.341 GL-232.00m, 深部ドレライト内部)

第318回審査会合
資料2 p.188 再掲



- ・Fe(緑～青緑)とSi(青)を主成分とし、Al(黄緑)とMg(水色)を含む緑泥石 $(Mg,Fe,Al)_2(Si,Al)_2O_5(OH)_2$ が認められる。
- ・Si(青緑), Al(赤～橙色), Ca(黄緑)からなるブドウ石 $Ca_2Al_2SiO_7(OH)_2$ が認められる。

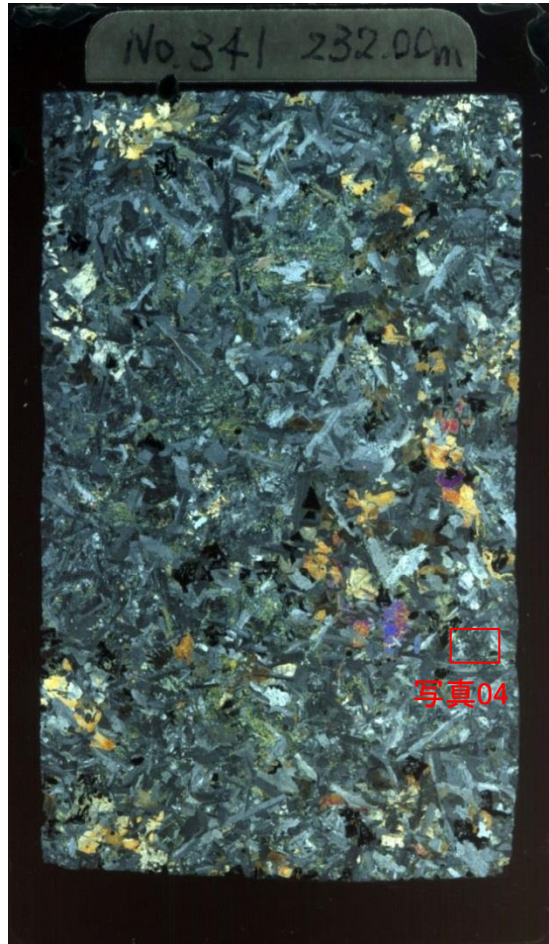
3. シームの活動性 (3) 鉱物と生成条件 ④ 深部ドレライトの鉱物観察及び分析結果と生成温度

(参考) 薄片観察及びEPMA分析結果 (No.341 GL-232.00m, 深部ドレライト内部)

第318回審査会合
資料2 p.189 再掲

EPMA分析結果 Mass(%)

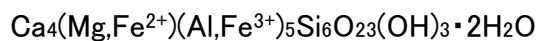
分析位置	F
SiO ₂	36.267
TiO ₂	0.032
Al ₂ O ₃	22.091
Fe ₂ O ₃	9.012
MnO	0.054
MgO	1.590
CaO	22.587
K ₂ O	0.002
Na ₂ O	0.017
Cr ₂ O ₃	0.013
S	0.000
(OH)	8.335
Total	100.000



直交ニコル

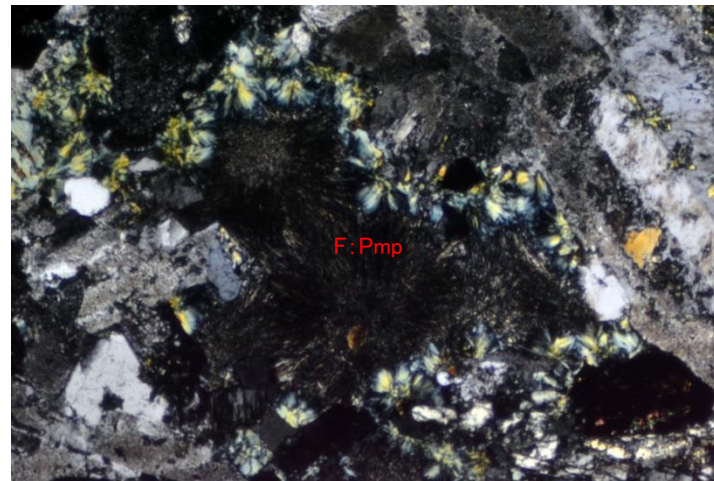
10mm

Pmp: パンペリー石



単ニコル

0.5mm



直交ニコル

0.5mm

・単ニコルで淡褐色及び淡青緑色、直交ニコルで複屈折が大きく、消光位の分散が強いパンペリー石が認められる。

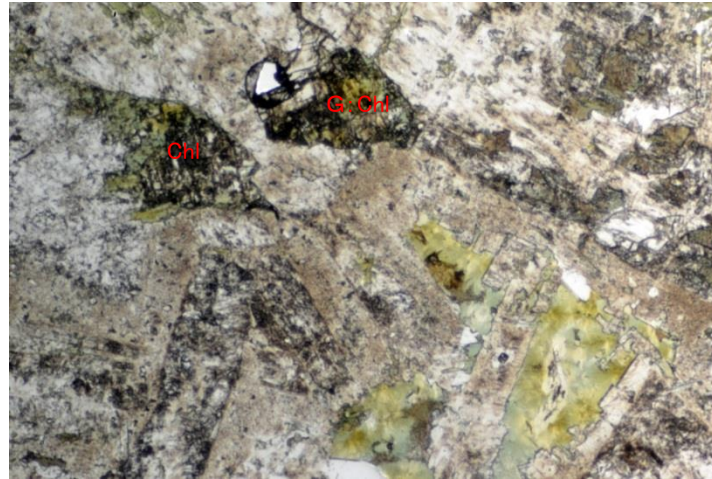
3. シームの活動性 (3) 鉱物と生成条件 ④ 深部ドレライトの鉱物観察及び分析結果と生成温度

(参考) 薄片観察及びEPMA分析結果 (No.341 GL-232.00m, 深部ドレライト内部)

第318回審査会合
資料2 p.190 再掲

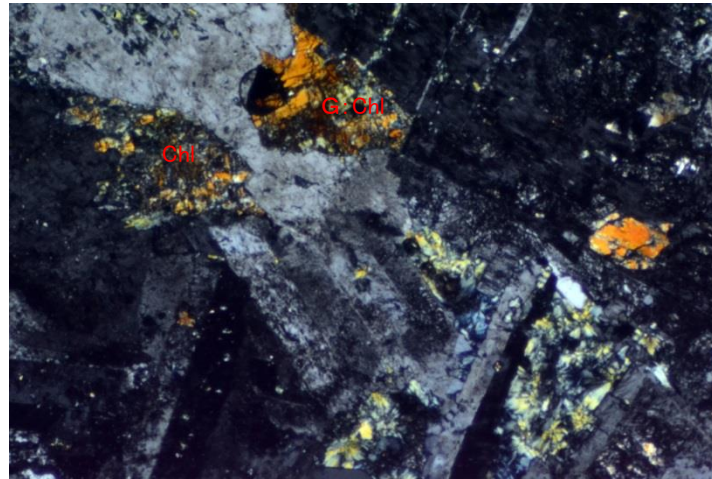
EPMA分析結果 Mass(%)

分析位置	G
SiO ₂	26.299
TiO ₂	0.000
Al ₂ O ₃	17.874
Fe ₂ O ₃	35.950
MnO	0.281
MgO	10.938
CaO	0.164
K ₂ O	0.005
Na ₂ O	0.014
Cr ₂ O ₃	0.000
S	0.000
(OH)	8.475
Total	100.000



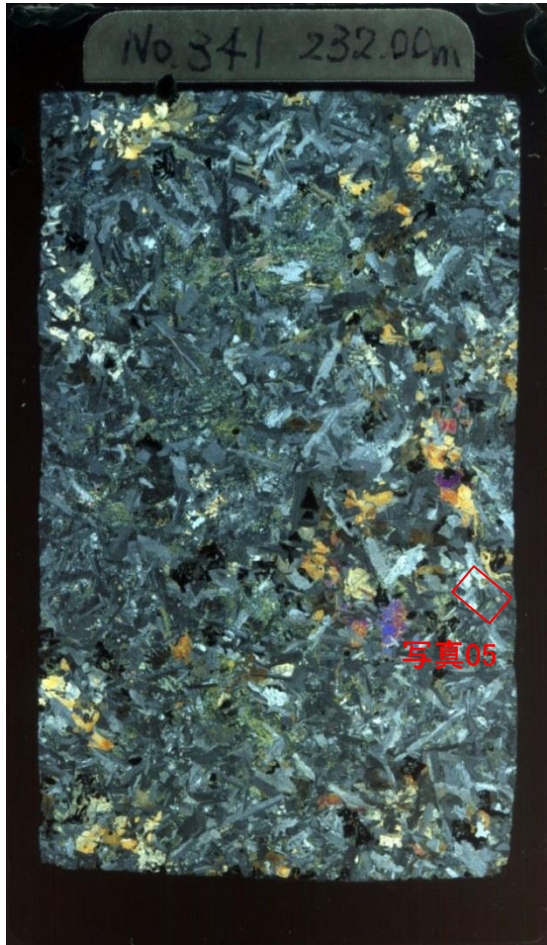
単ニコル

0.5mm



単ニコル

0.5mm



直交ニコル

10mm

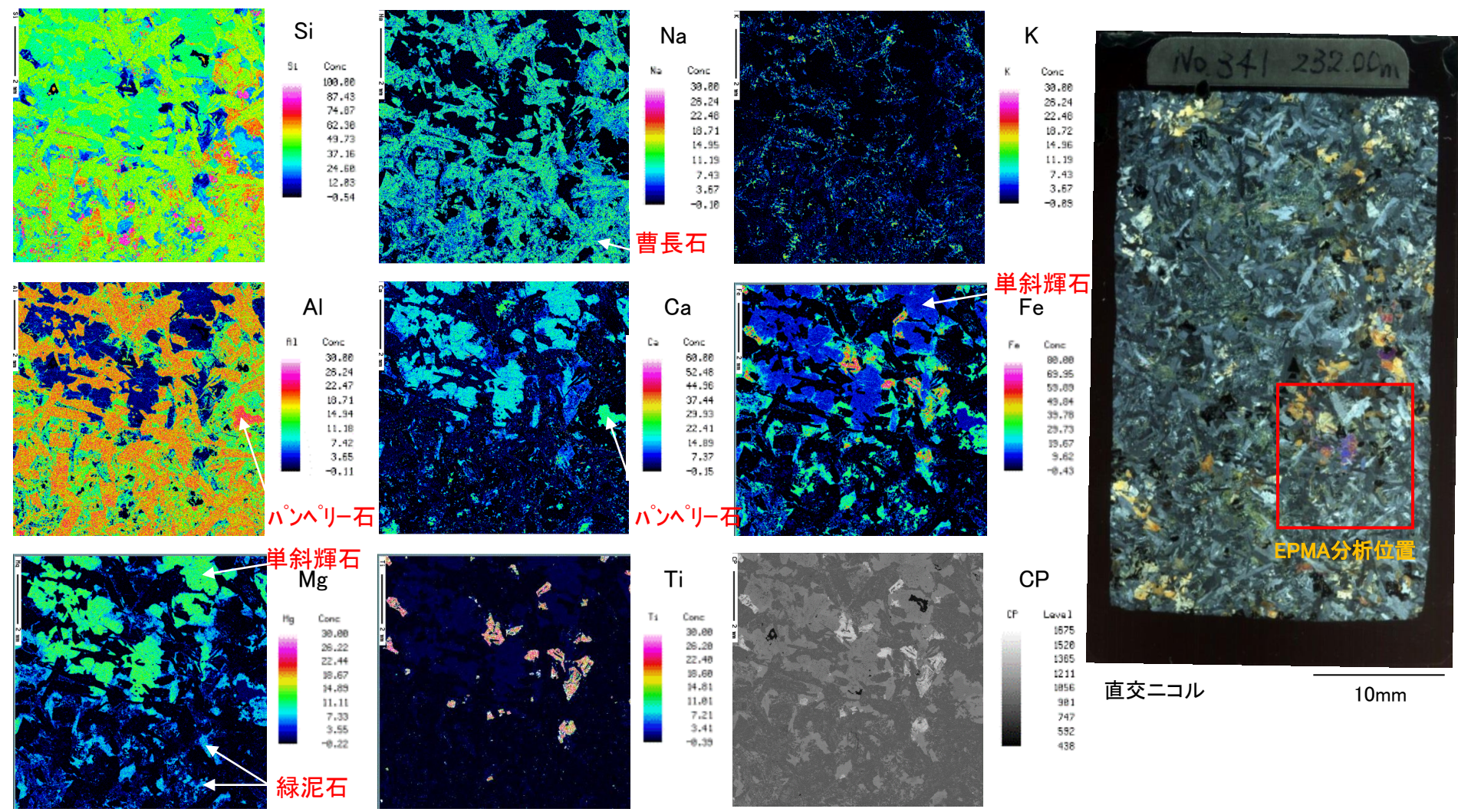
Chl: 緑泥石



・単ニコルで無色～淡緑色, 直交ニコルで複屈折が小さく, 暗灰色から褐色の異常干渉色を呈する緑泥石が認められる。

(参考) EPMA分析結果 (No.341 GL-232.00m, 深部ドレライト内部)

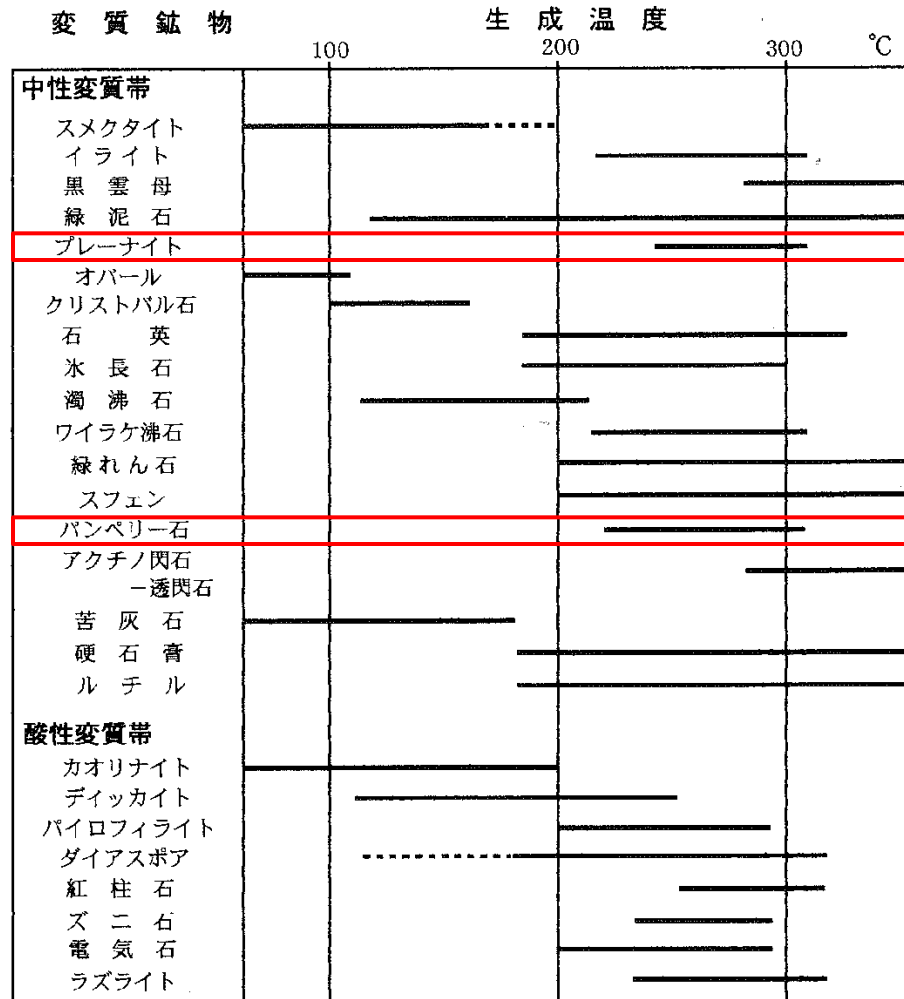
第318回審査会合
資料2 p.191 再掲



・Fe(緑～青緑)とSi(水色)を主成分とし、Al(橙色～黄緑)とMg(水色)を含む緑泥石(Mg,Fe,Al)₁₂(Si,Al)O₂₀(OH)₁₆が認められる。
 ・Si(青緑), Al(赤), Ca(緑)に富むパンペリー石(Mg,Fe,Al)₁₂(Si,Al)₈O₁₂(OH)₁₆が認められる。

(参考) 文献調査結果(ぶどう石・パンペリー石相の生成温度)

第318回審査会合
資料2 p.192 修正・加筆



吉村(2001)に一部加筆

・吉村(2001)によると、ブドウ石(プレーナイト)及びパンペリー石の生成温度は概ね200°C~300°Cとされている。

まとめ

- ・X線回折分析, 薄片観察及びEPMA分析の結果, ドレライト側にはざくろ石は認められず, 凝灰質頁岩側にはざくろ石が認められた。
- ・EPMA分析の結果, ざくろ石の種類はグロシュラライトと**同定した**。
- ・ざくろ石の生成温度は, 300°C以上であることから, 火成活動に伴う熱水変質作用により生成したと**評価した**。

参考文献

- (1) 吉村尚久(2001):粘土鉱物と変質作用, 地学双書, 地学団体研究会
- (2) 東正治(2004):熱水鉱床と粘土鉱物, 粘土科学, 第43巻, 第4号, P.219-227
- (3) 地学団体研究会(1996):新版地学辞典, 平凡社
- (4) 渡辺隆(1986):混合層粘土鉱物の構造解析と判定法の諸問題, 粘土科学, 第26巻, 第4号, P.238-246
- (5) 小玉一人(1999):古地磁気学, 東京大学出版会
- (6) C.パスキエ・R.トゥロウ(1999):マイクロテクトニクス, シュプリンガー・フェアラーク東京
- (7) 狩野謙一・村田明広(1998):構造地質学, 朝倉書店
- (8) 黒田吉益・諏訪兼位(1983):偏光顕微鏡と岩石鉱物[第2版], 共立出版株式会社
- (9) 周藤賢治・小山内康人(2002):岩石学概論・上 記載岩石学, 共立出版株式会社
- (10) 歌田実(1997):天然におけるゼオライトおよび関連鉱物の生成条件. 粘土科学, 37, P.87-94
- (11) 吉村尚久(2003):続成作用と粘土鉱物. 粘土科学, 42, P.167-173
- (12) 星一良・佐賀肇・箕輪英雄・稲葉允(1992):秋田・新潟のグリーンタフの変質と貯留岩性状. 石油技術協会誌, 57, P.77-90
- (13) Iijima, A.(1978) Geological occurrences of zeolite in the marine environments: In SAND, J. B. and MUMPTON, F. A. (ed) Natural Zeolites, Occurrence, Properties, Use. Pergamon Press, Oxford, P.175-198
- (14) O'Neil, J.R., Clayton, R.N., Mayeda, T.K.(1969): Oxygen Isotope Fractionation in Divalent Metal Carbonates. Journal of Chemical Physics, 51, P.5547-5558
- (15) 松葉谷治(1991):熱水の地球科学, 裳華房
- (16) 都城秋穂(1965):変成岩と変成帯, 岩波書店
- (17) 森本信男・砂川一郎・都城秋穂(1975):鉱物学, 岩波書店
- (18) John, L.(2009):HYDROTHERMAL ALTERATION MINERALOGY IN GEOTHERMAL FIELDS WITH CASE EXAMPLES FROM OLKARIA DOMES GEOTHERMAL FIELD, KENYA, Short Course VI on Exploration for Geothermal Resources